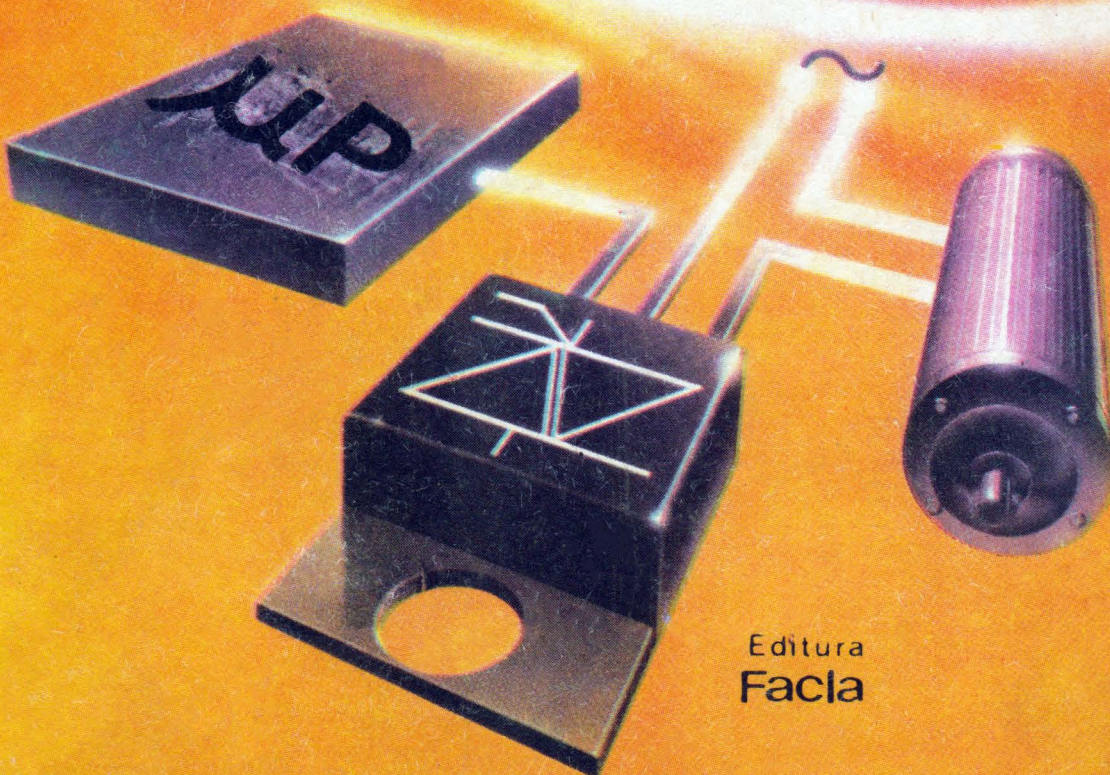


IVAN BOGDANOV

MICROPROCESORUL ÎN COMANDA ACȚIONĂRILOR ELECTRICE



Editura
Facla

IVAN BOGDANOV

MICROPROCESORUL
ÎN COMANDA
ACȚIONĂRILOR ELECTRICE

MICROPROCESORUL
ÎN COMANDA
ACȚIONĂRILOR ELECTRICE

ISBN 973-82-050-0221

Rezervat de IVAN BOGDANOV
Tipografia "Ivan A. Ivanov"

Preț 65 BGN
Bulgaria 1981
Cena 65 leiri. 175 L.

Transliterare în
MICROPROCESORUL ÎN COMANDA
Acționărilor Electrice
de Ivan A. Ivanov
în limba română
din cadrul unei
organizații românești



INTERNAȚIONAL
MICROPROCESSORUL
ÎN COMANDA
ACȚIUNILOR ELECTRICE

ISBN 973-36-0030-X

Redactor: ION ILIN
Tehnoredactor: IOAN I. IANCU

Bun de tipar: 27.10.1989.
Apărut 1989.
Coli de tipar: 11,25

Tiparul executat la
INTreprinderea Poligrafică CLUJ
Municipiul Cluj-Napoca,
Bv. Lenin nr. 146
sub comanda nr. 112



IVAN BOGDANOV

MICROPROCESORUL ÎN COMANDA ACTIONĂRILOR ELECTRICE

EDITURA FACLA

Timișoara, 1989

AVIONĂRII ELECTRICE
ÎN COMANDĂ
MICROPROCESORUL

Referent științific:
Prof. dr. ing. TIBERIU MUREȘAN
Institutul Politehnic „Traian Vuia” Timișoara

CAPITOLUL I

INTRODUCERE

În ultimii zece ani, apariția și răspândirea microprocesoarelor a determinat o extindere a ariei de preocupare a specialiștilor din cele mai diverse domenii de activitate. Cunoașterea microprocesoarelor și a programării tinde să devină astăzi o chestdiune de cultură generală [47, 79], iar domeniile de aplicație pentru microsisteme se consideră limitate numai de imaginea utilizatorilor [78].

În condițiile amintite, s-au extins și aplicațiile industriale ale microprocesoarelor. Cele mai potrivite situații de implementare cu microprocesor a circuitelor de comandă și control, pentru procese industriale, par să fie acelea în care numărul de unități de proces care trebuie supravegheate, comandate sau reglate nu depășește cîteva zeci (10–20 tipic). Pentru un număr mic de unități de proces este mai ieftină utilizarea releeelor, tranzistoarelor, a circuitelor electronice clasice [79]. Dacă numărul unităților de proces este mare, sute sau mii, apare necesitatea de a folosi minicalculatoare sau calculatoare de proces, deși și acestea tind să fie înlocuite cu microprocesoare din ce în ce mai performante.

Din punctul de vedere al complexității impuse de comanda circuitelor de acționare electrică, utilizarea, în structura lor, a sistemelor cu microprocesoare, apare drept cea mai îndreptățită, întrucît circuitele de acționare implică o complexitate medie în ceea ce privește numărul de comenzi și operații necesare.

Desigur astăzi, comanda circuitelor de acționare electrică cu circuite electronice tradiționale, analogice sau numerice, este, practic, generalizată. Se pune problema folosirii microprocesoarelor în circuite de comandă pentru acționări electrice, a schimbării conceptelor de proiectare, de sinteză a secvențelor de comandă în vederea realizării de avantaje incontestabile.

Utilizarea microprocesoarelor în domeniul amintit se justifică nu numai din punctul de vedere al complexității operațiilor și comenziilor necesare în circuitele electrice de acționare, ci și dintr-o serie de alți factori, cum sunt :

1. Micșorarea timpului de răspuns a circuitelor de comandă, întrucît viteza de lucru a microprocesorului permite acest fapt, și realizarea de circuite de acționare rapide.

2. Creșterea preciziei și siguranței în lucru, prin însăși folosirea unui sistem de calcul ca circuit de comandă. Se elimină integral (sau aproape integral) elementele analogice din circuitele de comandă.

3. Flexibilitatea — posibilitatea extinderii numărului de elemente controlate, a efectuării de modificări sau corecții asupra funcției de comandă prin simpla schimbare a unui program și menținerea neschimbată a structurii hardware.

4. Reducerea numărului de componente din circuitele de comandă, în situația în care și prețul de cost al circuitelor integrate *LSI* a scăzut semnificativ.

5. Posibilitatea subordonării directe a circuitelor de comandă pentru extindere sistemelor de calcul ierarhic superioare, la mașini cu comandă numerică, roboți etc., evitându-se convertoarele numeric-analogice sau alte circuite de interfață.

6. Îmbunătățirea fiabilității și asigurarea unei mai bune insensibilități la perturbații pentru circuitele de comandă. Se pot include și programe de test sau autodepanare.

7. Scăderea consumului de energie [78, 79, 15, 47, 19, 69, 46, 57, 60, 30].

Având în vedere considerențele arătate, spre sfârșitul anilor '70 și începutul anilor '80, studiile, cercetările și aplicațiile cu microprocesoare ca circuite de comandă în acționările electrice au cunoscut un avînt deosebit.

Cercetările s-au orientat atât în sensul folosirii microprocesoarelor în cele mai diverse circuite de acționare, cît și în cel al utilizării de diferite familii de microprocesoare, începînd cu microprocesorul microsistem într-o capsulă și pînă la microprocesoarele de 16 biți sau bit-slice [69, 38, 20].

În pofida realizărilor multiple din domeniul, problemele apărute sunt departe de a fi fost elucidate. Cercetările în curs vizează creșteri de viteză și precizie, simplificări în sistemele de comandă, optimizări din punctul de vedere al structurilor hardware software, atât în domeniul acționărilor cu motoare de curent continuu, cît și, mai ales, în acționările cu motoare de curent alternativ [81, 82, 87, 83, 84, 43].

Acționările electrice au cunoscut în țara noastră o dezvoltare amplă și multilaterală. Este de la sine înțeles, deci, că și problema, de mare actualitate, de a utiliza microprocesorul în comanda acționărilor electrice, a fost abordată în majoritatea institutelor de învățămînt superior, de cercetare și proiectare, întreprinderilor de profil [38, 75, 18, 86, 80].

La Institutul Politehnic „Traian Vuia” din Timișoara, Facultatea de Electrotehnica, în cadrul catedrelor de electronică aplicată și automatizări și calculatoare există preocupări cu privire la acționările electrice comandate cu microprocesor, din anul 1982.

În lucrarea de față sunt prezentate, sintetic, rezultatele obținute, teoretice și practice, concluziile ce se impun, precum și o perspectivă cu referire la posibilitățile de extindere și dezvoltare a realizărilor de pînă în prezent.

CAPITOLUL II

SISTEME CU MICROPROCESOARE UTILIZATE ÎN COMANDA ACȚIONĂRILOR ELECTRICE

2.1. ARHİTECTURA STANDARD A UNUI SISTEM CU MICROPROCESOR UTILIZAT ÎN COMANDA CIRCUITELOR DE ACȚIONARE ELECTRICĂ

Structura unui microsistem utilizat în comanda acționărilor electrice se încadrează, desigur, în arhitectura standard acceptată pentru acest tip de sisteme. Schema bloc a unui sistem cu microprocesor este reprezentată în figura 2.1. [79].

Dispozitivul fundamental din sistem este microprocesorul, care conține, în esență, elementele unei unități centrale dintr-un (micro) calculator. Operînd cu instrucții și date, rolul microprocesorului este de a decodifica

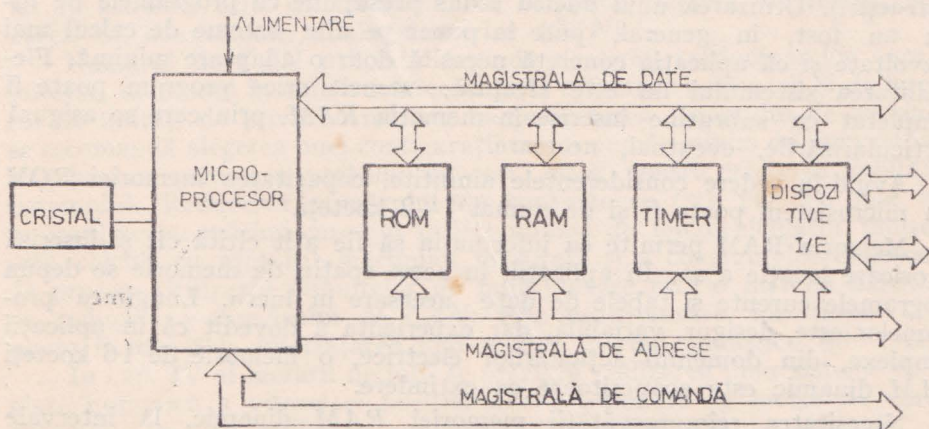


Fig. 2.1. Arhitectura standard a unui microsistem.

informația recepționată, de a vehicula corect adresele și datele, de a efectua operații în unitatea aritmetică și logică internă și de a asigura schimbul de semnale de comandă interne și externe ale sistemului, în ritmul impulsurilor de tact.

Intercomunicația între microprocesor și celelalte componente de sistem este asigurată prin cele trei magistrale:

- a) magistrala de date;
- b) magistrala de adrese,
- c) magistrala de comandă.

Pentru microprocesoarele care operează prin cuvinte de 1 octet, magistrala de date este constituită din 8 linii. Magistrala de adrese are, de regulă, 16 linii, permitând adresarea directă a unei memorii de maximum 64 kocete. La unele microprocesoare, magistrala de date nu este realizată fizic separat, intrucât cele 8 linii corespunzătoare biților cei mai puțin semnificativi de adresă se utilizează, prin multiplexare, și ca magistrală de date. Magistrala de comandă conține un număr variabil de linii, ce depinde de tipul concret de microsistem și servește la transmiterea semnalelor de comandă de tip SCRIE, CITEȘTE, START, STOP, furnizate de microprocesor către celelalte componente de sistem, respectiv la transmiterea semnalelor de răspuns de la componente de sistem la microprocesor [78, 55, 47, 74].

Memoria ROM, nevolatilă, componentă a sistemului, constituie spațiul de depozitare al unui set minim de subrutine, necesare pentru lucrul cu sistemul, set cunoscut în literatura de specialitate [34] sub denumirea de nucleu. Având în vedere faptul că structura de microsistem descrisă este utilizată la comanda nemijlocită a circuitului de acționare electrică, nucleul nu trebuie să fie deosebit de extins. În acest sens, subrutinile absolut necesare pentru ca sistemul să fie operativ se pot rezuma la: subrutina de inițializare a sistemului, subrutine utilitare de lucru în timp real, subrutine de prelucrare a semnalelor implicate în proces, subrutine de tratare a intreruperilor și subrutine de comunicație (tip intrări-iesiri). Utilizarea unui nucleu redus presupune că programele de lucru au fost, în general, puse la punct pe alte sisteme de calcul mai dezvoltate și că aplicația concretă necesită doar o adaptare minimă. Flexibilitatea sistemului nu este afectată, intrucât orice program poate fi completat cu subrutine înschise în memoria RAM, prin care se asigură particularizările, eventual, necesare.

Având în vedere considerentele amintite, capacitatea memoriei ROM din microsistem poate fi și de numai 1–2 kocete.

Memoria RAM permite ca informația să fie atât citită cât și înscrisă în oricare locație a sa. În aplicații, în acest spațiu de memorie se depun programele curente și tabele de date necesare în lucru. Lungimea programelor este, desigur, variabilă, dar experiența a dovedit că în aplicații complexe, din domeniul acționărilor electrice, o memorie de 16 kocete RAM dinamic este acoperitoare ca extindere.

Necesitatea reîmprospătării memoriei RAM dinamic, la intervale constante de timp, are drept consecință directă lungirea duratei de acces

la informația pătrată de aceasta. Pentru a se obține viteze cît mai mari în efectuarea calculelor se impune includerea în sistem și a unui spațiu de memorie *RAM* static. În această memorie se păstrează subrutele de calcul cu numere reprezentate pe mai mulți octeți. Un minim de 256 octeți memorie *RAM* static s-a dovedit suficient pentru subrutele prin care se efectuează operațiile matematice care apar în programele uzuale.

Un bloc component important în sistem îl constituie circuitele de interfață intrări/ieșiri (*I/E*) pentru comunicația cu exteriorul sistemului. Aceste circuite pot fi circuite integrate dedicate de tip 8251, 8255, 8212, 8155 și.a. [56, 19] și constituie baza fizică pentru porturile de intrare și ieșire ale sistemului. Numărul porturilor necesare este variabil, de la o aplicație la alta, dar se poate aprecia că acest număr este limitat superior la 10.

Prin porturile de intrare-ieșire se realizează, pe de o parte, comunicația cu utilizatorul (în general cu un nivel de conducere ierarhic superior), pe de altă parte se asigură schimbul de semnale direct implicate în comanda acționării — semnale de proces.

Semnalele direct legate de proces se grupează în mărimi de intrare, ce sosesc la porturile de intrare ale microsistemu, și semnale de comandă către circuitele de putere din structura acționării, generate prin porturi de ieșire ale sistemului.

În comanda circuitelor de acționare electrică, la porturile de intrare ale sistemului utilizat, sosesc semnale sub forma unor impulsuri sau niveli de tensiune *TTL*. Aceste semnale se pot împărți în două categorii: mărimi de prescriere și date de proces.

În prima categorie sunt cuprinse, funcție de aplicație, de exemplu: poziția și/sau viteză impusă pentru deplasare la un moment dat, sensul de avans, frecvența de comandă prescrisă, constantă de proces etc.

Datele de proces mai des întâlnite în acționările electrice sunt: poziția și/sau viteză curentă, impulsuri de sincronizare cu frecvența rețelei, semnale de stare din proces și.a.

Mărimele urmărite în proces sunt, în general, analogice. Transformarea lor în semnale utile calculatorului de comandă implică, de regulă, utilizarea de convertoare analog-numerice (*CAN*).

Numărul de *CAN* utilizate depinde de tipul traductoarelor care se folosesc, de modul în care a fost concepută structura acționării și de numărul de unități de proces urmărite. La proiectarea sistemului de acționare se recomandă alegerea unei configurații cu un număr minim de convertoare, atât pentru reducerea prețului de cost, cît și pentru creșterea fiabilității sistemului. Reducerea numărului de convertoare este posibilă mai ales în cazul acelor mărimi care pot fi determinate de microcalculator indirect, prin calcul, cu ajutorul mărимilor măsurate și a constantelor cunoscute, de proces. Utilizarea circuitelor de multiplexare este o metodă hardware de reducere a numărului de *CAN*. Prin multiplexare, un singur *CAN* poate fi folosit la interfațarea mai multor mărimi analogice din proces.

În cap. IV al lucrării de față se prezintă realizarea unor sisteme de reglare numerică a vitezei și poziției într-o acționare cu motor de curenț continuu, în care utilizarea convertoarelor a fost complet evitată.

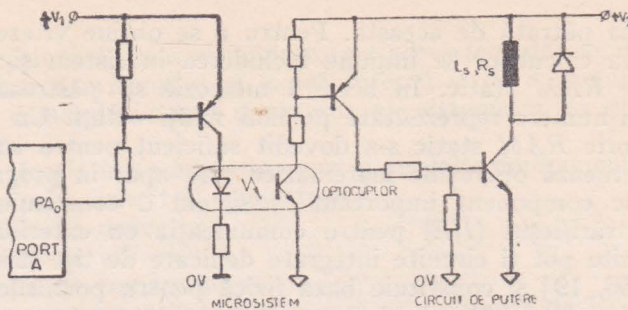


Fig. 2.2. Model de circuit de comandă pentru tranzistoare de putere activat de o linie de ieșire din microsistem.

Semnalele de comandă furnizate prin porturile de ieșire ale sistemului săint, de asemenea, semnale TTL, din care, cu circuite adecvate, se formează impulsurile de comandă propriu-zise pentru tranzistoarele și tiristoarele circuitului de putere. Între portul de ieșire al sistemului și circuitul comandanțat se impune o izolare galvanică, prin optocuploare sau transformatoare de impulsuri. Structura circuitului comandanțat de microsistem și programul de comandă trebuie astfel întocmite încât semnalele generate la porturile de ieșire să fie active pe nivelul 0 logic. În caz contrar, orice întrerupere fizică a unui fir de legătură de la sistem la circuitul de forță poate provoca intrarea în conducție, în momente nedorite, a dispozitivului corespunzător de putere.

În figurile 2.2 și 2.3 se prezintă două exemple de conectare la o linie a unui port de ieșire, a unui tranzistor, respectiv a unui tiristor din circuitul de putere [9, 64, 63].

Tot la circuitele I/E se conectează și echipamentele periferice, care asigură comunicația microsistemului cu utilizatorul, de exemplu lector de bandă sau casetofon (pentru încărcarea programelor de lucru), tastatura și circuitele de afișare. Dacă sistemul de comandă al unei acționări electrice este parte integrantă a unei mașini cu comandă numerică sau a unui robot, tastatura și circuitele de afișare de pe panoul operatorului se folosesc și la intervenția în circuitul de comandă al acționării.

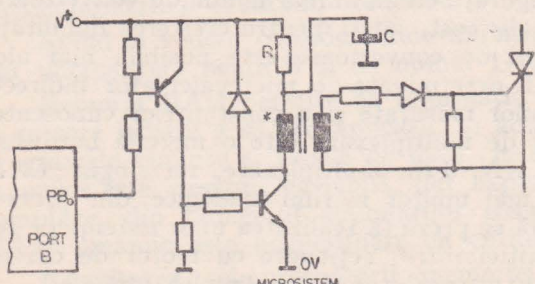


Fig. 2.3. Model de circuit de comandă pentru tiristoarele din circuitul de putere activat de o linie a unui port de ieșire.

Deosebit de util pentru punerea în funcțiune și depanarea sistemului este să se includă în structura sa și o interfață *I/E* de comunicație cu un *DAF* [54].

Rolul variabilei „timp” este esențial în conducerea proceselor. Acest rol rezultă din desfășurarea în timp real a acestora, ceea ce presupune existența, în cadrul (micro) sistemului de conducere, a următoarelor facilități [32]:

- a) de a măsura timpul scurs între două evenimente,
- b) de a genera semnale care să marcheze intervale de timp de durată prestabilită, variabilă sau fixă, în decursul operării sistemului.

Acste două funcții sunt îndeplinite de circuite specialize din sistem, generatoare de timp real sau timer (de exemplu de tip 8253), care sunt, în esență, numărătoare programabile. Funcționarea generatoarelor de timp real este sincronă cu semnalul de tact, după care lucrează întregul sistem și a cărui constanță este asigurată de cristalul de cuarț. Prin introducerea timerelor în sistem, microprocesorul poate fi degrevat și de sarcina contorizărilor de lungă durată, necesară deseori în aplicații.

Dintre metodele de utilizare ale generatoarelor de timp, în circuitele de comandă din acționările electrice, cele mai utile par să fie următoarele:

a) utilizarea unui contor de timp real absolut, pornit, de exemplu, la începutul controlării procesului și citirea conținutului acestui contor la apariția evenimentelor urmărite din proces.

b) utilizarea timerelor pentru declanșarea unor semnale de intrerupere la intervale de timp cu care au fost programate, și contorizarea evenimentelor apărute în aceste intervale de timp.

Un microsistem folosit în comanda circuitelor de acționare electrică trebuie prevăzut cu $1 \div 3$ generatoare de timp real. Exemplul caracteristic de întrebuițare a timerelor în genul de aplicație amintit este determinarea vitezei de avans a organului mobil al acționării, prin contorizarea deplasării efectuate de acesta într-un interval de timp stabilit.

În activitatea sa de comandă și control a acționării, microsistemul conlucrează cu o serie de dispozitive externe unității centrale și memoriei, iar dialogul cu acestea este intermitent. Dispozitivele externe trebuie să primească, la momentul potrivit, atenția unității centrale, prin intermediul unui sistem de intreruperi corespunzător.

Sistemul de intreruperi este constituit din structura hardware special construită și setul de subrutine din nucleul păstrat în memoria ROM. Principalele sarcini ale sistemului de intreruperi sunt:

- acceptarea semnalelor de intrerupere,
- determinarea cererii cu prioritate maximă,
- compararea nivelului de prioritate al intrerupерii cu cel al programului curent, executat de către unitatea centrală,
- intreruperea unității centrale cind nivelul de prioritate al intrerupерii este adekvat,
- informarea unității centrale asupra adresei de start, care servește intreruperea (de obicei o instrucție *CALL*).

În aplicațiile specifice acționărilor electrice, semnalele care solicită intreruperea se pot împărti în trei categorii: semnalele sosite de la proces

semnale de la unitatea de comandă de nivel superior (sau operatorul uman) și semnale de sincronizare generate de timerele sistemului.

În funcție de aplicația concretă, utilizatorul stabilește o ordine a priorităților semnalelor de întrerupere și asigură conectarea hardware corespunzătoare a dispozitivelor care le generează. În acest caz, microprocesorul își desfășoară activitatea curentă, pînă la apariția unei cereri de întrerupere, cînd prelucrările curente se întrerup pentru perioada tratării solicitării sosite, prin subrutine adecvate aflate la adrese prestabilite. Un asemenea mod de rezolvare a cererilor de întrerupere este cel mai eficient în aplicațiile concrete.

Avînd în vedere numărul mediu relativ restrîns de semnale de întrerupere ce pot apărea în comanda circuitelor de acționare electrică, este suficient un număr maxim de 8 niveluri de prioritate a întreruperilor, care pot fi gestionate cu o singură capsulă de tip 8259 [32].

În cercetările de la IPTVT, cu privire la utilizarea microprocesoarelor în comanda acționărilor electrice, s-au folosit microprocesoarele: 8035-din familia 8048; 8085, din familia 8080 și Z80. Fiecare dintre cele trei microprocesoare întrebuiște este reprezentant al cîte uneia din trei generații. În cele ce urmează se prezintă, pe scurt, structurile sistemelor construite și utilizate, în vîderea unei discuții în paralel asupra rezultatelor practice obținute și a diferențelor specifice apărute în diverse aplicații, precum și pentru a se stabili avantajele și dezavantajele rezultate din utilizarea de microprocesoare din generații diferite.

2.2. SISTEM DE COMANDĂ CU MICROPROCESORUL 8035

Microprocesorul 8035 face parte din familia 8048, familie cunoscută în literatura de specialitate sub denumirea de „low-end microprocessor”, tradus în limba română, „microsistem într-o singură capsulă” [78, 79, 19]. Schema bloc internă a microprocesorului 8048 este redată în figura 2.4 [55]. Din această structură se poate observa că microprocesorul 8048 conține, intern, toate blocurile ce intră în compoziția unui sistem de calcul.

Microprocesorul 8035 prezintă o serie de caracteristici comune familiei 8048: poate funcționa ca dispozitiv de sine stătător sau ca parte a unei configurații multiprocesor; are o singură sursă de alimentare de +5V; conține unitatea centrală a unui microcalculator cu toate elementele componente, o memorie RAM cu 64 de octeți, care poate fi folosită și îndeplinind rolul de registre generale, porturi de intrare-iesire și un generator de timp real programabil. Deosebirea esențială între microprocesorul 8035 și 8048 este că 8035 nu are memorie ROM internă, ceea ce implică necesitatea de a conecta în sistem o capsulă de memorie ROM și un amplificator de magistrală. Schema de principiu a configurației realizate este prezentată în figura 2.5. [8, 11].

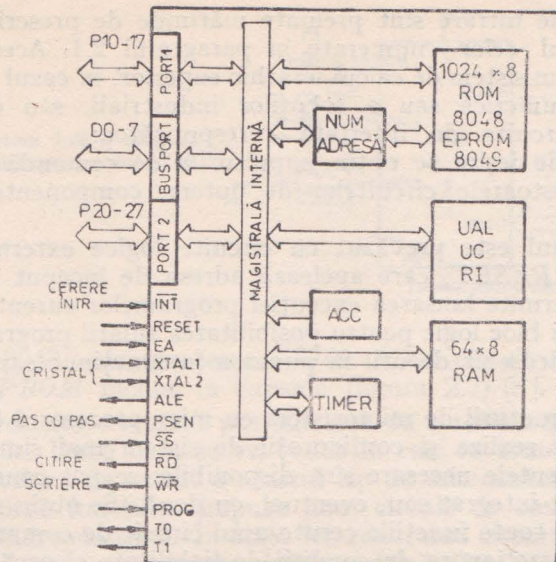


Fig. 2.4. Structura microprocesorului 8048.

Micropresorul 8035 este prevăzut cu trei porturi bidirectionale de cîte 8 biți. În cazul sistemului de față, „BUS-PORT”-ul microprocesorului este utilizat, prin multiplexare, ca magistrală de date și adrese. Astfel, pe liniile acestui port se generează cei mai puțin semnificativi 8 biți de adresă, pe aceleși linii sosesc și instrucțiile programului din memoria *EPROM* externă. Liniile P20-23 din portul P2 sunt, de asemenea, folosite pentru magistrala de adrese a sistemului. Pentru dialogul cu exteriorul au rămas la dispoziție patru linii din portul P2 (P24-P27) și portul P1. Aceste linii sunt programabile ca linii de intrare sau ieșire.

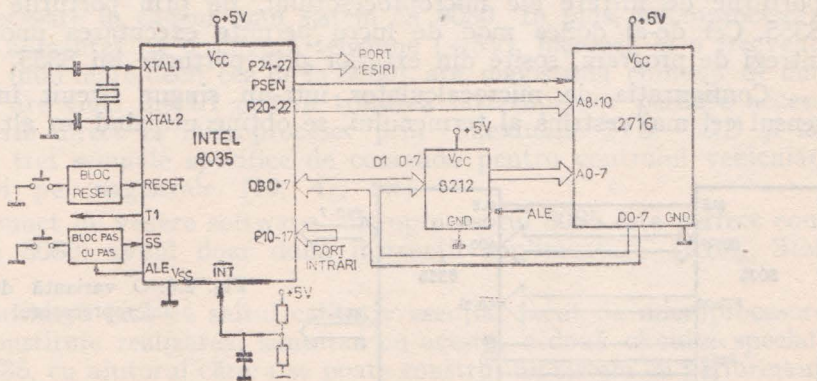


Fig. 2.5. Sistem cu microprocesorul 8035.

Pe liniile de intrare sunt preluate mărimile de prescriere și datele de proces de tipul celor enumerate în paragraful 2.1. Aceste semnale pot fi primite de la un sistem de calcul ierarhic superior, în cazul mașinilor-unelte cu comandă numerică sau a roboților industriali, sau de la operatorul uman, prin circuite de interfață corespunzătoare.

Pe liniile de ieșire se obțin impulsurile de comandă pentru tranzistoarele sau tiristoarele circuitelor de putere, componente ale sistemului de acționare.

Microsistemu este prevăzut cu circuite logice externe pentru realizarea comenzi *RESET*, care apelează adresa de început a subrutinei de inițializare și permite lansarea execuției programelor curente. S-a prevăzut de asemenea, un bloc logic pentru posibilitatea rulării programelor în modul „pas cu pas”, deosebit de util la punerea în funcțiune sau depanarea sistemului.

În afara structurii de microsistem cu microprocesorul 8035 prezentată anterior, se pot realiza și configurații de sistem mai simple. În situația în care componentele necesare sunt disponibile, se pot construi sisteme cu un singur circuit integrat sau, eventual, cu două. Se obțin sisteme capabile să îndeplinească toate funcțiile cerute unui circuit de comandă pentru anumite circuite de acționare, în condiții de fiabilitate și preț de cost extrem de avantajoase.

În figura 2.6 se prezintă o configurație de microsistem complet, obținut prin conectarea la microprocesorul 8035 a unei capsule 8355. Semnalele neimplicate direct în dialogul dintre cele două circuite integrate nu s-au prezentat pe figură.

Circuitul 8355 conține 2 kocete memorie *PROM* și două porturi intrare-ieșire de cîte 8 biți și prezintă avantajul de a putea fi direct conectat la microprocesorul 8035 [55].

Microsistemul complet obținut cu numai două circuite integrate are avantajul de a putea lucra în două moduri distințe. Primul mod este identic cu cel descris anterior, programul fiind înscris în circuitul 8355. Informațiile exterioare și (sau) de la sistemul ierarhic superior pot sosi fie prin porturile de intrare ale microprocesorului, fie prin porturile circuitului 8355. Cel de-al doilea mod de lucru permite executarea unor secvențe întregi de program, sosite din exterior prin porturile lui 8355.

Configurația de microcalculator într-un singur circuit integrat, în sensul cel mai restrîns al termenului, se obține utilizînd un alt micropo-

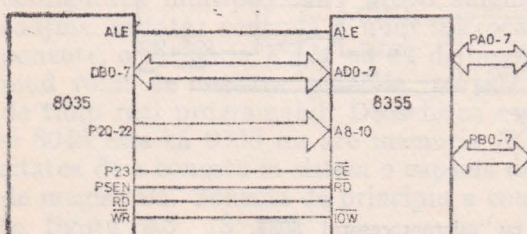
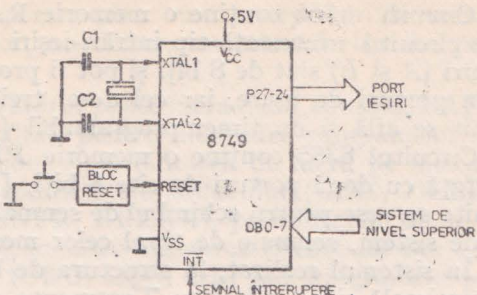


Fig. 2.6. O variantă de sistem cu microprocesorul 8035.

Fig. 2.7. Sistem într-o singură capsulă cu micropresorul 8749.



cesor din seria 8048, micropresorul 8749. Acest circuit are cei 2 kocete de memorie *EPROM* inclusi în capsulă (figura 2.7). [8].

Din cele prezentate rezultă posibilitatea de a realiza sisteme de calcul extrem de simple. După cum se va vedea în cele ce urmează, capacitatea de memorie și viteza de calcul a acestui tip de microsistem sunt suficiente pentru îndeplinirea funcțiilor impuse unui circuit de comandă, în multe circuite de acționare electrică. În acest fel, realizarea circuitelor de comandă pentru acționări devine extrem de simplă, ieftină, flexibilă, fiabilă și, practic, tipizată.

2.3. SISTEM DE DEZVOLTARE CU MICROPROCESORUL 8085

Micropresorul 8085 se consideră succesorul direct al micropresorului 8080. Din punct de vedere hardware, circuitul 8085 înglobează într-un singur circuit integrat funcțiile micropresorului 8080, ale generatorului de tact 8224 și ale circuitului de comandă 8228, acestea din urmă absolut necesare în cadrul unui sistem cu 8080. În plus, micropresorul 8085 este alimentat cu o singură tensiune (+5V), lucrează la o frecvență de 3 MHz (mai mare decât cea de la 8080), are magistrală comună de date și adrese, are cinci intrări pentru tratarea intreruperilor permite accesul datelor serie direct la micropresor prin conexiunile *SID-SOD* și are prevăzute trei semnale specifice de comandă pentru controlul vehiculării informației pe magistrale. [19, 47, 55].

Din punct de vedere software, micropresorul 8085 este perfect compatibil cu 8080, având doar două instrucții suplimentare (RIM, SIM) [47, 32].

Se consideră însă că saltul calitativ esențial făcut de micropresorul 8085, îl constituie realizarea, simultan cu acesta, a două circuite speciale, 8155 și 8355, cu ajutorul căror se poate construi un sistem cu performanțe foarte bune, prin simpla interconectare a numai trei circuite integrate.

Circuitul 8155 conține o memorie RAM cu o capacitate de 256 octeți și un circuit de interfață tip intrări-iesiri (I/E) cu trei porturi. Două dintre porturi (A și B) sunt de 8 biți și pot fi programate fie ca porturi de intrare, fie ca porturi de ieșire, iar cel de-al treilea (C) este de 6 biți. În același circuit se află și un timer programabil [19, 55].

Circuitul 8355 conține o memorie PROM de 2 kocete și un circuit interfață cu două porturi de cîte 8 biți, [19, 55]. Liniile porturilor acestor circuite servesc pentru schimbul de semnale cu circuitul de actionare comandat de sistem, semnale de tipul celor menționate în paragraful 2.1.

În sistemul realizat, la structura de bază s-a atașat inițial o tastatură hexazecimală și un afișaj cu 7 segmente, comandate prin intermediul unui circuit 8279.

În acest mod s-a obținut un sistem cu o structură minimală, dar care a corespuns pentru efectuarea unor aplicații de complexitate medie [85].

Ulterior, microsistemul a fost extins. S-a adăugat o memorie suplimentară de 32 kocete RAM dinamic și 4 kocete EPROM. Au fost incluse în sistem și cîte un circuit 8155 și 8355, suplimentare, pentru realizarea de mai multe porturi I/E și dotarea cu un al doilea timer. S-a construit, apoi, un circuit interfață pentru display și consola de tip DAF 1001 paralel. De asemenea, cu ajutorul unui circuit 8255 (trei porturi programabile intrare-iesire) s-a efectuat o interfață de comunicare cu lector și perforator de bandă.

Configurația sistemului realizat și utilizat în aplicații este dată în figura 2.8 [66, 11, 9]. Din punct de vedere software, sistemul a fost dotat cu un sistem de operare minimal interactiv în memoria ROM. Nucleul sistemului de operare conține subrutina de initializare, subrutinile de tratare I/E la nivel fizic, subrute de gestionare a întreruperilor și un număr de subrute utilizare (temporizări, intercomunicații etc.). Celealte blocuri soft-

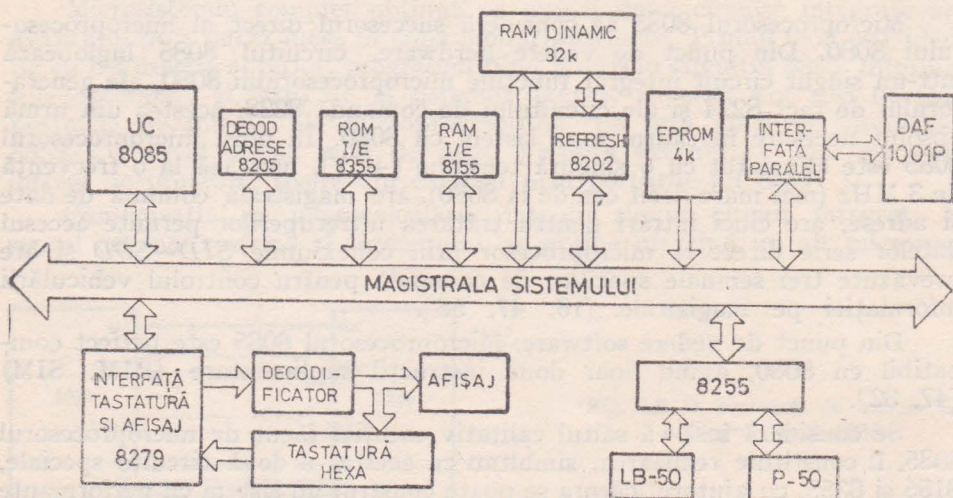


Fig. 2.8. Sistem cu microprocesorul 8085.

ware din cadrul sistemului de operare sînt: un interpreter de comenzi, un sistem de gestiune al fișierelor, un editor, un asamblor în doi pași și un depanator.

Prinț-o astfel de dotare, operatorul poate lucra de la consola DAF-ului și are la dispoziție o serie de facilități pentru alcătuirea programelor. Dintre acestea facilități se pot menționa: posibilitatea de lucru pe maximum 6 fișiere, utilizarea unui set de comenzi ale editorului (LIST, DELETE) sau ale depanatorului (DUMP, ENTR, BREAK), posibilitatea de a scrie programul în limbaj de asamblare, inclusiv utilizarea etichetelor sau a unor pseudoinstrucții ale asamblorului (ORG, EQU, DB) și.a. Programele pot fi citite sau salvate pe bandă perforată.

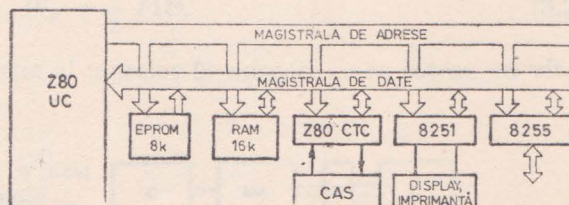
Pe parcursul lucrării, cu deosebire în cap IV, se prezintă programe întocmite pe sistem și se evidențiază detalii cu privire la facilitățile oferite de acesta.

Sistemul prezentat, succint, în acest paragraf, este capabil să realizeze conducerea unor procese complexe, cu un număr suficient de mare de unități de proces controlabile și implicînd calcule laborioase. Configurația construită și utilizată reprezintă mai mult decît o structură strict concepută pentru comanda nemijlocită a circuitelor de acționare electrică, de tipul prezentat, principal, în paragraful 2.1. Microcalculatorul descris poate fi, însă, folosit la întocmirea, punerea la punct și depanarea unor programe pentru alte sisteme, mai restrînse, componente propriu-zise ale circuitelor de acționare electrică.

2.4. SISTEM DE COMANDĂ CU MICROPROCESORUL Z80

Structura sistemului utilizat este dată în figura 2.9 [11] și reprezintă o structură standard de microcalculator de uz general. Microprocesorul Z80 este considerat primul reprezentat al familiilor de microprocesoare moderne. Deși descendent din familia 8080, microprocesorul Z80 are resurse mult sporite, mai ales din punct de vedere software. Dintre aceste modalități sînt de amintit: posibilitatea adresării indexate cu ajutorul a două registre index, posibilitatea adresării relative și pe bit, existența setului

Fig. 2.9. Sistem cu microprocesorul Z80.



alternativ de registre, precum și a instrucțiilor de transfer de date în bloc, [55, 46].

Memoria sistemului este formată din 8 kocete EPROM și 16 kocete RAM dinamic. Comunicația cu utilizatorul este asigurată prin DAF, imprimantă și casetofon, legate la sistem printr-o interfață realizată cu circuitele Z80 CTC și 8251. Programele se încarcă de pe casetofon în memoria RAM. Schimbul de semnale cu circuitele de acționare propriu-zise similare cu cele amintite la paragraful 2.1 se face prin circuitul 8255.

CAPITOLUL III

UTILIZAREA MICROPROCESOARELOR ÎN COMANDA ACȚIONĂRILOR CU MOTOARE DE CURENT CONTINUU

3.1. PROBLEME SPECIFICE CU PRIVIRE LA ACȚIONĂRILE CU MAȘINI DE CURENT CONTINUU

Structura unei acționări electromecanice se prezintă schematic ca în figura 3.1. [62, 28, 70], unde L este mașina de lucru (mecanismul executor), MA motorul de acționare, C convertorul de energie prin care este alimentat motorul, iar V concretizează masele în mișcare (volant).

Mașina de lucru dezvoltă în arborele motorului un cuplu static M_s . Pentru învingerea acestuia, motorul de acționare trebuie să producă cuplu motor M . În regim staționar $M = M_s$. La o modificare a unuia din cele două cupluri rezultă schimbarea regimului de funcționare, se modifică viteza de lucru și deci energia cinetică a maselor în mișcare.

Variația energiei cinetice a maselor, raportată la arborele motorului în unitatea de timp reprezintă puterea inertială [70].

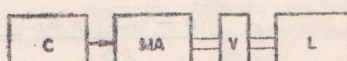
$$P_J = \frac{dW_e}{dt}. \quad (3.1)$$

Dar

$$W_e = \frac{1}{2} J \Omega^2, \quad (3.2)$$

unde J este momentul de inerție al maselor în mișcare ce se rotesc cu viteză unghiulară Ω .

Fig. 3.1. Structura bloc a unei acționări electromecanice.



Deci

$$P_J = J\Omega \frac{d\Omega}{dt} + \frac{\Omega^2}{2} \frac{dJ}{d\alpha} \cdot \frac{d\alpha}{dt} = J\Omega \frac{d\Omega}{dt} + \frac{\Omega^2}{2} \frac{dJ}{d\alpha}, \quad (3.3)$$

(se admite, în general, că J variază cu poziția unghiulară α).

Cuplul dinamic, ce reprezintă diferența dintre cuplul motor și cel rezistent, este :

$$M_d = M - M_s = \frac{P_J}{\Omega} = J \frac{d\Omega}{dt} + \frac{\Omega^2}{2} \frac{dJ}{d\alpha}. \quad (3.4)$$

În practică, de cele mai multe ori, $J = \text{const.}$ și ecuația de mișcare devine :

$$M - M_s = J \frac{d\Omega}{dt}, \quad (3.5)$$

cu consecințele imediate :

- a) $M > M_s \Rightarrow \frac{d\Omega}{dt} > 0$ — accelerarea acționării,
- b) $M < M_s \Rightarrow \frac{d\Omega}{dt} < 0$ — încetinirea acționării,
- c) $M = M_s \Rightarrow \Omega = \text{const.}$ — regim staționar.

Funcționarea unei acționării în timpul proceselor tranzitorii depinde de modul de variație al cuplului motor și al cuplului rezistent în funcție de viteza.

Pentru motoare, definițorii în acest sens sunt caracteristicile mecanice $\Omega = f(M)$ [70]. În cazul motorului de curent continuu cu excitație separată, caracteristica mecanică naturală se obține din ecuația :

$$u = u_e + (R_i + R)i_i + L \frac{di_i}{dt}, \quad (3.6)$$

unde : u este tensiunea la borne, u_e — tensiunea indușă, R_i și i_i — rezistența și curentul prin induș, R — rezistența exterioară conectată în serie cu indușul, iar L — inductivitatea indușului [70].

Dar

$$u_e = k\Phi\Omega, \quad [62], \quad (3.7)$$

cu : Φ — fluxul de excitație, Ω — viteza unghiulară, k — o constantă care depinde de construcția motorului (numărul de perechi de poli, numărul de spire din induș etc.).

Rezultă, în regim stabilizat :

$$u = k\Phi\Omega + i_i(R_i + R),$$

$$\Omega = \frac{u - i_i(R_i + R)}{k\Phi} = \frac{u}{k\Phi} \left(1 - \frac{R_i + R}{u} i_i \right). \quad (3.8)$$

Considerind că Φ se menține la valoarea de la mersul în gol Φ_0 , avem :

$$\begin{aligned}\Omega &= \frac{u}{k\Phi_0} \left(1 - \frac{(R_i + R)i_i}{u}\right) = \Omega_0 \left(1 - \frac{(R + R_i)i_i}{u}\right) = \\ &= \Omega_0 - \frac{\Omega_0(R_i + R)i_i}{k\Phi_0 \Omega_0} = \Omega_0 - \frac{(R_i + R)i_i}{K} = \Omega_0 - \Delta\Omega,\end{aligned}\quad (3.9)$$

cu $K = k\Phi_0$.

Ecuația (3.9), $\Omega = f(i_i)$, se reprezintă de obicei în coordonate $\Omega = f(M)$, deoarece cuplul :

$$M = \frac{P_e}{\Omega} = \frac{u e i_i}{\Omega} = \frac{k\Phi\Omega i_i}{\Omega} = k\Phi i_i \quad (3.10)$$

este direct dependent de curent.

Graficul relației $\Omega = \Omega_0 - \Delta\Omega$ se numește caracteristica mecanică a mașinii [70] și este o dreaptă de alură din figura 3.2.

Caracteristica naturală corespunde lui $R = 0$, iar $\Delta\Omega = \frac{R_i i_i}{K}$ reprezintă căderea de viteză. Pentru $R \neq 0$ se obțin caracteristicile artificiale.

O astfel de caracteristică mecanică are un caracter rigid, în sensul că viteza de rotație descrește relativ puțin prin mărirea cuplului.

Din ecuația (3.8) rezultă și metodele de modificare a turăției motorului de curent continuu cu excitație separată :

1. Prin intercalarea de rezistențe în serie cu indusul ;
2. Prin șuntarea indusului cu o rezistență ;
3. Prin slabire de cîmp (a curentului de excitație) ;
4. Prin schimbarea tensiunii la bornele indusului, excitația rămînînd constantă, [62, 23].

Dintre aceste metode, cea mai răspîndită este cea prin schimbarea tensiunii la borne, pentru că prin această metodă caracteristicile artifi-

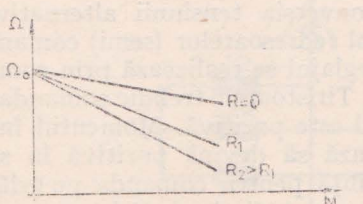


Fig. 3.2. Forma caracteristicilor mecanice ale mașinii de curent continuu.

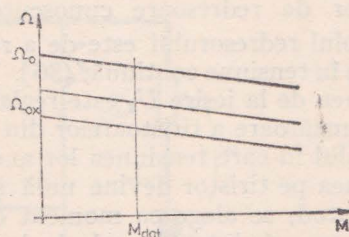


Fig. 3.3. Familia de caracteristici mecanice obținută prin modificarea tensiunii la bornele motorului de c.c.

ciale rămîn paralele cu cea naturală și nu apare nici dezavantajul pierderilor de energie [36, 62].

Din relația (3.8) :

$$\Omega = \frac{u - Ri_i}{k\Phi}, \quad (3.11)$$

cînd u scade, scade și termenul $\frac{u}{k\Phi}$. Se obține familia de caracteristici din figura 3.3, adică o deplasare a caracteristicii mecanice momentane.

În concluzie, motorul de curenț continuu prezintă două avantaje majore pentru acționările electromecanice: permite modificarea turației în limite largi, în condițiile menținerii cuplului la o valoare ridicată și suficient de constantă, iar modificarea turației se poate face relativ simplu, cu variația tensiunii de alimentare.

3.2. SISTEME DE ACȚIONARE CU MOTOARE DE CURENT CONTINUU ALIMENTATE DE LA REDRESOARE COMANDATE

Acționările reglabile de curenț continuu s-au impus astăzi, practic, definitiv [36]. Există acum experiență vastă și un larg spațiu bibliografic în acest domeniu [22, 69, 62, 37].

În preocupările noastre cu privire la utilizarea microprocesoarelor în comanda acționărilor electrice am folosit două tipuri de redresoare: redresorul monofazat în punte semicomandată și redresorul trifazat în punte complet comandată. Modul de abordare a problemei, rezultatele obținute, concluziile desprinse se pot extinde cu ușurință asupra tuturor tipurilor de redresoare cunoscute.

Rolul redresorului este de a realiza conversia tensiunii alternative de la rețea în tensiune continuă, [36]. În cazul redresoarelor (semi) comandate, tensiunea de la ieșire U_d este reglabilă. Reglajul se realizează prin comanda corespunzătoare a tiristoarelor din circuit. Tiristoarele trebuie comandate pe intervalul în care tensiunea lor anod-catod este pozitivă. Momentul în care tensiunea pe tiristor devine nulă și urmează să devină pozitivă în sensul anod-catod, se alege ca moment de referință pentru comanda pe grilă. În raport cu referința, impulsul de aprindere al fiecărui tiristor poate fi aplicat la un interval de timp variabil. Exprimând acest interval în radijani, se definește unghiul de comandă (α) pentru tiristoare. Valoarea medie a tensiunii redresate se modifică, dacă și unghiul de comandă se modifică.

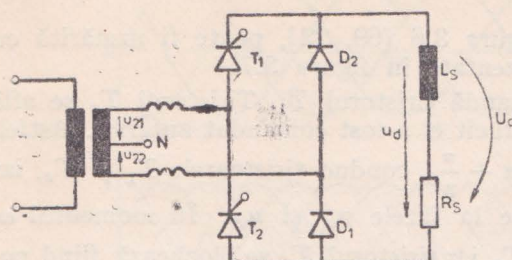


Fig. 3.4. Redresor monofazat în punte semicomandată.

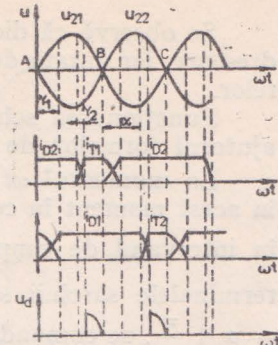


Fig. 3.5. Formele de undă reprezentative pentru redresorul monofazat în punte semicomandată.

Momentul de referință pentru unghiul de comandă este momentul trecerii prin zero a tensiunii rețelei, în cazul redresorului monofazat, respectiv momentul egalității, în domeniul valorilor pozitive, între două tensiuni de fază ale rețelei, în cazul redresorului trifazat [69].

Structura circuitelor utilizate este prezentată în figurile 3.4 și 3.6. Funcționarea schemei din figura 3.4 poate fi urmărită cu ajutorul formelor de undă reprezentate în figura 3.5. [62].

În punctul *A* al diagramei se presupune că începe ieșirea din conducție a tiristorului T_2 . Intră în conducție dioda D_1 . Cum pînă în acest moment se află în conducție și dioda D_2 , rezultă că tensiunea la bornele rezistenței de sarcină este de valoare scăzută. Diodele se mențin în conducție pînă cînd la momentul $\omega t = \alpha$ se aplică un impuls de comandă tiristorului T_1 . Pe durata intervalului de comutație γ_2 , tensiunea u_d este practic egală cu zero. După unghiul γ_2 , curentul de sarcină trece în întregime prin T_1 și D_1 . La trecerea prin zero a tensiunii din anodul lui T_1 , acesta începe să se blocheze (punctul *B*). Dioda D_2 intră în conducție și pînă la o nouă comandă, tensiunea redresată u_d este de o valoare scăzută, considerată, de obicei, nulă.

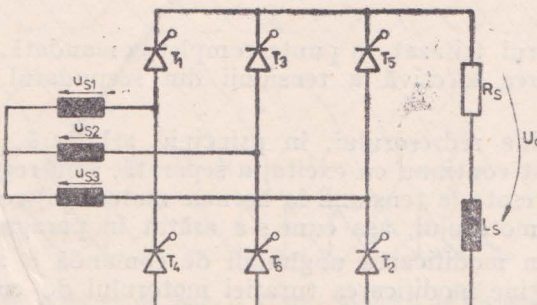


Fig. 3.6. Redresor trifazat în punte comandată.

Se observă că diodele conduc, atât ca diode de nul, cît și ca diode redresoare, iar durata de conduction a lor este mai mare decât aceea a tiristoarelor.

Funcționarea schemei din figura 3.6 [69, 22], poate fi urmărită cu ajutorul formelor de undă reprezentate în figura 3.7.

La momentul $\omega t = \alpha$ se comandă tiristorul T_1 . Tiristorul T_6 se află în acest moment în conduction, întrucât el a fost comandat anterior. Astfel, în intervalul de timp $\alpha < \omega t < \alpha + \frac{\pi}{3}$, conduc tiristoarele T_1 și T_6 , iar terminalele sarcinii sunt conectate la fazele u_{s1} și u_{s2} . În momentul $\omega t = \alpha + \frac{\pi}{3}$, se comandă tiristorul T_2 , iar tiristorul T_6 se blochează fiind polarizat invers (comutație naturală). Curentul din tiristorul T_6 este preluat de tiristorul T_2 , și, ca urmare, tensiunea la bornele sarcinii este: $u_d = u_{s1} - u_{s3}$. Acest proces se repetă după cîte 60 grade sexagesimale, ori de cîte ori se comandă cîte un tiristor. Tiristoarele din schema prezentată în figura 3.6 au fost numerotate în ordinea în care trebuie comandate.

În figura 3.7 a fost reprezentată tensiunea la bornele sarcinii pentru diferite unghiuri de comandă. Pentru un unghi $\alpha > 90^\circ$, tensiunea U_d devine negativă. Această situație corespunde funcționării numite „în regim de invertor”, [62, 28] și este posibilă numai dacă în locul sarcinii se conectează o sursă de tensiune negativă, și deci energia este dirijată din partea de curenț continuu spre partea de curenț alternativ.

Dependența valorii medii a tensiunii redresate U_d , la ieșire, de unghiul de comandă este:

$$U_d = \frac{\sqrt{2}}{\pi} U_s (\cos \alpha + 1), \quad (3.12)$$

pentru redresorul monofazat în punte semicomandată și

$$U_d = \frac{3\sqrt{6}}{\pi} U_s \cos \alpha, \quad (3.13)$$

pentru redresorul trifazat în punte complet comandată. În ambele relații, U_s este valoarea efectivă a tensiunii din secundarul transformatorului [69].

Dacă sarcina redresorului, în principiu arbitrajă, este îndusul unui motor de curenț continuu cu excitația separată, prin reglarea valorii medii a tensiunii redresate (a tensiunii la bornele motorului) se realizează modificarea turăției motorului, așa cum s-a arătat în paragraful 3.1.

Astfel, prin modificarea unghiului de comandă α al tiristoarelor din redresor, se obține modificarea turăției motorului de curenț continuu de acționare. Această metodă asigură un reglaj continuu al turăției motorului de la zero, la valoarea maximă, fără pierderi de putere activă [36, 62].

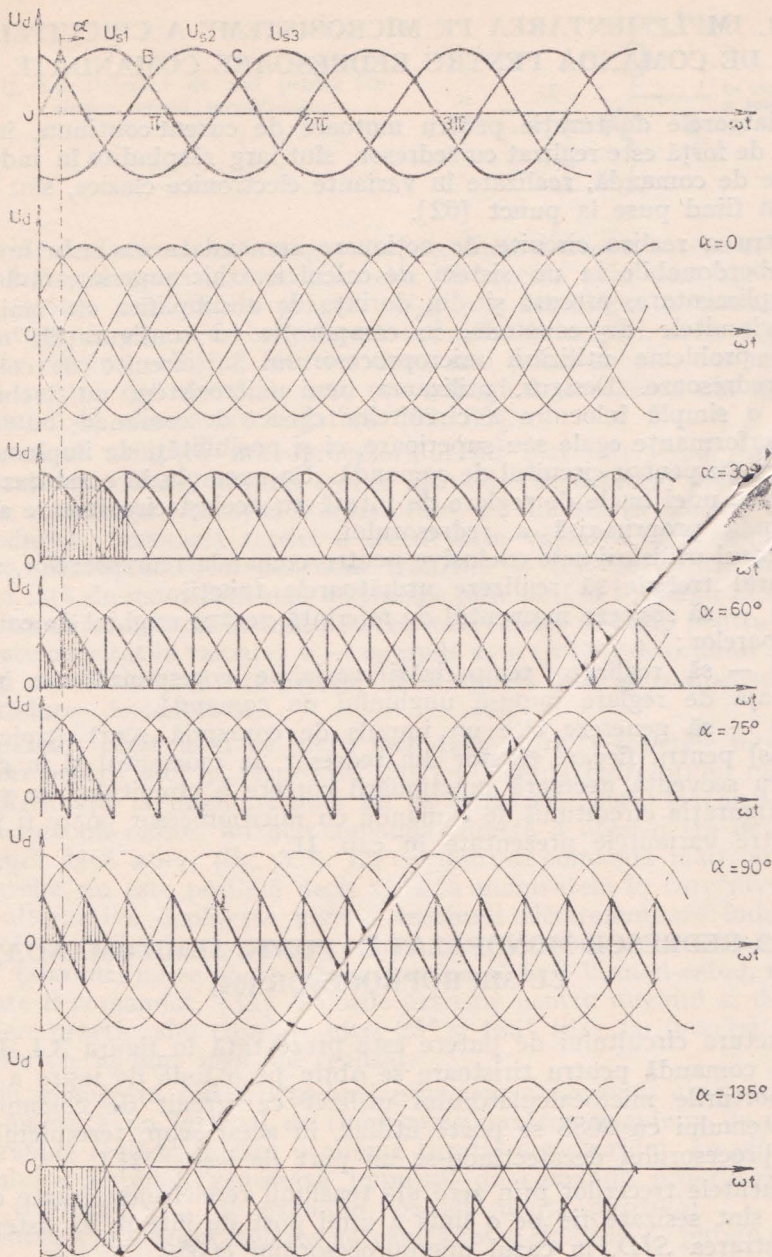


Fig. 3.7. Forma tensiunii de ieșire la diferite unghiuri de comandă pentru redresorul trifazat.

3.2.1. IMPLEMENTAREA PE MICROSISTEME A CIRCUITELOR DE COMANDĂ PENTRU REDRESOARE COMANDATE

Variatoarele de turație pentru motoare de curent continuu, în care circuitul de forță este realizat cu redresor, sunt larg răspândite în industrie. Circuitele de comandă, realizate în variante electronice clasice, sunt considerate ca fiind puse la punct [62].

Pentru a realiza circuite de acționare comandate exclusiv numeric, direct subordonabile la un sistem de calcul ierarhic superior, fără interfață suplimentare, precum și din dorința de a simplifica cît mai mult posibil circuitele de comandă, în comparație cu configurațiile clasice, se pune problema utilizării microprocesorului în circuite de comandă pentru redresoare. Desigur, utilizarea unui microsistem nu trebuie să înseanțe o simplă înlocuire a circuitelor clasice de comandă, cu realizarea de performanțe egale sau superioare, ci și posibilități de implementare de noi funcții pentru circuitul de comandă. Un exemplu în acest caz poate fi realizarea unei bucle de reglare de viteză cu același circuit care asigură și comanda propriu-zisă a redresorului.

În cazul utilizării sale exclusive pentru comanda redresoarelor, microcalculatorul trebuie să realizeze următoarele funcții:

(F1) — să sesizeze momentul de referință pentru unghiul de comandă al tiristoarelor;

(F2) — să realizeze temporizări variabile corespunzătoare pentru toată plaja de reglare impusă unghiului de comandă,

(F3) — să genereze cîte un impuls de comandă scurt (tipic $t_i = 100 \mu s$) pentru fiecare tiristor din redresor, la momentul și în conformitate cu secvența necesară funcționării corecte a circuitului de putere.

Configurația circuitului de comandă cu microprocesor poate fi în oricare dintre variantele prezentate în cap. II.

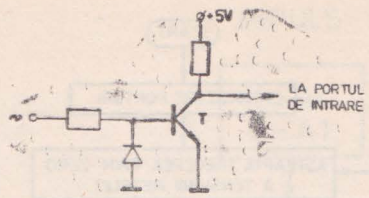
3.2.2. REDRESOR MONOFAZAT ÎN PUNTE SEMICOMANDATĂ CU MICROPROCESOR [64]

Structura circuitului de putere este prezentată în figura 3.4. Impulsurile de comandă pentru tiristoare se obțin pe o linie de ieșire a unuia dintre porturile microcalculatorului utilizat ca circuit de comandă. În cazul sistemului cu 8085 se poate utiliza, în acest scop, terminalul SOD al microprocesorului dezafectîndu-se un port de ieșire [11].

Momentele trecerilor prin zero ale tensiunii rețelei monofazate de alimentare sunt sesizate fie pe o linie a unui port de intrare al sistemului, fie pe intrarea *SID*, în cazul microprocesorului 8085.

Pentru că microprocesorul lucrează cu niveluri de tensiune *TTL*, tensiunea alternativă este transformată într-o tensiune dreptunghiulară, prin intermediul unui circuit de forma din figura 3.8, conectat la exteriorul sistemului.

Fig. 3.8. Detector de nul pentru tensiunea rețelei monofazate.



Evident, o asemenea configurație introduce o eroare în ceea ce privește determinarea cu precizie a momentelor de trecere prin zero ale tensiunii rețelei, eroare cauzată de pragul, U_{bey} , de deschidere a tranzistorului, și, eventual, de viteza de comutare a acestuia. Principal, acest dezavantaj se poate elimina utilizând alte variante, mai puțin simple, dar mai costisitoare, pentru detectorul de nul, sau adăugind la schema din figura 3.8 o tensiune de alimentare negativă [62, 65].

În cazul utilizării microprocesorului nu mai este, însă, necesară o complicație hardware, întrucât erorile introduse de detector pot fi compensate. În momentul tranzitiei tranzistorului T , din starea blocată în starea de conducție, tensiunea rețelei a trecut prin valoarea zero înspre valori pozitive. Microprocesorul sesizează tranzitia și ține seama de întârzierea acesteia față de momentul real de trecere prin zero al tensiunii alternative. Astfel, numărul utilizat în contorizarea intervalelor de timp pentru unghiurile α este corectat la valoarea $\alpha - \alpha_k$, unde α_k sunt valori de ordinul zecimilor de grad sexazecimal și este prestatabilită în astă fel încât să compenseze erorile introduse de detector.

Aparent, acest mod de lucru introduce erori la capetele intervalului de valori pentru α (0° și, respectiv, 180°). Comanda redresorului monofazat monoalterană la unghiuri mici nu se utilizează, însă, în cazul în care sarcina este un motor, întrucât comanda corectă a acestui tip de redresor se asigură dacă $\alpha > \gamma_1$ (fig. 3.5). La unghiuri de comandă mari, amorsarea tiristoarelor nu este posibilă decât pînă la momentele în care nivelul tensiunii alternative depășește nivelul tensiunii electromotoare induse. Nici în cazul sarcinilor pur rezistive, comanda redresorului la un unghi $\alpha = 180^\circ$ (absolut) nu se poate realiza, pentru că la 0 V anod-catod, tiristorul nu poate fi comandat, [33]. Valorile extreme pentru unghiul α , din punct de vedere practic, sunt cuprinse între 25° și 155° [62], iar în acest interval, corecțiile cu α_k sunt ușor de realizat.

Din momentul sesizării trecerii prin zero a tensiunii alternative, sistemul așteaptă un interval de timp corespunzător unghiului de comandă α ce trebuie realizat pentru o anumită turătie a motorului. La sfîrșitul intervalului α sistemul generează impulsul de comandă propriu-zis unui dintre tiristoare (T_1 , de exemplu, pe alternanță pozitivă).

Pentru a se asigura izolarea galvanică între circuitul de putere și microprocesor, impulsurile generate de microsistem se transmit către redresor, prin intermediu unor optocuploare sau prin amplificatoare cu transformatoare de impulsuri, care formează impulsuri de formă și amplitudine corespunzătoare unei comenzi sigure (vezi paragraful 2.1).

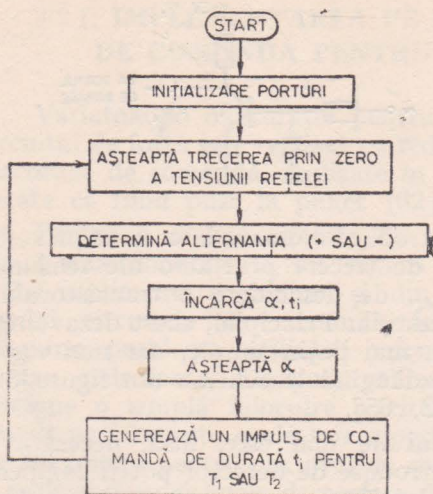


Fig. 3.9. Program de comandă pentru redresor monofazat monoalternanță cu participarea curentă a unității centrale.

Organigrama unui program concret întocmit și utilizat pentru [comanda redresorului monofazat monoalternanță este cea din figura 3.10 [64].

Programele detaliate pentru comanda redresorului monofazat realizată cu microprocesoarele 8035, 8085 și Z80 sunt cele de mai jos.

	8035
DIS TCNT I	
JMP E0	
IN A,P1	
MOV R6,A	
RETR	
E0: MOV A,#80	
OUTL P2,A	
ORL P1,#FF	
EN I	
IN A,P2	
MOV R5,A	
E1: IN A,P2	
XRL A,R5	
JZ E1	
MOV A,R6	
MOV T,A	
STRT T	
E6: JTF E5	
JMP E6	
E5: STOP TCNT	
ORL P2,#C0	
MOV R7,#t _i	
E7: DJNZ R7,E7	
JMP E0	

	8085
E1: MVI A,70H	
SIM	
RIM	
ANI 80H	
MOV E,A	
E2: RIM	
ANI 80H	
CMP E	
JZ E2	
LXI H,2200H	
MOV B,M	
INR L	
MOV C,M	
INR L	
MOV D,M	
E3: DCX B	
MOV A,C	
ORA B	
JNZ E3	
MVI A,0FDH	
SIM	
E4: DCR D	
JNZ E4	
JMP E1	

	Z80
E1: XOR A,A	
OUT 62H,A	
IN A,61H	
AND A,01	
LD E,A	
E2: IN A,61H	
AND A,01	
CP A,E	
JR Z,E2	
LD HL,(3000H)	
AST: DEC HL	
LD A,L	
OR A,H	
JR NZ,AST	
INC A	
OUT 62H,A	
LD B,ti	
IM: DJNZ IM	
JR E1	

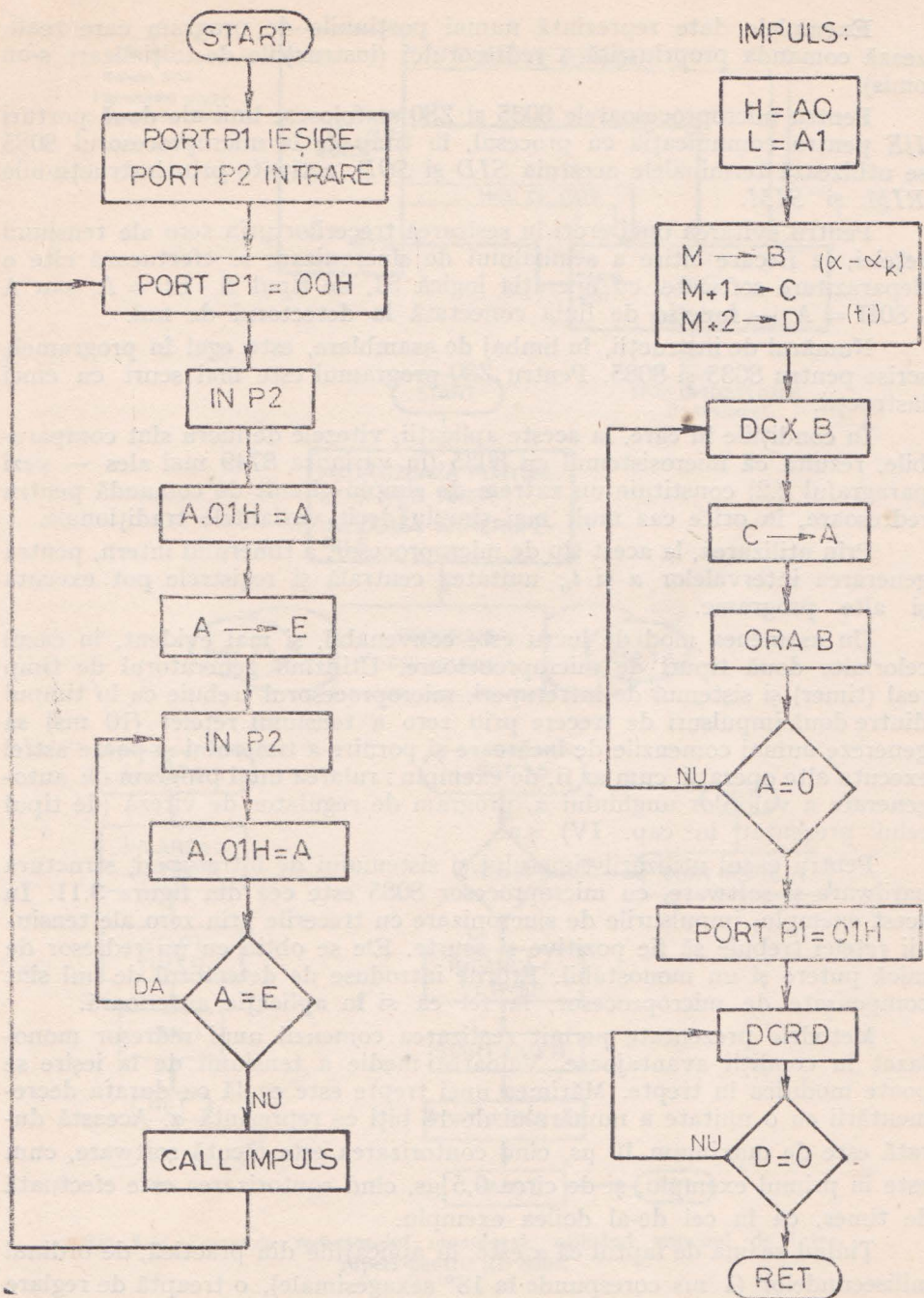


Fig. 3.10. Organigrama unui program utilizat la comanda redresorului monofazat.

Exemplele date reprezintă numai porțiunile de program care realizează comanda propriu-zisă a redresorului (instrucțiile de inițializare s-au omis).

Pentru microprocesoarele 8035 și Z80 se folosesc linii ale două porturi *I/E* pentru comunicația cu procesul, în timp ce la microprocesorul 8085 se utilizează terminalele acestuia *SID* și *SOD*, activate prin instrucțiunile *RIM* și *SIM*.

Pentru evitarea unei erori în sesizarea trecerilor prin zero ale tensiunii rețelei, la fiecare citire a semnalului de sincronizare se efectuează cîte o deparazitare software, cu operația logică $SI = A \cdot 01 = A$, sau $A \cdot 80H = A$ — funcție de linia conectată la detectorul de nul.

Numărul de instrucții, în limbaj de asamblare, este egal în programele scrise pentru 8035 și 8085. Pentru Z80 programul este mai scurt cu cinci instrucții.

În condițiile în care, la aceste aplicații, vitezele de lucru sunt comparabile, rezultă că microsistemul cu 8035 (în varianta 8749 mai ales — vezi paragraful 2.2) constituie un extrem de simplu circuit de comandă pentru redresoare, în orice caz mult mai simplu decât variantele tradiționale.

Prin utilizarea, la acest tip de microprocesor, a timerului intern, pentru generarea intervalelor α și t_i , unitatea centrală și registrele pot executa și alte programe.

Un asemenea mod de lucru este convenabil, și mai evident, în cazul celorlalte două tipuri de microprocesoare. Utilizînd generatorul de timp real (timer) și sistemul de întreruperi, microprocesorul trebuie ca în timpul dintre două impulsuri de trecere prin zero a tensiunii rețelei (10 ms) să genereze numai comenzi de încărcare și pornire a timerului și poate astfel executa alte operații, cum ar fi, de exemplu : rularea unui program de autogenerare a valorilor unghiului α , program de regulator de viteză (de tipul celui prezentat în cap. IV) și.a.

Pentru cazul utilizării timerului și sistemului de întreruperi, structura hardware și software, cu microprocesor 8085 este cea din figura 3.11. În acest exemplu, impulsurile de sincronizare cu trecerile prin zero ale tensiunii rețelei trebuie să fie pozitive și scurte. Ele se obțin cu un redresor de mică putere și un monostabil. Erorile introduse de detectorul de nul sunt compenate de microprocesor, la fel ca și în aplicația anterioară.

Metodele prezentate permit realizarea comenzi unui redresor monofazat în condiții avantajoase. Valoarea medie a tensiunii de la ieșire se poate modifica în trepte. Mărimea unei trepte este egală cu durata decrementării cu o unitate a numărului de 16 biți ce reprezintă α . Această durată este de maximum 10 μs , cînd contorizarea este făcută software, cum este în primul exemplu, și de circa 0,5 μs , cînd contorizarea este efectuată de timer, ca în cel de-al doilea exemplu.

Tinînd seama de faptul că α este, în aplicațiile din practică, de ordinul milisecundelor (1 ms corespunde la 18° sexagesimale), o treaptă de reglare a valorilor sale mai mică de 10 μs asigură o rezoluție foarte bună ($0,18^\circ$).

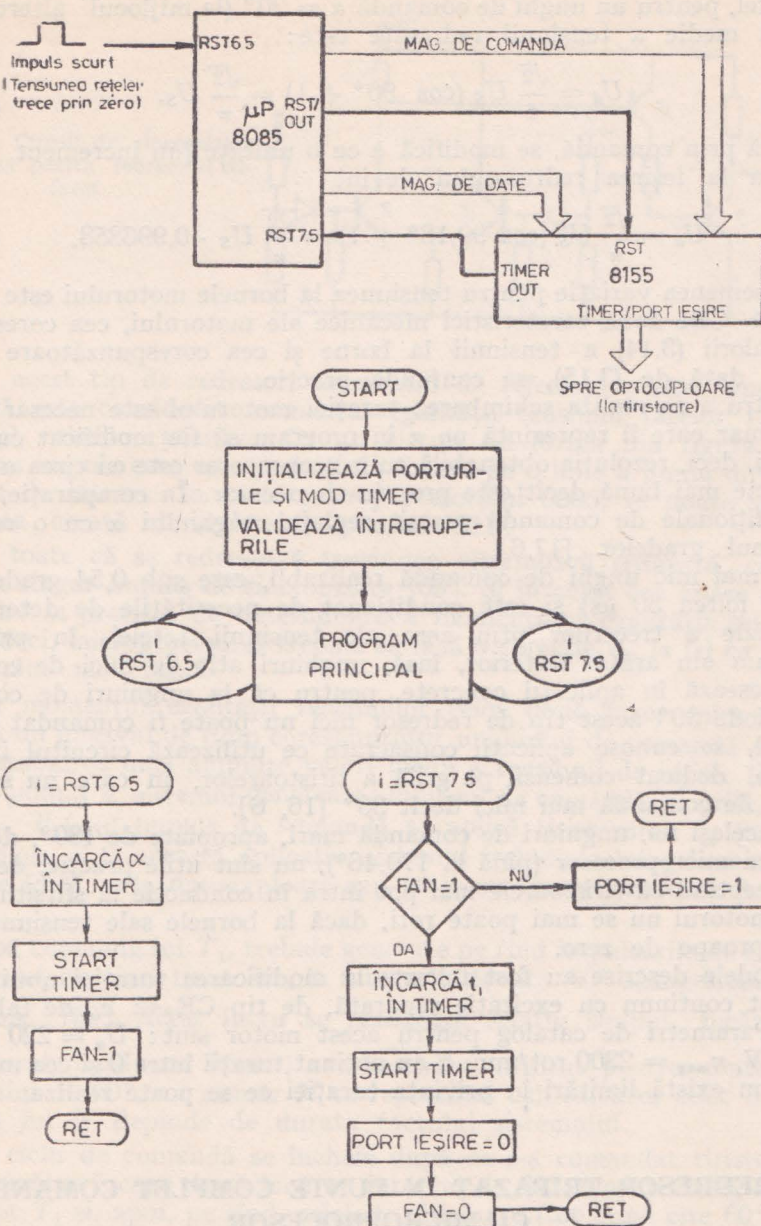


Fig. 3.11. Comanda redresorului monofazat, utilizînd sistemul de întreruperi pentru µP 8085.

Astfel, pentru un unghi de comandă $\alpha = 90^\circ$ (la mijlocul alternanței), valoarea medie a tensiunii redresate este:

$$U_d = \frac{\sqrt{2}}{\pi} U_s (\cos 90^\circ + 1) = \frac{\sqrt{2}}{\pi} U_s. \quad (3.14)$$

Dacă prin comandă, se modifică α cu o unitate (un increment 10 μs), tensiunea la ieșirea redresorului devine:

$$U_d = \frac{\sqrt{2}}{\pi} U_s (\cos 90,18^\circ + 1) = \frac{\sqrt{2}}{\pi} U_s \cdot 0,996858. \quad (3.15)$$

O asemenea variație pentru tensiunea la bornele motorului este nesemnificativă. Cele două caracteristici mecanice ale motorului, cea corespunzătoare valorii (3.14) a tensiunii la borne și cea corespunzătoare valorii tensiunii dată de (3.15), se confundă practic.

Pentru a se realiza schimbarea turației motorului este necesar ca numărul binar care îl reprezintă pe α în program să fie modificat cu 8–10 unități și, deci, rezoluția obținabilă cu microprocesor este cu circa un ordin de mărime mai bună decât este propriu-zis necesar. În comparație, circuitele tradiționale de comandă permit reglajul unghiului α cu o rezoluție de ordinul gradelor [17,6].

Cel mai mic unghi de comandă realizabil, este sub 0,54 grade sexagesimale (circa 30 μs) și este condiționat de necesitățile de determinare cu precizie a trecerilor prin zero ale tensiunii rețelei, în principal. Iupă cum am arătat anterior, însă, unghiuri atât de mici de comandă nu interesează în aplicații concrete, pentru că la unghiuri de comandă mai mici de 30° acest tip de redresor nici nu poate fi comandat ($\alpha > \gamma_1$). De altfel, se cunosc aplicații consacrate ce utilizează circuitul integrat $\beta\text{AA} 145$, dedicat comenzi pe grilă a tiristoarelor, în care nu se obțin unghiuri de comandă mai mici decât 30° [16, 6].

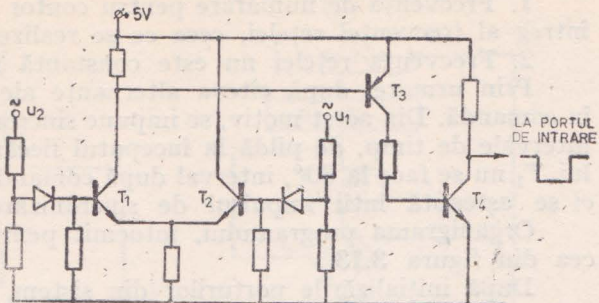
În același fel, unghiuri de comandă mari, apropiate de 180° , deși realizabile cu microprocesor (pînă la $179,46^\circ$), nu sunt utile practic, deoarece, chiar acceptând că tiristoarele mai pot intra în conducție la sfîrșitul alternanței, motorul nu se mai poate rota, dacă la bornele sale tensiunea este foarte aproape de zero.

Metodele descrise au fost folosite la modificarea turației unui motor de curent continuu cu excitație separată, de tip CE 42 E, de fabricație IMEB. Parametri de catalog pentru acest motor sunt: $U_a = 220$ V, $P_n = 2,7$ kW, $n_{max} = 2300$ rot/min. S-au obținut turații între 0 și cea maximă. Practic nu există limitări în privința turației ce se poate realiza.

3.2.3. REDRESOR TRIFAZAT ÎN PUNTE COMPLET COMANDAT CU MICROPROCESOR

Structura circuitului de putere este prezentată în figura 3.6. În acest caz, impulsurile de comandă pentru tiristoare se obțin pe 6 linii ale unui port de ieșire din microsistem.

Fig. 3.12. Circuit de sincronizare cu rețeaua pentru redresorul trifazat.



La acest tip de redresor, momentul de referință pentru unghiul de comandă este considerat momentul egalității tensiunii fazelor 1 și 2 în domeniul valorilor pozitive. Cu un circuit de forma din figura 3.12 se obține un impuls care este preluat de sistem pe o linie a unuia din porturile sale de intrare. În cazul microprocesorului 8085, se poate utiliza și facilitatea creată de existența pinului SID.

Cu toate că se redreseză tensiunea alternativă trifazată, este suficient un singur impuls de sincronizare [69]. Si în acest caz apare o eroare cu privire la precizia de determinare a momentului egalității celor două faze și, deci, microprocesorul trebuie să facă o corecție α_k , la fel ca în cazul redresorului monofazat.

Din momentul egalității tensiunilor celor două faze, microsistemul așteaptă un interval de timp corespunzător unghiului de comandă α , impus pentru stabilirea unei anumite valori medii a tensiunii de ieșire. La sfârșitul intervalului α , sistemul generează impulsul de comandă pe grilă, pentru tiristoare. Primul impuls de comandă se aplică tiristorului T_1 [20].

Desigur, și la această aplicație, sistemul trebuie izolat galvanic de circuitul de forță, prin optocuploare sau etaje cu transformatoare de impulsuri.

După comanda lui T_1 , trebuie generate pe rînd impulsurile de comandă pentru celelalte cinci tiristoare, la intervale de cîte 60° sexagesimale între ele ($\frac{10}{3}$ ms) [69]. Acest lucru se realizează relativ simplu, încărcind în numărătorul, hardware (timer) sau software, utilizat pentru contorizarea intervalului de 60° , un număr N ce reprezintă echivalentul celor 3,33 ms. Valoarea lui N depinde de durata tactului sistemului.

Un ciclu de comandă se încheie după ce s-a comandat tiristorul T_6 . Ciclul următor începe după încă un interval de 60° , cînd trebuie, din nou, comandat T_1 și, apoi, pe rînd, celelalte tiristoare (tot după cîte 60°). Prințipial, o secvență corectă de impulsuri se poate obține prin utilizarea, de fiecare dată, a aceluiași numărător, cu conținut inițial N , care se pornește după comanda fiecărui tiristor. Frecvența de tact a sistemului este fixă și, deci, comenziile pot fi, la prima vedere, corecte un timp îndelungat. Apar însă două probleme:

1. Frecvența de numărare pentru contor trebuie să fie exact multiplu întreg al frecvenței rețelei, ceea ce se realizează destul de greu.

2. Frecvența rețelei nu este constantă în timp.

Prin urmare, după cîteva alternanțe ale tensiunii rețelei, apar erori în comandă. Din acest motiv, se impune sincronizarea cu rețea la anumite intervale de timp, de pildă la începutul fiecărui ciclu. Comanda tiristorului T_1 nu se face la 60° , interval după comanda lui T_6 din ciclul precedent, ci se așteaptă întîi impulsul de sincronizare cu rețea.

Organigramă programului, întocmit pentru microprocesorul Z80 este cea din figura 3.13.

După inițializările porturilor din sistem, programul detaliat este următorul:

ET1: LD HL,ADR α	ET7: DEC B
LD D,0FFH	JR NZ,ET7
LD A,D	LD A,0FFH
OUT (PORT2),A	OUT (PORT2),A
ET2: IN A,(POK+1)]	LD BC,N
AND 01	ET8: DEC BC
JR Z,ET2	LD A,B
ET3: IN A,(PORT1)	OR C
AND 01	JR NZ,ET8
JR NZ,ET3	SCF
LD B,(HL)	RL E
INC L	LD A,E
LD C,(HL)	CP A,0BFH
ET4: DEC BC	JR NZ,ET6
LD A,B	DEC D
OR C	JR NZ,ET5
JR NZ,ET4	INC L
ET5: LD E,0FEH	JR NZ,ET1
LD A,E	RST 08
ET6: OUT (PORT2),A	
LD B,7	

În [20], Dewan, personalitate cunoscută în domeniul acționărilor electrice, prezintă un exemplu de utilizare a microprocesorului 6802 la comanda redresorului în punte complet comandată.

Se utilizează un mod de lucru interesant, cu două timere. Unul dintre acestea este utilizat, la început, drept contor pentru α . După primul impuls de comandă la T_1 , același timer (timer 1) devine contorul pentru intervalul de 60° dintre impulsurile următoare, interval ce se folosește apoi tot timpul în comandă (deci și pentru comanda lui T_1 după T_6). Cel de al doilea timer (timer 2) este sincronizat cu rețea, la începutul fiecărui ciclu, și se utilizează drept contor de timp real.

În momentul aplicării fiecărui impuls de comandă, pentru cîte unul dintre tiristoare, se citește numărul la care a ajuns timerul 2 și se compară cu o valoare obținută prin însumarea conținutului aceluiași timer (timer 2) la comanda precedentă și numărul N utilizat la contorizarea celor 60° . Dacă cele două valori nu sunt egale, se corectează N . Se observă că N , corectat după un impuls de comandă, se utilizează de fapt, abia la comanda următoare.

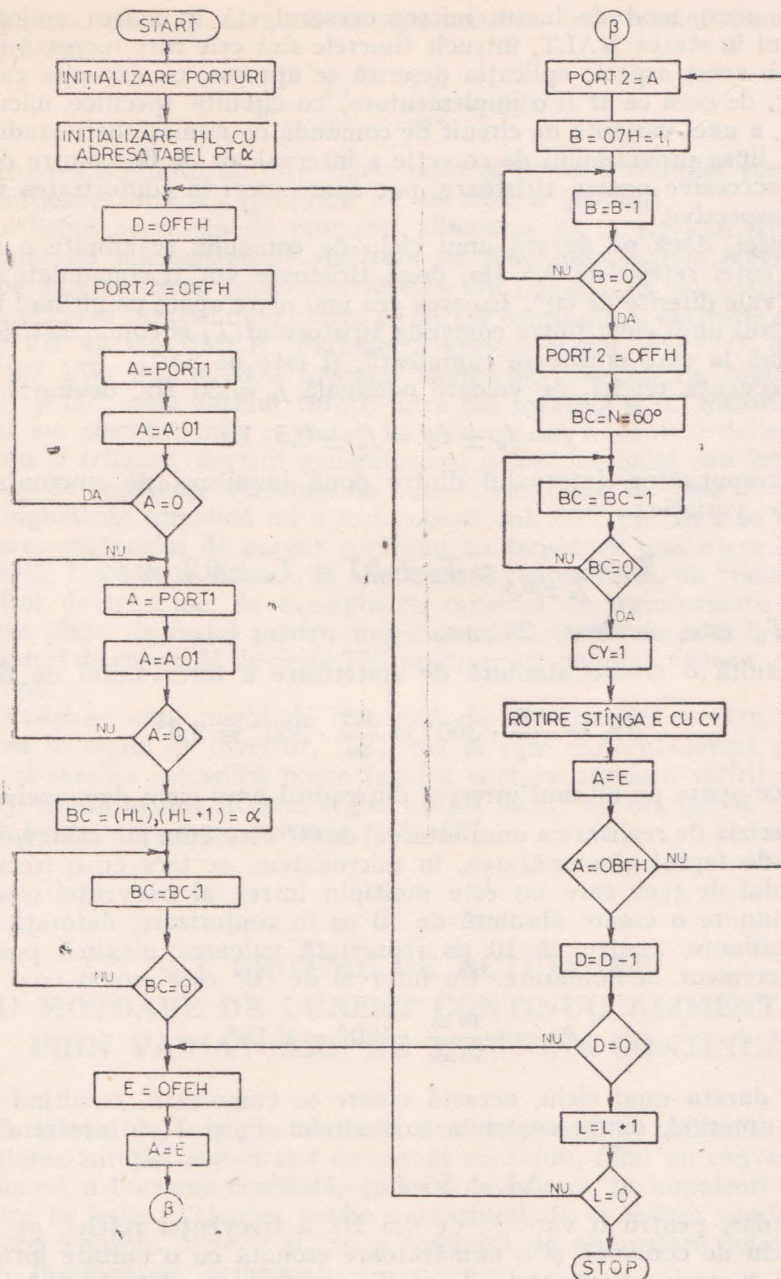


Fig. 3.13. Organigrama programului de comandă a redresorului trifazat.

În acest mod de lucru, microprocesorul, stă în marea majoritate a timpului în starea HALT, întrucât timerele sănt cele care lucrează propriu-zis. Sub acest aspect, aplicația descrisă se apropie, cu excepția calculului erorilor, de ceea ce ar fi o implementare, cu circuite specifice microprocesorului, a unei variante de circuit de comandă cu numărătoare tradiționale.

În lipsa programului de corecție a intervalelor de 60° dintre două comenzi succesive pentru tiristoare, pot apărea erori în contorizarea intervalelor respective.

Astfel, dacă pe durata unui ciclu de comandă se admite o variație a frecvenței rețelei de 0,5 Hz, două tiristoare vor fi comandate succesiv la intervale diferite de 60° . Eroarea cea mai mare apare pe ultimul interval din cadrul unui ciclu (între comanda tiristorului T_5 și comanda tiristorului T_6), pînă la care erorile se cumulează, și este de $3,6^\circ$.

Frecvența rețelei, de valoare nominală $f_0 = 50$ Hz, devine:

$$f = f_0 \pm \Delta f = f_0 \pm 0,5 \text{ Hz.} \quad (3.16)$$

Corespunzător, intervalul dintre două impulsuri de sincronizare va avea o variație:

$$T = \frac{1}{f_0 \pm 0,5} \approx T_0 \pm \Delta T = T_0 \pm 0,2 \text{ ms,} \quad (3.17)$$

unde T_0 este, evident, 20 ms.

Rezultă o eroare absolută de sintetizare a intervalului de 60° de:

$$\Delta\alpha_1 = \frac{\Delta T}{T_0} \cdot 360^\circ = \frac{0,2}{20} \cdot 360^\circ = 3,6^\circ. \quad (3.18)$$

eroare ce apare pe ultimul interval din cadrul unui ciclu de comenzi.

Precizia de realizare a unui interval de 60° este, cum am arătat, influențată și de faptul că numărarea, în microsistem, se face cu o frecvență a impulsului de tact care nu este multiplu întreg al frecvenței rețelei. Se poate admite o eroare absolută de $10 \mu s$ în contorizare, datorată acestei neconcordanțe, pentru că $10 \mu s$ reprezintă valoarea maximă posibilă a unui increment în numărare. Un interval de 60° este eronat cu:

$$\Delta\alpha'_2 = \frac{10 \mu s}{10 ms} \cdot 180^\circ = 0,18^\circ. \quad (3.19)$$

Pe durata unui ciclu, această eroare se cumulează, rezultînd pentru ultimul interval, dintre comanda tiristoarelor T_5 și T_6 , o eroare absolută de:

$$\Delta\alpha_2 = 5 \cdot \Delta\alpha'_2 = 0,9^\circ. \quad (3.20)$$

Așadar, pentru o variație de 0,5 Hz a frecvenței rețelei, pe durata unui ciclu de comandă și o numărătoare eronată cu o unitate între două comenzi succesive tiristoarele T_5 și T_6 vor fi comandate la 60° interval cu o eroare absolută maximă totală de:

$$\Delta\alpha = \Delta\alpha_1 + \Delta\alpha_2 = 4,5^\circ. \quad (3.21)$$

Eroarea relativă maximă în contorizarea intervalului dintre două comenzi este:

$$\varepsilon_r = \frac{\Delta\alpha}{60^\circ} = \frac{4,5^\circ}{60^\circ} = 0,075. \quad (3.22)$$

Eroarea obținută nu este foarte mare și poate fi complet compensată prin mijloace software (program de corecție a erorilor).

Utilizând acest tip de redresor, alimentat de la rețeaua trifazată și comandat cu microsistemele realizate cu microprocesoarele 8085 și Z80, cu programe realizate după organograma din figura 3.13, s-a realizat practic modificarea turației unui motor de curent continuu cu excitare separată, de tip CE 42 E - IMEB. Parametrii acestui motor sunt: $U_a = 220$ V, $P_n = 2,7$ kW, $n_{max} = 2300$ rot/min. Modificând unghiul de comandă, între 60° și 90° , s-au obținut turații între cea maximă și 0. Încărcarea motorului s-a efectuat prin cuplarea lui la unui al doilea motor, asincron și trifazat, devenit generator, ce a fost la rîndul său încărcat cu un grup de rezistențe variabile de putere, conectate în stea.

Unghiul de comandă nu a fost coborât sub 60° , pentru a se evita alimentarea motorului de curent continuu cu tensiunea mai mare decât cea nominală. Dacă se utilizează, la alimentarea redresorului, un transformator coborîtor de tensiune, de exemplu cu raportul de transformare 1 : 2, se mărește plaja de reglaj pentru unghiul de comandă de la 0 la 90° , dar la unghiuri de comandă de peste 75° , poate apărea regimul, nedorit, de curent întrerupt.

Depășirea unui unghi de comandă de 90° , implică pentru redresor, intrarea în regim de invertor, [28], caz în care motorul devine generator (dacă și sarcina mecanică poate furniza energia necesară rotației arborelui motor). Studii asupra acestui regim nu s-a făcut, ele urmînd să constituie obiectul unor cercetări viitoare [49, 52].

3.3. SISTEME DE ACȚIONARE CU MOTOARE DE CURENT CONTINUU ALIMENTATE PRIN VARIATOARE DE TENSIUNE CONTINUĂ

Variatorul de tensiune continuă, sau chopperul, se utilizează frecvent la reglarea turației motoarelor de curent continuu, fiind un convertor care transformă o tensiune continuă, aplicată la intrare, în impulsuri dreptunghiulare la ieșire. Valoarea medie a tensiunii de la ieșirea unui chopper se poate modifica între 0 și cea a tensiunii de alimentare, folosind unul dintre următoarele principii:

- modificarea frecvenței de repetiție a unor impulsuri de durată constantă;
- modularea în durată a unor impulsuri de frecvență constantă.

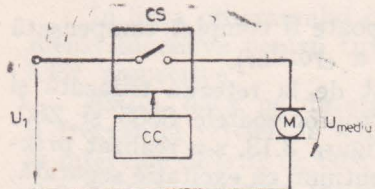


Fig. 3.14. Schema de principiu a variatorului de tensiune continuă.

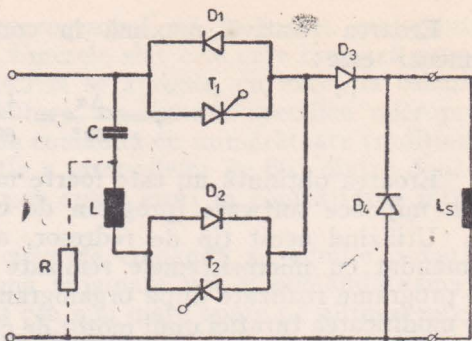


Fig. 3.15. Chopper cu stingeră forțată.

În acest fel este posibil să se efectueze reglajul prin tensiune al turăției motoarelor de curent continuu [36, 22, 31].

Schema de principiu a unui astfel de sistem de acționare este prezentată în figura 3.14. În această figură, CS reprezintă un contactor static (chopper), CC circuitul său de comandă și M indusul motorului de curent continuu.

Inchizînd și deschizînd contactorul CS, după o secvență repetată periodic, motorul va fi alimentat cu tensiunea medie:

$$U_m = \frac{T_c}{T} U_1, \quad (3.23)$$

unde T_c este durata de conectare a contactorului CS, iar T este perioada de repetiție a comenzi. Pentru a asigura continuitatea curentului prin motor, este necesar ca perioada de comandă a contactorului static să fie mult mai mică decât constanta de timp electromagnetică a motorului, [36].

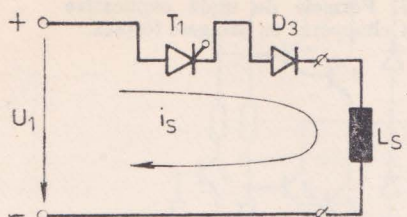
O variantă concretă pentru contactorul static din variator este chopperul cu stingeră forțată, prezentat în figura 3.15. Principalele elemente din schemă au fost notate astfel: T_1 — tiristorul principal, T_2 — tiristorul de stingeră, C — condensatorul de stingeră, L — inductivitatea de stingeră, D_4 — dioda de nul.

Funcționarea chopperului se urmărește mai ușor dacă se împarte durata T de repetiție a comenzi în șase intervale de timp, marcate de cîte o schimbare de stare (conducție sau blocare) pentru dispozitivele din circuit [65].

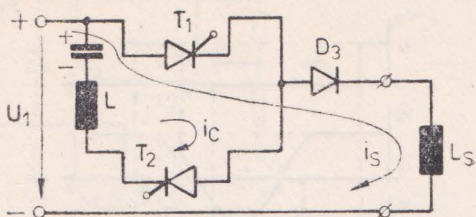
În figura 3.16 sunt reprezentate schemele echivalente ale chopperului pe fiecare dintre cele șase intervale de timp, iar în figura 3.17 sunt reprezentate formele de undă explicative.

În momentul t_0 se comandă tiristorul principal T_1 . Sarcina este alimentată cu tensiunea U_1 . Pentru simplicitate, se presupune L_s suficient de mare și curentul prin sarcină constant ($i_s = I_s$).

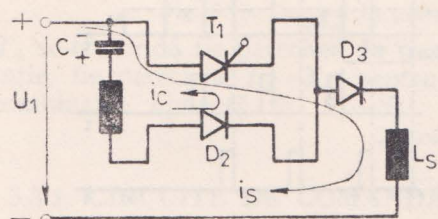
În momentul t_1 se comandă tiristorul de stingeră T_2 . Condensatorul C este încărcat la o tensiune cu polaritatea din figura 3.16, b (condensatorul



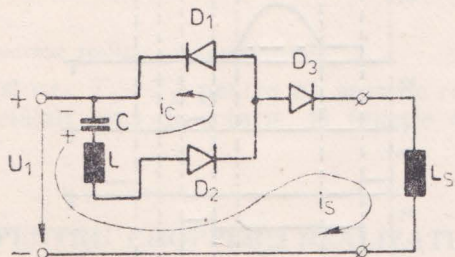
a. intervalul $t_0 - t_1$



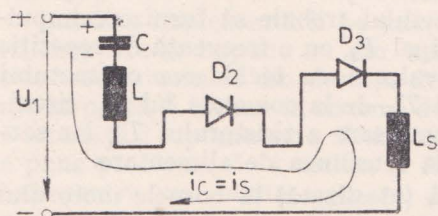
b. intervalul $t_1 - t_2$



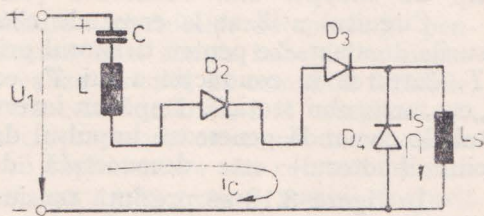
c. intervalul $t_2 - t_3$



d. intervalul $t_3 - t_4$



e. intervalul $t_4 - t_5$



f. intervalul $t_5 - t_6$

Fig. 3.16. Circuitul echivalent al chopperului în diferite momente ale funcționării.

s-a încărcat în momentul conectării sursei de alimentare). Curentul rezonant de descărcare a lui C se anulează în momentul t_2 și, prin urmare, T_2 se blochează. Schimbarea sensului curentului i_C determină, în momentul t_3 , și stingerea tiristorului T_1 , cînd suma curentelor i_C și i_S devine mai mică decît curentul de menținere în conducție al acestui tiristor.

Încărcarea condensatorului C se continuă și pe intervalele $t_3 - t_4$, $t_4 - t_5$, $t_5 - t_6$. Tensiunea la care se încarcă C este mai mare decît cea a tensiunii de alimentare U_1 , datorită energiei înmagazinate în inductivitățile L și L_S . Din acest motiv se deschide și dioda D_4 — dioda de nul — în momentul t_5 . În momentul t_6 , i_C devine nul, iar curentul prin sarcină se menține numai prin D_4 , pînă la o nouă comandă a lui T_1 .

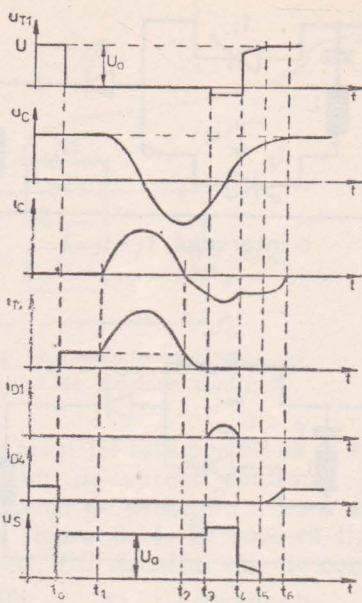


Fig. 3.17. Formele de undă explicative pentru chopperul cu stingere forțată.

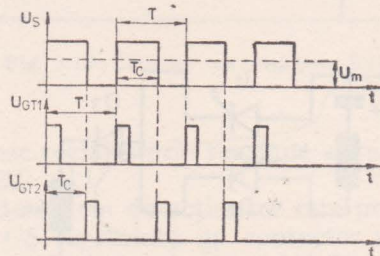


Fig. 3.18. Diagramme explicative pentru chopperul cu stingere forțată.

Funcționarea descrisă în detaliu și relațiile de proiectare pentru acest tip de chopper sunt cunoscute [62, 39, 41].

Circuitul utilizat la comanda chopperului trebuie să furnizeze impulsurile de amorsare pentru tiristorul principal T_1 , cu o frecvență de repetiție T . Intrarea în conducție a lui T_1 echivalează cu închiderea contactului „contactorului static”. După un interval T_c , de la comanda lui T_1 , circuitul de comandă generează impulsul de amorsare a tiristorului T_2 , iar sarcina (motorul) este deconectată de la tensiunea de alimentare.

În figura 3.18 se prezintă tensiunea (idealizată) la bornele motorului și secvența de impulsuri de comandă pentru chopperul descris.

Menținând constantă perioada T de repetiție a impulsurilor de comandă la tiristorul principal și modificînd momentul de apariție al impulsului destinat tiristorului de stingere, se realizează modificarea valorii medii a tensiunii de ieșire și, implicit, modificarea turației motorului.

Chopperul prezentat are dezavantajul funcționării într-un singur cadran. Pentru a se realiza o acționare reversibilă se utilizează un alt tip de chopper. Există scheme de choppere în două și patru cadrane, cu largă răspîndire în practică [61].

În figura 3.19 se prezintă o variantă de chopper realizată cu tranzistoare care funcționează în patru cadrane, [66].

Motorul de curent continuu, conectat în diagonală de ieșire a punții cu tranzistoare, se poate rota în ambele sensuri. Cele două sensuri se obțin pentru o combinație de semnale logice „0 și 1”, respectiv „1 și 0”, aplicată la bornele, pentru sens, S_1 și S_2 . Prin intermediul tranzistoarelor T_5 și

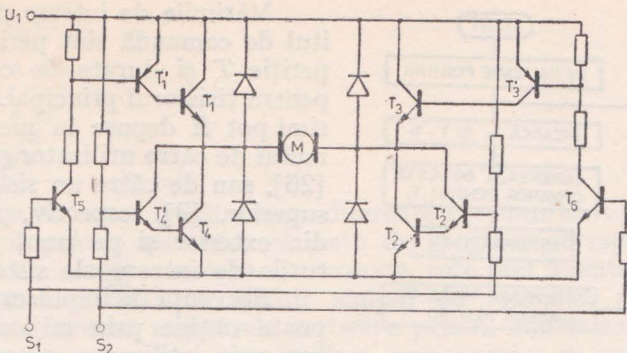


Fig. 3.19. Chopper în patru cadrane realizat cu tranzistoare.

T_6 se comandă fie perechea de tranzistoare $T_1 - T_2$, pentru un sens de rotație, fie perechea $T_3 - T_4$, pentru celălalt sens de rotație, în funcție de combinația aplicată la $S_1 - S_2$.

3.3.1. CIRCUITE DE COMANDĂ PENTRU CHOPPERE REALIZATE CU MICROPROCESOR

Ca și în cazul redresoarelor, circuitele de comandă pentru choppere, realizate cu mijloace electronice tradiționale, sănt utilizate pe scară largă [62, 21].

Analiza implementării pe microsisteme a circuitelor de comandă pentru choppere se impune nu din necesitatea unei simple înlocuiri a circuitelor tradiționale, ci din dorința de a realiza circuite de comandă flexibile, care să poată fi incluse în sisteme de conducere numerice, mai complexe, fără interfațări suplimentare. Utilizând microprocesorul ca circuit de comandă, se pune problema de a realiza și funcții suplimentare sau comanda simultană pentru mai multe motoare. Acest lucru este perfect posibil, încrucișit în comanda chopperului, microprocesorul trebuie să realizeze numai următoarele funcții:

- (F1) — generarea intervalor de timp T și T_c variabile;
- (F2) — comanda propriu-zisă a tiristoarelor — cu impulsuri scurte, sau tranzistoarelor — cu impulsuri de durată T_c .

3.3.2. CHOPPER CU STINGERE FORȚATĂ COMANDAT CU MICROPROCESOR

Structura circuitului de putere utilizat în aplicația descrisă în acest paragraf este cea din figura 3.15. Impulsurile de comandă pentru tiristoare se obțin pe două linii ale unuia dintre porturile de ieșire ale microsistemului. Izolarea galvanică între sistem și circuitul de putere se realizează prin amplificatoare cu transformatoare de impulsuri (paragraful 2.1, figura 2.3).

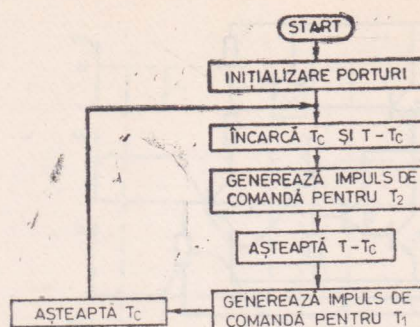


Fig. 3.20. Organigramă programului de comandă pentru chopper.

În organigramă din figura 3.20 este reprezentat un exemplu de program care realizează comanda chopperului.

Programele detaliate pentru comanda chopperului utilizând microprocesoarele 8035, 8085 și Z80 sunt cele de mai jos [11, 9].

	8035	8085	Z80
DIS TCNT I	MVI A,03	LD C,61H	
JMP E0	OUT 20H	LD D,02	
IN A,P2	E1: LXI H,83A0H	LD HL,T-Tc	
JB7 E1	MOV D,M	EXX	
IN A,P1	INR L	LD C,61H	
MOV R6,A	MOV E,M	LD D,01	
JMP E2	MVI A,01	LD HL,Tc	
E1: IN A,P1	OUT 21H	E1: OUT (C),D	
MOV R7,A	CALL IMP	LD B,t;	
E2: JFO E3	INR L	IM: DJNZ IM	
RETR	MOV B,M	OUT (C),B	
E0: CPL F0	INR L	PUSH HL	
MOV A,#80	MOV C,M	AST: DEC HL	
OUTL P2,A	CALL AST	LD A,L	
ORI P1,#FF	MVI A,02	OR A,H	
EN I	OUT 21H	JR NZ,AST	
HLT: JMP HLT	CALL IMP	POP HL	
E3: CLR A	MOV C,E	EXX	
MOV PSW,A	MOV B,D	JR E1	
E4: ORL P1,FF	CALL AST		
EN I	JMP E1		
E8: MOV R4,#t;	AST: DCX B		
E5: DJNZ R4,E5	MOV A,C		
ANL P2,#80	ORA B		
MOV T,A	JNZ AST		
STRT T	RET		
E7: JTF E6	IMP: LXI B,00t;		
JMP E7	CALL AST		
E6: STOP TCNT	OUT 21H		
RETR	RET		
MOV A,#90			
OUTL P2,A			

Mărimele de intrare pentru circuitul de comandă sunt perioada de repetiție T și durata de conducție T_c pentru tiristorul principal. Aceste mărimi pot fi depuse în memoria sistemului de către utilizator prin consolă, [26], sau de către un sistem ierarhic superior, [9], respectiv, pot fi aduse din exterior și pe unul dintre porturile de intrare ale sistemului.

Secvența de impulsuri necesară se poate obține prin mijloace software sau prin utilizarea generatorului de timp real și a sistemului de înterruperi.

```

MOV A,R7
CAL, E8
MOV A,#A0
OUTL P2,A
MOV A,R6
CAL, E8
JMP E4

```

Se constată, ca și la redresor, o diferență nesemnificativă între numărul de instrucții pentru cele trei variante de program corespunzătoare celor trei familii de microprocesoare. Ca urmare, este mai avantajoasă utilizarea microprocesorului 8035 ca circuit simplu de comandă pentru chopper.

Dacă se folosesc mijloacele software pentru contorizarea intervalelor de timp, microprocesorul este utilizat neeconomic, cu rol de numărător simplu. Un microsistem poate executa, desigur, programe mai complexe.

În [9] se prezintă, de exemplu, un program care realizează trei trepte de turărie diferite pentru motor. Fiecare treaptă este menținută un anumit interval de timp, conform unui ipotetic proces tehnologic. Atât valorile turățiilor, cât și durata de menținere a unei anumite trepte pot fi modificate după necesitate. Organograma programului este dată în figurile 3.21 și 3.22. Ulterior acest program a fost extins la mai multe trepte de turărie realizabile [48, 73].

O variantă de program care realizează 20 de trepte de viteza pentru motor este cea de mai jos:

ORG 8000 H

0001	E1	EQU	9190H	0230	CPI	9FH
0002	E2	EQU	9194H	0240	JZ	A3
0003	E3	EQU	919AH	0250	CPI	0A5H
0004	E4	EQU	91A0H	0260	JZ	A4
0010	START	MVI	A,01H	0270	CPI	0ABH
0020	OUT	28H		0280	JZ	A5
0030	IAR	LXI	H,E1	2090	CPI	0B1H
0040	REF	MOV	D,M	0300	JZ	A6
0050	INR	L		0310	CPI	0B7H
0060	MOV	E,M		0320	JZ	A7
0070	MVI	A,01H		0330	CPI	0BDH
0080	OUT	29H		0340	JZ	A8
0090	CALL	IMP		0350	CPI	0C3H
0092	INR	L		0360	JZ	A9
0095	MOV	B,M		0370	CPI	0C9H
0097	INR	L		0380	JZ	A10
0100	MOV	C,M		0390	CPI	0CFH
0110	CALL	AST		0400	JZ	A11
0120	MVI	A,02H		0410	CPI	0D5H
0130	OUT	29H		0420	JZ	A12
0140	CALL	IMP		0430	CPI	0DBH
0150	MOV	C,E		0440	JZ	A13
0160	MOV	B,D		0450	CPI	0E1H
0170	CALL	AST		0460	JZ	A14
0180	MOV	A,L		0470	CPI	0E7H
0190	CPI	93H		0480	JZ	A15
0200	JZ	A1		0490	CPI	0EDH
0210	CPI	99H		0500	JZ	A16
0220	JZ	A2		0510	CPI	0F3H

0520	JZ A17	1110	CALL INC
0530	CPI 0F9H	1120	LXI H,E11
0540	JZ A18	1130	CALL INC
0550	CPI 0FFH	1140	LXI H,E12
0560	JZ A19	1150	CALL INC
0570	A1 LXI H,E2	1160	LXI H,E13
0580	CALL TR	1170	CALL INC
0590	A2 LXI H,E3	1180	LXI H,E14
0600	CALL TR	1190	CALL INC
0610	A3 LXI H,E4	1200	LXI H,E15
0620	CALL TR	1210	CALL INC
0630	A4 LXI H,E5	1220	LXI H,E16
0640	CALL TR	1230	CALL INC
0650	A5 LXI H,E6	1240	LXI H,E17
0660	CALL TR	1250	CALL INC
0670	A6 LXI H,E7	1260	LXI H,E18
0680	CALL TR	1270	CALL INC
0690	A7 LXI H,E8	1280	LXI H,E19
0700	CALL TR	1290	CALL INC
0710	A8 LXI H,E9	1300	LXI H,E20
0720	CALL TR	1310	CALL INC
0730	A9 LXI H,E10	1320	JMP IAR
0740	CALL TR	1330	AST DCX B
0750	A10 LXI H,E11	1340	DCX D
0760	CALL TR	1350	MOV A,C
0770	A11 LXI H,E12	1360	ORA B
0780	CALL TR	1370	JNZ AST
0790	A12 LXI H,E13	1380	RET
0795	CALL TR	1390	IMP MVI C,07H
0800	A13 LXI H,E14	1400	MVI B,0H
0810	CALL TR	1410	CALL AST
0820	A14 LXI H,E15	1420	OUT 29H
0830	CALL TR	1430	RET
0840	A15 LXI H,E16	1440	TR MOV B,M
0850	CALL TR	1450	INR L
0860	A16 LXI H,E17	1460	MOV C,M
0870	CALL TR	1470	DCX B
0880	A17 LXI H,E18	1480	MOV M,C
0890	CALL TR	1490	DCR L
0900	A18 LXI H,E19	1500	MOV M,B
0910	CALL TR	1510	DCR L
0920	A19 LXI H,E20	1520	DCR L
0930	CALL TR	1530	DCR L
0940	LXI H,E20	1540	DCR L
0950	CALL INC	1550	MOV A,C
0960	LXI H,E3	1560	ORA B
0970	CALL INC	1570	RZ
0980	LXI H,E4	1580	POP D
0990	CALL INC	1590	JMP REF
1000	LXI H,E5	1600	INC MVI M,0H
1010	CALL INC	1610	INR L
1020	LXI H,E6	1620	MVI M,10H
1030	CALL INC	1630	RET
1040	LXI H,E7	1640	E5 EQU 91A6H
1050	CALL INC	1650	E6 EQU 91ACH
1060	LXI H,E8	1660	E7 EQU 91B2H
1070	CALL INC	1670	E8 EQU 91B8H
1080	LXI H,E9	1680	E9 EQU 91BEH
1090	CALL INC	1690	E10 EQU 91C4H
1100	LXI H,E10	1700	E11 EQU 91CAH

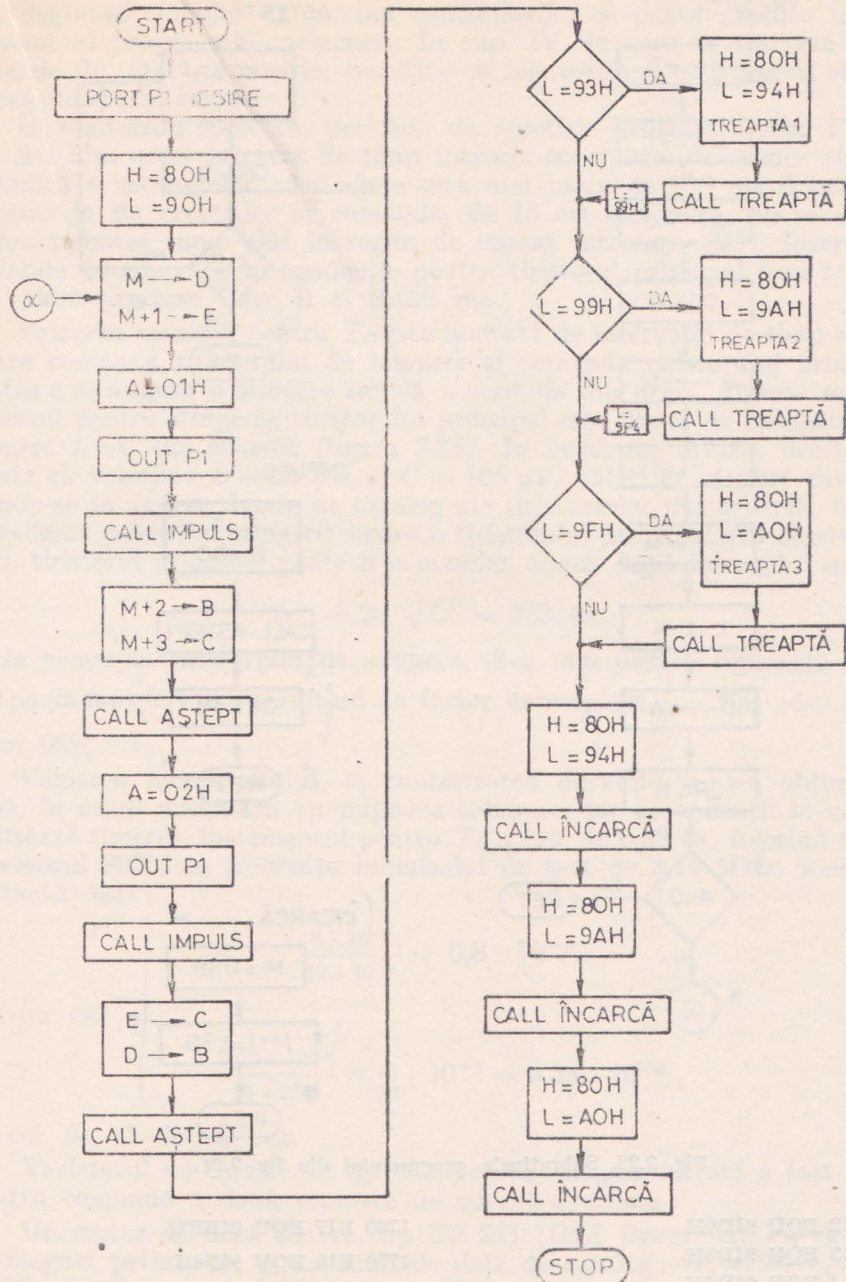
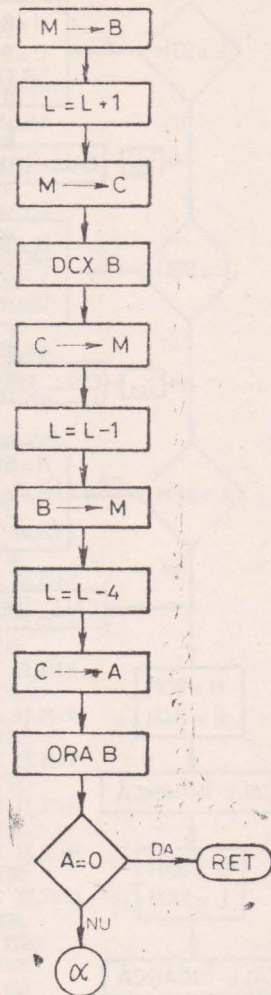
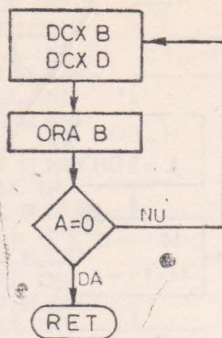


Fig. 3.21. Organigrama programului de comandă prin chopper a 3 trepte de viteză pentru un motor de c.c.

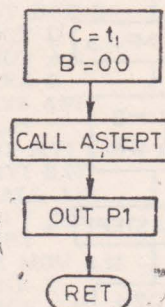
TREAPTA



ASTEPT:



IMPULS:



(INCARCĂ

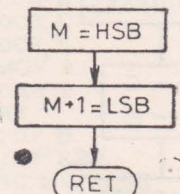


Fig. 3.22. Subruteinele programului din fig. 3.21.

1710 E12 EQU 91D0H
1720 E13 EQU 91D6H
1730 E14 EQU 91DCH
1740 E15 EQU 91E2H
1750 E16 EQU 91E8H

1760 E17 EQU 91EEH
1770 E18 EQU 91F4H
1780 E19 EQU 91FAH
1790 E20 EQU 9200H

Utilizând sistemul de intreruperi și timerul din sistem, microprocesorul este degrevat complet de sarcina contorizărilor și poate executa un alt segment al programului principal. În cap. IV, în care se tratează regulațoarele de viteză și poziție, realizate cu microsistem, este descris un asemenea mod de lucru.

În realizările concrete, perioada de repetiție utilizată a fost $T = 10$ ms. S-a ales acest interval de timp întrucât constanța de timp electro-mecanică a motoarelor comandate este mai mare de 150 ms și utilizând o perioadă de repetiție, în comandă, de 15 ori mai mică, nu se ajunge la funcționarea motorului în regim de curent întrerupt [28]. Intervalele variabile de timp T_c de conducție pentru tiristorul principal s-au realizat de valori cuprinse între 0 și 9,496 ms.

Valoarea maximă pentru T_c este limitată de intervalul de timp minim dintre comanda tiristorului de stingere și comanda tiristorului principal, pentru a se asigura o stingere rapidă a acestuia din urmă. Durata minimă necesară pentru stingerea tiristorului principal este fixată de elementele de stingere $L-C$ din schemă (figura 3.15). În montajul utilizat aceste elemente au valorile: $L = 25 \mu\text{H}$ și $C = 105 \mu\text{F}$, valori ce au fost calculate avându-se în vedere datele de catalog ale tiristoarelor din schemă, tocmai în vederea asigurării stingerii sigure a tiristorului principal. În aceste condiții, tiristorul principal poate fi comandat numai după intervalul minim:

$$\Delta T = 2\pi \sqrt{LC} = 322 \mu\text{s}. \quad (3.24)$$

de la comanda tiristorului de stingere. S-a ales pentru siguranță $\Delta T \approx 500 \mu\text{s}$ (în fapt 504 μs), rezultând un factor de umplere $\frac{T}{T_c} \cdot 100$ de maximum 95%.

Valoarea incrementului, la contorizarea duratei T_c , s-a obținut de 8 μs , în cazul numărării cu mijloace software, iar în aplicații în care se utilizează timerul, incrementul pentru T_c a fost de 0,33 μs , folosind microprocesorul 8085, cu frecvența impulsului de tact de 3,14 MHz. Rezoluția obținută este:

$$\frac{8 \cdot 10^{-6}}{10 \cdot 10^{-3}} = 0,8 \cdot 10^{-3}, \quad (3.25)$$

într-un caz și

$$\frac{0,33 \cdot 10^{-6}}{10 \cdot 10^{-3}} = \frac{1}{30} \cdot 10^{-3} = 3,33 \cdot 10^{-6}, \quad (3.26)$$

în cel de al doilea caz.

Variatorul de turație de tip chopper cu stingere forțată a fost folosit pentru comanda a două motoare de curent continuu:

Un motor de mică putere, tip EP 211 (IME, București), cu excitație cu magnet permanent și următoarele date de catalog: $U_n = 24 \text{ V}$, $I_n = 3,5 \text{ A}$ și $n_{max\ I} = 1620 \text{ rpm} \pm 12\%$, respectiv $n_{max\ II} = 2160 \text{ rpm} \pm 12\%$, fiind prevăzut cu priză pe infășurarea rotorică; sursa de tensiune

stabilizată utilizată la alimentarea variatorului pentru acest motor este de tip I 4104 (IE MI Bucureşti).

Cel de al doilea motor utilizat este un motor de curenț continuu cu excitație separată de tip CE 24 E (IME București), cu parametrii: $U_n = 220$ V, $P = 2,7$ kW și $n_{max} = 2300$ rpm; tensiunea continuă de alimentare a fost obținută de la rețea cu un redresor în punte necomandată.

Experimentările efectuate cu ambele motoare au demonstrat că nu există nici un fel de limitări cu privire la turația obținabilă.

3.3.3. CHOPPER CU TRANZISTOARE COMANDAT CU MICROPROCESOR [66]

Structura circuitului de putere este prezentată în figura 3.19. Semnalele de comandă pentru tranzistoare se obțin prin programarea corespunzătoare a două linii ale unuia dintre porturile de ieșire din microsistem. Izolarea galvanică între circuitul de putere și microsistem se realizează utilizând optocuploare [66].

În funcție de sensul de rotație al rotorului, necesar la un moment dat, una dintre cele două linii, dintr-un port de ieșire, utilizate la comanda chopperului, este poziționată pe nivel 0 logic (*TTL*). O a doua linie este poziționată pe 1 logic un timp T_c — timp de conducție, apoi pe 0 logic un timp $T - T_c$ — timp de pauză, după un ciclu care se repetă de câte ori este necesar. Pe cea de a doua linie de ieșire se obține, astfel, un tren de impulsuri cu frecvență de repetiție $\frac{1}{T}$ constantă, dar cu factor de umplere variabil, funcție de viteza cu care trebuie să se rotească rotorul. Pentru celălalt sens de rotație, impulsurile de comandă necesare se generează pe prima linie a portului de ieșire utilizat, iar cea de a doua linie se menține pe 0 logic.

Fiecare secvență de impulsuri, pentru câte un sens, poate fi menținută un anumit interval de timp ce se impune din necesități tehnologice. Pot fi realizate, în acest mod, diferite trepte de turație pentru motor, iar fiecare treaptă se poate menține pe intervale de timp diferite.

Organograma unui astfel de program este prezentată în figura 3.23. Programul utilizează o listă de date din memoria sistemului. Lista conține 16 biți (2 cuvinte de memorie), ce reprezintă durata de menținere a unei anumite trepte de viteză (T_M), 16 biți pentru durata de conducție (T_c), 16 biți pentru durata pauzei $T - T_c$ și 8 biți pentru sens, pentru fiecare treaptă de viteză.

Datele din memorie sunt aduse în unitatea de comandă a sistemului succesiv și semnalele de comandă necesare se trimit la portul de ieșire. După epuizarea timpului de menținere al unei trepte, programul știe care treaptă a fost tocmai terminată și selectează imediat lista de date următoare sau se oprește, dacă toate treptele s-au efectuat.

Chopperul cu tranzistoare comandat prin microprocesor s-a folosit ca variator de turație pentru un motor de curenț continuu cu excitație prin

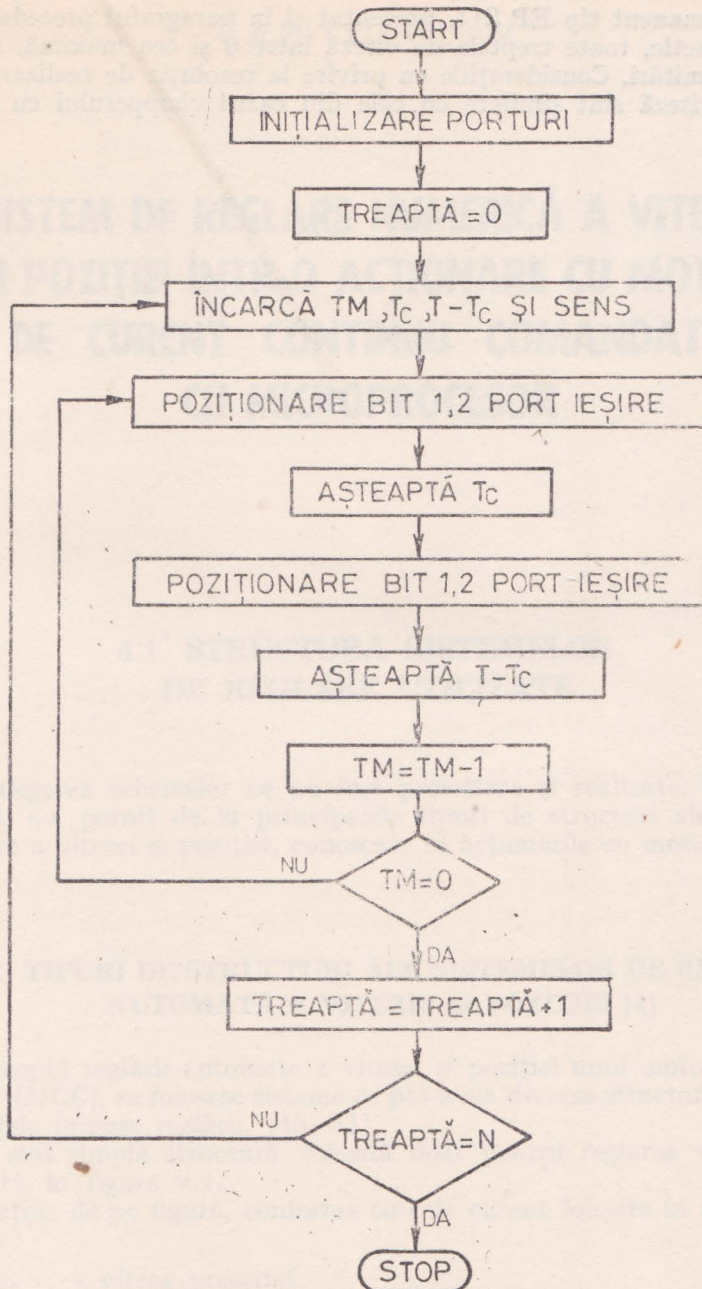


Fig. 3.23. Organigramma programului de comandă a chopperului cu tranzistoare.

magnet permanent tip EP 211, prezentat și în paragraful precedent. S-au obținut, practic, toate treptele de viteză între 0 și cea maximă, fără nici un fel de limitări. Considerațiile cu privire la rezoluția de realizare a unei trepte de viteză sunt similare cu cele din cazul chopperului cu stingere forțată.

CAPITOLUL IV

SISTEM DE REGLARE NUMERICĂ A VITEZEI ȘI POZIȚIEI ÎNTR-O ACȚIONARE CU MOTOR DE CURENT CONTINUU COMANDATĂ CU MICROPROCESOR

4.1. STRUCTURA SISTEMELOR DE REGLARE UTILIZATE

În alegerea schemelor ce au fost proiectate și realizate, în variantă numerică, s-a pornit de la principalele tipuri de structuri ale sistemelor de reglare a vitezei și poziției, cunoscute în acționările cu motor de curent continuu.

4.1.1. TIPURI DE STRUCTURI ALE SISTEMELOR DE REGLARE* AUTOMATĂ A VITEZEI ȘI POZIȚIEI [4]

În scopul reglării automate a vitezei și poziției unui motor de curent continuu (MCC), se folosesc sisteme ce pot avea diverse structuri, în funcție de cerințele impuse reglării, [45, 33].

Cea mai simplă structură, folosită doar pentru reglarea vitezei, este prezentată în figura 4.1.

Notățiile de pe figură, conforme cu cele curent folosite în automatică, semnifică :

- w_v — viteza prescrisă,
- r_v — viteza măsurată (reacția de viteză),
- $RG-V$ — regulatorul de viteză,
- y — mărimea de comandă,

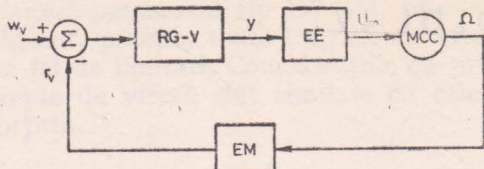


Fig. 4.1. Structura unui sistem de reglare a vitezei unui motor ac.c.c.

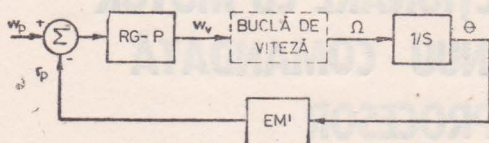


Fig. 4.2. Structura unui sistem de reglare a vitezei și poziției cu două bucle de reglare legate în cascadă.

- *EE* — elementul de execuție,
- U_m — mărimea de execuție (tensiunea medie aplicată la bornele motorului),
- Ω — viteza unghiulară,
- *EM* — elementul de măsură.

Pentru a se asigura atât reglarea vitezei cât și a poziției, sunt necesare două bucle de reglare. Acestea se pot lega în cascadă (figura 4.2) sau în paralel (figura 4.3). Notațiile de pe figuri au semnificații similare cu cele prezentate pentru figura 4.1.

Regulatoarele folosite ușual sunt de următoarele tipuri:

- proporțional (*P*), cu funcția de transfer: $H_{RG}(s) = K_R$,
- integrator (*I*), $H_{RG}(s) = \frac{K_R}{s}$,
- proporțional-integrator (*PI*), $H_{RG}(s) = K_R \left(1 + \frac{1}{sT_i} \right)$,
- proporțional-deviator (*PD*), $H_{RG}(s) = K_R (1 + sT_d)$,
- proporțional-integrator-deviator (*PID*), $H_{RG}(s) = K_R \left(1 + \frac{1}{sT_i} + sT_d \right)$.

Structura lor poate fi analogică sau numerică. O variantă analogică de realizare a schemei din figura 4.2, care include și o buclă internă de curent, este prezentată în figura 4.4. Proiectarea concretă a regulatoarelor schemei este prezentată în [44].

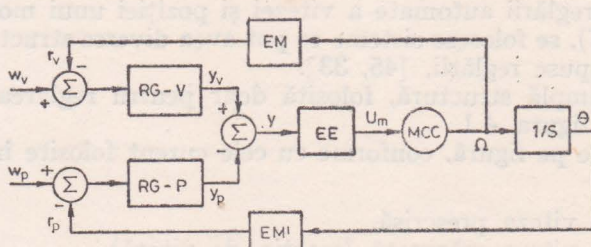


Fig. 4.3. Structura unui sistem de reglare a vitezei și poziției cu două bucle de reglare legate în paralel.

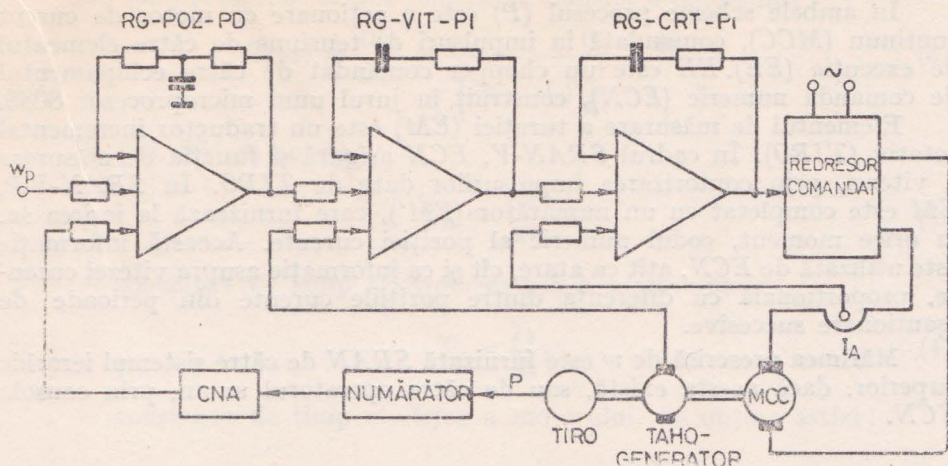


Fig. 4.4. Schemă de reglare a vitezei și poziției cu regulatoare analogice.

4.1.2. SCHEMELE BLOC FUNCȚIONALE ALE SISTEMELOR DE REGLARE AUTOMATĂ PROIECTATE

Cele două structuri concrete implementate sunt: un sistem de reglare automată numerică a vitezei (*SRAN-V*) și un sistem de reglare automată numerică a vitezei și poziției (*SRAN-VP*).

Schemele funcționale ale celor două SRAN sunt prezentate în figurile 4.5 și 4.6.

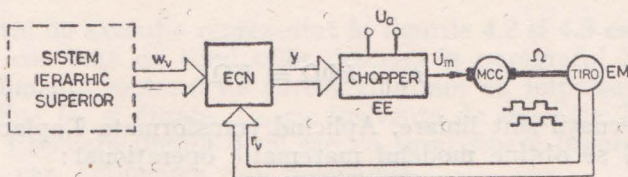


Fig. 4.5. Structura sistemului de reglare automată numerică a vitezei (*SRAN-V*) realizată.

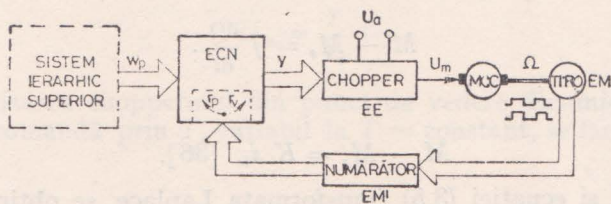


Fig. 4.6. Structura sistemului de reglare automată numerică a vitezei și poziției (*SRAN-VP*) realizată.

În ambele scheme procesul (P) este o acționare cu motor de curent continuu (MCC), comandată în impulsuri de tensiune de către elementul de execuție (EE). EE este un chopper comandat de către echipamentul de comandă numeric (ECN), construit în jurul unui microprocesor 8085.

Elementul de măsurare a turației (EM) este un traductor incremental rotativ ($TIRO$). În cadrul $SRAN-V$, ECN asigură și funcția de măsurare a vitezei, prin contorizarea impulsurilor date de $TIRO$. În $SRAN-VP$, EM este completat cu un numărător (EM'), care furnizează la ieșirea sa, în orice moment, codul numeric al poziției curente. Această informație este utilizată de ECN , atât ca atare, cât și ca informație asupra vitezei curente, proporțională cu diferența dintre pozițiile curente din perioade de eşantionare succesive.

Mărimea prescrisă de w este furnizată $SRAN$ de către sistemul ierarhic superior, dacă acesta există, sau de către operatorul uman, prin consola ECN .

4.1.3. PROCESUL REGLAT

4.1.3.1. MODELUL MATEMATIC OPERAȚIONAL AL MCC

În capitolul III am arătat ecuațiile care descriu funcționarea unui motor de curent continuu. Ecuația (3.6), dacă se ține seama de faptul că motorul se alimentează în impulsuri de tensiune și deci intervine și inductivitatea înfășurării devine :

$$u = u_e + R_i i + L_i \frac{di}{dt}, \quad (4.1)$$

cu

$$u_e = k\Phi\Omega = K\Omega. \quad (3.7)$$

Aceste ecuații sunt liniare. Aplicând transformata Laplace (în condiții inițiale nule) se obține modelul matematic operațional :

$$U(s) = (R_i + sL_i)I_i(s) + K\Omega(s). \quad (4.2)$$

Ecuația de mișcare a motorului este :

$$M - M_s = J \frac{d\Omega}{dt}. \quad (3.5)$$

Dar

$$M - M_s = K i_i, [36]. \quad (4.3)$$

Aplicând și ecuației (3.5) transformata Laplace, se obține :

$$K I_i(s) = sJ\Omega(s). \quad (4.4)$$

Din (4.2) și (4.4) se obține funcție de transfer a procesului :

$$H_p(s) = \frac{\Omega(s)}{U(s)} = \frac{1}{\left[(R_i + sL_i) \frac{sJ}{K^2} + 1 \right] \cdot K}. \quad (4.5)$$

În [28, 36] se notează :

$$T_m = \frac{JR_i}{K^2}, \quad (4.6)$$

— constanta de timp electromecanică a motorului și

$$T_e = \frac{L_i}{R_i}, \quad (4.7)$$

— constanta de timp electrică a motorului. Se obține astfel :

$$H_p(s) = \frac{\frac{1}{K}}{s^2 T_m T_e + s T_m + 1}. \quad (4.8)$$

Pentru un tip ușual de motor de curent continuu $T_m \gg T_e$ și se poate approxima $T_m \approx T_m + T_e$. Se obține, în final, funcția de transfer :

$$H_p(s) = \frac{\frac{1}{K}}{(1 + sT_m)(1 + sT_e)}. \quad (4.9)$$

4.1.3.2. MODELUL MATEMATIC AL ELEMENTULUI DE EXECUȚIE

Elementul de execuție reprezentat în figurile 4.2 și 4.3 este un variator de tensiune continuă de tipul celor descrise în paragraful 3.3. Rolul său este de a alimenta motorul de curent continuu cu impulsuri de tensiune de amplitudine U_1 și durată T_c , cu frecvență de repetiție T . Poate fi în variantă cu tiristoare (figura 3.15) sau cu tranzistoare (figura 3.19). În cel de al doilea caz, acțiunea este reversibilă.

Indiferent de structura de chopper utilizată, valoarea medie a tensiunii de alimentare pentru motor este :

$$U_m = \frac{T}{T_c} U_1. \quad (3.23)$$

Caracterizarea chopperului din punct de vedere dinamic, în condițiile în care el se comandă prin T_c variabil la $T = \text{constant}$, se face prin funcția de transfer :

$$H_c(s) = \frac{U_m(s)}{T_c(s)} = \frac{U_1}{T}. \quad (4.10)$$

4.1.3.3. MODELUL MATEMATIC AL TRADUCTORULUI TIRO ȘI AL NUMĂRATORULUI

În cadrul oricărui sistem automat este necesar să se dispună, la intrare, de valoarea mărimii regulate, ca mărimă de reacție. În acest scop, se utilizează diferite tipuri de traductoare. Acestea sunt dispozitive ce au rolul de a stabili o corespondență între o mărimă de măsurat și o mărimă aptă de a fi utilizată de echipamente de prelucrare a datelor [72].

Traductorul utilizat în cazul de față este un traductor incremental rotativ optic *TIRO* 1000, produs de Întreprinderea de mecanică fină București. Acest tip de traductor furnizează două trenuri de impulsuri de nivel *TTL*, de frecvență proporțională cu turația, decalate între ele cu un defazaj de $\pm \frac{T}{4}$, în funcție de sensul de rotație. La o turație completă, lungimea unui tren este de $N = 1000$ impulsuri. Prin urmare, rezoluția în determinarea deplasării, cu un astfel de traductor, este de $0,36^\circ$ sexagesimale. Există în fabricația românească și traductoare de tip *TIRO* 2000 cu rezoluția de $0,18^\circ$ sexagesimale.

Principiul de funcționare al traductorului se explică pe baza schițelor și diagramelor din figura 4.7, [50].

Pe discul *D*, din material transparent, este depusă o rețea de linii echidistante, care formează un sistem de fante opace. Grila fixă *G* permite accesul la dispozitivele fotocaptoare *FC*. Semnalele de la ieșirea acestora, $V_1 \div V_4$, variază aproximativ sinusoidal, pentru o mișcare uniformă a discului *D*.

Prin combinarea lor rezultă semnalele $V_1 - V_3$ și $V_2 - V_4$, care sunt formate la niveluri *TTL*, prin către un comparator cu reacție pozitivă. Se

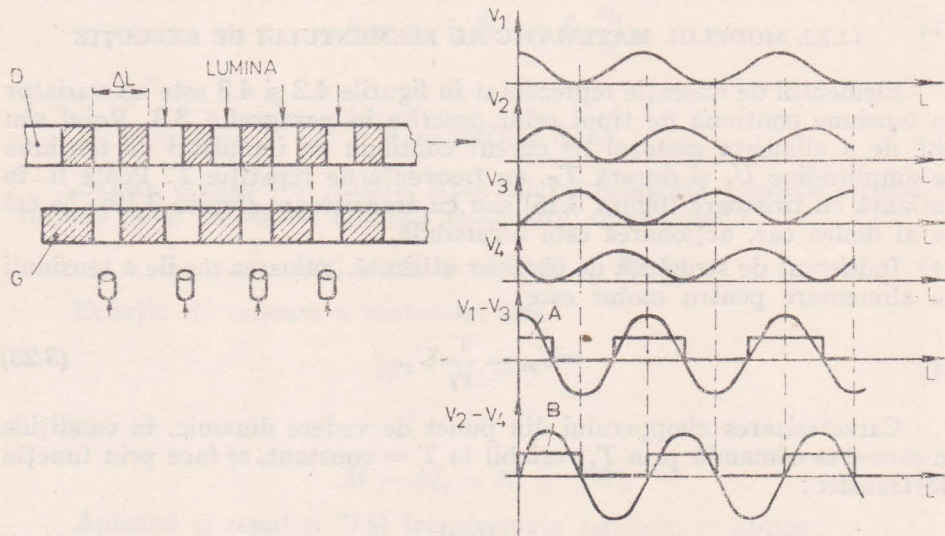
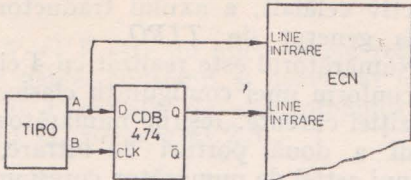


Fig. 4.7. Principiul de funcționare al traductorului *TIRO*.

Fig. 4.8. Determinarea sensului de rotație al TIRO cu bistabil D.



obțin, astfel cele două semnale de ieșire, A și B, defazate între ele în funcție de sensul de rotație.

Traductorul este cuplat cu motorul cu un raport de transmisie 1 : 1. Pentru cazul acționării reversibile (cu chopper cu tranzistoare) este necesară decodificarea sensului de rotație. Aceasta se realizează simplu, cu ajutorul unui bistabil de tip D, conectat în conformitate cu figura 4.8. Ieșirea Q a bistabilului este pe 0 logic, respectiv 1 logic, în funcție de sensul de rotație.

Pentru determinarea sensului de rotație al TIRO, corect, fără erori, și în situația în care organul mobil al acționării, de care este legat traductorul, oscilează în jurul unei poziții fixe, se pot concepe și scheme mai complexe. În figura 4.9 se prezintă un exemplu în care se utilizează două circuite integrate: 7475 — patru bistabile D și 74153 — două multiplexoare. Semnalele de intrare pentru schemă sunt cele două semnale A și B de la TIRO și impulsul de tact al microsistemu. La ieșirile multiplexoarelor, care se leagă la cîte o linie de port de intrare în sistem, se obțin impulsurile în concordanță cu sensul de rotație.

În cadrul SRA-N-VP, unitatea centrală a ECN a fost eliberată de funcția de contorizare a impulsurilor venite de la traductor cu scopul de a își asigura o rezervă suficientă de timp de execuție, pentru celelalte operații necesare în cadrul reglării. Funcția de măsurare permanentă a poziției este preluată de un numărător, care este incrementat sau decrementat cu cîte o unitate, la fiecare deplasare unghiulară de $0,36^\circ$, într-un sens,

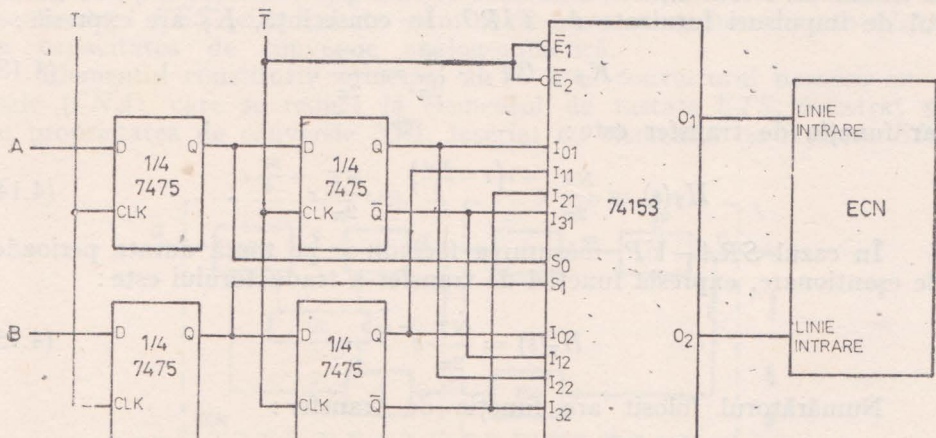


Fig. 4.9. Schemă pentru determinarea sensului de rotație al TIRO.

respectiv celălalt, a axului traductorului, deplasare corespunzătoare unui impuls generat de *TIRO*.

Numărătorul este realizat cu 4 circuite CDB 4193, legate unul de celălalt, conform unei configurații clasice. Se obține codul numeric pe 16 biți al poziției curente. Ieșirile numărătoarelor utilizate sunt direct legate la cîte 4 linii a două porturi de intrare, de cîte 8 biți, ale *ECN*. Capacitatea unui astfel de numărător corespunde la circa 66 de turații ale arborelui motorului, legat cu *TIRO*.

Utilizînd mijloace numerice de implementare a regulatoarelor din sistem se subînțelege necesitatea alegerii unei perioade de eșantionare în proces.

Turația măsurată în cursul unei perioade de eșantionare este, de fapt, mărimea de reacție doar a pasul în următor. Apare, deci, o întîrziere egală cu diferența dintre lungimea perioadei de eșantionare T și jumătatea intervalului de timp de măsurare T_M , dacă se acceptă că valoarea medie a vitezei este atinsă la mijlocul perioadei de măsură. Ca urmare, măsurarea este afectată de un timp mort $-\tau_M$:

$$\tau_M = T - \frac{T_M}{2}. \quad (4.11)$$

Funcția de transfer a *TIRO*, considerînd viteza unghiulară ca mărime de intrare și numărul de impulsuri contorizate de *ECN* ca mărime de ieșire, este dată relația:

$$H_T(s) = \frac{N(s)}{\Omega(s)} = K_T e^{-s\tau_M}, \quad (4.12)$$

în care K_T (coeficientul de transfer) și τ_M depind de modul concret de utilizare.

În cazul *SRA-V*, timpul de măsură T_M este egal cu jumătate din perioada de eșantionare, T . În acest interval de timp sunt contorizate atît fronturile crescătoare, cît și cele descrescătoare ale impulsurilor sosite de la traductor. Rezultă, deci, o dublare a numărului contorizat față de numărul de impulsuri furnizate de *TIRO*. În consecință, K_T are expresia:

$$K_T = 2T_M \cdot \frac{N}{2\pi} = \frac{NT}{2\pi}, \quad (4.13)$$

iar funcția de transfer este:

$$H_T(s) = \frac{NT}{2\pi} e^{-s\left(T - \frac{T_M}{2}\right)} = \frac{NT}{2\pi} e^{-\frac{3T}{4}s}. \quad (4.14)$$

În cazul *SRA-VP*, măsurarea făcîndu-se pe toată durata perioadei de eșantionare, expresia funcției de transfer a traductorului este:

$$H_T(s) = \frac{NT}{2\pi} e^{-\frac{T}{2}s}. \quad (4.15)$$

Numărătorul folosit are funcția de transfer:

$$H_N(s) = \frac{N(s)}{\Omega(s)} = \frac{N}{2\pi}. \quad (4.16)$$

4.1.4. ECHIPAMENTUL DE COMANDĂ NUMERICĂ (ECN)

ECN utilizat în *SRA-V* și *SRAN-VP* este un microsistem realizat în jurul microprocesorului 8085. Acest sistem construit și dezvoltat în laboratorul de Electronică industrială al Facultății de electrotehnică din cadrul IPTVT, este descris în capitolul II, paragraful 2.3.

4.2. PROIECTAREA ALGORITMILOR DE REGLARE NUMERICĂ

4.2.1. PROIECTAREA ALGORITMICĂ A UNUI SISTEM CONVENTIONAL DE REGLARE AUTOMATĂ NUMERICĂ [4, 24]

Un sistem de reglare automată numerică (SRAN) convențional are structura din figura 4.10, [24, 77]. Pe figură, semnificațiile pentru *ECN*, *EM*, y , Ω , r au fost prezentate în paragraful 4.1, iar celelalte notații sunt:

- *ARN* — algoritm de reglare numerică,
- *II* — interfață intrare,
- *IO* — interfață ieșire
- *UC* — unitate de comandă,
- *IT* — instalația tehnologică,
- m — mărime de execuție,
- p — perturbație,
- \bar{w} , \bar{y} , \bar{r} — codurile numerice corespunzătoare lui w , y , r .

Interfața de intrare (*II*) conține, ca element central, un convertor analog-numeric (*CAN*). Din punct de vedere informațional, *II* se reduce la eșantionorul *EES* (circuitul de eșantionare-memorare), înzestrat totodată cu capacitatea de conversie analog-numerică.

Elementul constitutiv principal al *IO* este convertorul numeric-analog (*CNA*), care se reduce la elementul de tastare *ETS*, înzestrat și cu proprietatea de conversie *N/A*, inseriat cu elementul de reținere *ER*,

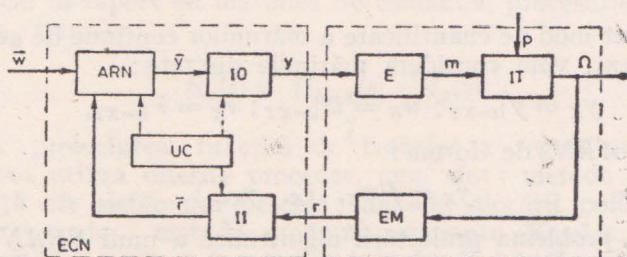


Fig. 4.10. Structura unui *SRAN* convențional.

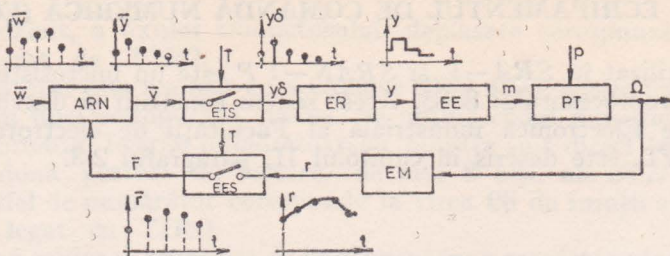


Fig. 4.11. Schema bloc a SRAN convențională.

destinat refacerii semnalului de comandă continuu. În general, eșantionorul și elementul de tastare lucrează sincron, cu aceeași perioadă, numită perioadă de eșantionare (T).

Unitatea de comandă organizează și sincronizează în timp diferențele acțiuni care au loc în sistem. Teoretic, se presupune o sincronizare totală și o operare instantanee. Aceasta înseamnă că: EES și ETS lucrează sincron, conversiile A/N și N/A se execută instantaneu, ARN se efectuează instantaneu. În realitate, aceste ipoteze nu sunt valabile și conduc la abateri mai mult sau mai puțin importante față de performanțele calculate.

ER reprezintă un extrapolator de ordinul zero, care pe intervalul de o perioadă de eșantionare își menține constantă mărimea de ieșire, la o valoare egală cu cea aplicată la intrare, la începutul perioadei respective.

Rezultă, prin urmare, schema bloc din figura 4.11. În figură se sugerează și modul de variație în timp a mărimilor ECN : cele reprezentate cu linie continuă au semnificația de mărimi analogice, iar cele reprezentate cu linie întreruptă corespund codurilor numerice menționate.

ER se asimilează cu un element, având funcția de transfer:

$$H_{ER}(s) = \frac{1 - e^{-sT}}{s}. \quad (4.17)$$

În SRAN, rolul regulatorului îl joacă ARN , ECN elaborând pe baza lui, în funcție de w și r , codul numeric al mărimii de comandă y . Codurile cu care operează ARN corespund, datorită eșantionării, unor momente discrete:

$$t_K = mT, \quad m = \text{întreg}, \quad (4.18)$$

și a unui anumit mod de cuantificare a mărimilor continue de același nume. În acest context, vom considera mărimile discrete:

$$y_K = \bar{y}|_{t=KT}; \quad w_K = \bar{w}|_{t=KT}; \quad r_K = \bar{r}|_{t=KT}, \quad (4.19)$$

respectiv ARN de forma:

$$y_K = f(w_K, r_K, y_{K-1}). \quad (4.20)$$

Principial, problema proiectării algoritmice a unui SRAN convențional este similară cu problematica proiectării algoritmice a unui SRA continuu convențional [24].

În funcție de dinamica procesului condus, procedeele de proiectare algoritmică a ARN se împart în două categorii:

- procedee bazate pe obținerea ARN prin discretizarea legilor de reglare continuă,
- procedee bazate pe proiectarea directă a ARN.

Prima categorie de procedee presupune o perioadă de eșantionare T de valoare redusă, în comparație cu dinamica impusă SRAN și cu dinamica procesului condus. În această situație, ARN aproximiază legea de reglare de așa manieră încât comportarea SRAN diferă practic foarte puțin de comportarea unui SRA, care ar lucra cu un regulator ce implementează legea de reglare continuă de la care s-a plecat. ARN obținut astfel poartă denumirea de algoritm de reglare numerică cvasicontinuă (ARNc).

Ipoteza că SRAN reproduce comportarea sistemului continuu este esențială în proiectarea ARNC. Acest lucru trebuie să se realizeze la nivelul tuturor elementelor componente. De aceea, se impune ca, pentru $T \rightarrow 0$, atât ansamblul format din ETS și ER, cât și EES, să aibă funcția de transfer $H_{EER}(s) \approx 1$. În acest scop, grupul $ETS + ER$ se echivalează cu un singur element de transfer, EER, numit element de tastare și reținere, având funcția de transfer :

$$H_{EER}(s) = \frac{1 - e^{-sT}}{sT}. \quad (4.21)$$

Atunci cind T are ordinul de mărime al constantelor de timp mici, în calculele de proiectare $H_{EER}(s)$ se poate approxima prin :

$$H_{EER}(s) = e^{-\frac{sT}{2}}. \quad (4.22)$$

Proiectarea ARNC desurge conform organigramei din figura 4.12 [24].

Corespunzător acesteia, pe baza caracteristicilor procesului condus și a performanțelor impuse, se adoptă T și se apreciază dacă EER poate fi tratat ca un element de transfer neînerțial. În caz afirmativ, regulatorul se proiectează considerând $H_{EER}(s) = 1$, adică omitind prezența EER. În caz contrar, se adoptă pentru $H_{EER}(s)$ expresia (4.21) sau o expresie de aproximare, de exemplu (4.22). Se proiectează apoi regulatorul continuu, în ipoteza că, în raport cu mărimea de comandă, procesul condus prezintă funcția de transfer :

$$H_p(s) = H_{EER}(s) \cdot H_p(s). \quad (4.23)$$

Pentru proiectarea funcției de transfer a regulatorului continuu, $H_R(s)$, se pot utiliza diferite procedee, cum sunt : metoda caracteristicilor de frecvență ale sistemului deschis; metoda alocării polilor și zerourilor funcției de transfer; metoda modulului-varianța Kessler [14] și.a.

În continuare, pe baza funcției de transfer $H_R(s)$ calculate, se determină ARNC, folosind o metodă de discretizare a algoritmilor de reglare continuă.

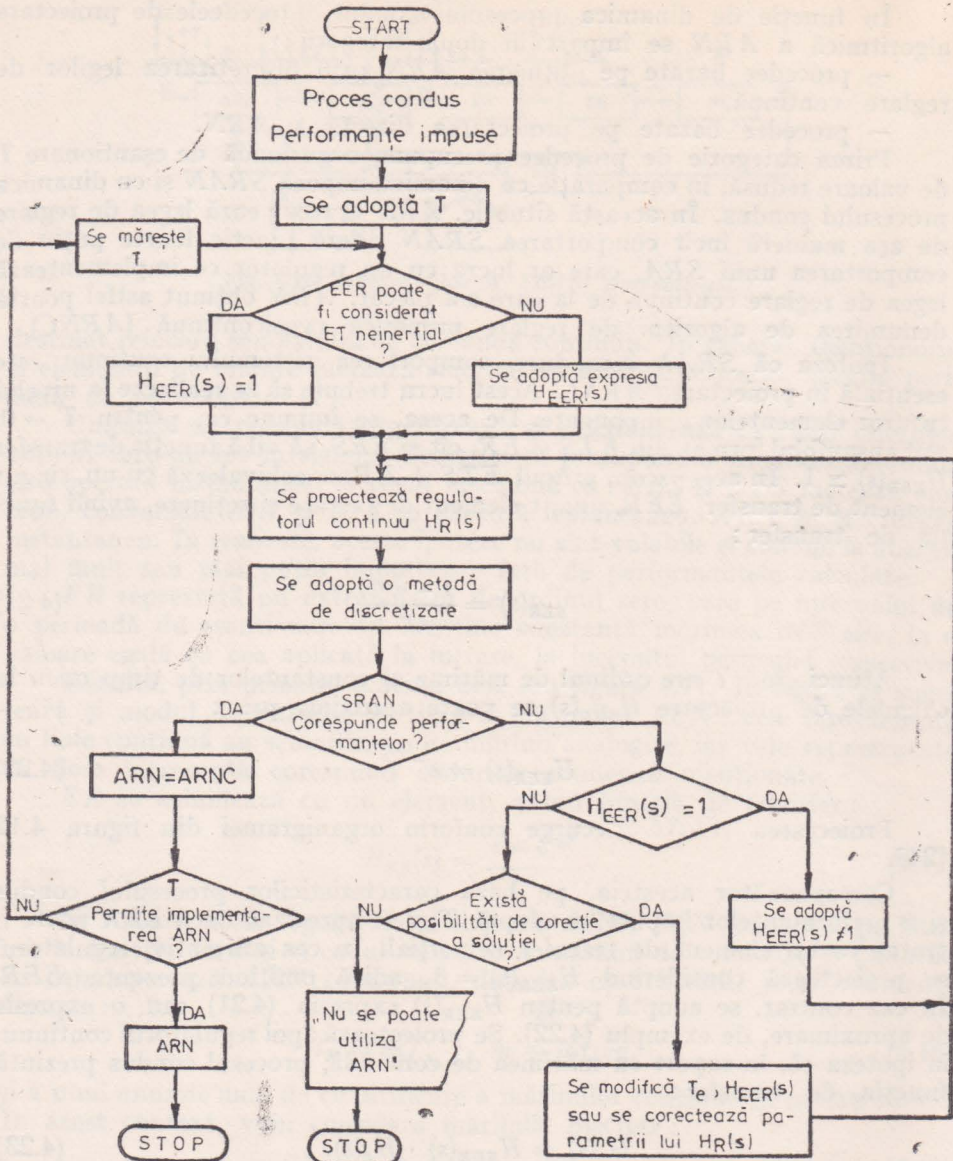


Fig. 4.12. Procedura de proiectare a ARNC.

SRAN, astfel proiectat, este supus, mai departe, validării. În funcție de rezultatul ultimei operații, se consideră ca soluție posibilă *ARNC* obținut sau se reia proiectarea. În final, soluția posibilă este definitiv validată, numai dacă *ARN* poate fi implementat pe *ECN*, în intervalul de timp T .

Adoptarea perioadei de eşantionare reprezintă o operaţie extrem de importantă. Practic, T trebuie să satisfacă o condiţie de forma :

$$T \leq 0,1 \sum_j T_j, \quad (4.24)$$

în care T_j reprezintă constantele de timp semnificative (dominante) ale procesului condus.

4.2.2. DISCRETIZAREA MODELELOR MATEMATICE ALE ELEMENTELOR DE TRANSFER CONTINUE

Dintre procedeele de discretizare prezentate în [24, 14], am utilizat metoda trapezului.

Prin această metodă se asociază unui element de transfer continuu un model matematic discret, aplicând ecuaţiei acestuia o transformare liniară. Procedeul constă în următoarele :

Se integrează de n ori ecuaţia elementului de transfer pe intervalul $[t - T, t]$, folosind următoarea relaţie de aproximare :

$$\int_{t-T}^t x(\tau) d\tau = \frac{T}{2} [x(t) + x(t - T)]. \quad (4.25)$$

Se particulează în rezultatul obținut $t = t_K$ și se scrie ecuaţia discretă, înlocuind $x(t_i)$ cu x_i .

Fie o aplicaţie a metodei trapezului pentru cazul unui element de transfer raţional, de ordinul I, cu funcţia de transfer :

$$H(s) = \frac{\beta_0 + \beta_1 s}{\alpha_0 + \alpha_1 s}, \quad (4.26)$$

căreia îi corespunde ecuaţia diferenţială :

$$\alpha_0 y(t) + \alpha_1 \dot{y}(t) = \beta_0 a(t) + \beta_1 \dot{a}(t). \quad (4.27)$$

Dacă se integrează ecuaţia (4.27), utilizând metoda trapezului de discretizare se obține :

$$\begin{aligned} \alpha_0 \frac{T}{2} [y(t'_K) + y(t_{K-1})] + \alpha_1 [y(t_K) - y(t_{K-1})] &= \\ = \beta_0 \frac{T}{2} [a(t_K) + a(t_{K-1})] + \beta_1 [a(t_K) - a(t_{K-1})]. \end{aligned} \quad (4.28)$$

În acest fel, pentru funcția de transfer (4.26), ARN corespunzător obținut prin discretizare, este:

$$y_K = d_0 a_K + d_1 a_{K-1} + c_1 y_{K-1} = d_0(w_K - r_K) + d_1(w_{K-1} - r_{K-1}) + c_1 y_{K-1}, \quad (4.29)$$

cu

$$d_0 = \frac{\beta_0 \frac{T}{2} + \beta_1}{\alpha_0 \frac{T}{2} + \alpha_1}; \quad d_1 = \frac{\beta_0 \frac{T}{2} - \beta_1}{\alpha_0 \frac{T}{2} + \alpha_1}; \quad c_1 = \frac{\alpha_1 - \alpha_0 \frac{T}{2}}{\alpha_0 \frac{T}{2} + \alpha_1}, \quad (4.30)$$

unde :

a este mărimea de acționare (eroarea; abaterea),

y — mărimea de comandă.

4.2.3. PROIECTAREA ALGORITMICĂ A SRA ÎN CASCADĂ [4]

SRA în cascadă asigură performanțe superioare SRA convenționale, prin compensarea mai bună a perturbațiilor și reducerea inerției pe care o prezintă procesul, în raport cu mărimea de comandă, deci micșorarea timpului de reglare.

SRA-VP din figura 4.6 se încadrează în acest tip de structură [24]. Bucla de viteză este o buclă de reglare internă (auxiliară), iar bucla de poziție este o buclă de reglare (principală).

Proiectarea algoritmică a unui SRA în cascadă cuprinde următoarele etape :

1. Analizarea schemei bloc a procesului condus și descompunerea acesteia folosind algebra schemelor bloc și respectând principiul cauzalității, într-o conexiune serie de subsisteme, care au ca mărimi de legătură tocmai mărimele auxiliare.

2. Plecînd de la ansamblul performanțelor impuse, se formulează condiții de proiectare pentru fiecare din buclele de reglare.

3. Se proiectează succesiv buclele de reglare, începînd cu bucla internă. De fiecare dată, după proiectarea regulatorului unei bucle de reglare auxiliare, se procedează la „reducerea” schemei informaționale a SRA, prin echivalarea buclei calculate prin-tr-un element de transfer, ce redă comportarea buclei în raport cu mărimea ei de conducere. Schema de reglare rezultată în urma reducerii va avea în interior o nouă buclă de reglare convențională, care, după proiectarea regulatorului aferent, poate fi din nou redusă s.a.m.d.

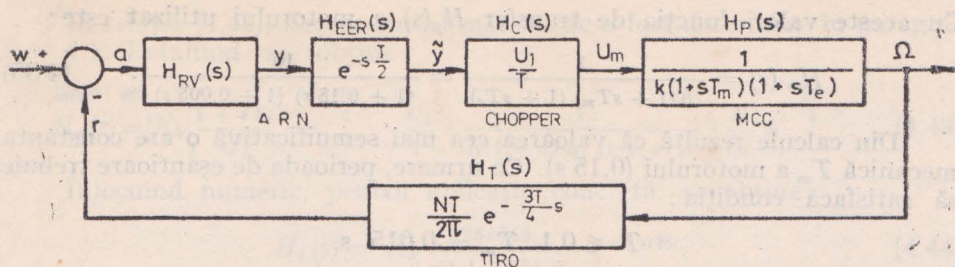


Fig. 4.13. Schema bloc a $SRA - V$ cu f.d.t. ale elementelor componente reprezentate.

4.2.4. PROIECTAREA CONCRETA A SRA—V [4, 73, 26]

$SRA - V$ are schema bloc din figura 4.13, în care blocurile au funcțiile de transfer stabilite în paragraful 4.1.

Pentru stabilirea valorii perioadei de esantionare T , se pornește de la determinarea constantelor T_m și T_e din $H_p(s)$ (modelul matematic al motorului de curent continuu). MCC folosit este de tip EP 211 (IME, Pitești), având excitația cu magnet permanent și următoarele date de catalog:

$$U_n = 24 \text{ V}, I_n = 3,5 \text{ A}, M_n = 0,417 \text{ kgf} \cdot \text{cm},$$

$$n_n = I : 1620 \text{ rpm} \pm 12\% \text{ (tehnologic)},$$

$$\text{II} : 2160 \text{ rpm} \pm 12\% \text{ (tehnologic)},$$

$$M_{\text{pornire}} = 8,33 \text{ kgf.cm},$$

$$R_i = 1,8 \Omega, L_i = 8,5 \text{ mH}.$$

Momentul de inerție al motorului este:

$$J_m = \frac{m D^2}{8} = \frac{\rho \frac{D^2}{4} \cdot l \cdot D^2}{8}, \quad (4.31)$$

$$J_m \approx 8,5 \cdot 10^{-4} \text{ kg} \cdot \text{m}^2.$$

Constanta motorului este:

$$K = \frac{U_n - R_i I_n}{2\pi n_n} \cdot 60 \approx 0,1 \frac{\text{V}}{\text{rad/s}}. \quad (4.32)$$

Constantele de timp au următoarele valori:

$$T_e = \frac{L_i}{R_i} \approx 5 \text{ ms}. \quad (4.33)$$

$$T_m = \frac{J R_i}{K^2} \approx 150 \text{ ms}. \quad (4.34)$$

Cu aceste valori funcția de transfer $H_p(s)$ a motorului utilizat este :

$$H_p(s) = \frac{1}{K(1 + sT_m)(1 + sT_e)} = \frac{10}{(1 + 0,15s)(1 + 0,005s)}. \quad (4.35)$$

Din calcule rezultă că valoarea cea mai semnificativă o are constanta mecanică T_m a motorului (0,15 s). Ca urmare, perioada de eşantioare trebuie să satisfacă condiția :

$$T \ll 0,1 \quad T_m = 0,015 \text{ s.}$$

Se adoptă $T = 0,01 \text{ s} = 10 \text{ ms.}$ (4.36)

Timpul de măsură T_M se adoptă $\frac{T}{2} = 5 \text{ ms.}$ (4.37)

La baza metodei caracteristicilor de frecvență ale sistemului deschis stau următoarele rezultate ale unor studii cu privire la legătura dintre aceste caracteristici de frecvență și calitatea SRA [24] :

a) SRA este asymptotic stabil, dacă rezervația de fază $\varphi_M \in (50^\circ, 70^\circ)$. În acest caz, amortizarea este bună și procesele tranzitorii se caracterizează prin oscilații relativ reduse, cu suprareglaje mici, corespunzând cerințelor din practică ;

b) În primă aproximatie, un SRA se prezintă în raport cu mărimea de intrare ca un sistem de ordinul I, cu constanta de timp $T_t = 1/\omega_t$, timpul de reglare fiind aproximabil prin relațiile :

$$t_{r,0,05} \approx 4 \quad T_t = 4/\omega_t, \quad (4.38)$$

$$t_{r,0,02} \approx 5 \quad T_t = 5/\omega_t. \quad (4.29)$$

c) Dacă sistemul deschis are un caracter integrator, atunci în regim staționar SRA satisface, în general, condiția de anulare asymptotică a ieșirilor de apreciere [14, 4].

În esență, proiectarea SRA prin această metodă constă în determinarea unui regulator, care să conducă la obținerea unor caracteristici de frecvență ale sistemului deschis care să satisfacă performanțele impuse, ținând cont de rezultatele menționate mai sus.

Pentru a asigura o eroare nulă în regim staționar, se adoptă o reglare de tip PI, corespunzătoare unui regulator evasicontinuu cu funcția de transfer :

$$H_{RV}(s) = K_V \left(1 + \frac{1}{sT_i} \right). \quad (4.40)$$

Constanta de timp a regulatorului, T_i , se alege egală cu cea mai mare constantă de timp a procesului :

$$T_i = T_m = 0,15 \text{ s.} \quad (4.41)$$

Funcția de transfer a sistemului deschis (fig. 4.13) este :

$$H_L(s) = H_{RV}(s) \cdot H_{EER}(s) \cdot H_C(s) \cdot H_P(s) \cdot H_T(s). \quad (4.42)$$

În relația (4.42), fiecare model matematic a fost determinat în paragraful 4.1. Detaliind se obține :

$$H_L(s) = K_V \frac{1 + sT_i}{sT_i} \cdot e^{-\frac{T}{2}s} \cdot \frac{U_1}{T} \cdot \frac{1}{K(1 + sT_m)(1 + sT_e)} \cdot \frac{N}{2\pi} e^{-\frac{3T}{4}s}. \quad (4.43)$$

Înlocuind numeric, pentru aplicația concretă, se obține :

$$H_L(s) = K_V \frac{254648}{s(1 + 0,005s)}. \quad (4.44)$$

Coefficientul de reglare al regulatorului, K_V , se determină grafo-analitic. Aceasta constă în reprezentarea caracteristicilor de frecvență ale sistemului deschis, $|H_L|$ și φ_L , pentru o valoare arbitrară K_{V*} a coeficientului de amplificare și determinarea lui K_V cu relația :

$$K_V = K_{V*} \cdot 10^{-0,05|H_L|^*} \text{ dB}, \quad (4.45)$$

în care $|H_L|^*$ dB este ordonata caracteristicii amplitudine-pulsărie, la $\omega = \omega_t^*$ (figura 4.14), corespunzătoare unei rezerve de fază de 60° .

Reprezentarea caracteristicilor de frecvență s-a făcut alegind :

$$K_{V*} = 1/254648 = 3,93 \cdot 10^{-6}, \quad (4.46)$$

obținându-se pentru K_V valoarea :

$$\begin{aligned} K_V &= K_{V*} \cdot 10^{-0,05|H_L|^*} = \omega_t^* \cdot K_{V*} = 30,0 \cdot 3,93 \cdot 10^{-6} = \\ &= 1,18 \cdot 10^{-4} \text{ s}. \end{aligned} \quad (4.47)$$

ARNC se determină prin discretizarea, cu ajutorul metodei trapezului, a legii de reglare de tip PI (4.40), identificată cu ecuația (4.26), în care :

$$\beta_0 = K_V = 1,18 \cdot 10^{-4} \text{ s};$$

$$\beta_1 = K_V T_i = 1,77 \cdot 10^{-5} \text{ s};$$

$$\alpha_0 = 0; \alpha_1 =$$

$$= T_i = 0,15 \text{ s}.$$

Folosind formulele de calcul (4.30), se obțin pentru coeficienți, valorile :

$$d_0 = 1,22 \cdot 10^{-4} \text{ s};$$

$$d_1 = -1,14 \cdot 10^{-4} \text{ s};$$

$$c_1 = 1. \quad (4.48)$$

ARNC este deci de forma :

$$y_K = d_0 a_K + d_1 a_{K-1} + y_{K-1}. \quad (4.49)$$

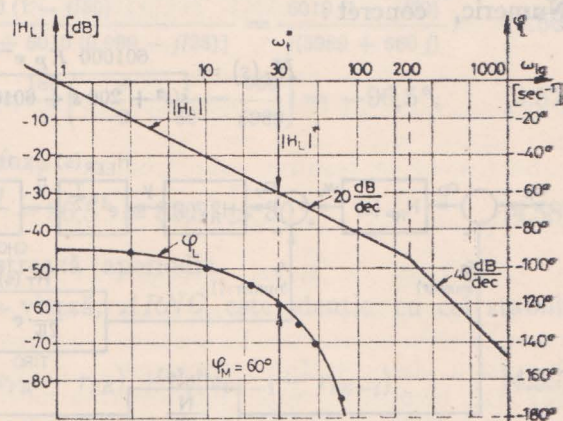


Fig. 4.14. Caracteristica de fază și frecvență ale sistemului deschis, pentru o valoare arbitrară a lui K_{V*} .

4.2.5. PROIECTAREA SRA—VP

SRA—VP are schema bloc din figura 4.15, în care blocurile au funcțiile de transfer stabilite în paragraful 4.1.3.

După cum am arătat în paragraful 4.2.3, proiectarea SRA în cascadă decurge similar cu proiectarea SRA convențională.

Ca urmare, se pot utiliza coeficienții calculați în paragraful 4.2.4 pentru bucla de viteză, cu observația că, datorită micșorării timpului mort total al acestei bucle, de la 12,5 ms la 10 msec, se obține o margine de fază mai mare:

$$\varphi_{MV} = 64,3^\circ. \quad (4.50)$$

Acest lucru este de dorit, pentru că prin această creștere a marginii de fază, crește și amortizarea SRA [26].

Bucla internă de viteză are funcția de transfer:

$$H_V(s) = \frac{H_{RV}(s) \cdot H_{EER}(s) \cdot H_C(s) \cdot H_P(s)}{1 + H_{RV}(s) \cdot H_{EER}(s) \cdot H_C(s) \cdot H_P(s) \cdot H_T(s)}. \quad (4.51)$$

Înlocuind valorile numerice calculate în (4.24) rezultă:

$$H_V(s) = \frac{3776 e^{-0,005s}}{s^2 + 200s + 6010}. \quad (4.52)$$

Pentru bucla de poziție se adoptă o lege de reglare de tip proporțional (P), deci $H_{RP}(s) = K_p$. Nu se utilizează un regulator PI, datorită caracterului integrator al dependenței dintre viteză și poziție.

Funcția de transfer a sistemului deschis este:

$$H_L(s) = H_{RP}(s) \cdot H_V(s) \cdot \frac{H_N(s)}{s_1}. \quad (4.53)$$

Numeric, concret:

$$H_L(s) = \frac{601000 K_p e^{-0,005s}}{s(s^2 + 200s + 6010 e^{-0,01s})}. \quad (4.54)$$

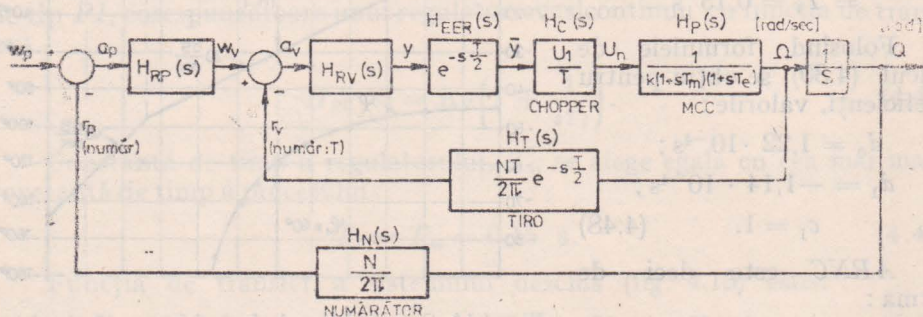


Fig. 4.15. Structura bloc a SRA—VP cu f.d.t. ale elementelor detaliate.

Deoarece timpii morți apar doar în interiorul buclei de viteză, care asigură o reacție negativă, ei pot fi neglijati inițial, urmând să se evaluateze ulterior consecințele acestor neglijări.

Pulsăriile de frângere ale funcției de transfer (4.54) sunt:

$$\omega_{1,2} = -s_{1,2} = 100 \pm \pm \sqrt{10000 - 6010},$$

$$\omega_1 = 36,8 \text{ s}^{-1},$$

$$\Rightarrow \omega_2 = 163,2 \text{ s}^{-1}.$$

Caracteristicile de frecvență ale sistemului deschis sint reprezentate sint în figura 4.16; s-a ales pentru K_P valoarea inițială $K_{P_0} = 0,01$.

Pentru a asigura eliminarea oscilațiilor din jurul poziției de echilibru, răspunsul SRA trebuie să fie aperiodic. Acest tip de răspuns se obține pentru o margine de fază $\varphi_M > 80^\circ$ [24,14].

Din figura 4.16 se observă că pentru $\omega_t^* = 4 \text{ rad/s}$, $\varphi_M = 82,4^\circ$. La această pulsare rezultă:

$$K_P = K_{P_0} \cdot 10^{-0,05 \cdot |H_L|^*} = \omega_t^* \cdot K_{P_0} = 0,04. \quad (4.55)$$

Trebuie efectuat calculul exact al marginii de fază, pentru $\omega_t^* = 4 \text{ s}^{-1}$ considerind și efectul timpilor morți. Cu $s = j\omega$ se obține:

$$H_L(4) = \frac{24040 (1 - j/50)}{4j[-16 + 800 + 6010(0,999 - j/25)]} = \frac{6010 (1 - j/50)}{j(5989 + 560j)}, \quad (4.56)$$

$$\varphi_L(4) = \arg H_L(4) = \frac{180}{\pi} \left(-\frac{\pi}{2} - \frac{1}{50} - \frac{560}{5989} \right) = -96,5^\circ. \quad (4.57)$$

Rezultă o margine de fază:

$$\varphi_M = 180^\circ - 96,5^\circ = 83,5^\circ > 80^\circ. \quad (4.58)$$

Deci, răspunsul SRA se păstrează aperiodic.

În cazul buclei interne de viteza, ARNC este identic cu cel stabilit pentru SRA-V:

$$y_K = y_{K-1} + d_0(w_{VK} - r_{VK}) + d_1(w_{VK-1} - r_{VK-1}). \quad (4.59)$$

Pentru regulatorul de poziție se poate scrie:

$$w_{VK} = K_P(w_{PK} - r_{PK}). \quad (4.60)$$

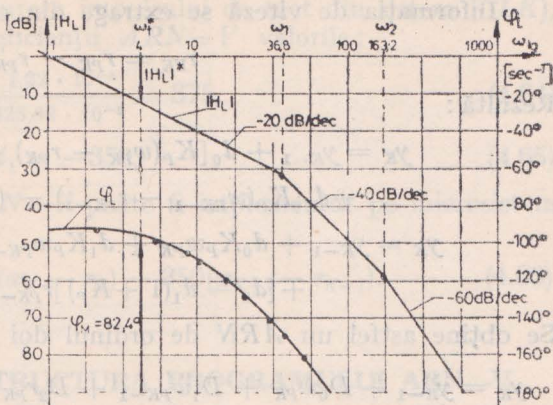


Fig. 4.16. Caracteristicile de frecvență ale sistemului deschis pentru SRA-P.

Informația de viteză se extrage din cea de poziție:

$$r_{PK} = r_{PK} - r_{PK-1}. \quad (4.61)$$

Rezultă :

$$\begin{aligned} y_K &= y_{K-1} + d_0 [K_P(w_{PK} - r_{PK}) - (r_{PK} - r_{PK-1})] + \\ &\quad + d_1 [K_P(w_{PK-1} - r_{PK-1}) - (r_{PK-1} - r_{PK-2})], \\ y_K &= y_{K-1} + d_0 K_P w_{PK} + d_1 K_P w_{PK-1} - d_0 (1 + K_P) r_{PK} + \\ &\quad + [d_0 - d_1 (1 + K_P)] r_{PK-1} + d_1 r_{PK-2}. \end{aligned}$$

Se obține astfel un ARN de ordinul doi de forma :

$$y_K = y_{K-1} + D_0 w_{PK} + D_1 w_{PK-1} + D_2 r_{PK} + D_3 r_{PK-1} + D_4 r_{PK-2}. \quad (4.62)$$

În acest ARN, coeficienții au valorile :

$$D_0 = d_0 K_P = 4,88 \cdot 10^{-6} \text{ s.}$$

$$D_1 = d_1 K_P = -4,56 \cdot 10^{-6} \text{ s,}$$

$$D_2 = -d_0 (1 + K_P) = -1,27 \cdot 10^{-4} \text{ s,} \quad (4.63)$$

$$D_3 = d_0 - d_1 (1 + K_P) = 2,41 \cdot 10^{-4} \text{ s.}$$

$$D_4 = d_1 = -1,14 \cdot 10^{-4} \text{ s.}$$

4.3. IMPLEMENTAREA ALGORITMULUI DE REGLARE NUMERICĂ A VITEZEI [26]

4.3.1. FORMA DISCRETĂ FINALĂ PENTRU ARN—V

ARN—V a rezultat sub forma ecuației discrete (4.49) :

$$y_K = d_0 a_K + d_1 a_{K-1} + y_{K-1},$$

cu coeficienții de valori calculate în (4.48).

În relația (4.49) y_K și y_{K-1} , mărimea de comandă curentă și cea precedentă, sunt exprimate în secunde și reprezintă intervale de conducție T_e pentru chopper. Implementarea corectă a algoritmului (4.49), pe sistemul SDK-85 utilizat, implică exprimarea mărimilor y_K și y_{K-1} în cod numeric normat, adică în numere de 14 biți (capacitatea timerului din sistem). Numerele de 14 biți se decrementează pînă la zero, obținindu-se în acest fel intervalele de timp necesare în comanda chopperului. Pasul de decrementare

a numărătorului este egal cu durata impulsului de tact din sistem (*CLK*), 325,52 ns. Rezultă pentru coeficienții $ARN - V$ valorile:

$$d_0 = \frac{1,22 \cdot 10^{-4}}{325,52 \cdot 10^{-9}} = 375, \quad (4.64)$$

$$d_1 = -350. \quad (4.65)$$

Forma finală sub care $ARN - V$ poate fi implementat pe microsistem este:

$$y_K = y_{K-1} + 375(w_K - r_K) - 350(w_{K-1} - r_{K-1}). \quad (4.66)$$

4.3.2. SARCINILE ECN. STRUCTURA PROGRAMULUI ARN—V

ECN este realizat cu microsistemul *SDK-85*, construit în jurul microprocesorului 8085, prezentat în paragraful 2.3. Pentru realizarea *SREN—V* microsistemul trebuie să îndeplinească următoarele funcții:

(F1) — preluarea mărimii de prescriere, w , de la operator, prin consola *DAF*, utilizând nivelul de intrerupere *RST 6.5*;

(F2) — măsurarea vitezei curente r_K , de la *TIRO*, utilizând o subrutină de frecvențmetru;

(F3) — calculul mărimii de comandă y_K , conform ecuației (4.66) pentru *ARN—V*;

(F4) — conversia mărimii numerice y_K într-un interval de timp real T_{CK} , timp de conducție pentru chopper, utilizând unul din timerele sistemului;

(F5) — comanda propriu-zisă a chopperului.

Cele cinci funcții trebuie îndeplinite de către *ECN* pe parcursul unei perioade de eșantionare T . În funcție de mărimea duratei T_{CK} în raport cu T și cu valoarea minimă a intervalului de conducție $T_{C,min}$ permisă de chopper (0 s pentru chopperul cu tranzistoare), sunt posibile trei regimuri de gestionare a perioadei de eșantionare, reprezentate în figura 4.17.

În figura 4.17 sunt reprezentate intervalele de timp în care se efectuează de către microsistem operațiile corespunzătoare celor cinci funcții care trebuie să le îndeplinească. Funcția F4, contorizarea intervalului de conducție pentru chopper, $T_{C,K}$, se efectuează cu unul din timerele sistemului și, deci, microprocesorul este, pe această durată, liber spre a executa alte operații. Intervalul $T_{C,K}$ poate fi mai mic decât $T/2$ — regimul I sau mai mare decât $T/2$ — regimul II. Intervalul de timp în care se efectuează măsurarea vitezei curente a motorului de către microprocesor (F2) este egal cu $T/2$. De aceea, în regimul I, măsurarea se face după ce comanda chopperului s-a efectuat, iar în regimul II, măsurarea se efectuează în timpul contorizării lui $T_{C,K}$. Calculul mărimii de comandă se efectuează în timpul liber disponibil pe durata T și este întrerupt cînd trebuie generate comenziile propriu-zise pentru chopper. Mărimea de prescriere, w , poate fi preluată din exterior în orice moment prin intreruperea, pe nivelul *RST 6.5*, a ori-

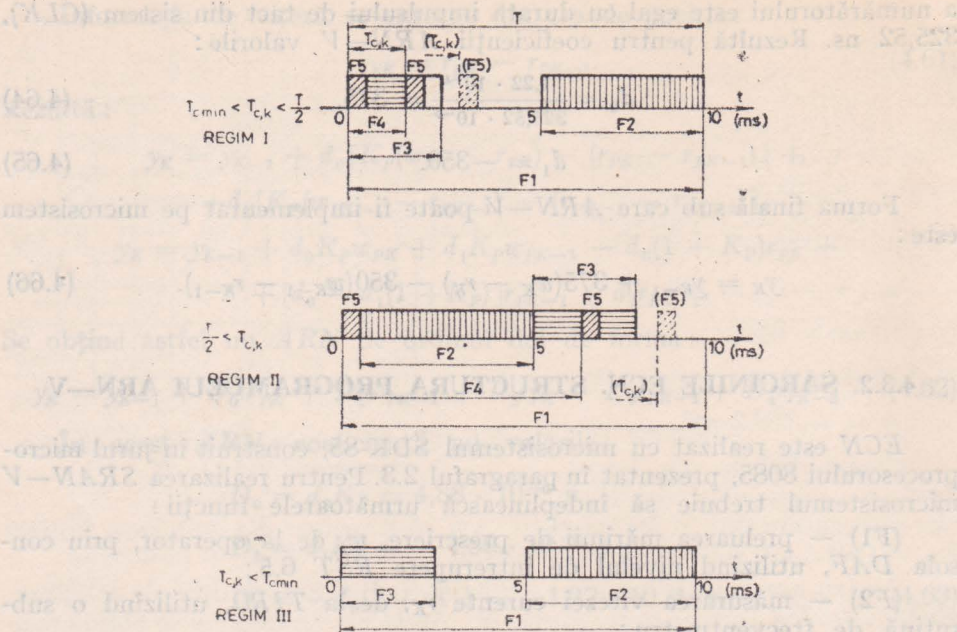


Fig. 4.17. Momentele de execuție a celor cinci funcții de către sistemul de comandă pe parcursul perioadei de eșantionare T .

cărei operații aflate în curs de desfășurare cu excepția (F2). În regimul III, chopperul nu mai este comandat, adică motorul rămîne nealimentat.

Schema logică-bloc a programului este prezentată în figura 4.18. Programele detaliate, atât pentru varianta cu chopper cu tiristoare, cât și pentru varianta cu chopper cu tranzistoare sunt date în anexa A1 [67].

4.3.3. PRINCIPALELE SUBPROGRAME CONSTITUENTE ALE ARN—V

4.3.3.1. SUBRUTINA DE TRATARE A INTRERUPERILOR GENERATE DE TIMER

Timerul utilizat, este parte constitutivă a circuitului 8155 și este folosit în modul de lucru 2, [63, 56]. Pinul de ieșire TIMER OUT este legat direct la intrarea de înterrupere RST 7.5 a microprocesorului 8085. Această intrare este activată cu frontul crescător al unui semnal de comandă.

In momentul activării intrării RST 7.5 se execută subrutina reprezentată în organigrama din figura 4.19.

Prin variabila *BYTE* se memorează tipul regimului de lucru (I, II sau III) curent și etapa în curs de parcurgere.

rezultatul obținut se va folosi și în urmarea iterației curente, calculată pe principiul de măsurare al întreruperii. Într-un interval de timp fix, T , se numără impuseurile generate de circuite, rezultând o înțelegere proporțională cu frecvența acustică. Prin configurația ambelor binară, este posibil să se genereze un semnal de informație.

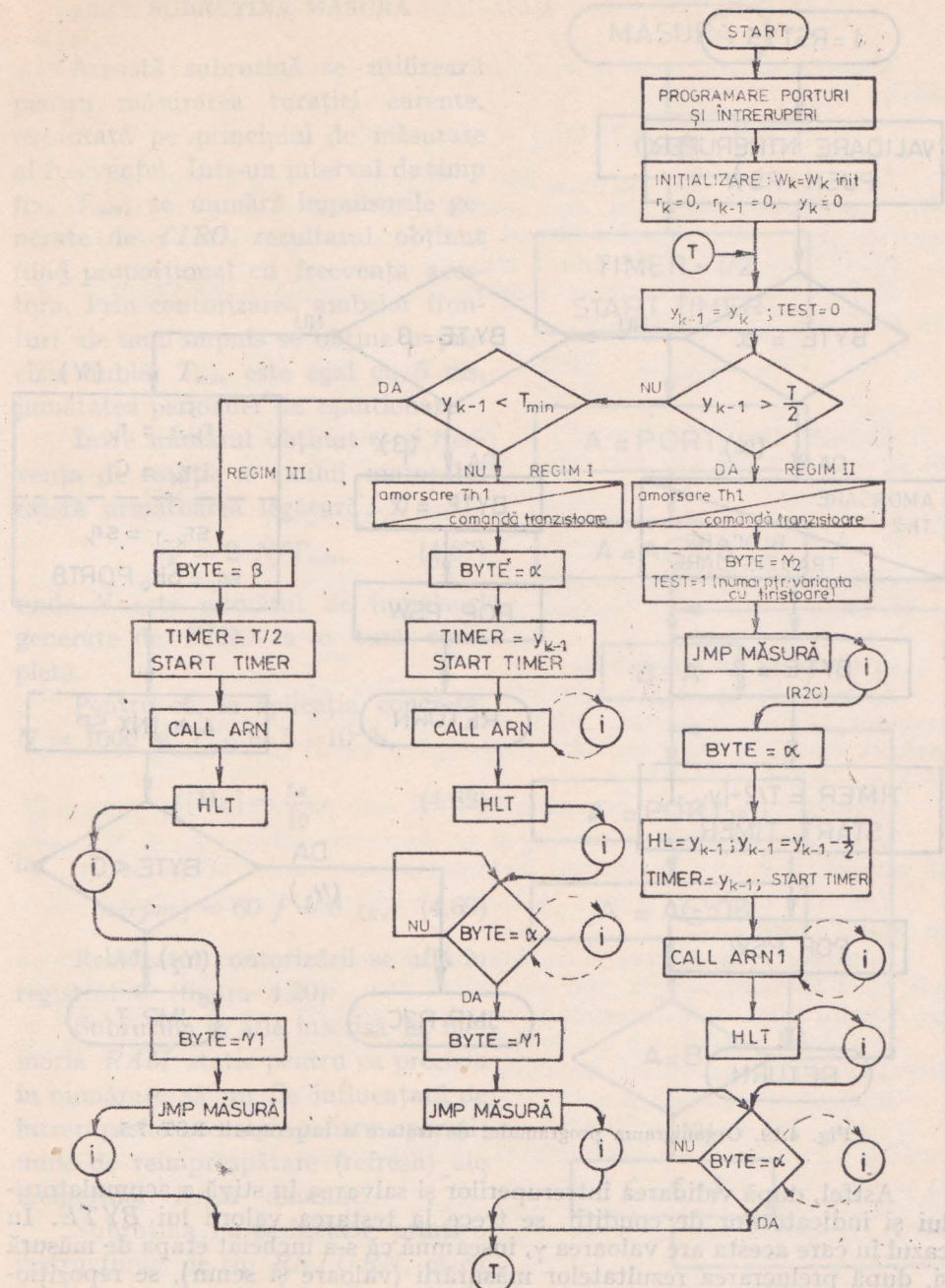


Fig. 4.18. Organigramma programului pentru ARN-V.

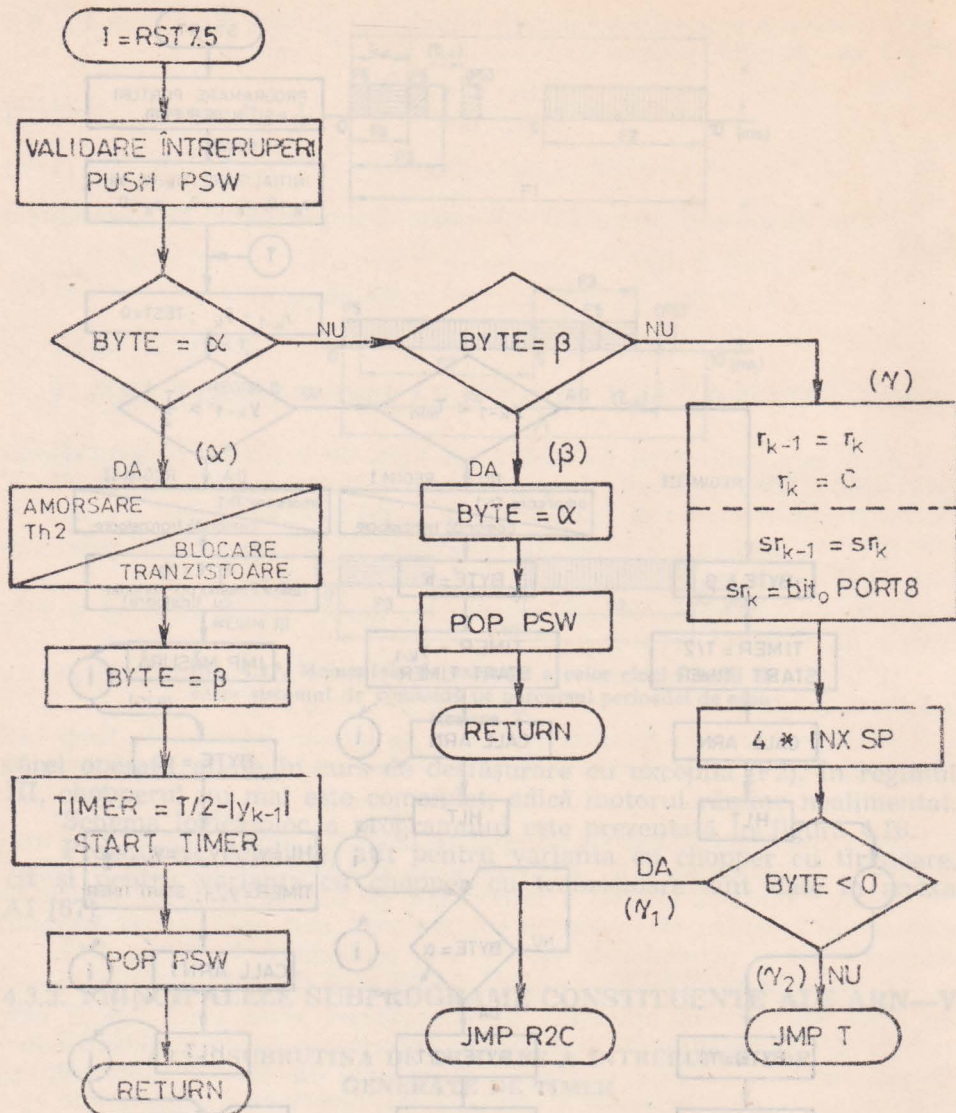


Fig. 4.19. Organigramma programului de tratare a intreruperii RST 7.5.

Astfel, după validarea intreruperilor și salvarea în stivă a acumulatorului și indicatorilor de condiții, se trece la testarea valorii lui *BYTE*. În cazul în care acesta are valoarea γ , înseamnă că s-a încheiat etapa de măsură și, după prelucrarea rezultatelor măsurării (valoare și semn), se reposiționează indicatorul de stivă, se ignoră adresa de întoarcere în programul apelant și se revine în programul principal prin instrucțiuni de tip *JMP*.

4.3.3.2. SUBRUTINA MĂSURĂ

Această subrutină se utilizează pentru măsurarea turației curente, executată pe principiul de măsurare al frecvenței. Într-un interval de timp fix, $T_{măs}$, se numără impulsurile generate de TIRO, rezultatul obținut fiind proporțional cu frecvența acestora. Prin contorizarea ambelor fronturi ale unui impuls se obține o precizie dublă. $T_{măs}$ este egal cu 5 ms, jumătatea perioadei de eșantionare.

Între numărul obținut r_K și frecvența de rotație a axului motorului există următoarea legătură:

$$r_K = 2 N f T_{măs}, \quad (4.67)$$

unde N este numărul de impulsuri generate de TIRO la o tură completă.

Pentru că, la aplicația concretă, $N = 1000$ și $T_{măs} = 5 \cdot 10^{-3}$ s,

$$f[\text{Hz}] = \frac{r_K}{10}, \quad (4.68)$$

iar

$$n[rpm] = 60 f = 6 r_K, \quad (4.69)$$

Rezultatul contorizării se află în registrul C (figura 4.20).

Subrutina se află înscrisă în memoria RAM static pentru ca precizia în numărare să nu fie influențată de intreruperile necesare pentru operațiunile de reîmprospătare (refresh) ale memorilor RAM dinamic.

Subrutina nu se încheie printr-o instrucțiune de tip *RETURN*, ci ea se încheie cînd sosește semnal de intrerupere generat de *TIMER*.

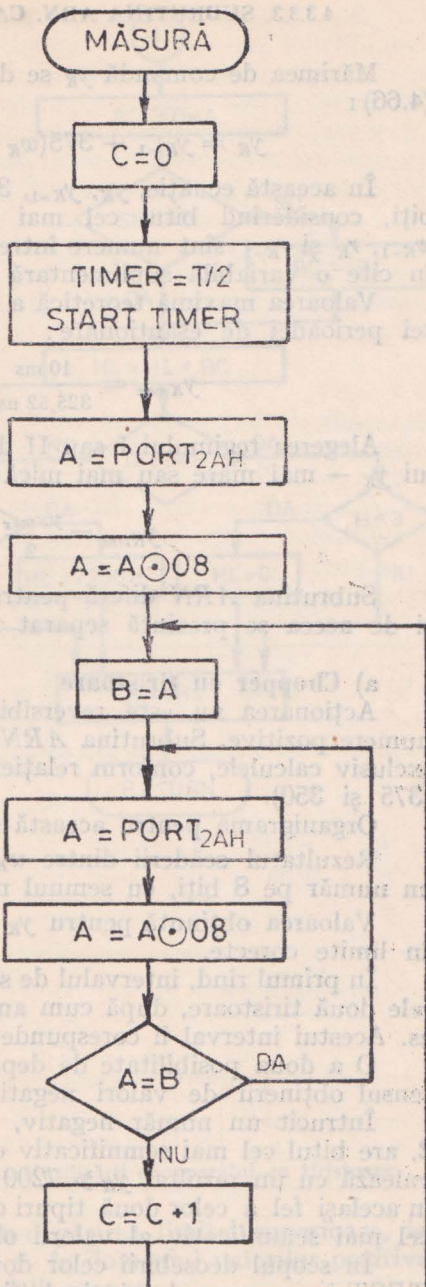


Fig. 4.20. Organigramă subruteinei măsură.

4.3.3.3. SUBRUTINA ARN. CALCULUL MĂRIMII DE COMANDĂ

Mărimea de comandă y_K se determină, după cum am arătat, cu relația (4.66) :

$$y_K = y_{K-1} + 375(w_K - r_K) - 350(w_{K-1} - r_{K-1}).$$

În această ecuație, y_K , y_{K-1} , 350 și 375 sunt numere întregi pe cîte 16 biți, considerind bitul cel mai semnificativ bit de semn. Mărurile w_K , w_{K-1} , r_K și r_{K-1} sunt numere întregi pe 8 biți, cu semnul memorat separat în cîte o variabilă suplimentară atașată,

Valoarea maximă teoretică a mărimi de comandă y_K corespunde duratei perioadei de eșantionare :

$$y_{Kmax} = \frac{10 \text{ ms}}{325,52 \text{ ns}} = 30720 = 7800 \text{ H.} \quad (4.70)$$

Alegerea regimului I sau II de lucru în program depinde de mărimea lui y_K – mai mare sau mai mică decît $T/2$, adică numeric :

$$y_{Klim} = \frac{y_{Kmax}}{2} = 15360 = 3C00 \text{ H.} \quad (4.71)$$

Subrutina *ARN* diferă pentru cele două tipuri de chopper utilizate și de aceea se prezintă separat fiecare caz.

a) Chopper cu tiristoare

Acționarea nu este reversibilă. Ca urmare, w_K , w_{K-1} , r_K și r_{K-1} sunt numere pozitive. Subrutina *ARN* este o subrutină dedicată, care execută exclusiv calculele, conform relației (4.66), cu valori fixe pentru coeficienți (375 și 350).

Organograma pentru această subrutină este prezentată în figura 4.21.

Rezultatul scăderii dintre w_K și r_K , respectiv dintre w_{K-1} și r_{K-1} este un număr pe 8 biți, cu semnul memorat separat în variabila *SIGN*.

Valoarea obținută pentru y_K trebuie verificată în sensul încadrării ei în limite corecte.

În primul rînd, intervalul de siguranță între comenziile succesive pentru cele două tiristoare, după cum am arătat în paragraful 3.3.2, este de 500 μ s. Acestui interval îi corespunde o valoare admisă pentru y_K de 7200 H.

O a doua posibilitate de depășire a limitelor admise pentru y_K este în sensul obținerii de valori negative.

Întrucît un număr negativ, exprimat în codul complement față de 2, are bitul cel mai semnificativ egal cu 1, iar o depășire superioară echivalează cu un rezultat $y_K \geq 7200$ H, rezultă o posibilitate de manifestare în același fel a celor două tipuri de depășiri dacă programul testează bitul cel mai semnificativ al valorii obținute pentru y_K .

În scopul deosebirii celor două situații, este folosită variabila fanion *TEST* în programul principal (fig. 4.18). Prin această variabilă se indică dacă se lucrează în regimul II ($y_K > \frac{T}{2} = 3C00$ H) sau nu. În cazul în care se

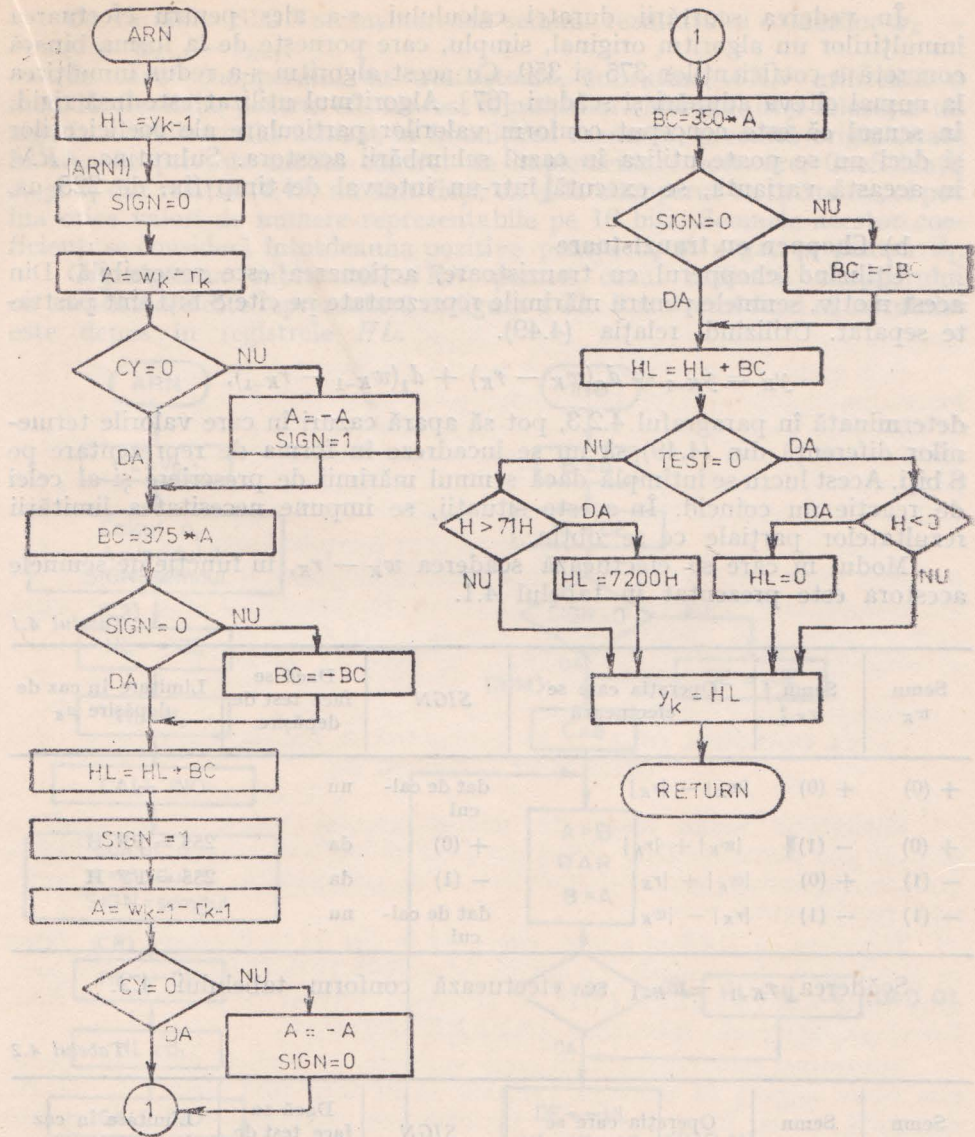


Fig. 4.21. Organigramă subrutină ARN în cazul utilizării chopperului cu tiristoare.

lucrează în regimul II, se testează non-depășirea limitei superioare, iar în caz contrar, se testează încadrarea lui y în domeniul valorilor pozitive. Se elimină, astfel, alternativa unei decizii eronate.

În ceea ce privește calculul propriu-zis al mărimii y_k , conform relației (4.66), acesta constă numai din adunări, scăderi și înmulțiri.

În vederea scurării duratei calculului, s-a ales pentru efectuarea înmulțirilor un algoritm original, simplu, care pornește de la forma binară concretă a coeficienților 375 și 350. Cu acest algoritm s-a redus înmulțirea la numai cîteva adunări și scăderi [67]. Algoritmul utilizat este însă rigid, în sensul că este conceput conform valorilor particulare ale coeficienților și deci nu se poate utiliza în cazul schimbării acestora. Subrutina *ARN*, în această variantă, se execută într-un interval de timp fix, de 225 μ s.

b) Chopper cu tranzistoare

Utilizând chopperul cu tranzistoare, acționarea este reversibilă. Din acest motiv, semnele pentru mărimele reprezentate pe cîte 8 biți sunt păstrate separat. Utilizând relația (4.49).

$$y_K = y_{K-1} + d_0(w_K - r_K) + d_1(w_{K-1} - r_{K-1}),$$

determinată în paragraful 4.2.3, pot să apară cazuri în care valorile termenilor diferență din (4.49) să nu se încadreze în forma de reprezentare pe 8 biți. Acest lucru se întimplă dacă semnul mărimi de prescriere și al celei de reacție nu coincid. În aceste situații, se impune necesitatea limitării rezultatelor parțiale ce se obțin.

Modul în care se efectuează scăderea $w_K - r_K$, în funcție de semnele acestora este prezentat în tabelul 4.1.

Tabelul 4.1

Semn w_K	Semn r_K	Operația care se efectuează	SIGN	Dacă se face test de depășire	Limitare în caz de depășire a_K
+ (0)	+ (0)	$ w_K - r_K $	dat de calcul	nu	—
+ (0)	- (1)	$ w_K + r_K $	+ (0)	da	$255 = FF\ H$
- (1)	+ (0)	$ w_K + r_K $	- (1)	da	$255 = FF\ H$
- (1)	- (1)	$ r_K - w_K $	dat de calcul	nu	—

Scăderea $r_{K-1} - w_{K-1}$ se efectuează conform tabelului 4.2.

Tabelul 4.2

Semn w_{K-1}	Semn r_{K-1}	Operația care se efectuează	SIGN	Dacă se face test de depășire	Limitare în caz de depășire a_{K-1}
+ (0)	+ (0)	$ r_{K-1} - w_{K-1} $	dat de calcul	nu	—
+ (0)	- (1)	$ r_{K-1} + w_{K-1} $	- (1)	da	$255 = FF\ H$
- (1)	+ (0)	$ r_{K-1} + w_{K-1} $	+ (0)	da	$255 = FF\ H$
- (1)	- (1)	$ w_{K-1} - r_{K-1} $	dat de calcul	nu	—

Cu variabila SIGN se memorează semnul rezultatului scăderilor $w_k - r_k$ și $w_{k-1} - r_{k-1}$.

În cazul chopperului cu tranzistoare, subrutina *ARN* utilizează o metodă flexibilă pentru efectuarea înmulțirilor. Metoda, deși folosește un algoritm similar celui utilizat în înmulțirea manuală, prezintă originalitate în ceea ce privește modul concret de implementare software. Coeficienți d_0 și d_1 din relația (4.49) nu sunt fixi, ca și la chopperul cu tiristore, ci pot lua orice valori de numere reprezentabile pe 16 biți. Semnele acestor coeeficienți se consideră întotdeauna pozitive pentru d_0 și negative pentru d_1 .

Organograma subrutinei *ARN* pentru cazul utilizării chopperului cu tranzistoare este reprezentată în figura 4.22. Rezultatul final al calculului este depus în registrele *HL*.

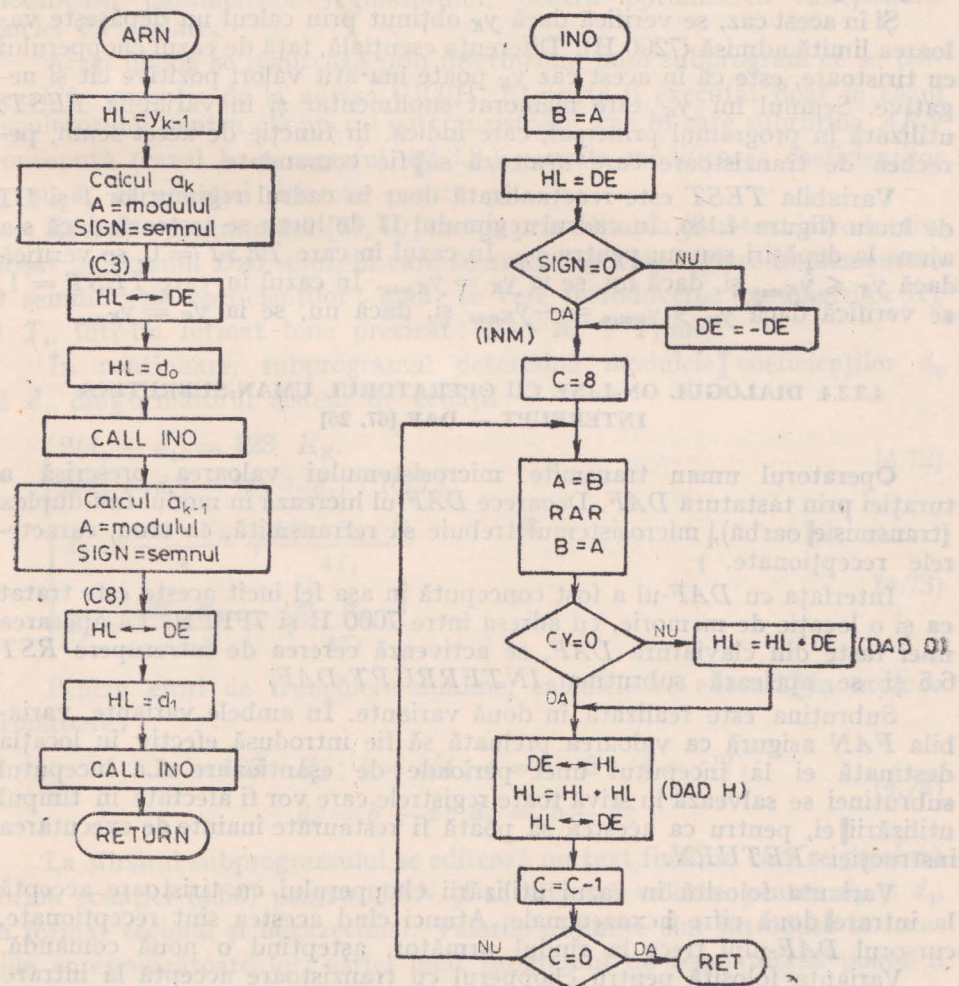


Fig. 4.22. Organograma subrutinei *ARN* în cazul chopperului cu tranzistoare.

Operația $HL = HL + B \cdot DE$ este executată într-o altă subrutină ajutătoare *INM* (figura 4.22). *INM* operează după un algoritm similar cu cel folosit la înmulțirea manuală. După cum se știe, [19], algoritmul de înmulțire, după model manual, a numerelor binare, presupune un șir de adunări de produse parțiale, obținute prin rotirea spre stînga, în acumulator, a unuia dintre factori. Minimizarea timpului de execuție a înmulțirilor s-a obținut cu utilizarea instrucțiunilor de tip *DAD rɒ*, de adunare a unui registru pereche la registrul *HL*, atât pentru însumarea produselor parțiale ($HL = HL + DE$), cît și pentru deplasarea la stînga a registrului pereche *DE* (prin secvența *XCHG, DAD H, XCHG*).

Subrutina *ARN* descrisă în acest paragraf, se execută în intervale de timp ce pot fi variabile, dar care se încadrează sigur în limita de 500 μ s.

Și în acest caz, se verifică dacă y_K obținut prin calcul nu depășește valoarea limită admisă (7200 H). Diferența esențială, față de cazul chopperului cu tiristoare, este că în acest caz y_K poate lua atit valori pozitive cît și negative. Semnul lui y_K este memorat suplimentar și în variabila *TEST*, utilizată în programul principal, care indică, în funcție de acest semn, perechea de tranzistoare care urmează să fie comandate.

Variabila *TEST* este reactualizată doar în cadrul regimurilor I și III de lucru (figura 4.18). În cadrul regimului II de lucru se testează dacă s-a ajuns la depășiri sau nu pentru y_K . În cazul în care *TEST* = 0, se verifică dacă $y_K \leq y_{Kmax}$ și, dacă nu, se ia $y_K = y_{Kmax}$. În cazul în care *TEST* = 1, se verifică dacă $y_K \geq y_{Kmin} = -y_{Kmax}$ și, dacă nu, se ia $y_K = y_{Kmin}$.

4.3.3.4. DIALOGUL ON-LINE CU OPERATORUL UMAN-SUBRUTINA INTERRUPT — DAF [67, 26]

Operatorul uman transmite microsistemuvaloarea prescrisă a tutăjiei prin tastatura *DAF*. Deoarece *DAF*-ul lucrează în modul full-duplex (transmisie oarbă), microsistemul trebuie să retransmită, ca ecou, caracterele recepționate.

Interfața cu *DAF*-ul a fost concepută în așa fel încît acesta este tratat ca și o locație de memorie, cu adresa între 7000 H și 7FFFH. La apăsarea unei taste din claviatura *DAF*, se activează cererea de întrerupere *RST 6.5* și se apelează subrutina *INTERRUPT-DAF*.

Subrutina este realizată în două variante. În ambele variante, variabila *FAN* asigură ca valoarea preluată să fie introdusă efectiv în locația destinată ei la începutul unei perioade de eșantionare. La începutul subrutinei se salvează în stivă toate registrele care vor fi afectate în timpul utilizării ei, pentru ca acestea să poată fi restaurate înainte de executarea instrucției *RETURN*.

Varianta folosită în cazul utilizării chopperului cu tiristoare acceptă la intrare două cifre hexazecimale. Atunci cînd acestea sunt recepționate, cursorul *DAF*-ului trece la rîndul următor, așteptînd o nouă comandă.

Varianta folosită pentru chopperul cu tranzistoare acceptă la intrare un număr zecimal cu semn, format din 1÷3 cifre, după care se tastează

RETURN. În acest moment, subrutina convertește numărul zecimal în sexazecimal, trimite către *DAF*: „= rezultat conversie H” și trece la rîndul următor, așteptînd o nouă comandă. Preluarea mărimii prescrise la începutul programului principal, se face într-o sau mai multe perioade de eșantionare, astfel încît modulul diferenței dintre mărimea prescrisă anterioară și cea curentă să fie de maximum 20, pentru a se evita salturi prea mari în y_K , care să conducă la depășiri necontrolabile prin software.

4.3.3.5. DIALOGUL OFF-LINE CU OPERATORUL UMAN

Dialogul off-line cu operatorul uman asigură acestuia posibilitatea modificării parametrilor regulatorului, pentru optimizarea funcționării buclei de reglare.

Acest dialog se realizează prin intermediul unui subprogram ce se lansează în execuție de la adresa C100H. El poate fi executat doar în cazul regulatorului pentru chopperul cu tranzistoare, caz în care subrutina *ARN* concepută (cazul b, paragraful 4.3.3.3.) permite modificarea coeficienților d_0 și d_1 ai ecuației discrete pentru y_K .

Execuția programului [67, 10] începe prin editarea unui text introductiv, afișat pe ecranul *DAF*-ului, în care se arată legea de reglare implementată și semnificația coeficienților; apoi se cere introducerea parametrilor K_R și T_i , într-un format bine precizat: $K_R \cdot 10^{-4}$, T_i (ms).

În continuare, subprogramul determină modulele coeficienților d_0 și d_1 din următorul sistem de ecuații:

$$\begin{cases} 2(d_0 + d_1) = 123 \cdot K_R \\ 2(d_0 - d_1) = (d_0 + d_1) \cdot 10/T_i \end{cases} \quad (4.72)$$

$$\begin{cases} d_0 = \frac{123 \cdot K_R}{4} + \frac{123 \cdot K_R \cdot 5}{4T_i} \\ d_1 = \frac{123 \cdot K_R}{4} - \frac{123 \cdot K_R \cdot 5}{4T_i} \end{cases} \quad (4.73)$$

Pentru erori de trunchiere minime, calculele se execută în ordinea următoare :

$$\begin{aligned} a &= 123 \cdot K_R; \quad b = a/4; \quad c = b \cdot 5; \quad d = c/T_i; \\ d_0 &= b + d; \quad d_1 = b - d; \end{aligned} \quad (4.74)$$

La sfîrșitul subprogramului se editează un text final, în care se prezintă forma ecuației (4.66) pentru *ARN* și se afișează valorile pentru d_0 și d_1 , în format zecimal și hexazecimal. Valorile obținute sunt introduse în locațiile corespunzătoare lor, astfel încât programul de regulator să poată fi lansat.

4.3.4. CONSIDERAȚII ASUPRA TIMPULUI MORT TOTAL AL BUCLEI DE REGLARE

Timpul mort total al unei bucle de reglare se definește ca fiind suma tuturor întârzierilor care apar în transmiterea și prelucrarea informației vehiculate în cadrul acesteia [14].

După cum s-a arătat în paragraful 4.2.4, timpul mort total al buclei are influență importantă asupra marginii de fază a SRA—V. Structura și valoarea acestui timp mort se pot determina doar după implementarea regulatorului în microsistemul de calcul.

Structura timpului mort este diferită, funcție de durata de conduction necesară, adică funcție de mărimea de comandă y_K , rezultată din calcul. În figura 4.23 este reprezentată grafic această structură (graficele a, b, c, d) pentru cele 4 categorii de valori posibile pentru y_K . Se prezintă, de asemenea în această figură, și graficul de dependență $\tau_M = f(y_K)$.

Se observă de pe graficele reprezentate, că timpul mort mediu este de 12,5 ms, adică valoarea adoptată inițial în proiectare. Abaterea de $\pm 2,5$ ms nu influențează sensibil marginea de fază.

4.3.5. EXPERIMENTAREA SRA—V

a) Experimentarea în buclă deschisă

Experimentele în buclă deschisă se efectuează în scopul verificării compatibilității reciproce a elementelor componente ale buclei de reglare [24].

Configurația utilizată este prezentată în figura 4.24. În locul traductorului incremental (TIRO) se folosește un generator de semnale dreptunghiulare, cu frecvență reglabilă și de nivel TTL (în cazul concret aparatul VER-SATESTER, de producție IEMI (București). Elementul de execuție utilizat este chopperul cu tiristoare.

Pentru o mărime de comandă fixă $w = 64$ H = 100, motorul trebuie să se rotească cu viteza de 10 rot/s, ceea ce corespunde unei frecvențe de 10 kHz la ieșirea traductorului TIRO, solidar cu axul motorului. În cazul experimentului în buclă deschisă se fixează frecvența generatorului la 10 kHz. Ieșirea generatorului se conectează la linia portului de intrare din sistemul de calcul, utilizat pentru măsură.

Dacă mărimea de comandă se menține fixă (64 H) și se micșorează frecvența semnalului dat de generator, regulatorul PI integrează abaterea (pozitivă), măryind mărimea de comandă y_K . Se obține o accelerare a motorului.

Cu aceeași valoare a mărimii de prescriere se mărește frecvența semnalului furnizat de generator și rezultă o decelerare a motorului.

Efecte similare se obțin și dacă se înscrie, prin DAF, o mărime de prescriere diferită de 64 H și se menține constantă frecvența generatorului. Pentru o prescriere mai mare de 64 H, se realizează o accelerare, iar pentru o valoare mai mică decât 64 H se obține o decelerare a motorului.

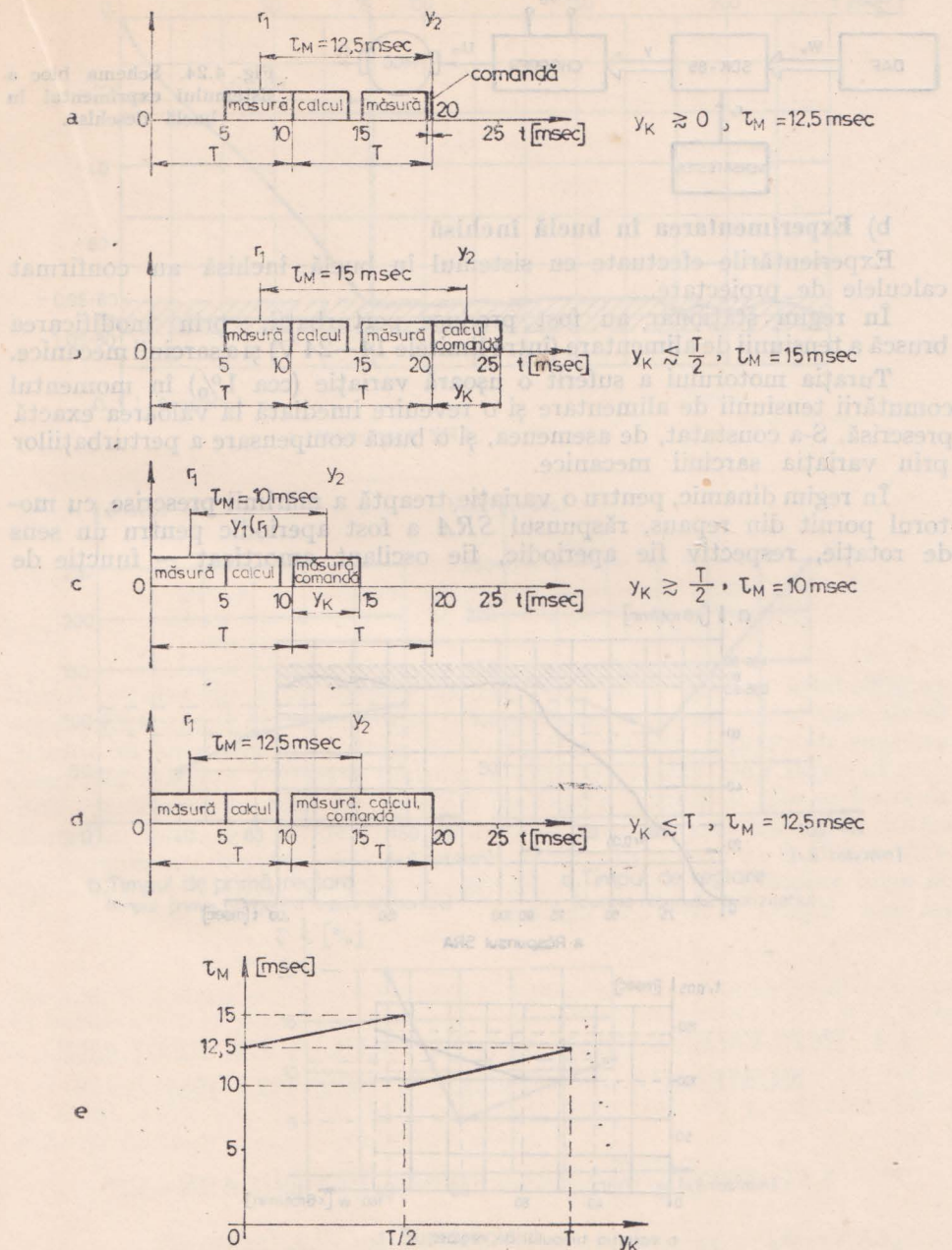


Fig. 4.23. Structura timpului mort pentru diferite valori ale mărimii de comandă. Graficul dependenței $T_M = f(y_K)$.

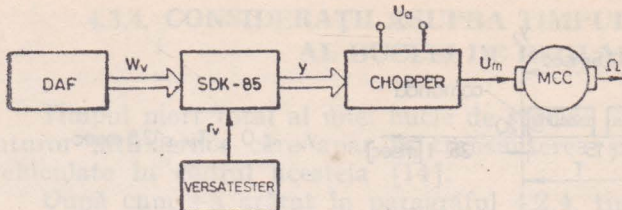


Fig. 4.24. Schema bloc a sistemului experimental în buclă deschisă.

b) Experimentarea în buclă închisă

Experiențările efectuate cu sistemul în buclă închisă au confirmat calculele de proiectare.

În regim staționar au fost produse perturbații, prin modificarea bruscă a tensiunii de alimentare (între limitele 14—24 V) și a sarcinii mecanice.

Turația motorului a suferit o ușoară variație (cca 1%) în momentul comutării tensiunii de alimentare și o revenire imediată la valoarea exactă prescrisă. S-a constatat, de asemenea, și o bună compensare a perturbațiilor prin variația sarcinii mecanice.

În regim dinamic, pentru o variație treaptă a mărimii prescrise, cu motorul pornit din repaus, răspunsul *SRA* a fost aperiodic pentru un sens de rotație, respectiv fie aperiodic, fie oscilant amortizat — funcție de

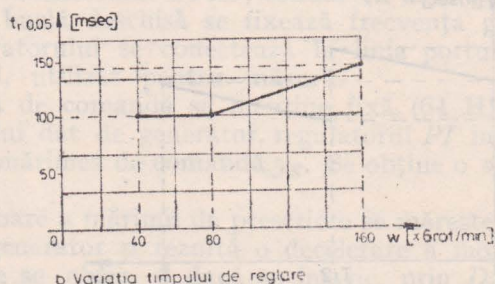
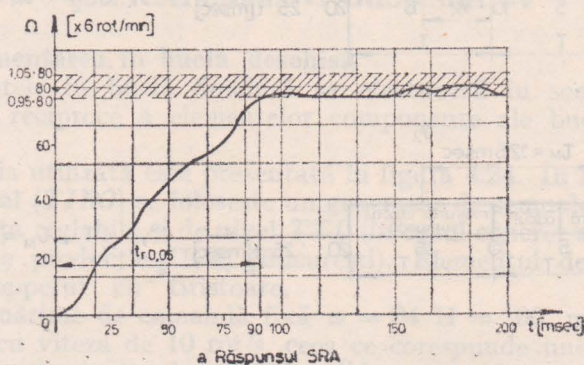


Fig. 4.25. Răspunsul *SRA* la o variație treaptă a mărimii prescrise și dependența timpului de reglare de amplitudinea treptei de variație a mărimii prescrise în experimentul cu motorul pornind din repaus într-un sens de rotație.

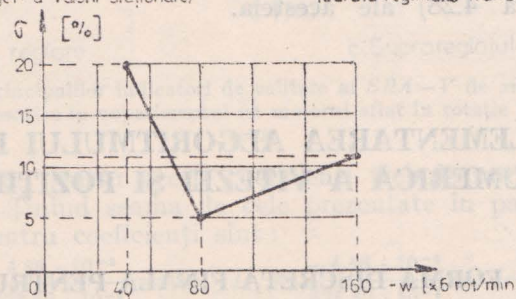
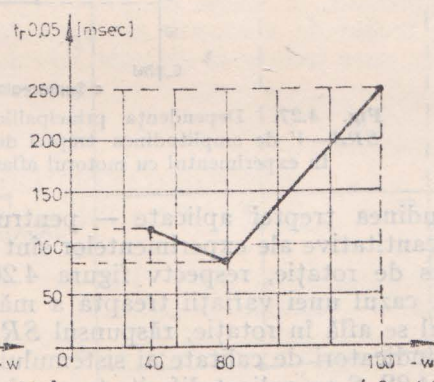
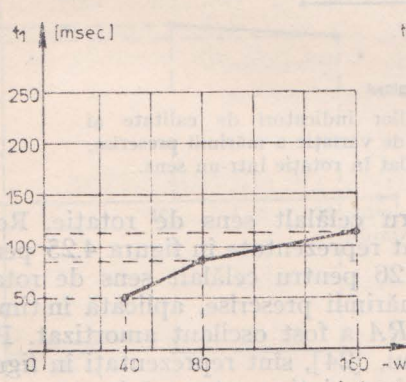
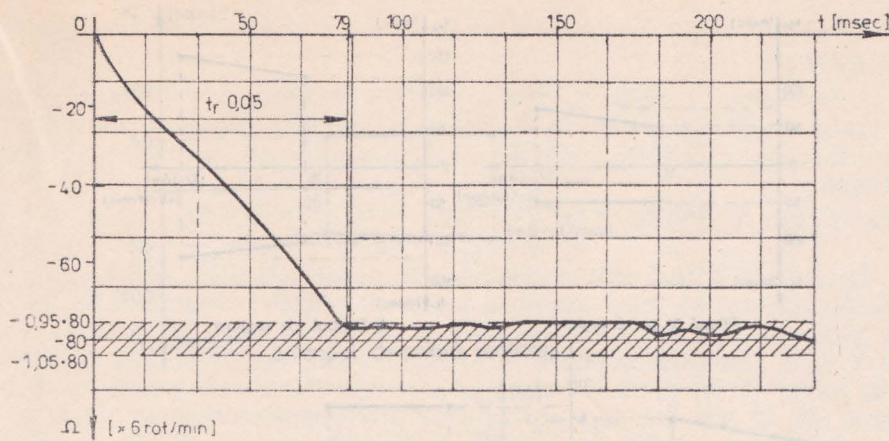


Fig. 4.26. Răspunsul SRA la o variație treaptă a mărimei preseritte și dependența principaliilor indicatori de calitate ai SRA-V de amplitudinea treptei de variație a mărimei preseritte. În experimentul cu motorul pornind din repaus în cel de al doilea sens de rotație.

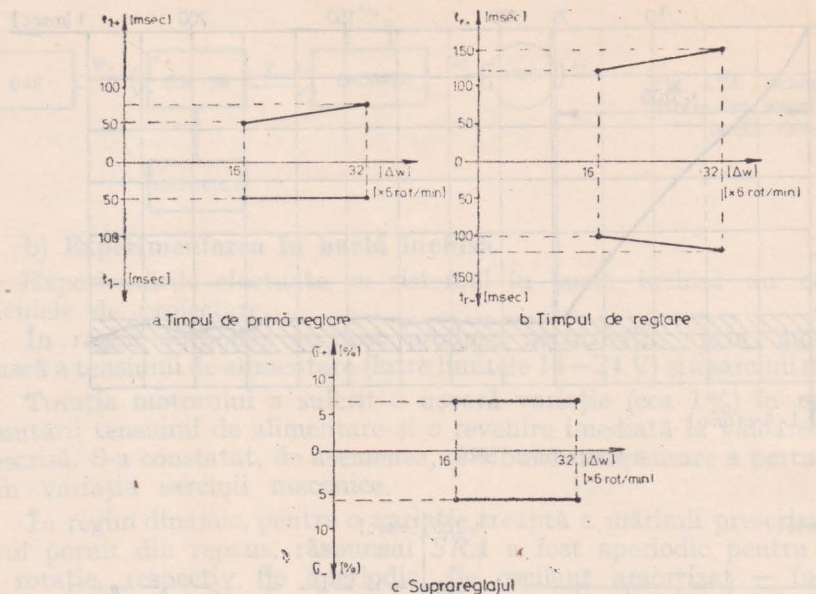


Fig. 4.27. Dependenta principaliilor indicatori de calitate ai $SRA - V$ de amplitudinea treptei de variație a mărimi preseritte, în experimentul cu motorul aflat în rotație într-un sens.

amplitudinea treptei aplicate — pentru celălalt sens de rotație. Rezultatele cantitative ale experimentelor sunt reprezentate în figura 4.25 pentru un sens de rotație, respectiv figura 4.26 pentru celălalt sens de rotație.

În cazul unei variații treaptă a mărimi preseritte, aplicată în timp ce motorul se află în rotație, răspunsul SRA a fost oscilant amortizat. Principali indicatori de calitate ai sistemului, [24], sunt reprezentați în figurile 4.27 și 4.28. S-au aplicat diferite trepte de variație pentru mărimea preserită în jurul valorilor $w_0 = 480 \text{ rot/min}$ (figura 4.27) și, respectiv, $w_0 = -480 \text{ rot/min}$ (figura 4.28) ale acesteia.

4.4. IMPLEMENTAREA ALGORITMULUI DE REGLARE NUMERICĂ A VITEZEI ȘI POZIȚIEI [25]

4.4.1. FORMA DISCRETĂ FINALĂ PENTRU ARN—VP

$ARN - VP$ a rezultat de forma ecuației discrete (4.62) :

$y_K = y_{K-1} + D_0 w_{PK} + D_1 w_{PK-1} + D_2 r_{PK} + D_3 r_{PK-1} + D_4 r_{PK-2}$,
unde coeficienții D_0 , D_1 , D_2 , D_3 și D_4 au fost calculați în paragraful 4.2.5.

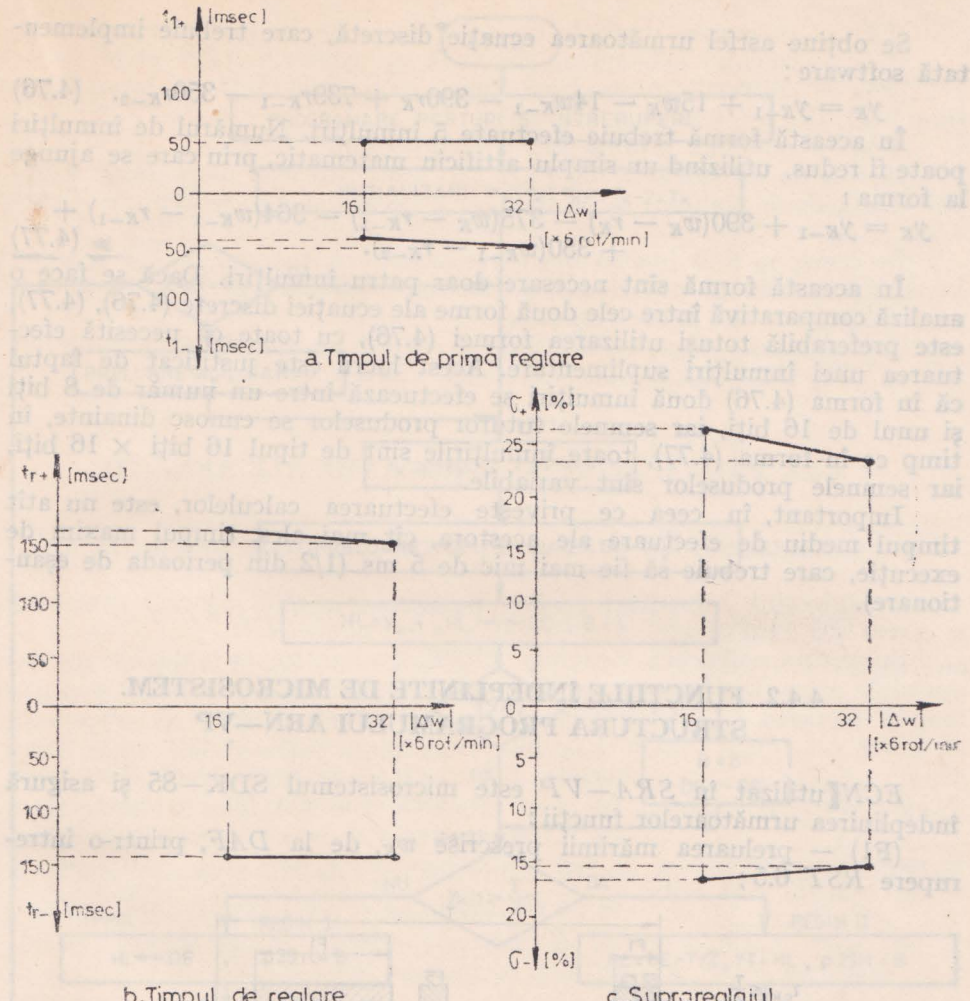


Fig. 4.28. Dependența principalelor indicatori de calitate ai $SRA - V$ de amplitudinea treptei de variație a mărimii prescrise în experimentul cu motorul aflat în rotație în cel de al doilea sens.

Valorile obținute pentru acești coeficienți trebuie normați, la fel ca în cazul $ARN - V$. Înțînd seama de cele prezentate în paragraful 4.3.1, valorile normate pentru coeficienți sunt:

$$\begin{aligned}
 D_0 &= \frac{4,88 \cdot 10^{-6}}{325,52 \cdot 10^{-9}} = 15, & D_1 &= \frac{-4,56 \cdot 10^{-6}}{325,52 \cdot 10^{-9}} = -14, \\
 D_2 &= \frac{-1,27 \cdot 10^{-4}}{325,52 \cdot 10^{-9}} = -390, & D_3 &= \frac{2,41 \cdot 10^{-4}}{325,52 \cdot 10^{-9}} = 739, \\
 D_4 &= \frac{-1,14 \cdot 10^{-4}}{325,52 \cdot 10^{-9}} = -350. & & (4.75)
 \end{aligned}$$

Se obține astfel următoarea ecuație discretă, care trebuie implementată software:

$$y_K = y_{K-1} + 15w_K - 14w_{K-1} - 390r_K + 739r_{K-1} - 350r_{K-2}. \quad (4.76)$$

În această formă trebuie efectuate 5 înmulțiri. Numărul de înmulțiri poate fi redus, utilizând un simplu artificiu matematic, prin care se ajunge la forma:

$$y_K = y_{K-1} + 390(w_K - r_K) - 375(w_K - r_{K-1}) - 364(w_{K-1} - r_{K-1}) + 350(w_{K-1} - r_{K-2}). \quad (4.77)$$

În această formă sunt necesare doar patru înmulțiri. Dacă se face o analiză comparativă între cele două forme ale ecuației discrete (4.76), (4.77), este preferabilă totuși utilizarea formei (4.76), cu toate că necesită efectuarea unei înmulțiri suplimentare. Acest lucru este justificat de faptul că în forma (4.76) două înmulțiri se efectuează între un număr de 8 biți și unul de 16 biți, iar semnele tuturor produselor se cunosc dinainte, în timp ce în forma (4.77), toate înmulțirile sunt de tipul 16 biți \times 16 biți, iar semnele produselor sunt variabile.

Important, în ceea ce privește efectuarea calculelor, este nu atât timpul mediu de efectuare ale acestora, cît mai ales, timpul maxim de execuție, care trebuie să fie mai mic de 5 ms ($1/2$ din perioada de eşantionare).

4.4.2. FUNCȚIILE INDEPLINITE DE MICROSISTEM. STRUCTURA PROGRAMULUI ARN—VP

ECN utilizat în SRA—VP este microsistemul SDK—85 și asigură îndeplinirea următoarelor funcții:

(F1) — preluarea mărimii prescrise w_K , de la DAF, printr-o întreprere RST 6.5;

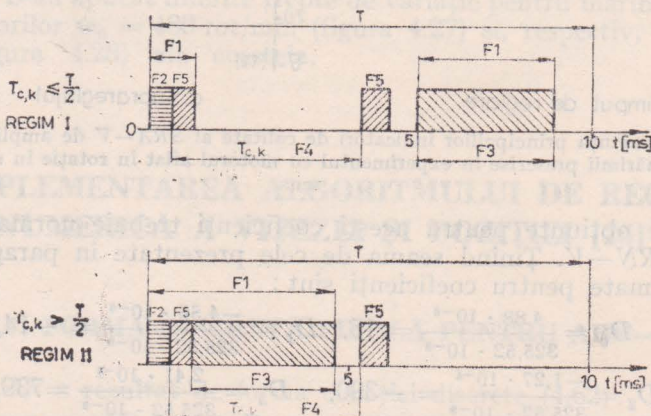


Fig. 4.29. Modul de desfășurare în timp (de-a lungul perioadei de eşantioane) al momentelor de execuție a celor cinci funcții.

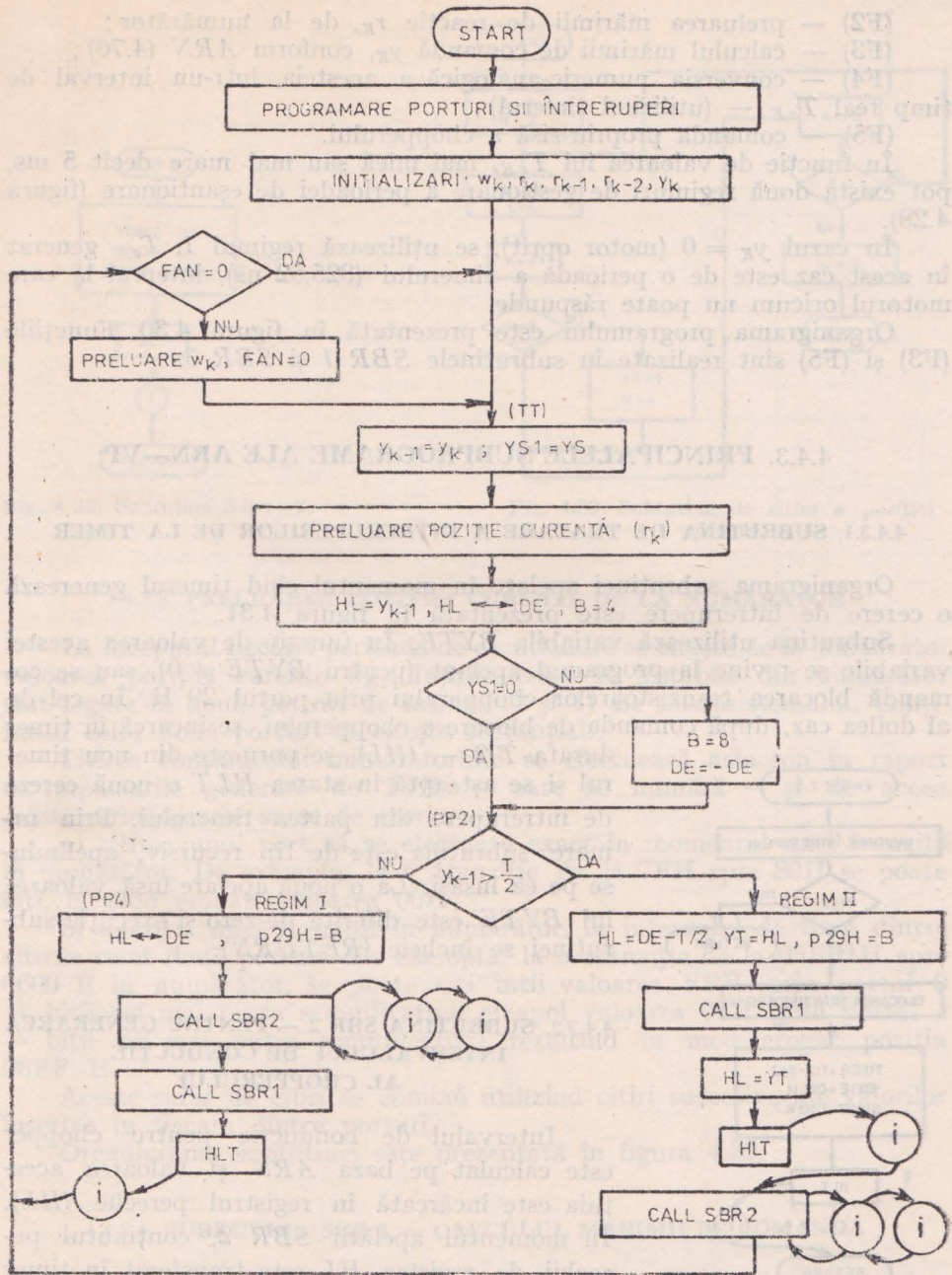


Fig. 4.30. Organigramma ARN-VP.

- (F2) — preluarea mărimii de reacție r_K , de la numărător;
 (F3) — calculul mărimii de comandă y_K , conform ARN (4.76);
 (F4) — conversia numeric-analogică a acesteia, într-un interval de timp real $T_{c,K}$ — (utilizând timerul);
 (F5) — comanda propriu-zisă a chopperului.

În funcție de valoarea lui $T_{c,K}$, mai mică sau mai mare decât 5 ms, pot exista două regimuri de gestionare a perioadei de eșantionare (figura 4.29).

În cazul $y_K = 0$ (motor oprit), se utilizează regimul I. $T_{c,K}$ generat în acest caz este de o perioadă a timerului (325,52 ns), interval la care motorul oricum nu poate răspunde.

Organograma programului este prezentată în figura 4.30. Funcțiile (F3) și (F5) sunt realizate în subruteinele *SBR 1* și *SBR 3*.

4.4.3. PRINCIPALELE SUBPROGRAME ALE ARN—VP

4.4.3.1. SUBRUTINA DE TRATARE A ÎNTRERUPERILOR DE LA TIMER

Organograma subruteinei apelate în momentul cînd timerul generează o cerere de întrerupere este prezentată în figura 4.31.

Subruteina utilizează variabila *BYTE*. În funcție de valoarea acestei variabile se revine la programul apelant (pentru $BYTE \neq 0$), sau se comandă blocarea tranzistoarelor chopperului prin portul 29 H. În cel de al doilea caz, după comanda de blocare a chopperului, se încarcă în timer

durata $T/2 - (HL)$, se pornește din nou timerul și se așteaptă în starea *HLT* o nouă cerere de întrerupere din partea timerului. Prin urmare, subruteina este de tip recursiv, apelându-se pe ea însăși. La o nouă apelare însă, valoarea lui *BYTE* este diferită de zero și execuția subruteinei se încheie (*RETURN*).

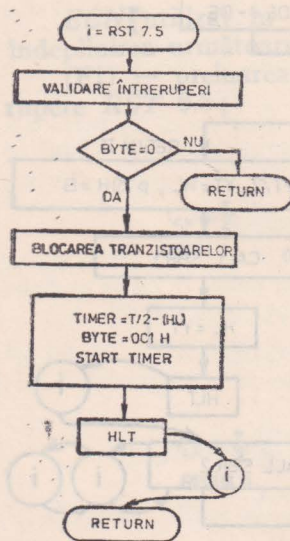


Fig. 4.31. Subruteina de tratare a intreruperilor.

4.4.3.2. SUBRUTINA SBR 2 — PENTRU GENERAREA INTERVALULUI DE CONDUCȚIE AL CHOPPERULUI

Intervalul de conducție pentru chopper este calculat pe baza ARN și valoarea acestuia este încărcată în registrul pereche (HL). În momentul apelării *SBR 2*, conținutul perechii de registre *HL* este transferat în timer și după pornirea acestuia, se așteaptă în *HLT* o altă cerere de întrerupere (figura 4.32).

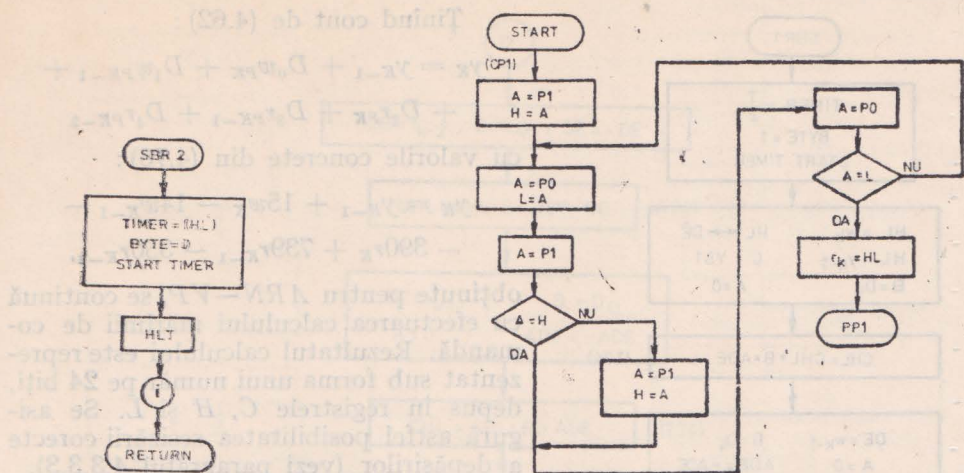


Fig. 4.32. Subrutea *SBR-2*.

Fig. 4.33. Subrutea de citire a poziției curente.

4.4.3.3. PRELUAREA POZIȚIEI CURENTE DE LA NUMĂRĂTOR

La începutul fiecărei perioade de eșantionare se citește de la numărător valoarea poziției curente (r_K). Ieșirile celor 16 bistabile din numărător sunt legate la două porturi de intrare (0 și 1) ale microsistemu. Conținutul celor două porturi se citește secvențial.

Citirea conținutului numărătorului se efectuează asincron în raport cu impulsurile generate de *TIRO* — care se numără — și de aceea există următoarele surse de erori:

a) citirea unui port să se efectueze exact în momentul unei tranziții în numărător. De exemplu, la o tranziție de la 7FH spre 80H se poate citi, în mod eronat, valoarea 00H;

b) apariția unei tranziții în numărător, în intervalul de timp dintre citirile celor două porturi. De exemplu, la o tranziție de la 05FF H spre 0600 H în numărător, se poate căuta întâi valoarea FFH (prin portul 0 — biții cei mai puțin semnificativi) și apoi valoarea 06H (prin portul 1 — biții cei mai puțin semnificativi), rezultând în mod eronat poziția 06FF H.

Acste surse de erori se elimină utilizând citiri succesive ale valorilor înscrise în fiecare dintre porturi.

Organigrama subrutei este prezentată în figura 4.33.

4.4.3.4. SUBRUTINA SBR 1 — CALCULUL MĂRIMII DE COMANDĂ

La începutul subrutei se inițializează și se pornește timerul, pentru a genera un interval de timp $t = T/2 = 5$ ms, durata maximă admisă pentru efectuarea calculelor (figura 4.34, a, b).

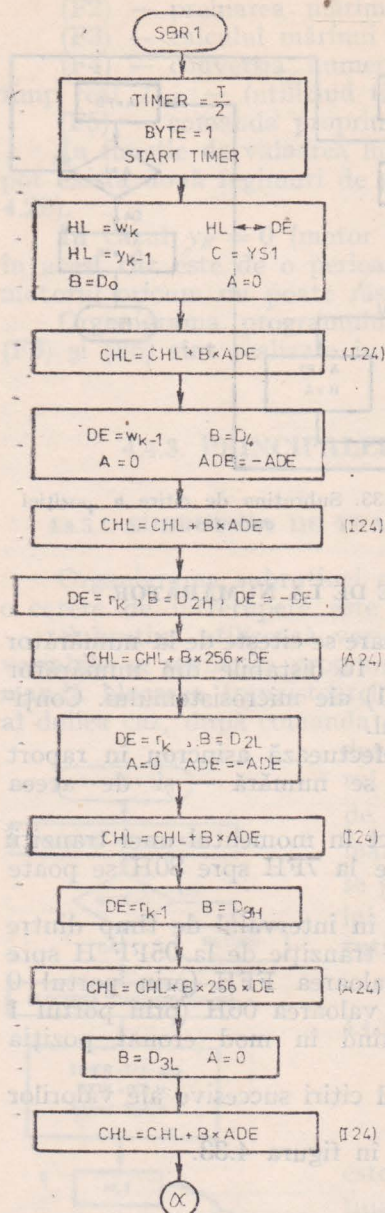


Fig. 4.34. Organigramă subrutinie de calcul a mărimei de comandă.

În I24, înmulțirile se efectuează după un algoritm similar cu cel utilizat în înmulțirea manuală. Însumarea produselor parțiale și rotirile

Tinând cont de (4.62):

$$y_K = y_{K-1} + D_0 w_{PK} + D_1 w_{PK-1} + \\ + D_2 r_{PK} + D_3 r_{PK-1} + D_4 r_{PK-2}$$

cu valorile concrete din (4.76):

$$y_K = y_{K-1} + 15w_K - 14w_{K-1} - \\ - 390r_K + 739r_{K-1} - 350r_{K-2},$$

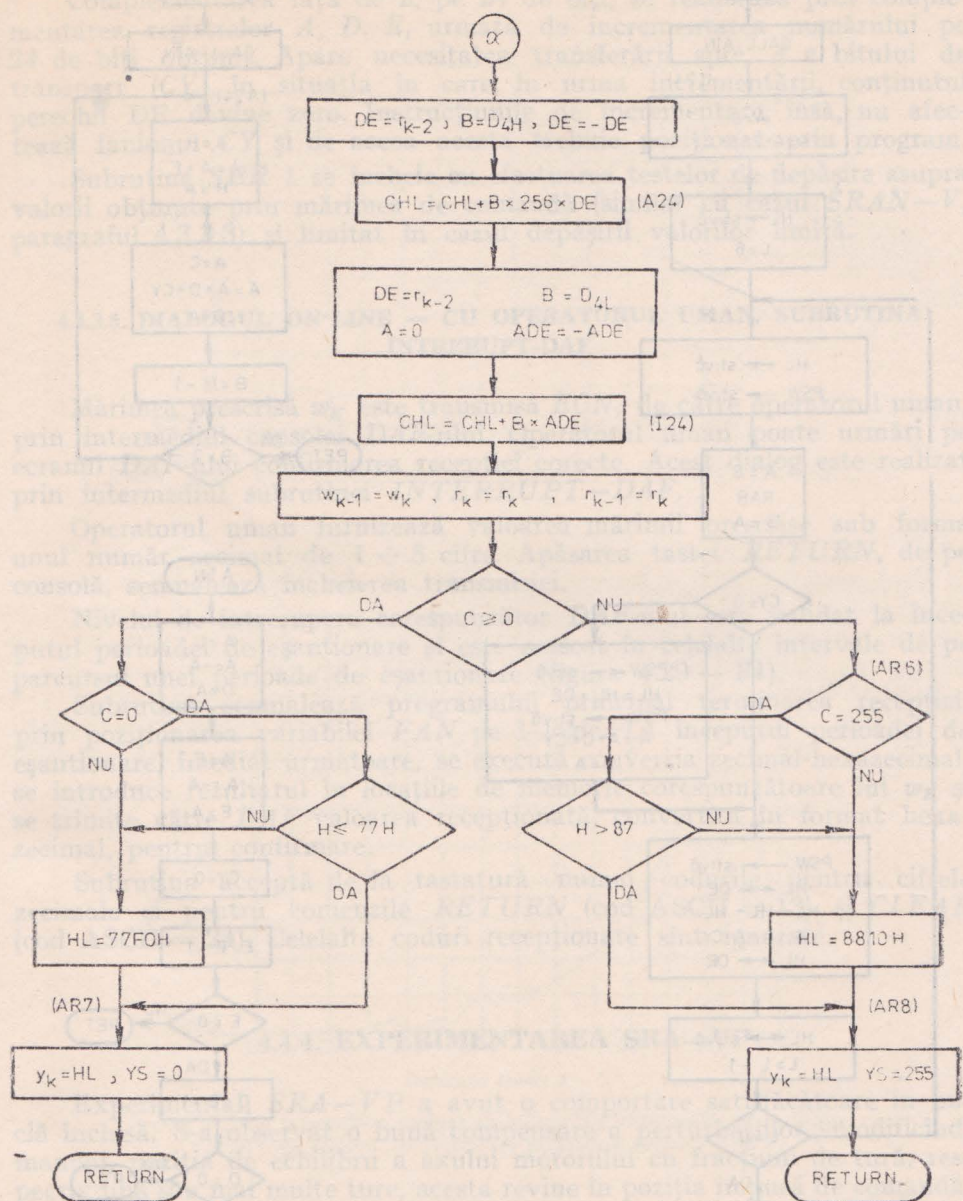
obținute pentru *ARN-VP*, se continuă cu efectuarea calculului mărimei de comandă. Rezultatul calculului este reprezentat sub forma unui număr pe 24 biți, depus în registrele *C*, *H* și *L*. Se asigură astfel posibilitatea sesizării corecte a depășirilor (vezi paragraful 4.3.3.3).

Înmulțirile de tipul 8 biți \times 24 biți = 24 biți se efectuează cu subrutina *I 24*, care execută operația $CHL = CHL + B \times ADE$. Pentru coeficienții D_2 , D_3 și D_4 , care sunt reprezentații pe 16 biți, s-a ales soluția adunărilor repetate pentru înmulțirea octetului superior cu înmulțitorul. Această metodă, realizată cu subrutina *A 24*, în care operația $CHL = CHL + DE \times 256$ se execută de *B* ori, este rapidă, întrucât valoile octetilor superiori ai deînmulțitului sunt mici.

Operațiile $CHL = CHL - B \times ADE$ respectiv de *B* ori $CHL = CHL - DE \times 256$, se efectuează tot cu subrutele *I 24* și *A 24*, dar începând de la adresele *I2M*, respectiv *A2M*. Pentru complementarea registrului pereche *DE* se utilizează subrutina *AIN*, care asigură și posibilitatea complementării pe 24 de biți a registrelor *A*, *D*, *E*.

Subrutele *I24*, *A24* și *AIN* sunt prezentate în organigramele din figura 4.35 și în listingul cu programul complet de la sfârșitul lucrării. Aceste subrute sunt înscrise în memoria *RAM* statică a sistemului, pentru a scurta timpul de execuție.

Fig. 4.34 (continuare)



spre stînga sînt în acest caz mai dificil de efectuat decît în cazul operațiilor pe 16 biți, prezентate în paragraful 4.3.3.3, dar principiul utilizat este similar. Se folosește și aici instrucția *DAD rp*, iar timpul de lucru cu stîva, absolut necesar, se scurtează cu ajutorul instrucției *XTHL*.

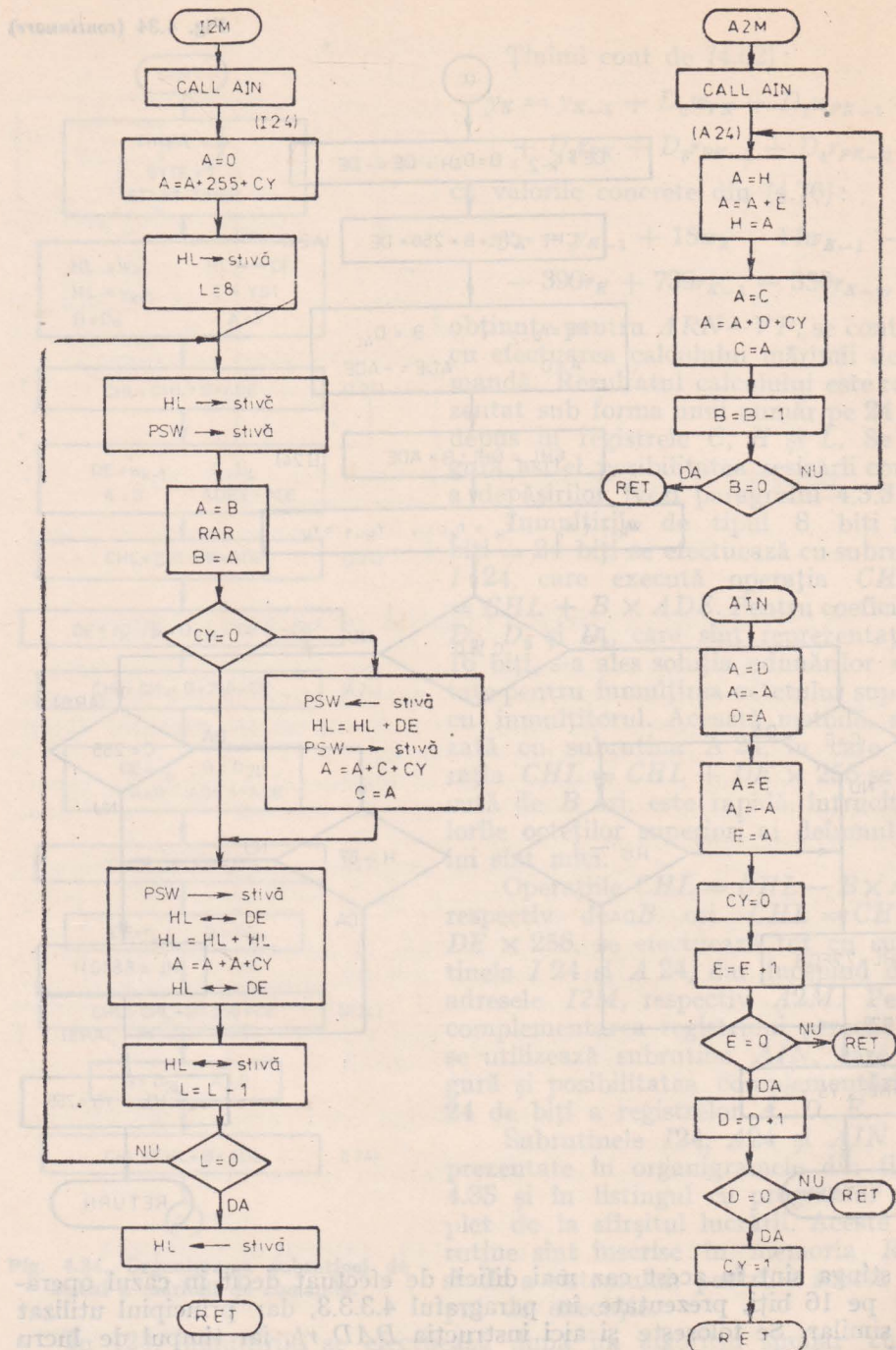


Fig. 4.35. Subrutele I24, A24, și AIN.

Complementarea față de 2, pe 24 de biți, se realizează prin complementarea registrelor A , D , E , urmată de incrementarea numărului pe 24 de biți obținut. Apare necesitatea transferării spre A a bitului de transport (CY), în situația în care, în urma incrementării, conținutul perechii DE devine zero. Instrucțiunile de incrementare, însă, nu afectează fanionul CY și de aceea acesta trebuie poziționat prin program.

Subrutina $SBR\ 1$ se încheie cu efectuarea testelor de depășire asupra valorii obținute prin mărimea de comandă (similar cu cazul $SRAN-V$, paragraful 4.3.3.3) și limitat în cazul depășirii valorilor limită.

4.4.3.5. DIALOGUL ON-LINE — CU OPERATORUL UMAN. SUBRUTINA INTERRUPT-DAF

Mărimea prescrisă w_K este transmisă ECN , de către operatorul uman, prin intermediul consolei DAF -ului. Operatorul uman poate urmări pe ecranul DAF -ului confirmarea receptiei corecte. Acest dialog este realizat prin intermediul subruteinei $INTERRUPT-DAF$.

Operatorul uman furnizează valoarea mărimii prescrise sub forma unui număr zecimal de $1 \div 5$ cifre. Apăsarea tastei $RETURN$, de pe consolă, semnalează încheierea transmisiei.

Nivelul de întrerupere corespunzător DAF -ului este validat la începutul perioadei de eşantionare și este mascat în celelalte intervale de pe parcursul unei perioade de eşantionare (figura 4.29 — F1).

Subrutina semnalează programului principal terminarea receptiei, prin poziționarea variabilei FAN pe 1 logic. La începutul perioadei de eşantionare, imediat următoare, se execută conversia zecimal-hexazecimal, se introduce rezultatul în locațiile de memorie corespunzătoare lui w_K și se trimit către DAF valoarea recepționată, convertită în format hexazecimal, pentru confirmare.

Subrutina acceptă de la tastatură numai codurile pentru cifrele zecimale și pentru comenziile $RETURN$ (cod ASCII = 13) și $CLEAR$ (cod ASCII = 24). Celelalte coduri recepționate sunt ignorate.

4.4.4. EXPERIMENTAREA SRA—VP

Experimental, $SRA-VP$ a avut o comportare satisfăcătoare în buclă închisă. S-a observat o bună compensare a perturbațiilor: modificind, manual, poziția de echilibru a axului motorului cu fracțiuni de tură, respectiv una sau mai multe ture, acesta revine în poziția impusă de comandă.

Răspunsul SRA , la o variație treaptă a mărimii prescrise este aperiodic, confirmând calculele de proiectare (fig. 4.36,a). Măsurările s-au efectuat ca și în cazul sistemului de reglare a vitezei, prin mijloace software, tabelind în memoria microcalculatorului, răspunsul sistemului în fiecare perioadă de eşantionare.

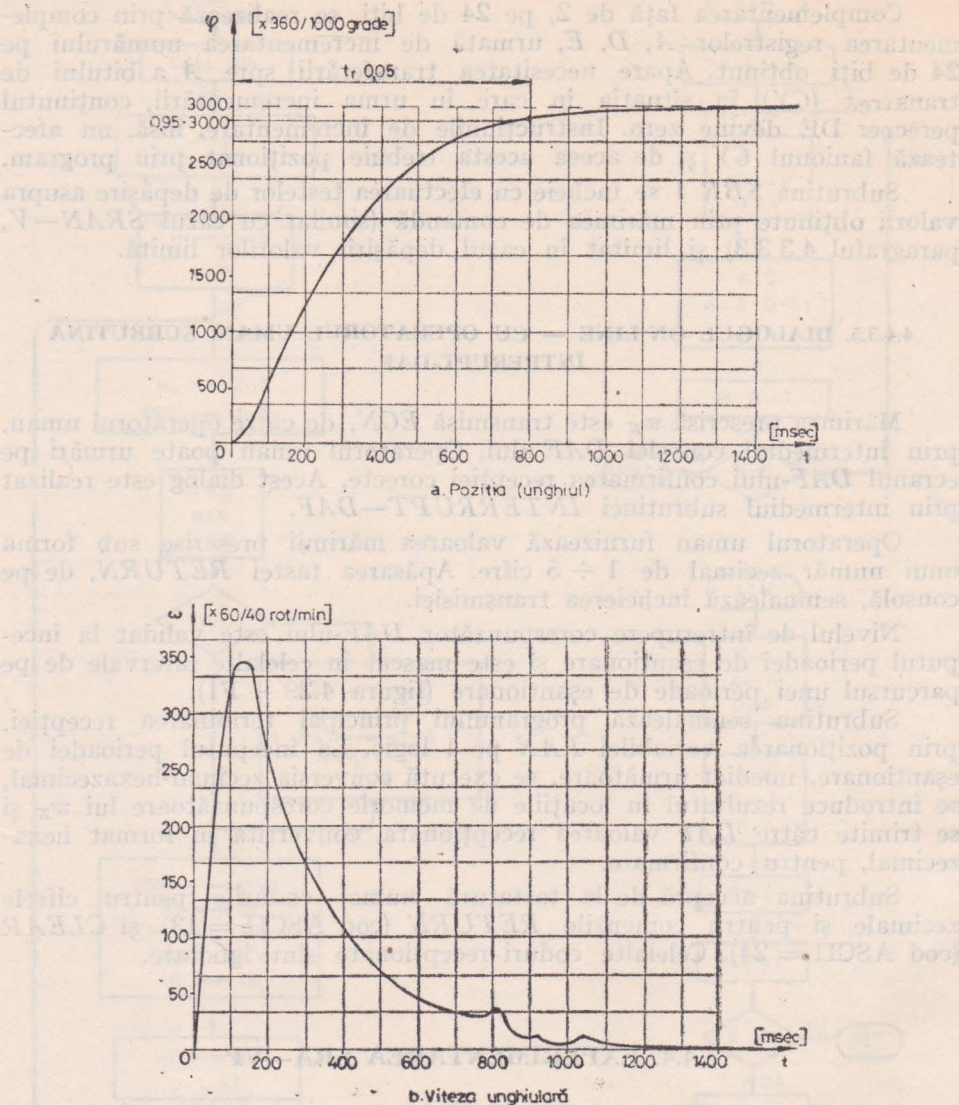


Fig. 4.36. Răspunsul sistemului de reglare a vitezei și poziției la o variație treaptă a mărimii prescrise: a) Poziția b) Viteza;

În figura 4.37 este prezentată dependența timpului de reglare obținut, în funcție de mărimea treptei de variație a mărimii prescrise. Nu s-au constatat diferențe în cazul aplicării unor trepte de variație cu polarități diferite.

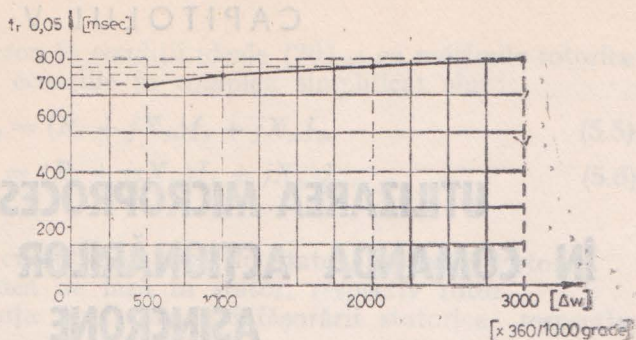


Fig. 4.37. Dependența timpului de reglare obținut experimental de valoarea treptei de variație a mărimii prescrise.

4.5. CONTROLUL CURENTULUI DIN ÎNFĂȘURAREA ROTORICĂ A MOTORULUI

În sistemele de reglare a vitezei, respectiv a vitezei și poziției, realizate, se utilizează comanda în tensiune a motorului. Se impune însă și un control al curentului din infășurare [71, 14]. Acest control asigură și o protecție a sursei de alimentare împotriva eventualelor socuri de curenț.

În ideea de a exclude complet utilizarea traductoarelor de curenț și a convertoarelor numeric-analogice, a fost pus la punct un procedeu original de limitare a curentului prin infășurarea rotorică a motorului, utilizând exclusiv mijloace software.

(1.5)

numitor

(2.3)

albire

(2.5)

albire

(2.6)

albire

(2.8)

albire

CAPITOLUL V

UTILIZAREA MICROPROCESOARELOR ÎN COMANDA ACȚIONĂRILOR CU MOTOARE ASINCRONE

5.1. PROBLEME SPECIFICE CU PRIVIRE LA ACȚIONĂRILE CU MAȘINA ASINCRONĂ [36]

Funcționarea motorului asincron trifazat se bazează pe existența unui cîmp învîrtitor în întrefierul mașinii, creat de înfășurările statorului alimentat cu un sistem de tensiuni trifazate. Viteza de rotație a cîmpului învîrtitor se numește viteza sincronă și este determinată de frecvența curentului din stator :

$$n_0 = \frac{60f_s}{p} \text{ rot/min}, \quad (5.1)$$

sau

$$\Omega_0 = \frac{2\pi f_s}{p} \text{ rad/s}, \quad (5.2)$$

unde : n_0 este viteza de rotație a cîmpului învîrtitor, f_s frecvența curentilor din stator, p numărul de perechi de poli.

Se definește alunecarea corespunzătoare turației n :

$$s = \frac{n - n_0}{n_0}. \quad (5.3)$$

Frecvența curentilor din rotor este :

$$f_r = sf_s. \quad (5.4)$$

Pentru motorul asincron în condiții ideale [36] și cu mărimile rotorice raportate la stator [36] ecuațiile în complex simplificate sunt:

$$\underline{U}_s = (R_s + jX_{\sigma s})\underline{I}_s + jX_m \underline{I}_m, \quad (5.5)$$

$$\underline{U}_r = (R_r + jsX_{\sigma r})\underline{I}_r + jX_m s \underline{I}_m, \quad (5.6)$$

unde:

- \underline{I}_s , \underline{I}_r reprezintă curentul de fază în stator, respectiv rotor,
- \underline{U}_s , \underline{U}_r — tensiunea de fază în stator, respectiv rotor,
- R_s , R_r — rezistența unei faze a înfășurării statorice, respectiv rotorice,
- $X_{\sigma s}$, $X_{\sigma r}$ — reactanța de scăpare a unei faze statorice, respectiv rotorice,
- X_m — reactanța mutuală dintre stator și rotor,
- \underline{I}_m — curentul de magnetizare (componenta reactivă a curentului de mers în gol),

Relația dintre curentul statoric și cel rotoric este:

$$\underline{I}_s + \underline{I}_r = \underline{I}_0, \quad I_0 \text{ fiind curentul de mers în gol.} \quad (5.7)$$

Datorită faptului că puterea transmisă rotorului este egală cu puterea absorbită, din care se scad pierderile, puterea electromagnetică este puterea pe rezistență R_r/s , deci pentru cele m_s faze statorice:

$$P_{EM} = m_s \underline{I}_r^2 \cdot \frac{R_r}{s}, \quad (5.8)$$

unde \underline{I}_r se obține prin rezolvarea sistemului (5.5), (5.6), (5.7).

Făcând înlocuirile în relația (3.4) se obține:

$$M = \frac{m_s \cdot p}{2\pi f_s} \left(\frac{U_s}{1 + \frac{X_{\sigma s}}{X_m}} \right)^2 \frac{\frac{R_r}{s}}{\left(R_s + \frac{R_r}{s} \right)^2 + \left(\frac{X_s}{1 + \frac{X_{\sigma s}}{X_m}} + X_m + X_{\sigma r} \right)^2}, \quad (5.9)$$

sau

$$M = \frac{m_s \cdot p}{2\pi f_s} \left(\frac{U_s}{1 + \sigma_s} \right)^2 \frac{\frac{R_r}{s}}{\left(R_s + \frac{R_r}{s} \right)^2 + X^2} \quad (5.10)$$

cu notăriile:

$$\sigma_s = \frac{X_{\sigma s}}{X_m}.$$

$X = \frac{X_s}{1 + \sigma_s} + X_m + X_{\sigma r}$ — reactanța totală de scăpare a motorului.

Se determină valoarea maximă a cuplului la o valoare $s = s_K$ — alunecarea critică:

$$\frac{dM}{ds} = 0,$$

$$M_K = \frac{m_s \cdot p}{2\pi f_s} \left(\frac{U_s}{1 + \sigma_s} \right)^2 \cdot \frac{1}{2(R_s \pm \sqrt{R_s^2 + X_s^2})}, \quad (5.11)$$

$$s_K = \pm \frac{R_r}{\sqrt{R_s^2 + (X_{as} + X_{sr})^2}}. \quad (5.12)$$

Caracteristica mecanică a unui motor asincron se reprezintă, de obicei, pentru cazuri particulare practice, cind $R_s \ll R_r$, și $\sigma_s \approx 1$. Se obișnuiește să se reprezinte în valori raportate la cuplul maxim și s_K :

$$\frac{M_K}{M} = \frac{2}{\frac{s}{s_K} + \frac{s_K}{s}}, \quad (5.13)$$

unde:

$$s_K \approx \frac{R_r}{X_{as} + X_{sr}}. \quad (5.14)$$

Caracteristica naturală a motorului asincron este de forma din figura 5.1.

Din examinarea formei caracteristicii naturale rezultă că aceasta prezintă o oarecare rigiditate în porțiunea cuprinsă între $s = 0$ și $s = \pm s_K$. Posibilitatea supraîncărcării motorului este limitată de valoarea cuplului critic, mărime de care trebuie să se țină seama și care este de obicei indicată sub formă coeficientului de supraîncărcare $\lambda = M_K/M_n$.

Din relațiile (5.9) și (5.10) rezultă și metodele de reglare a turației motorului asincron: variația rezistenței din circuitul rotoric, variația reactanței de scăpare a rotorului (prin introducerea unei reactanțe suplimentare X_d variabile), variația tensiunii de alimentare și variația frecvenței tensiunii de alimentare.

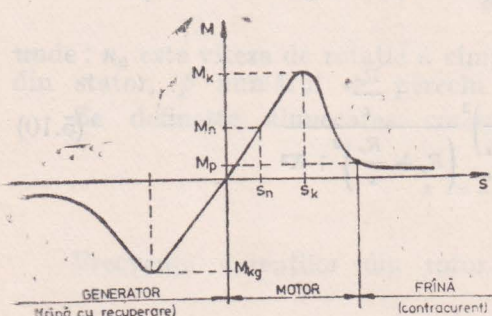


Fig. 5.1. Alura caracteristicii naturale a motorului asincron.

Metoda cea mai comodă și mai ieftină de reglare a turației ar fi cea prin reglarea tensiunii de alimentare, ca și la motorul de curent continuu. Domeniul de reglare obținabil are, însă, limite restrânse (teoretic pentru o alunecare cuprinsă între $s = 0$ și $s = s_K$) și deci, prin utilizarea acestei metode, motorul asincron nu este competitiv cu cel de curent continuu. În plus, prin reglarea tensiunii de alimentare este afectată și capacitatea de

supraîncărcare a motorului, fenomen ce rezultă direct din relațiile (5.10) și (5.11) :

$$\frac{M_{Ki}}{M_{Kj}} = \left(\frac{U_{sj}}{U_{si}} \right)^2 \text{ și } \frac{M_i}{M_n} = \left(\frac{U_{sj}}{U_{sn}} \right)^2 \quad (5.15)$$

și din caracteristicile mecanice artificiale reprezentate în forma din figura 5.2 [36, 70]. Pentru un cuplu dat, variația de turație obținabilă Δn este mică.

Din relația (5.1) se observă că o dată cu modificarea frecvenței tensiunii de alimentare, proporțional, se modifică și turația sincronă. Variația cuplului și al unecearrii critice cu frecvența poate fi studiată cu relațiile (5.11) și (5.12), simplificate la forma din relațiile (5.13) și (5.14), prin scoaterea în evidență a tensiunii de alimentare :

$$M_K \simeq k' \frac{U_s^2}{f_s^2} \quad (5.16)$$

și

$$s_K \simeq k'' \frac{1}{f_s}, \quad (5.17)$$

unde k' și k'' sunt constante de motor.

Pentru a păstra capacitatea de supraîncărcare constantă pentru diferite cupluri rezistente, din relația (5.16) se poate deduce condiția :

$$\frac{M_j}{M_i} = \frac{M_{Kj}}{M_{Ki}} = \left(\frac{U_{sj}}{U_{si}} \right)^2 \cdot \left(\frac{f_i}{f_j} \right)^2, \quad (5.18)$$

din care se poate determina variația tensiunii de alimentare la modificarea turației, prin schimbarea frecvenței de alimentare :

$$\left(\frac{U_{sj}}{U_{si}} \right) = \frac{f_{sj}}{f_{si}} \sqrt{\frac{M_j}{M_i}}. \quad (5.19)$$

Din (5.19) rezultă dependența impusă între tensiunea de alimentare și frecvența acesteia, dependență influențată și de variația cuplului rezistent cu turația [36].

Pentru un cuplu rezistent constant se obține :

$$\frac{U_{si}}{f_{si}} = \frac{U_{sj}}{f_{sj}}. \quad (5.20)$$

Pe de altă parte, neglijind căderile de tensiune datorită rezistenței și reactanței de dispersie a statorului, se poate considera că tensiunea de alimentare este proporțională cu frecvența și cu fluxul de magnetizare din motor.

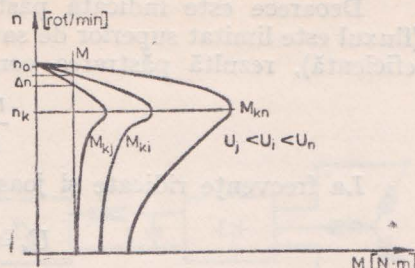


Fig. 5.2. Modul de determinare a variației de turație prin modificarea tensiunii de alimentare cu ajutorul caracteristicilor mecanice.

Deoarece este indicată păstrarea fluxului în jurul valorii nominale (fluxul este limitat superior de saturarea fierului, iar inferior de exploatarea eficientă), rezultă păstrarea constantă a raportului :

$$\frac{U_s}{f_s} = \frac{U_{sn}}{f_{sn}} . \quad (5.21)$$

La frecvențe ridicate și joase, relația (5.21) trebuie corectată [36] :

$$U_s = U_{sn} \frac{f}{f_n} \cdot k_R, \quad (5.22)$$

unde factorul de corecție k_R se calculează cu relația :

$$k_R = \sqrt{\frac{\lambda^2 + \left(\frac{f}{f_n}\right)^2}{\lambda^2 + 1}}. \quad (5.23)$$

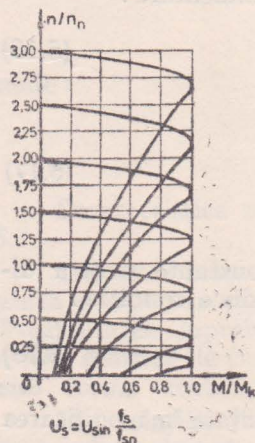


Fig. 5.3. Familia de caracte- ristici mecanice teoretice ale motorului asincron ob-

tinută prin $\frac{U}{f} = \text{const.}$

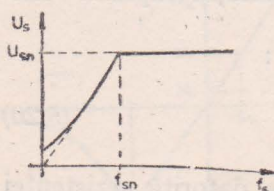


Fig. 5.4. Dependenta tensiunii de frecvență la ma-șina asincronă.

Pentru cuplu critic constant se obțin caracte- risticele artificiale mecanice de formă din figura 5.3. Se observă asemănarea caracteristicilor cu cele de la motorul de curent continuu.

Din aceste considerente rezultă că metoda variației frecvenței tensiunii de alimentare, corelată cu variația amplitudinii acestia, cunoscută sub denumirea „metoda de reglare prin $U/f = \text{constant}$ ” [62], este o metodă foarte bună de reglare a turației pentru un motor asincron.

Principial, se obține o gamă de reglare foarte largă, competitivă, din acest punct de vedere, cu motorul de curent continuu. De asemenea, se conservă rigiditatea caracteristicilor și nu este afectată capacitatea de supraîncărcare a motorului.

Practic, însă, metoda implică limitări în aplicare.

Tensiuni de alimentare de valori peste cea no- minală nu se pot folosi, pentru a nu periclită izolația mașinii.

La frecvențe joase rezistența statorică are valoarea mare în raport cu reactanțele, relațiile (5.15), (5.16), (5.17) nu sunt suficient de exacte și cuplul critic scade dacă raportul U/f este constant [36, 28, 71].

În figura 5.4 se arată cum trebuie corelate, practic, tensiunea de alimentare și frecvența. La frecvențe joase, $U/f > U_{sn}/f_n$ pentru obținerea aceluiași cuplu, iar la frecvențe peste cea nominală, tensiunea se menține constantă.

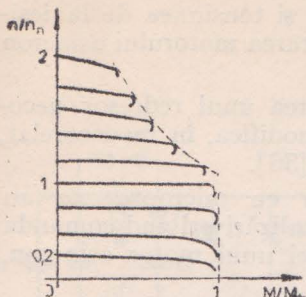


Fig. 5.5. Familia de caracte- ristici mecanice realizabilă la schimbarea frecvenței.

Menținind constantă tensiunea, la frecvențe peste cea nominală, fluxul din mașină scade, ceea ce determină micșorarea cuplului dezvoltat [71].

Prin urmare, din punctul de vedere al aplicației practice, metoda $U/f = \text{const.}$ este utilă, mai ales la frecvențe sub cea nominală. Respectând dependența $U_s = U_s(f_s)$ din figura 5.4, se obține familia de caracte- ristici din figura 5.5.

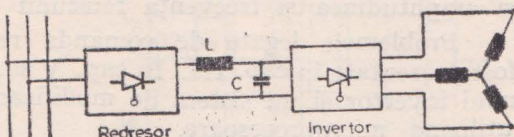


Fig. 5.6. Schema bloc a convertorului cu circuit intermediar de curent continuu.

5.2. SISTEMUL DE REGLARE A VITEZEI MOTOARELOR ASINCRONE PRIN CONVERTOARE DE FRECVENTĂ INDIRECTE — CU CIRCUIT INTERMEDIAR DE CURENT CONTINUU

În paragraful 5.1 am arătat posibilitățile de reglare a turăției la mașinile asincrone cu rotor în scurtcircuit, subliniind avantajele metodei variației frecvenței tensiunii de alimentare corelate cu variația amplitudinii acestieia.

În [36, 70, 28] se consideră această metodă ca fiind și cea mai economică.

Soluția cea mai cunoscută, care valorifică metoda amintită, este prin utilizarea convertoarelor cu circuit intermediar de curent continuu (fi- gura 5.6), [36].

Acstea convertoare se caracterizează printr-o dublă conversie a ener- giei electrice și anume:

- transformarea tensiunii alternative, de frecvență constantă, a rețelei într-o tensiune continuă, prin intermediul unui redresor;
- transformarea tensiunii continue din circuitul intermediar într-o tensiune alternativă mono sau trifazată de frecvență reglabilă, folosind un invertor static.

Modificînd concomitent frecvența invertorului și tensiunea de la ieșirea redresorului comandat, se poate realiza alimentarea motorului asincron cu un raport $U/f = \text{const.}$

Metoda poate fi implementată și prin utilizarea unui redresor necomandat, urmat de un invertor, la care se pot modifica, în mod corelat, și amplitudinea și frecvența tensiunii de ieșire [36].

Problemele legate de comanda redresoarelor cu microprocesor au fost prezentate în cap. III. În cap. V se prezintă realizări privind comanda unui invertor și un sistem de modificare a turației unui motor asincron, utilizînd microprocesoare.

5.3. INVERTOARE

Invertoarele sunt circuite electronice care transformă energia de curent continuu în energie de curent alternativ. Cu ajutorul lor este posibilă transformarea unei tensiuni continue într-o tensiune alternativă, de o anumită formă, amplitudine și frecvență [62, 58].

În ultimii ani, utilizarea invertoarelor a cunoscut o largă răspîndire. În [28, 39] se fac clasificări pe tipuri de invertoare, în funcție de modul concret constructiv al acestora, de modul în care se realizează comutația sau de disponerea dispozitivelor semiconductoare din structura acestora.

În preocupările privind utilizarea microprocesoarelor în comanda acționărilor electrice, am utilizat două tipuri de invertoare. Experiența dobîndită în comanda acestora permite extinderea aplicațiilor și la alte tipuri de invertoare.

5.3.1. INVERTOR TRIFAZAT CU TENSIUNE DE IEȘIRE SINTETICĂ, CU CIRCUIT DE STINGERE COMUN PENTRU TOATE TIRISTOARELE

Acest tip de invertor face parte din familia invertoarelor cu tiristoare în punte trifazată, fiind unul dintre circuitele folosite în acționarea unor motoare de mare putere. La aceste invertoare se impun măsuri de siguranță suplimentare, în vederea stingerii sigure a tiristoarelor care urmează să iese din conducție, măsuri care constau în utilizarea unor circuite de comutăție, în care se introduc tiristoare auxiliare [61].

Schema circuitului este prezentată în figura 5.7. Forma tensiunilor U_R , U_S , U_T , în trepte, se sintetizează comutînd corespunzător tiristoarele principale $T1 \div T5$. De exemplu, dacă se comandă tiristoarele $T1$, $T4$, $T5$, amplitudinea tensiunii pe Z_S este dublă față de cea a tensiunilor pe Z_R și Z_T , întrucît curentul prin $T4$ și Z_R este suma curentelor prin $T1$ și Z_R , respectiv prin $T5$ și Z_T . Segmentele componente ale tensiunii de

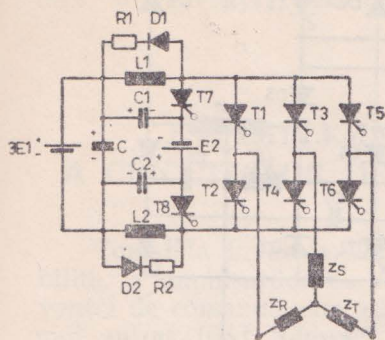


Fig. 5.7. Invertor trifazat cu tensiunea de ieșire sintetică.

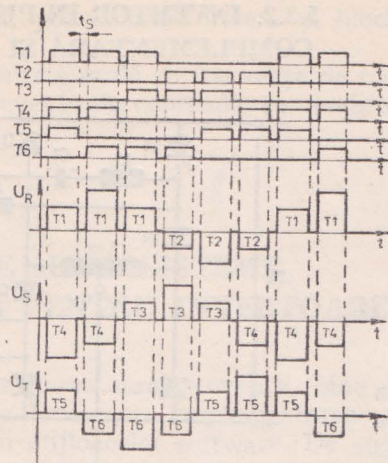


Fig. 5.8. Succesiunea comenziilor la tiristoare și forma tensiunii de ieșire.

ieșire sînt departajate cu intervale t_s , de dure egale, în care are loc stingerea tiristoarelor care au condus.

Succesiunea comenziilor aplicate tiristoarelor constituie așa-numita secvență de comenzi a invertorului [65] și trebuie respectată întocmai, pentru a se obține forma corespunzătoare a tensiunii de ieșire. Pentru invertorul descris la acest paragraf, secvența de comenzi și forma tensiunii de ieșire sînt prezentate în figura 5.8

Întrucît după fiecare interval de conduction se blochează toate tiristoarele, la începutul fiecarui nou interval de conduction trebuie comandate două dintre tiristoarele care au condus și anterior și unul care a fost biocat anterior. În decurs de o perioadă a tensiunii de ieșire, fiecare tiristor trebuie comandat de trei ori consecutiv.

Stingerea tiristoarelor principale este realizată cu circuitul de stingere compus din tiristoarele T_7 și T_8 , grupul $L_1 - C_1 - C_2 - L_2$ și sursa auxiliară E_2 . Funcționarea corectă a circuitului presupune amorsarea, la începutul unui ciclu de comenzi, a unuia dintre tiristoarele de stingere.

Circuitul este prezentat în detaliu în [61, 62, 63]. Frecvența tensiunii de ieșire este direct dependentă de frecvența (f_0) de comandă a tiristoarelor, după relația :

$$f = f_0/6. \quad (5.24)$$

Frecvența de comandă a tiristoarelor de stingere este :

$$f_s = 3f = \frac{f_0}{2}. \quad (5.25)$$

5.3.2. INVERTOR ÎN PUNTE TRIFAZATĂ CU COMUTAȚIE COMPLEMENTARĂ ȘI TENSIUNE DE IEȘIRE SINTETICĂ

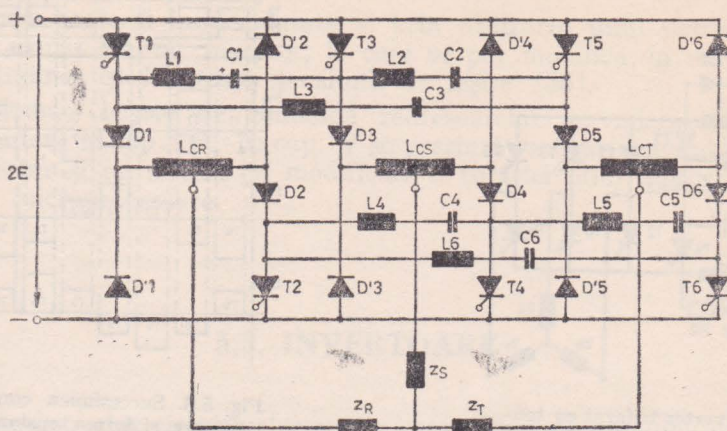


Fig. 5.9. Schema electrică a invertorului.

Schema circuitului este prezentată în figura 5.9.

Principiul de funcționare al circuitului este asemănător cu cel al schemei anterioare, cu deosebire că tiristoarele $T_1 \div T_6$ joacă un rol mixt: și de tiristor principal și de tiristor de stingere. Comanda tiristoarelor se face după o secvență impusă, reprezentată în diagramele din figura 5.10. Se observă că la acest invertor se află simultan în conducție numai cîte două tiristoare.

Tiristoarele T_1 , T_3 și T_5 , respectiv T_2 , T_4 și T_6 , se sting reciproc prin comenzi adecvate. De exemplu, dacă T_1 este, la un moment dat, în conducție, C_1 este încărcat la valoarea tensiunii dintre faze. Stingerea lui T_1 are loc în momentul comandării lui T_3 . Aceasta intră în conducție și tensiunea de pe C_1 se aplică cu

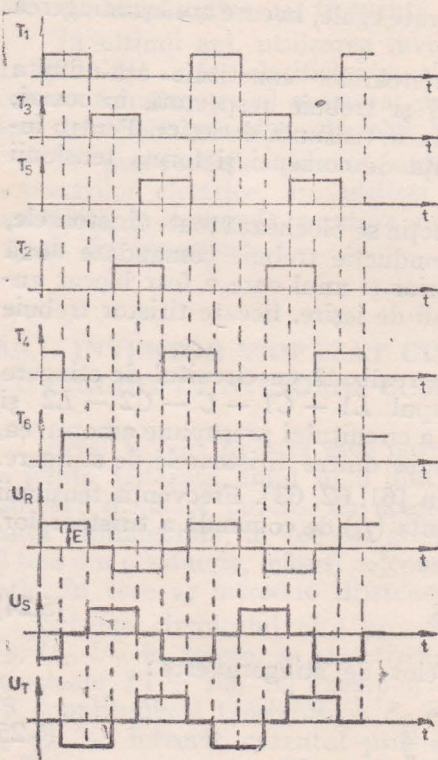


Fig. 5.10. Secvența de comandă a tiristoarelor și forma tensiunii de ieșire.

(+) pe catodul lui T_1 și cu (-) pe anod, polarizîndu-l invers și blocîndu-l [68, 62].

Frecvența tensiunii sintetizate la ieșire este egală cu frecvența de comandă a fiecărui tiristor. Modificînd frecvența de comandă se modifică, deci, și frecvența tensiunii de ieșire.

5.4. IMPLEMENTAREA PE MICROSISTEME A CIRCUITELOR DE COMANDĂ PENTRU INVERTOARE

Comanda invertoarelor presupune realizarea unei secvențe, bine stabilite, a impulsurilor de comandă pentru tiristoare. Implementarea secvenței de comandă este adekvată utilizării mijloacelor software. De altfel, unii autori [65] folosesc termenul de „program de comandă” pentru succesiunea impulsurilor de comandă a tiristoarelor.

Desigur că programul de comandă a tiristoarelor se poate sintetiza și cu mijloacele electronice clasice. Utilizarea microprocesorului, la comanda invertoarelor, aduce, însă, avantaje indiscutabile [13, 31]:

- permite sintetizarea secvenței de comandă extrem de simplu, cu cîteva instrucții;

- permite schimbarea frecvenței de comandă prin simplă schimbare a valorii unui număr;

- permite implementarea de noi funcții pentru circuitul de comandă, de exemplu: cu un singur circuit de comandă se pot comanda mai multe invertoare sau se poate realiza o buclă de reglare a frecvenței tensiunii de ieșire cu același circuit care asigură și comanda propriu-zisă a invertorului.

În ceea ce privește comanda propriu-zisă a invertorului, rolul microsistemului este de a furniza secvența de comandă impusă (F_1). El generează printr-unul din porturile sale de ieșire, impulsuri a căror durată, t_i , este în funcție de tipul tiristoarelor din invertor și care se repetă conform unei diagrame dinainte stabilite, dar cu frecvență de repetiție variabilă.

5.4.1. INVERTOR TRIFAZAT CU TENSIUNE DE IEȘIRE SINTETICĂ ȘI CIRCUIT DE STINGERE COMUN, COMANDAT CU MICROPROCESOR

Structura circuitului de putere este prezentată în figura 5.7. Secvența de comandă ce trebuie realizată și forma tensiunii trifazate sintetizate la ieșire sunt reprezentate în figura 5.8.

Impulsurile de comandă pentru tiristoare se obțin pe cele opt linii ale unuia dintre porturile de ieșire ale microsistemului utilizat ca circuit

de comandă. Izolarea galvanică între circuitul de putere și microsistem este realizată cu optocuploare.

Între tiristoarele invertorului și liniile portului de ieșire se stabilește o corespondență biunivocă, de exemplu astfel: T_1 — linia 7, T_2 — linia 6, pînă la T_8 — linia 0.

Prima combinație de comenzi (figura 5.8) impune amorsarea tiristoarelor T_1 , T_4 și T_5 . Ca urmare, portul de ieșire trebuie poziționat în starea $10011000 = 98H$. Se impun, apoi, comenzi pentru T_1 , T_4 și T_6 și deci portul trebuie poziționat în starea $10010100 = 94H$ s.a.m.d.

Pentru comanda circuitului de stingere (tiristoarele T_7 sau T_8) se programează portul de ieșire în starea 00000010 sau 00000001.

Cele 8 numere binare, ce reprezintă stările portului de ieșire și, implicit, secvența de comenzi necesare pentru realizarea unei perioade a tensiunii trifazate, constituie o listă de date amplasată în memoria sistemului.

Lista de date poate fi completată cu încă un număr, care va fi convertit în frecvența tensiunii de ieșire a invertorului. Acest număr poate fi însă adus, din exterior, și la un port de intrare al sistemului. În ambele cazuri, numărul ce reprezintă frecvența poate proveni fie de la utilizator (prin consolă, panou de comandă etc.), fie de la un calculator mai puternic care dirijează procesul la nivel superior.

Secvența de impulsuri necesară în comandă se poate obține prin mijloace software sau prin utilizarea timerului și sistemului de întreruperi.

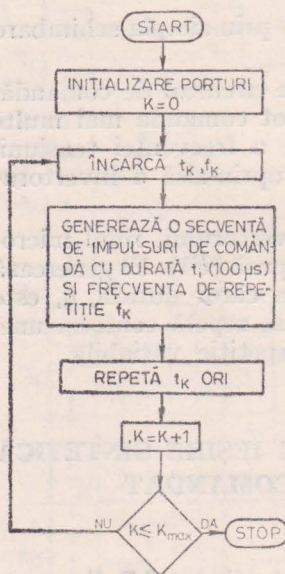


Fig. 5.11. Organigramă programului de comandă pentru generarea a K trepte de frecvență a tensiunii de la ieșirea invertorului.

În organigrama din figura 5.11 este prezentat un exemplu de program care realizează comanda invertorului. Prin acest program se sintetizează K trepte de frecvență pentru tensiunea de ieșire a invertorului, iar fiecare treaptă de frecvență se menține cîte un interval de timp t_k (diferit pentru fiecare treaptă).

În cele ce urmează sunt redate în întregime variantele de program întocmite pentru sintetizarea comenzi invertorului cu microprocesoarele 8035, 8085 și Z80, [11, 2].

Elementul central din program este subprogramul de generare a secvenței de comenzi. În versiunile scrise pentru 8085 și Z80, acest subprogram este realizat prin mijloace exclusiv software, temporizările implicate fiind realizate prin decrementări de registre. În varianta de program întocmită pentru microprocesorul 8035 se utilizează timerul intern al microprocesorului, rezultînd o scurtare a programului, în ciuda utilizării unui microprocesor mai puțin performant.

8085

LXI SP, 20C2H	E2: DCR B	MOV A,L	ORA A
E8: MVI A,03	JNZ E2	CPI 06	JNZ R10
OUT 20H	LXI H,8100H	JZ E6	ORA D
PUSH PSW	E3: MOV A,M	RAR	JZ E11
E0: LXI H,8106H	OUT 21H	JNC E7	E10: MVI L,0
E1: MOV B,M	MVI B,07	MVI A,02	JMP E7
INR L	E4: DCR B	OUT 21H	E11: POP PSW
MOV C,M	JNZ E4	JMP B8	DCR A
INR L	XRA A	E7: MVI A,01	PUSH PSW
MOV D,M	OUT 21H	OUT 21H	CPI 02
INR L	POP B	E8: MVI B,07	JZ E12
MOV E,M	PUSH B	E9: DCR B	DCR A
INR L	E5: DCX B	JNZ E9	JZ EE
MVI A,01	MOV A,C	POP B	MVI L,0EH
OUT 21H	ORA B	JMP E3	JMP E1
PUSH B	JNZ E5	E6: DCX D	E12: MVI L,0AH
MVI B,07	INR L	MOV A,E	JMP E1

8035

DIS TCNT I	DJNZ R0,E5
JMP E1	JMP E2
E1: MOV R5,#16	IMP: OUTL P1,A
E2: INC R5	MOV R3, t_i
MOV A,R5	E4: DJNZ R3,E4
JB5 E1	ANL P1,#00
MOV P3 A, @ A	RETR
MOV R2,A	
INC R5	
MOV A,R5	
MOV P3 A, @ A	
MOV R1,A	
INC R5	
MOV A,R5	
MOV P3 A, @ A	
MOV R0,A	
MOV A,#01	
CALL IMP	
E5: MOV R7,#11	E0: LD HL,3106H
MOV R6,#06	E1: LD B,(HL)
E11: MOV A,R7	INC L
MOV P3 A, @ A	LD C,(HL)
CALL IMP	INC L
MOV A,R2	LD D,(HL)
MOV T,A	INC L
STRT T	EXX
E7: JTF E8	LD DE,0102H
JMP E7	LD BC, t_i 61H
E8: INC R7	OUT (C),D
CPL F0	E2: DJNZ E2
MOV A,#02	LD HL,3100H
JFO E9	E9: LD A,(HL)
DEC A	OUT (C),A
E9: CALL IMP	LD B, t_i
DJNZ R6,E11	E3: DJNZ E3
DJNZ R1,E5	OUT (C),B
	EXX
	PUSH BC
	E4: DEC BC
	LD A,C
	OR A,B

Z80

	E0: LD HL,3106H
	E1: LD B,(HL)
	INC L
	LD C,(HL)
	INC L
	LD D,(HL)
	INC L
	LD E,(HL)
	INC L
	EXX
	LD DE,0102H
	LD BC, t_i 61H
	OUT (C),D
	E2: DJNZ E2
	LD HL,3100H
	E9: LD A,(HL)
	OUT (C),A
	LD B, t_i
	E3: DJNZ E3
	OUT (C),B
	EXX
	PUSH BC
	E4: DEC BC
	LD A,C
	OR A,B

JR NZ,E4	E8: DJNZ E8
POP BC	JR E9
EXX	LD L,0
INC L	EXX
LD A,L	DEC DE
CP A,06	LD A,D
JR Z,E5	OR A,E
RRA	EXX
JR NC,E6	JR NZ,E6
OUT (C),E	EXX
JR E7	BIT 4,L
E6: OUT (C),D	JR NZ,E1
E7: LD B,t ₁	JR E0

În figura 5.12 se prezintă organograma subprogramului de generare a secvenței de comenzi pentru invertor, în varianta implementată pe microprocesorul 8085.

Între programele întocmite pentru cele trei tipuri de microsisteme nu există deosebiri semnificative. Se poate concluziona că oricare dintre aceste microprocesoare este utilizabil cu rezultate foarte bune în comanda invertorului, chiar în aplicații în care microprocesorul execută un program ceva mai complex decât generarea propriu-zisă a secvenței de comenzi, cum este în cazul descris, de generarea mai multor trepte de viteză.

Efectuând temporizările necesare în program cu ajutorul generatorului de timp real și al sistemului de înterruperi, microprocesoarele 8085 și Z80 pot executa și programe complexe, cum ar fi o buclă de reglare a turației unui motor asincron.

Frecvența maximă a tensiunii de ieșire ce se poate sintetiza cu invertorul prezentat la acest paragraf este limitată numai de timpul asigurat revenirii tiristoarelor principale, înaintea unei noi comenzi, după amorsarea tiristoarelor de stingere (t_s — figura 5.8) și nu depinde de vitezele cu care operează microprocesorul utilizat în comandă.

Astfel [61], la comanda unuia dintre tiristoarele de stingere, blocarea tiristoare-

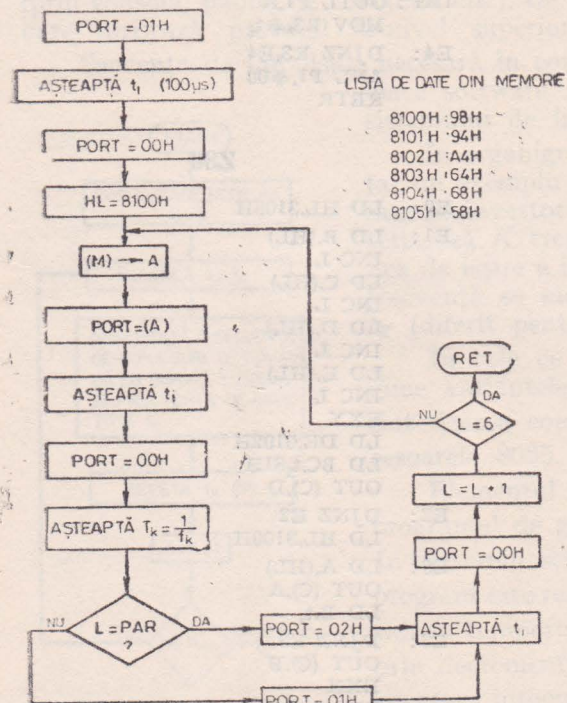


Fig. 5.12. Subprogram de generare a secvenței de comenzi, pentru tiristoarele invertorului, cu microprocesorul 8085.

lor principale se petrece pe o durată egală cu un sfert din constanta de timp de descărcare rezonantă a condensatorului C_1 (C_2) ce menține tensiunea anod-catod necesară stingerii. Pentru $L_1 = L_2 = 100 \mu\text{H}$ și $C_1 = C_2 = 330 \mu\text{F}$, valori ce au fost calculate avându-se în vedere datele de catalog ale tiristoarelor din schemă, rezultă intervalul de timp necesar pentru blocare :

$$\tau = \frac{2\pi}{4} \sqrt{L_1 C_1} = 285,35 \mu\text{s.} \quad (5.26)$$

Tinând cont de faptul că impulsul de comandă al tiristoarelor este, tipic, $t_i = 100 \mu\text{s}$ și că în acest interval de timp tiristorul amorsează singur, rezultă că din momentul comenzi pe grilă a unui tiristor și pînă la blocarea acestuia, împreună cu tiristoarele principale, este necesar un interval de timp :

$$\Delta T = t_i + \tau = 385,35 \mu\text{s.} \quad (5.27)$$

După intervalul ΔT , de la comanda unui tiristor de stingere, tiristoarele principale se blochează. Un plus de siguranță în funcționare se obține alegînd $\Delta T = 500 \mu\text{s}$ (de fapt, în realizarea concretă, 504 μs) intervalul dintre comanda tiristoarelor de stingere și a celor de putere.

Pentru un factor de umplere 1/2 a tensiunii sintetizate la ieșire rezultă o frecvență de comandă a tiristoarelor principale :

$$f_{0\ max} = \frac{1}{2\Delta T} = \frac{1}{2 \cdot 500 \mu\text{s}} = 1 \text{ kHz.} \quad (5.28)$$

Valoarea (5.28) reprezintă frecvența maximă de comandă a tiristoarelor principale, deoarece durata de conducție a acestora nu se măsoarează sub valoarea duratei lor de blocare, pentru a se obține o valoare medie acceptabilă a tensiunii sintetizate la ieșire [61].

Rezultă deci frecvența maximă obținabilă cu acest tip de invertor :

$$f_{max} = \frac{f_{0\ max}}{6} = 166,6 \text{ [Hz]}, \quad (5.29)$$

adică durata minimă :

$$T_{min} = \frac{1}{f_{max}} = 6 \text{ ms.} \quad (5.30)$$

În aplicații obișnuite însă, frecvența tensiunii de ieșire se reglează de la 0 la 150 Hz (de la 0 pînă la triplul frecvenței rețelei).

Folosind microprocesorul 8085, cu frecvența impulsurilor de tact 3,14 MHz, valoarea incrementului, la contorizarea intervalelor de timp, este de 8 μs . Prin urmare, rezoluția sintetizării duratei minime a tensiunii de ieșire este :

$$\frac{8 \cdot 10^{-6}}{6 \cdot 10^{-3}} = 1,33 \cdot 10^{-3}. \quad (5.31)$$

La o frecvență de 50 Hz a tensiunii sintetizate la ieșirea invertorului, rezoluția este :

$$\frac{8 \cdot 10^{-6}}{20 \cdot 10^{-3}} = 0,4 \cdot 10^{-3}. \quad (5.32)$$

Invertorul trifazat cu tensiune de ieșire sintetică și de frecvență variabilă, comandat cu microprocesor, poate avea ca sarcină un motor asincron trifazat. Dacă se modifică frecvența tensiunii sintetizate, se modifică și turația motorului. Reglajul frecvenței tensiunii trebuie corelat și cu reglajul amplitudinii. Menținând constantă amplitudinea tensiunii de alimentare și modificând numai frecvența, se ajunge la următoarele situații :

- a) la creșterea frecvenței, fluxul din mașină scade, ceea ce determină scăderea cuplului dezvoltat cu pătratul frecvenței [28].
- b) la scăderea frecvenței, scad valorile reactanțelor și crește curentul prin inducție și se poate ajunge la saturarea miezului.

De aceea, numai reglajul frecvenței, necorelat cu reglajul amplitudinii tensiunii care alimentează motorul asincron, nu se utilizează ca metodă de reglare a turației (vezi paragraful 5.1, figurile 5.4 și 5.5).

5.5. MODIFICAREA TURAȚIEI UNUI MOTOR ASINCRON PRIN METODA U/f = CONSTANT, CU COMANDĂ REALIZATĂ DE MICROPROCESOR

Principiul și avantajele metodei au fost prezentate în paragraful 5.1. Schema bloc a sistemului realizat este cea din figura 5.13. [29].

Structura prezentată nu reprezintă un sistem de reglare a vitezei în sensul riguros al termenului [14], întrucât nu conține bucla de reacție negativă. Sistemul asigură, însă, posibilitatea de a modifica simultan frecvența și amplitudinea tensiunii de alimentare a motorului, și, în condiții de cuplu rezistent cunoscut, permite modificarea turației unui motor asincron.

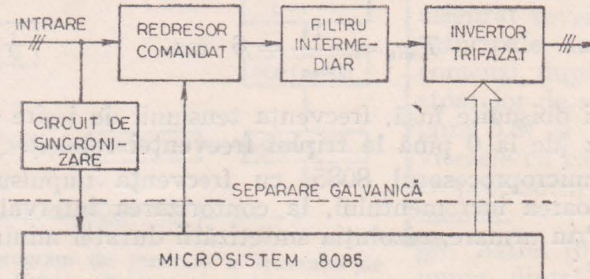


Fig. 5.13. Schema bloc a sistemului pentru modificarea turației unui motor asincron.

Redresorul utilizat este un redresor trifazat în puncte complet comandată. Schema și modul de comandă pentru acest tip de redresor au fost prezentate în cap. III (figurile 3.6, 3.7 și 3.13).

Invertorul din sistem este de tipul cu comutare complementară și tensiune de ieșire sintetică, prezentat în paragraful 5.3.2. (figura 5.9).

Cele două circuite de putere sănt comandate de un microsistem, care trebuie să îndeplinească, în acest tip de aplicație, următoarele funcții:

(F1) — Sesizarea momentului egalității, în domeniul valorilor pozitive, a două faze ale rețelei trifazate de alimentare. În acest scop se utilizează un circuit exterior de sincronizare, realizat conform schemei din figura 5.14 și care generează un impuls în momentul egalității a două faze ale rețelei. Impulsul de sincronizare este preluat de sistem pe o linie a unuia dintre porturile de intrare.

(F2) — Comanda redresorului la diferite unghiuri (α) de comandă, în raport cu impulsurile de sincronizare, în vederea realizării de valori medii variabile pentru tensiunea de la ieșirea redresorului (vezi paragraful 3.2).

Această funcție presupune realizarea unei temporizări corespunzătoare valorii unghiului α impusă la un moment dat și generarea impulsurilor de comandă pe grilă pentru tiristoarele redresorului, pe 6 linii ale unuia dintre porturile de ieșire ale sistemului.

(F3) — Comanda invertorului, după secvența necesară funcționării acestuia și la intervale de timp variabile între două comenzi succesive, pentru sintetizarea tensiunii trifazate cu frecvență variabilă, la ieșire.

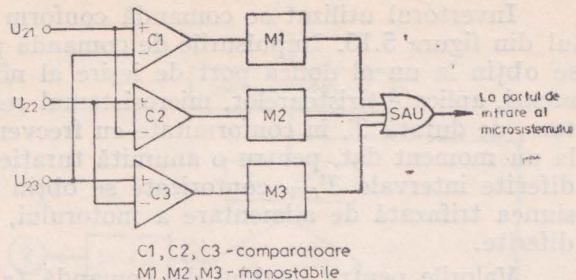


Fig. 5.14. Circuit de sincronizare cu momentele egalității a cîte două faze (pozitive) ale rețelei de alimentare trifazate.

Adresa din memorie	Conținutul adresei									Tiristoare din invertor comandate
	Binar								HEXA	
	7	6	5	4	3	2	1	0		
A5	0	0	0	0	1	0	0	1	09	T ₁ , T ₄
A4	0	0	1	0	0	0	0	1	21	T ₁ , T ₆
A3	0	0	1	0	0	1	0	0	24	T ₃ , T ₆
A2	0	0	0	0	0	1	1	0	06	T ₂ , T ₃
A1	0	0	0	1	0	0	1	0	12	T ₂ , T ₅
A0	0	0	0	1	1	0	0	0	18	T ₄ , T ₅

Fig. 5.15. Secvența de comandă a invertorului și modul de tabelare a acesteia în memoria sistemului.

Invertorul utilizat se comandă conform secvenței prezentate în tabelul din figura 5.15. Impulsurile de comandă pentru tiristoarele invertorului se obțin la unul al doilea port de ieșire al microsistemului. Între două comenzi, aplicate tiristoarelor, microsistemul realizează cîte o buclă de aştepțare, de durată T , în conformitate cu frecvența tensiunii trifazate impusă, la un moment dat, pentru o anumită turăție a motorului asincron. Pentru diferite intervale T_{INV} contorizate se obțin frecvențe diferite pentru tensiunea trifazată de alimentare a motorului, și, implicit, trepte de turăție diferite.

Valorile pentru unghiul de comandă (α) al redresorului și pentru durata T_{INV} , ce corespunde frecvenței tensiunii de la ieșirea invertorului sunt corelate. Ele sunt calculate anterior, de către utilizator, și tabelate în memoria sistemului, pe perechi de valori astfel încît, la diferite turății ale motorului asincron, să fie îndeplinită condiția $U/f = \text{const.}$ pentru tensiunea de alimentare a motorului, sintetizată la ieșirea sistemului de comandă.

5.5.1. IMPLEMENTAREA SOFTWARE A COMENZILOR ÎN SISTEMUL PENTRU MODIFICAREA TURĂȚIEI UNUI MOTOR ASINCRON

Organograma programului este prezentată în figura 5.16. În aceeași figură este reprezentată și organograma subrutinei, $SECV$, utilizată la comanda invertorului. Impulsul de comandă pentru tiristoare ($t_i = 100 \mu\text{s}$) este generat prin secvența de program IMP . Temporizările necesare (α , T_{INV} , t_i) sunt realizate prin mijloace software.

După inițializările de la începutul programului se încarcă în registrele interne valoarea T_{INV} , necesară realizării unei anumite trepte de turăție și o valoare inițială α_1 pentru unghiul de comandă al redresorului, se aşteaptă impulsul de sincronizare și se comandă, după α_1 , redresorul ($\alpha_1 \approx 85^\circ$).

Se încarcă apoi valoarea α , propriu-zis necesară pentru obținerea treptei de turăție dorite.

Programul este parcurs, în continuare, după o structură concepută modular, pe două bucle, în care se realizează contorizarea duratelor α și T_{INV} . Numerele binare, ce reprezintă cele două dure, sunt înscrise în registrele pereche DE și, respectiv, BC și sunt succesiv decrementate. În funcție de anularea conținutului unuia sau altuia dintre registrele pereche programul decide dacă trebuie comandat redresorul sau invertorul și trecerea, într-o sau alta dintre cele două bucle, asigurînd totodată evitarea suprapunerilor de comenzi.

În vederea egalizării pașilor de decrementare a conținutului registrelor, la trecerea prin cele două bucle, a fost necesară introducerea unor instrucțiuni suplimentare pentru compensarea duratelor de parcursere.

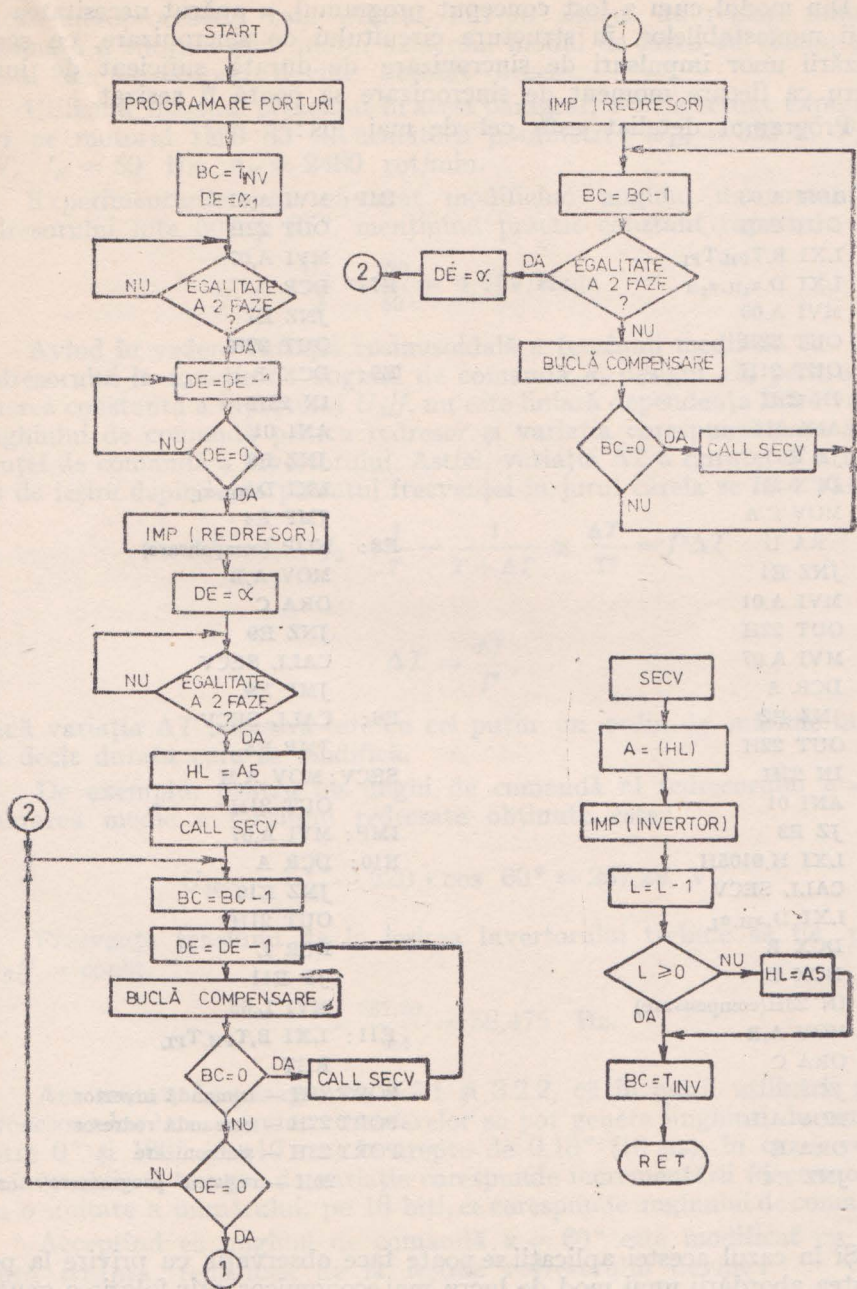


Fig. 5.16. Organograma programului de comandă al sistemului de modificare a turării unui motor asincron.

Din modul cum a fost conceput programul, a apărut necesitatea utilizării monostabilelor, în structura circuitului de sincronizare, cu scopul realizării unor impulsuri de sincronizare de durată suficient de lungă, pentru ca fiecare moment de sincronizare să poată fi sesizat.

Programul detaliat este cel de mai jos :

MVI A,03	IMP : MVI A,01
OUT 20H	OUT 22H
LXI B,T _{PH} ,T _{PL}	MVI A,07
LXI D, α_1 _H , α_2 _H	E7 : DCR A
MVI A,00	JNZ E7
OUT 22H	OUT 22H
OUT 21H	E9 : DCX B
E0 : IN 23H	IN 23H
ANI 01	ANI 01
JZ E0	JNZ E8
E1 : DCX D	LXI D, α_H , α_L
MOV C A	JMP E4
RA D	E8 : NOP (compensare)
JNZ E1	MOV A,B
IMP : MVI A,01	ORA C
OUT 22H	JNZ E9
MVI A,07	CALL SECV
E2 : DCR A	JMP E9
JNZ E2	E6 : CALL SECV
OUT 22H	JMP E5
E3 : IN 23H	SECV : MOV A,M
ANI 01	OUT 21H
JZ E3	IMP : MVI A,07
LXI H,9105H	E10 : DCR A
CALL SECV	JNZ E10
LXI D, α_H , α_L	OUT 21H
E4 : DCX B	DCR L
E5 : DCX D	JP E11
IN 23H(compensare)	MVI L,05
MOV A,B	E11 : LXI B,T _{PH} ,T _{PL}
ORA C	RET
JZ E6	PORT 21H — comandă invertor
MOV A,D	PORT 22H — comandă redresor
ORA E	PORT 23H — sincronizare
JNZ E4	20H — registru programare orturi

Și în cazul acestei aplicații se poate face observația cu privire la posibilitatea abordării unui mod de lucru mai economicos, prin folosirea generatorelor de timp real și a sistemului de întreruperi. În acest fel, microprocesorul este degrevat de sarcina contorizărilor și poate efectua alte operații.

Dacă microprocesorul este utilizat într-un sistem de reglare numerică automată a turației unui motor asincron, modul de lucru cu timere și sistemul de întreruperi devine absolut necesar.

Utilizând sistemul prezentat în acest paragraf, s-au efectuat experimentări pe motorul IMB 83 cu următorii parametri: $U_{1N} = 380$ V, $P_N = 4$ kW, $f_N = 50$ Hz, $n_N = 2480$ rot/min.

Experimentările s-au efectuat modificînd unghiul de comandă al redresorului între 60° și 85° , menținînd practic constant raportul:

$$\frac{U_s}{f} = \frac{220}{50} = 4,4 \text{ [V/Hz].} \quad (5.33)$$

Avînd în vedere variația cosinusoidală a tensiunii medii de la ieșirea redresorului în funcție de unghiul de comandă α , desigur că, pentru menținerea constantă a raportului U_s/f , nu este liniară dependența între variația unghiului de comandă pentru redresor și variația corespunzătoare a frecvenței de comandă a invertorului. Astfel, variația ΔT a duratei T a tensiunii de ieșire depinde de pătratul frecvenței în jurul căreia se face variația și

$$\Delta f = f_1 - f_2 = \frac{1}{T} - \frac{1}{T + \Delta T} \cong \frac{\Delta T}{T^2} = f^2 \Delta T \quad (5.34)$$

și

$$\Delta T = \frac{\Delta f}{f^2}, \quad (5.35)$$

dacă variația ΔT necesară este cu cel puțin un ordin de mărime mai mică decît durata care se modifică.

De exemplu, pentru un unghi de comandă al redresorului $\alpha = 60^\circ$, valoarea medie a tensiunii redresate obținute este:

$$U_{d60^\circ} = \frac{3\sqrt{6}}{\pi} \cdot 220 \cdot \cos 60^\circ = 257,29 \text{ V.} \quad (5.36)$$

Frecvența tensiunii de la ieșirea invertorului trebuie să fie, pentru $U_s/f = \text{const.}$

$$f_{60^\circ} = \frac{257,29}{4,4} = 58,475 \text{ Hz.} \quad (5.37)$$

Am arătat, în paragrafele 3.2.1 și 3.2.2, că în cazul utilizării microprocesoarelor la comanda redresoarelor se pot genera unghiuri de comandă între 0° și 180° ($0-10$ ms) în trepte de $0,18^\circ$ ($10 \mu\text{s}$), în cazul cel mai defavorabil. O treaptă de variație corespunde incrementării (decrementării) cu o unitate a numărului, pe 16 biți, ce corespunde unghiului de comandă α .

Acceptînd că unghiul de comandă $\alpha = 60^\circ$ este modificat cu o singură treaptă, tensiunea de la ieșirea redresorului devine:

$$U_{d60,18^\circ} = \frac{3\sqrt{6}}{\pi} \cdot 220 \cdot \cos 60,18^\circ = 255,89 \text{ V.} \quad (5.38)$$

Frecvența tensiunii sintetizate de invertor trebuie și ea modificată la valoarea :

$$f_{60,18^\circ} = \frac{255,89}{4,4} = 58,156 \text{ Hz.} \quad (5.39)$$

Deci, modificând conținutul contorului pentru α (registrul pereche *DE*, în acest caz) cu o unitate, se obține o variație a tensiunii de ieșire cu :

$$\Delta U = U_{60^\circ} - U_{60,18^\circ} = 1,4 \text{ V.} \quad (5.40)$$

și este necesară o variație a frecvenței :

$$\Delta f = f_{60^\circ} - f_{60,18^\circ} = 0,319 \text{ Hz.} \quad (5.41)$$

Tinând seama de relația (5.35), variația frecvenței tensiunii la ieșire este :

$$\Delta T = \frac{0,319}{(58,475)^2} = 93,293 \cdot 10^{-6} \text{ s.} \quad (5.42)$$

În paragraful 5.4.1 am arătat că intervalul de timp între două impulsuri de comandă aplicate tiristoarelor invertorului este contorizat în trepte de $8 \mu\text{s}$ și că perioada tensiunii sintetizate la ieșire se modifică în trepte de minimum $6 \cdot 8 \mu\text{s} = 48 \mu\text{s}$ (6 tiristoare comandate).

În aceste condiții, pentru exemplul detaliat mai sus, o variație ΔT de valoare (5.42) se poate scrie :

$$\Delta T = 93,293 \cdot 10^{-6} = 11,66 \cdot 8 \cdot 10^{-6} \simeq 6 \cdot 2 \cdot 8 \cdot 10^{-6} \text{ s.} \quad (5.43)$$

Calculul exact pentru valoarea lui ΔT ne conduce la un rezultat similar :

$$\begin{aligned} \Delta T &= \frac{1}{f_{60,18^\circ}} - \frac{1}{f_{60^\circ}} = \frac{1}{58,156} - \frac{1}{58,475} = 93,8 \cdot 10^{-6} = \\ &= 11,7 \cdot 8 \cdot 10^{-6} \simeq 6 \cdot 2 \cdot 8 \cdot 10^{-6} \text{ s} \end{aligned} \quad (5.44)$$

În concluzie, în jurul unghiului de comandă $\alpha = 60^\circ$ pentru redresor, o modificare cu o treaptă ($\Delta\alpha = 0,18^\circ$) a acestui unghi implică modificarea cu 2 unități (2 trepte) a numărului ce reprezintă T_{INV} – durata dintre două impulsuri de comandă pentru invertor.

Efectuând calcule similare și pentru alte valori ale unghiului de comandă se obțin, spre exemplu, următoarele rezultate :

Pentru $\alpha = 75^\circ$, o modificare a unghiului de comandă cu $\Delta\alpha = 0,18^\circ$ implică o variație cu $\Delta T \simeq 8 \cdot 6 \cdot 8 \cdot 10^{-6}$ s. Deci, în jurul unghiului de comandă de 75° , variația cu un increment a numărului ce reprezintă α , implică variația cu 8 incremenți a numărului ce reprezintă T_{INV} .

Pentru $\alpha = 85^\circ$, o variație $\Delta\alpha = 0,18^\circ$ implică $\Delta T = 77 \cdot 6 \cdot 8 \cdot 10^{-6}$. Deci, în jurul unghiului de comandă de 85° , variația cu o unitate a numărului ce reprezintă α implică variația cu 77 de incremenți de numărare pentru durata dintre două impulsuri de comandă pentru invertor.

Având în vedere această interdependență neuniformă între variația unghiului de comandă al redresorului și frecvența de comandă a invertorului, cel mai comod este să se lucreze tabelar. Se stabilesc, de exemplu, în plaja de reglare pentru unghiuri între 60° și 85° , 70 de trepte de variație și se calculează duratele T_{INV} corespunzătoare. Perechile de valori obținute se depun tabelar în memoria nevolatilă a sistemului.

Stabilirea de 70 de trepte între 60° și 85° (exact $85,2^\circ$) presupune acceptarea unei variații pentru α în trepte de $0,36^\circ$, adică modificarea numărului care îl reprezintă în program, în trepte de cîte două unități. O asemenea rezoluție este foarte bună pentru toate aplicațiile practice, nefiind necesar lucrul, principal posibil, cu o rezoluție mai bună.

5.6. REGLAREA TURAȚIEI MOTOARELOR ASINCRONE PE BAZA PRINCIPIULUI ORIENTĂRII DUPĂ CIMP

5.6.1. PRINCIPIUL REGLAJULUI „ORIENTARE DUPĂ CIMP”

Prin analogie cu posibilitățile de reglare a turației la motoarele de curent continuu, s-a dezvoltat în ultimii ani o metodă, considerată foarte eficientă, de reglare a turației și la motoarele asincrone [36, 59, 40, 7].

La mașinile de curent continuu, cuplul este determinat fără influență reciprocă a curenților din inducție și excitație, iar direcțiile curenților și fluxului inductor sunt fixe în spațiu. Modificând unul dintre cei doi curenți, se realizează modificarea turației.

Mașina asincronă este alimentată cu un sistem trifazat simetric de tensiuni, rezultând corespunzător cîte un sistem de trei curenți și trei fluxuri. Descrierea funcționării implică, deci, operarea cu trei mărimi de fază, care, datorită conexiunii electrice și magnetice dintre faze, nu sunt independente una de alta.

Cele trei mărimi de fază pot fi reprezentate, însă printr-un singur fazor, cunoscut în literatura de specialitate sub denumirea de fazor spațial, vector Park sau vector spațial.

În compunerea fazorului spațial intervin valorile instantanee ale mărimilor de fază. Prin urmare, acest fazor indică variația în timp și defazajul în timp pentru cele trei mărimi, sub formă vectorială. În plus, vectorul Park indică și defazajul în spațiu dintre cele trei mărimi de fază, defazaj determinat de dispunerea constructivă a înfășurărilor de fază.

Fazorul spațial este, deci, un vector „trifazat” care indică atât variația în timp a mărimilor de fază, cât și variația în spațiu a rezultantei acestora.

În această reprezentare, cei trei curenți de fază, de exemplu, se caracterizează printr-o singură mărime, fazorul spațial de curent. Cînd cei trei curenți de fază formează un sistem sinusoidal trifazat, cîmpul magnetic rezultant este un cîmp învîrtitor în spațiu, iar fazorul spațial va fi învîrtitor cu viteza unghiulară constantă și egală cu pulsăria curenților.

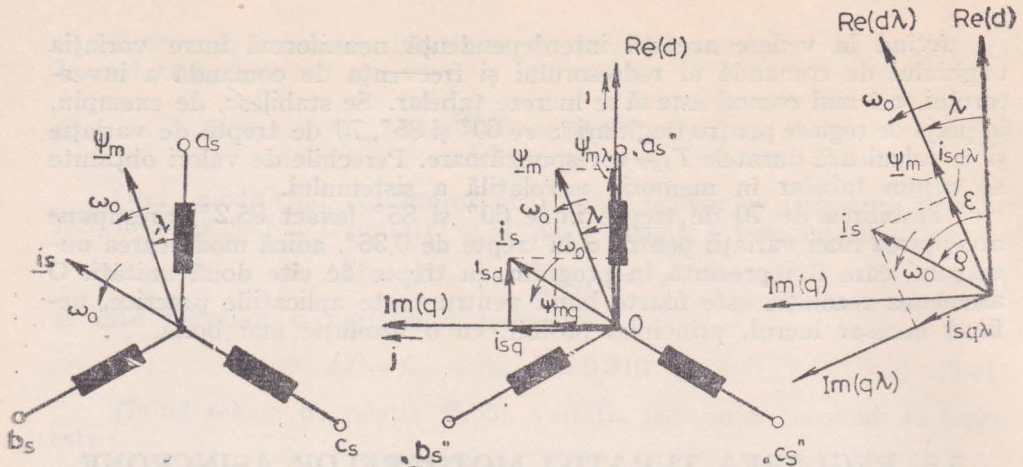


Fig. 5.17. Reprezentarea fazorilor spațiali ai fluxului învărtitor și curenților la mașina asincronă trifazată.

Fig. 5.18. Modul de alegere al sistemului de referință pentru fazorii spațiali :
a) după axe fixe;
b) după axe rotitoare.

La o mașină asincronă, alimentată cu un sistem trifazat simetric de tensiuni, toți cei trei fazori spațiali — al cîmpului învărtitor, al curenților din înfășurările statorice, respectiv al tensiunilor aplicate — se rotesc cu viteza sincronă (pulsăția tensiunii de alimentare). În figura 5.17 sunt reprezentati fazorii spațiali flux și curent pentru un motor trifazat.

La mașina asincronă de construcție obișnuită, avînd simetria cilindrică, toți vectorii spațiali sunt în planul perpendicular pe axa arborelui mașinii [36].

Se știe că, într-un plan, un vector este determinat de două mărimi, de obicei cele două componente după axe ortogonale (sau de modulul și argumentul său).

Rezultă, deci, un prim avantaj al studiului mașinii asincrone cu ajutorul fazorilor spațiali : reducerea celor trei mărimi de fază la două mărimi și deci utilizarea a numai două ecuații în loc de trei. Mașina trifazată se reduce la una bifazată cu înfășurări ortogonale.

În cazul în care sistemul sinusoidal trifazat de alimentare al mașinii nu este echilibrat, la schimbarea de variabile corespunzătoare reducerii mașinii trifazate la una bifazată intervine, matematic, un al treilea element — componenta homopolară, care nu este o proiecție după o a treia direcție în spațiu, fiind numai o mărire de calcul. Deci, fazorul spațial își păstrează caracterul plan și cînd există componentă homopolară. În [59, 36] se arată că în majoritatea aplicațiilor sau nu apar componente homopolare sau influența lor este neglijabilă.

Caracterul plan al fazorului spațial permite alegerea unui plan (complex) de referință. În figura 5.18, a și b se prezintă două moduri de alegere ale sistemului de referință.

În figura 5.18, a) axa reală a planului de referință s-a ales după axa uneia dintre cele trei înfășurări statorice ale mașinii. Ca urmare, cele două componente ortogonale ale fazorilor spațiali sunt variabile, sinusoidal, în timp.

Dacă planul de referință este ales rotitor (figura 5.18, b), cu axa reală „orientată” după fazorul spațial al fluxului invărtitor din întrefier, toți fazorii spațiali au o poziție relativă staționară. Ei pot fi considerați, deci, mărimi de curent continuu, deși toate mărimile de fază sunt variabile.

Alegind un sistem de referință rotitor, cu viteza unghiulară egală cu pulsătia tensiunii de alimentare, apare posibilitatea de a realiza un reglaj, cu ajutorul unor mărimi de curent continuu. Pentru separarea celor două bucle de reglaj, de flux și de turație, fazorul curentului statoric – staționar față de fazorul spațial al fluxului invărtitor – se descompune după două direcții determinate de acesta din urmă, ca în figura 5.18, b. Cele două componente sunt, deci, ortogonale și independente una de alta, rolul lor fiind similar cu cel al curenților din inducție și din excitație de la motorul de curent continuu. Efectuând un reglaj asupra uneia sau alteia dintre componente $i_{sq\lambda}$ sau $i_{sd\lambda}$ (figura 5.18, b) ale fazorului spațial al curentului, se poate realiza un reglaj de turație pentru mașina asincronă cu mărimi de curent continuu, similar cu metodele de reglaj de la motorul de curent continuu.

În ceea ce privește cele două componente ale fazorului spațial curent: $i_{sd\lambda}$, fiind orientată după direcția fluxului de magnetizare, reprezintă componenta reactivă – curentul de flux, iar $i_{sq\lambda}$, fiind perpendiculară pe această direcție, reprezintă componenta activă – curentul de cuplu.

Mărimile de curent continuu, utilizate în reglajul pe principiul orientării după cîmp, nu sunt măsurabile direct. Ele trebuie calculate din mărimile reale (naturale) ale motorului, adică din mărimile variabile și măsurabile. Acest calcul presupune, în esență, un sir de schimbări de variabile, ce implică și rezolvarea unor sisteme de ecuații algebrice și trigonometrice. Tratarea matriceală a calculelor aduce simplificări în modul de lucru, dar timpul necesar efectuării acestora rămîne suficient de lung, în unele cazuri implicant și utilizarea mai multor calculatoare [36].

5.6.2. SISTEME DE REGLARE A TURAȚIEI MOTOARELOR ASINCRONE, PE BAZA PRINCIPIULUI ORIENTĂRII DUPĂ CÎMP

În figura 5.19 se prezintă o schemă bloc detaliată a unui sistem de reglare a unui motor asincron, cu rotorul în scurt circuit [35]. Motorul este alimentat printr-un convertor de frecvență cu circuit intermediar cu caracter de sursă de curent – invertor de curent [36]. Etajele de putere sunt realizate după scheme cunoscute.

Reglajul în buclă închisă implică utilizarea următoarelor traductoare: de turație (TG), de curenți de fază și tensiuni de linie la motor, respectiv de curent la alimentarea redresorului la rețea.

Sistemul realizează reglajul fluxului de magnetizare ψ_m , prin componenta reactivă $i_{sd\lambda}$ a fazorului de curent și reglajul turației (n) prin componenta activă $i_{sq\lambda}$ a acestui fazor (figura 5.18, b), deci reglajul se efectuează în curent continuu.

Mărimile de prescriere sunt ψ_m^* și n^* .

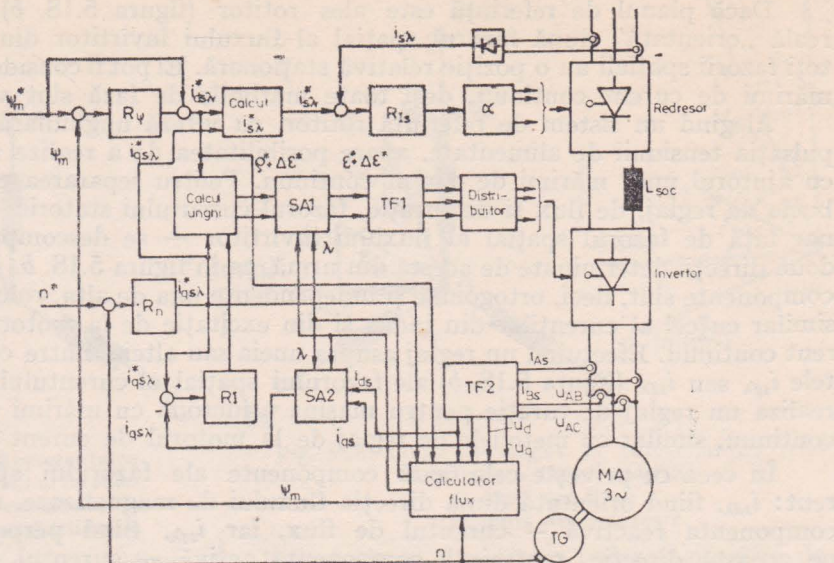


Fig. 5.19. Schema bloc a sistemului de reglare pentru motor asincron pe baza principiului „orientării după cîmp”, varianta indirectă.

Realizarea reglajului pe principiul orientării după cîmp necesită calculul componentelor fazorului spațial al fluxului, din mărimele măsurate la bornele motorului. De aceea, metoda utilizată este o variantă indirectă de reglare [59].

Transformatorul de fază $TF2$ conține detectoare pentru curenții și tensiunile statorice, cu ajutorul cărora se determină componentele fazorilor spațiali, i_s și u_s în sistemul de coordonate fixe d, q (figura 5.18), adică ale sistemului de axe bifazat.

Din mărimele bifazate u_{sd} , u_{sq} , i_{sd} , i_{sq} și turația măsurată se determină, pe baza ecuațiilor de funcționare ale motorului, componentele ψ_{md} și ψ_{mq} ale fluxului, în raport cu sistemul de axe fixe (figura 5.18), respectiv fluxul de magnetizare ψ_m și faza acestuia λ . Operațiile sunt efectuate de calculatorul de flux.

Determinarea unghiului λ înseamnă, de fapt, determinarea poziției fazorului spațial flux, adică a sistemului de referință rotitor.

Regulatoarele de flux și de turație R_ψ și R_n operează cu mărimi staționare. Mărimele de ieșire ale acestor regulatoare sunt: pentru R_ψ , $i_{sd\lambda}^*$ — curentul de flux, iar pentru R_n , $i_{sq\lambda}^*$ — curentul de cuplu, calculate pe seama mărimilor de prescriere și de reacție. Valorile $i_{sd\lambda}^*$ și $i_{sq\lambda}^*$ reprezintă pentru circuitele următoare mărimele de referință.

În primul rînd, din $i_{sd\lambda}^*$ și $i_{sq\lambda}^*$ se calculează amplitudinea necesară $i_{s\lambda}^*$ a fazorului spațial curent, referință pentru regulatorul proporțional integrator R_{is} . Cu acest regulator se asigură reglarea curentului statoric la valoarea necesară, prin comanda redresorului cu un unghi α corespunzător.

În al doilea rînd, principiul orientării după cîmp impune și implementarea unei bucle de reglare a unghiului de defazaj ρ (figura 5.18, b) dintre fazorul currentului statoric i_s și fazorul fluxului de magnetizare ψ_m . Cu această buclă de reglare se menține unghiul ρ la valoarea necesară.

În acest scop, calculatorul de unghi determină unghiul ρ^* , de referință, între fazorii curent și flux, efectuînd operațiile :

$$i_{s\lambda}^* = \sqrt{i_{sd\lambda}^{*2} + i_{sq\lambda}^{*2}}, \quad (5.45)$$

$$\cos \rho^* = \frac{i_{sd\lambda}^*}{i_{s\lambda}^*}, \quad \sin \rho^* = \frac{i_{sq\lambda}^*}{i_{s\lambda}^*}. \quad (5.46)$$

Blocul SA1 calculează unghiul ϵ^* , defazajul necesar al fazorului de curent în raport cu sistemul de referință fix (figura 5.18) :

$$\cos \epsilon^* = \cos(\rho^* + \lambda) = \cos \rho^* \cos \lambda - \sin \rho^* \sin \lambda,$$

$$\sin \epsilon^* = \sin(\rho^* + \lambda) = \sin \rho^* \cos \lambda + \cos \rho^* \sin \lambda.$$

Valoarea calculată pentru ϵ^* determină, în final, momentul declanșării impulsurilor de comandă pentru tiristoarele invertorului, adică al momentului comutării currentului de alimentare al motorului de pe o infășurare, pe alta. În acest fel se obține o poziționare corectată a fazorului spațial curent, conform unghiului de defazaj (ρ), dorit, între fazorii flux și curent.

În figura 5.20 [27] se prezintă o schemă bloc în care principiul orientării după cîmp este implementat într-o variantă directă de reglare [59] în sensul că poziția fluxului invîrtitor nu se calculează din mărimele de fază, ci se utilizează două sonde Hall, amplasate în întrefierul mașinii, pentru măsurarea directă a unghiului fluxului.

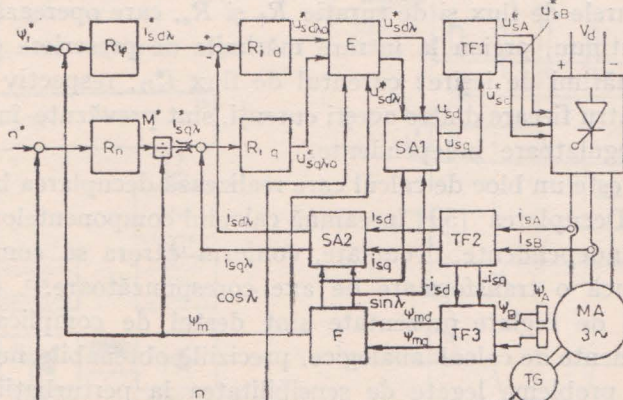


Fig. 5.20. Schema bloc a sistemului de reglare pentru motor asincron pe baza principiului „orientării după cîmp”, varianta directă.

Metoda implică dificultăți tehnologice, legate de amplasarea cu precizie extrem de ridicată a traductoarelor Hall în întrefier dar conferă avantaje în ceea ce privește exactitatea cu care se determină poziția fluxului.

Etajul de putere utilizat pentru alimentarea motorului este un invertor, care permite reglarea simultană a amplitudinii și frecvenței tensiunii sin-tetizate la ieșirea sa [36].

Scopul urmărit de schema din figura 5.20 este o reglare independentă a fluxului, respectiv a curentului de magnetizare $i_{sd\lambda}$ și a turației, respectiv curentului de cuplu $i_{sq\lambda}$. Pentru a se obține valorile reale ale acestor mărimi, în mașină se utilizează mărimi măsurate cu traductoare (i_{sA} , i_{sB} , ψ_A și ψ_B) și blocuri de calcul.

Blocurile pentru transformările de fază T_F fac o schimbare a mărimilor trifazate în mărimi bifazate, raportate la sistemul de axe fixe d, q (figura 5.18), conform relațiilor :

$$\begin{bmatrix} u_{sd} \\ u_{sq} \end{bmatrix} = \begin{bmatrix} 1 & 0 \\ \frac{1}{\sqrt{3}} & \frac{2}{\sqrt{3}} \end{bmatrix} \begin{bmatrix} u_{sA} \\ u_{sB} \end{bmatrix} \quad (5.47)$$

Trecerea de la mărimile bifazate u_{sd} , u_{sq} la cele raportate la sistemul de axe rotitor se face cu o schimbare de axe (bloc SA), conform relațiilor :

$$\begin{bmatrix} u_{sd\lambda} \\ u_{sq\lambda} \end{bmatrix} = \begin{bmatrix} \cos \lambda & \sin \lambda \\ -\sin \lambda & \cos \lambda \end{bmatrix} \begin{bmatrix} u_{sd} \\ u_{sq} \end{bmatrix}. \quad (5.48)$$

Valorile funcțiilor $\sin \lambda$, $\cos \lambda$, necesare, se calculează din componentele ψ_{md} , ψ_{mq} ale fluxului de magnetizare în blocul F . Componentele ψ_{md} , ψ_{mq} ale fluxului sunt calculate în blocul $TF3$ din valorile măsurate ψ_A , ψ_B .

Regulatoarele de flux și de turație R_ϕ și R_n , care operează cu mărimi de curent continuu, preiau la intrare mărimile de prescriere ψ^* , respectiv n^* și au ca mărimi de ieșire : curentul de flux $i_{sd\lambda}^*$, respectiv curentul de cuplu $i_{sq\lambda}^*$. Pentru fiecare dintre acești curenți, sunt prevăzute în continuare, în schemă, regulatoare independente.

Blocul E este un bloc de calcul care realizează decuplarea buclei de flux și de cuplu. Decuplarea [59] înseamnă calculul componentelor $u_{sd\lambda}^*$ și $u_{sq\lambda}^*$, componente independente, decuplate, conform cărora se comandă invertorul, după încă o transformare de axe corespunzătoare.

Sistemele de reglare prezentate sunt destul de complicate. Dacă se utilizează elemente de calcul analogice, preciziile obținabile nu sunt foarte mari și apar probleme legate de sensibilitatea la perturbații și de fiabilitate scăzută.

Utilizarea microprocesoarelor deschide noi perspective în extinderea acestei metode în acțiunările cu motoare asincrone.

5.6.3. SISTEM DE REGLARE PENTRU MOTOR ASINCRON COMANDAT CU MICROPROCESORUL 8080 [36]

Sistemul este realizat în Laboratorul de acționări electrice al Facultății de electrotehnică din Cluj-Napoca și reprezintă una din primele încercări din țara noastră cu privire la comanda motorului asincron, utilizând microprocesoare. Metoda de reglare utilizată derivă din principiul orientării după cimp și folosește sistemul din figura 5.21.

Circuitul de putere constă dintr-un redresor în punte trifazată complet comandată și un invertor de curent, construite după scheme tradiționale. Microsistemu, o structură clasică dezvoltată în jurul microprocesorului 8080, generează mărimele de comandă I^* (amplitudinea fazorului spațial curent), care determină unghiul de comandă α al redresorului și un tren de impulsuri, cu frecvență variabilă, cu care se sintetizează secvența de impulsuri de comandă pentru invertor.

Redresorul este direct comandat de către microsistem. Se utilizează un convertor numeric analogic și un circuit analogic de sintetizare, la unghiuri de comandă variabile, a impulsurilor de amorsare pentru tiristoare.

Invertorul de curent necesită o secvență de 6 impulsuri de comandă pentru sintetizarea unei perioade complete a curentului trifazat de ieșire. Secvența de impulsuri de comandă este realizată, în afara microsistemului, cu un circuit distribuitor de impulsuri, din trenul de impulsuri cu frecvență variabilă, generat de microsistem (fig. 5.22).

La fiecare impuls de comandă, curentul constant furnizat de invertor este comutat de pe o fază pe alta al motorului. Ca urmare, frecvența de comutare este 1/6 din cea a impulsurilor de comandă, iar fazorul spațial al curenților din stator ocupă în spațiu 6 poziții fixe între care se comută (vezi figura 5.23). Fazorul spațial curent execută rotația discretă, dintr-o

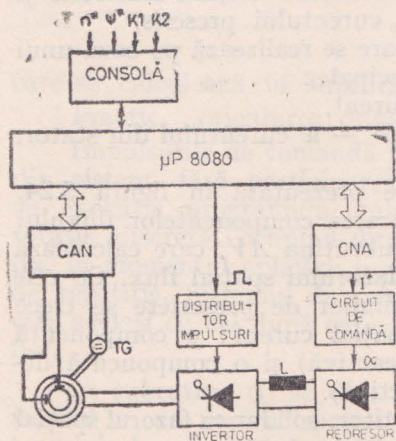


Fig. 5.21. Sistem de reglare pentru motor asincron realizat pe baza principiului „orientării după cimp” cu micropresor de comandă.

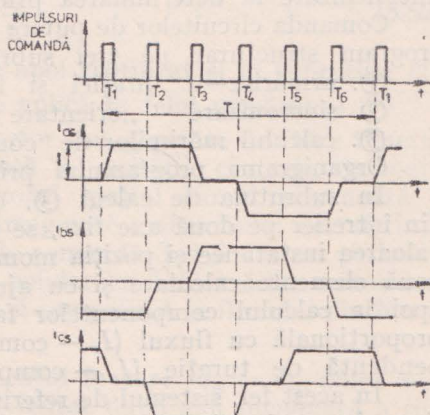


Fig. 5.22. Secvența de impulsuri de comandă pentru tiristoare și variația curenților de fază la alimentarea motorului asincron cu invertor de curent.

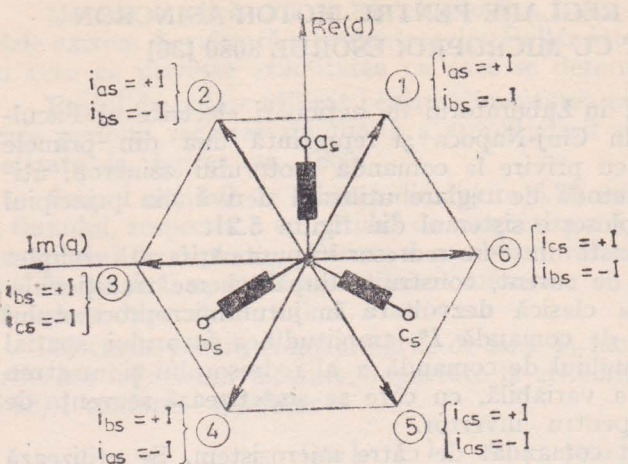


Fig. 5.23. Diagrama traectoriei fazorului curent din stator.

tă a fluxului din întrefier. Se măsoară două componente ale fluxului, după două axe fixe; acestea sunt preluate de microprocesor, împreună cu valoarea curentă a turației, măsurată cu tahogenerator. O subrutină dedicată *AV* (analizor de vector) calculează amplitudinea și poziția curentă a fazorului spațial flux. Ecuatiile trigonometrice care intervin se rezolvă tabelar. Precizia de determinare a poziției fluxului, la $f = 50$ Hz, este $4^{\circ}17'$ grade electrice, pentru o durată de $246 \mu s$ de execuție a subrutinei.

Mărimele de prescriere se introduc în microsistem de la consola unui DAF. Aceste mărimi sunt: turația prescrisă n^* , valoarea prescrisă a fluxului Φ_m^* și două constante $K1$ și $K2$, ce țin de parametrii mașinii asincrone și sunt utilizate la determinarea prin calcul a curentului prescris.

Comanda circuitelor de putere din acționare se realizează pe baza unui program structurat pe trei subrutine principale:

- ①. urmărire—a turației și fluxului curent,
- ②. sincronizare — „orientare după cîmp” — a curentului din stator,
- ③. calculul mărimerilor de comandă.

Organograma programului principal este prezentată în figura 5.24.

În subrutina de calcul ③, după măsurarea componentelor fluxului din întrefier pe două axe fixe, se parcurge subrutina *AV*, care calculează valoarea instantaneă și poziția momentană a fazorului spațial flux. Cu cele două elemente calculate și cu ajutorul mărimerilor de prescriere se trece apoi la calculul componentelor fazorului spațial curent: o componentă proporțională cu fluxul (I_r — componentă reactivă) și o componentă dependentă de turație (I_a — componentă activă).

În acest fel, sistemul de referință este rotitor, solidar cu fazorul spațial flux, în conformitate cu principiul orientării după cîmp.

Valoarea instantaneă obținută pentru fazorul curent este folosită pentru sintetizarea unghiului de comandă pentru redresor, dar nu se utilizează în comanda invertorului și deci a curentului propriu-zis din motor. S-a

poziție fixă în alta, exact în momentul comenzi.

Trenul de impulsuri, din care se sintetizează secvența de comandă pentru invertor, este generat de microsistem, utilizînd timerul din componența sa. Timerul, realizat cu circuitul 8253, este încărcat, pornit și oprit prin programul principal de comandană.

În sistemul prezentat, principiul orientării după cîmp este aplicat într-o variantă care folosește măsurarea direc-

utilizat acest mod de lucru, deoarece proiecțiile fazorului spațial curent după două axe perpendiculare, solidare cu fazorul flux sunt variabile în timp, în acest caz. Într-adevăr, după cum s-a arătat anterior și după cum rezultă din figura 5.22 și figura 5.23, fazorul spațial curent are 6 poziții fixe în spațiu, între care comută discret, în timp, iar fluxul resultant din întreier se rotește continuu.

Din acest motiv, principiul orientării după cîmp se aplică, în exemplul descris, într-un mod mai deosebit.

În vederea obținerii cuplului necesar la turația impusă motorului, invertorul se comandă în aşa fel încit să se asigure permanent un defațaj minim între fazorul spațial flux și fazorul spațial curent, sincronizarea fiind efectuată, prin program, după poziția fazorului flux.

Argumentul fazorului spațial curent:

$$\nu = \operatorname{arctg} \frac{I_a}{I_s}, \quad (5.52)$$

care se calculează în subrutina ③ este apoi reutilizat și în subrutina ②.

Practic, „orientarea după cîmp” se aplică în felul următor:

Impulsurile de comandă pentru invertor sunt generate de către timerul din sistem, fără participarea permanentă a unității centrale, ocupată cu execuția programului principal. Fazorul spațial curent efectuează o rotație discretă, ocupînd direcția axei imaginare a sistemului de referință fix, în momentul aplicării impulsurilor de comandă 3 și 6 dintr-o perioadă de repetiție. Sistemul de referință fix, solidar cu înfășurările motorului, este același cu cel după care se măsoară și componentele fluxului din între-fier.

În subrutina ① se determină momentul în care $\Phi_m = \Phi_q$, adică momentul în care fazorul spațial flux este orientat după axa imaginată a sistemului de referință fix, și se oprește generarea impulsurilor de comandă pentru invertor. Această oprire are loc întodeauna după ce impulsul 2 (sau 5) dintr-o perioadă a fost deja generat.

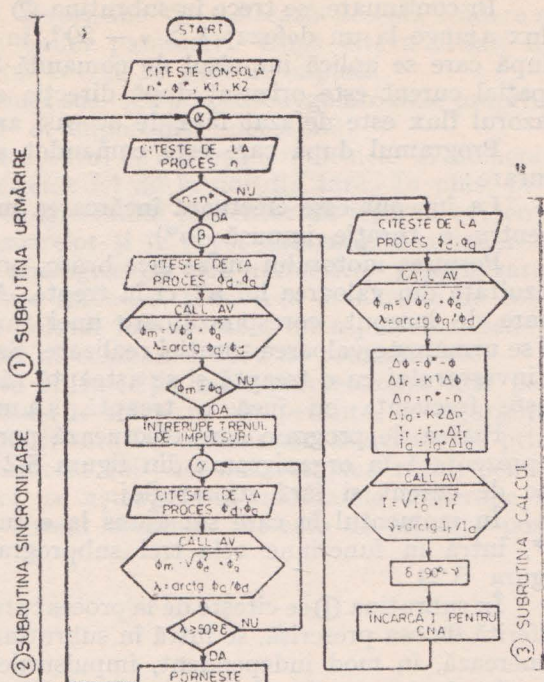


Fig. 5.24. Organograma programului principal.

În continuare, se trece în subrutina ② și se așteaptă pînă cînd fazorul flux ajunge la un defazaj $\lambda \geq v - 30^\circ$, în raport cu axa imaginară fixă, după care se aplică impulsul de comandă 3 (sau 6). În acest fel, fazorul spațial curent este orientat după direcția axei imaginare, numai după ce fazorul flux este defazat față de aceeași axă, cu cel puțin $v - 30^\circ$.

Programul după care este comandat sistemul are următoarea desfășurare:

La început este efectuată încărcarea mărimilor de prescriere necesare pentru o turație impusă (n^*).

Pornirea motorului nu se face brusc, prin comandă cu frecvența direct rezultată din valoarea lui n^* , ci în trepte. Astfel, se încarcă în timer o valoare de început, corespunzătoare unei turații mici, se pornește timerul și se urmărește valoarea turației realizate. Se mărește frecvența de comandă a invertorului cu o treaptă și se așteaptă răspunsul motorului, apoi se mărește frecvența cu încă o treaptă s.a.m.d.

Partea de program care efectuează pornirea în trepte (egale) nu este reprezentată în organograma din figura 5.24. Se realizează o pornire fără soc de curent și fără suprareglaj.

În momentul în care s-a ajuns la o turație apropiată de cea impusă n^* , intră în funcțiune cele trei subprograme principale reprezentate în figura 5.24.

În subrutina ① se citește de la proces turația curentă n . Dacă aceasta este diferită de cea prescrisă, se intră în subrutina de calcul. Între timp, timerul generează, în mod independent, impulsurile de comandă pentru invertor. După calcul, se revine la adresa ③ din subrutina de urmărire. Se verifică dacă fazorul flux are orientarea după axa fixă, imaginară. Dacă nu, se citește din nou turația curentă (ori de câte ori turația curentă diferă de cea prescrisă, se trece prin subrutina ③ pentru calculul noilor mărimi de comandă — dintre care, pentru invertor, este important v). Dacă fazorul flux este orientat după axa imaginară, se oprește generarea impulsurilor către invertor și se așteaptă pînă cînd fazorul flux ajunge la un defazaj de $v - 30^\circ$ față de această axă. Apoi se comandă, din nou, pornirea impulsurilor. Este momentul în care se aplică la invertor impulsul 3 (sau 6) dintr-o perioadă de repetiție.

În figura 5.25 se înfățează modul în care sunt generate impulsurile de comandă pentru invertor. Intervalele notate $\Delta T' > \Delta T$, includ întîrzierile introduce de subrutina ② (sincronizare) și reprezintă intervale de așteptare, pentru a se asigura defazajul minim ($v - 30^\circ$) între fazorul flux și fazorul curent.

Dacă, la un moment dat, apare o creștere în treaptă a cuplului de sarcină, după un interval de timp determinat de caracteristicile inerțiale ale siste-

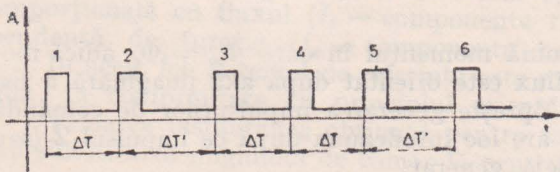


Fig. 5.25. Secvența de impulsuri sincronizate pentru comanda invertorului.

mului, turația începe să scădă. Subrutina ① sesizează această scădere și apelează subrutina de calcul a noilor parametri. După cîteva cicluri de urmărire și sincronizare, sistemul revine la turatia impusă.

Cu toate că în aplicația de mai sus, [36], lipsesc regulațoarele propriu-zise, sistemul descris prezintă o importanță deosebită.

În primul rînd, aplicația are meritul de a fi pus problemele în domeniul și de a fi o primă încercare de acest fel de la noi din țară. În plus, prin aplicarea procedeului și utilizarea sistemului prezentat au ieșit în evidență avantajele utilizării microprocesoarelor și în acest domeniu al acționărilor electrice: înlocuirea sistemelor analogice cu cele numerice, generalizarea sistemelor de reglare prin mijloace software, reducerea numărului de componente de sistem și preluarea rolului lor de către microprocesor, scădere volumului și pretului de cost al echipamentelor de comandă etc.

Cercetările viitoare, corelate cu apariția micropresesoarelor mai performante și cu dezvoltarea pe linie de software vor permite, cu siguranță, răspîndirea pe scară largă a reglării turației motoarelor asincrone pe principiul orientării după cimp, considerat [59] cel mai complex reglaj pentru motoare asincrone. În acest fel, se așteaptă ca motoarele asincrone să devină competitive cu cele de curent continuu, în ceea ce privește posibilitățile de reglare.

UTILIZAREA MICROPROCESOARELOR ÎN COMANDA ACȚIONĂRILOR CU MOTOARE PAS CU PAS

6.1. PROBLEME SPECIFICE CU PRIVIRE LA MOTORUL PAS CU PAS [43]

Motorul electric pas cu pas (*MPP*) este un convertor electromagnetic, care realizează conversia unui tren de impulsuri de comandă, aplicate înfășurărilor de fază ale motorului, într-o mișcare de rotație ce constă din deplasări unghiulare discrete, de mărime egală. Unghiul de rotație pe care îl execută rotorul, la aplicarea unui impuls de comandă, reprezintă unghiul de pas al motorului. Numărul pașilor efectuați trebuie să corespundă, în cazul unei funcționări corecte, cu numărul impulsurilor de comandă.

Majoritatea *MPP* sunt bidirectionale și permit o accelerare, oprire și reversare rapidă, fără pierderi de pași, dacă sunt comandate cu impulsuri a căror frecvență de repetiție este inferioară frecvenței limită, corespunzătoare unui cuplu rezistent și unui moment de inerție dat. Pentru extinderea funcționării motoarelor pas cu pas la viteze mai mari decât viteza corespunzătoare frecvenței limită, este necesară o accelerare prin creșterea treptată a frecvenței impulsurilor de comandă.

MPP sunt utilizate, în special, în aplicațiile unde se dorește realizarea unei mișcări incrementale, folosind sisteme de comandă numerică.

Utilizarea *MPP* conferă, în principiu, următoarele avantaje:

- a. asigură univocitatea conversiei număr de impulsuri — deplasare și pot fi utilizate în circuit deschis;
- b. gamă largă de frecvență de comandă;
- c. precizie de poziționare și rezoluție mare;
- d. permit porniri, opriri, reversări, fără pierderi de pași;

- e. memorează poziția;
 - f. sănă compatibile cu comanda numerică.
- Dezavantajele utilizării *MPP* sănă:
- a. unghi de pas, deci increment de rotație, de valoare fixă pentru un motor dat;
 - b. viteza de rotație relativ scăzută;
 - c. putere dezvoltată la arbore de valoare redusă;
 - d. randament energetic scăzut;
 - e. necesită o schemă de comandă adaptabilă la tipul constructiv;
 - f. necesită o schemă de comandă complexă pentru asigurarea unei funcționări la viteze mari.

Având în vedere aceste dezavantaje, cu deosebire cele de la punctele c, d, și f, la care se adaugă și dificultățile tehnologice care survin în fabricarea *MPP*, se constată, după o perioadă de extindere a utilizării lor în anii '70, o scădere a interesului față de utilizarea acestui tip de motoare, în ultimul timp.

6.1.1. MODALITĂȚI DE COMANDĂ A FAZELOR *MPP*

Principial, fazele *MPP* se alimentează cu impulsuri de curent de amplitudine constantă, care se comută de pe o fază pe alta, în ritmul unui tact de comandă.

În [43] se prezintă următoarele modalități de comandă (alimentare) a fazelor *MPP*:

1. comandă potențială sau prin impulsuri;
2. comandă monopolară sau bipolară;
3. comandă simetrică (simplă sau dublă) sau nesimetrică.

Un circuit concret de alimentare a fazelor unui *MPP* asigură realizarea simultană a 3. — cîte una de tip 1, una de tip 2 și una de tip 3 — — dintre cele 6 modalități de comandă prezentate mai sus.

Comanda potențială se referă la durata alimentării unei faze, în raport cu durata între două tacturi de comandă $1/f$, f fiind frecvența de comandă a *MPP*. Dacă durata alimentării unei faze este cel puțin egală cu $1/f$, atunci comanda este potențială. În acest caz, durata aplicării tensiunii pe o fază variază invers proporțional cu frecvența. Dacă durata alimentării este constantă și întotdeauna mai mică decît $1/f$, atunci este vorba de o comandă prin impulsuri.

Deși majoritatea schemelor de comutație a fazelor *MPP* sănă cu comandă potențială, s-a consacrat denumirea de comandă prin impulsuri, probabil datorită formei de variație în timp a tensiunilor de alimentare.

Comanda monopolară asigură sens unic al curentului prin fiecare înfășurare a motorului, în tot timpul funcționării. Comanda bipolară determină ca, pe parcursul unui ciclu complet de comenzi aplicate înfășurărilor, sensul curentului prin fiecare înfășurare să se schimbe succesiv.

Comanda este simetrică, dacă, la un moment dat, sănă alimentate un număr egal de faze și nesimetrică, dacă numărul fazelor alimentate simultan se schimbă alternativ la fiecare tact de comandă.

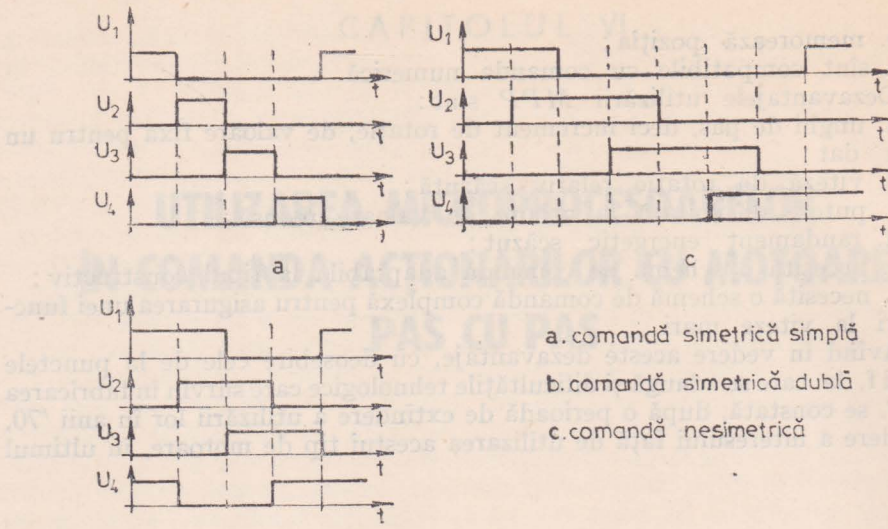


Fig. 6.1. Comanda monopolară a MPP cu patru faze.

Comanda simetrică este numită simplă sau dublă, după cum sănt alimentate câte una sau câte două înfăşurări simultan. Prin utilizarea comenzi duble, pentru un *MPP* cu patru faze se măreşte atît cuplul dezvoltat, cît și amortizarea, dar cresc consumul de putere și temperatura motorului.

În figura 6.1 sunt reprezentate formele de variație în timp a tensiunilor de alimentare pe faze, pentru comanda monopolară a unui *MPP* cu patru faze, pentru a exemplifica diferite moduri de comandă.

Pentru inversarea sensului de rotație, impulsurile reprezentate în secvențele din figura 6.1. se aplică în ordine inversă: $U_4 - U_3 - U_2 - U_1$, etc.

În figura 6.2 este reprezentat modul de comandă bipolară simetrică dublă a unui *MPP* cu patru faze. Comanda bipolară necesită o schemă de comandă complexă, care să asigure circulația curenților din înfășurări, n ambele sensuri.

6.1.2. MODELUL MATEMATIC ÎN COORDONATE REALE AL MPP [43]

Pentru descrierea matematică a unui *MPP*, se va considera un model generalizat. În caz general, un *MPP*, fiind un motor sincron modificat, poate fi considerat ca o mașină electrică cu întrefier dințat și cu m înfășurări de comandă (faze) distribuite pe stator sau rotor, înfășurări ce sănt alimentate prin impulsuri.

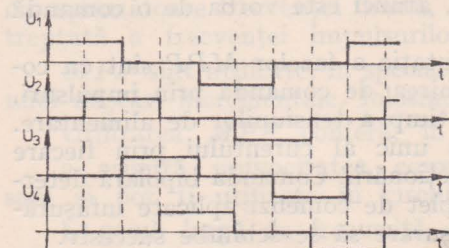


Fig. 6.2. Comanda bipolară dublă a unui MPP cu patru faze.

În afara de acestea, circuitul magnetic mai poate conține magneti permanenți sau înfășurări de excitație alimentate cu curent constant. Deoarece orice magnet permanent poate fi înlocuit cu o înfășurare de excitație fictivă, în caz general, un motor pas cu pas cu m faze poate fi considerat ca având $m + 1$ circuite electrice.

Prin analogie cu principiile din mecanica analitică, MPP poate fi considerat ca un sistem unitar de conversie electromecanic, caracterizat prin $m + 2$ coordonate generalizate (sau grade de libertate) m curenți în fazele MPP , curentul din înfășurarea de excitație și unghiul de rotație. Pentru descrierea funcționării MPP sunt necesare tot atîtea ecuații de echilibru electric și ecuația de mișcare (echilibrul dinamic al cuplurilor). Acest sistem de ecuații formează modelul polifazat în coordonate reale al MPP .

Sistemul de ecuații poate fi scris sub forma matriceală astfel :

$$\begin{aligned} [i_K][R] + \frac{d}{dt} [\psi_K] &= [u_K], \\ J \frac{d^2 \theta_m}{dt^2} + B \frac{d\theta_m}{dt} + M_r &= M_e, \end{aligned} \quad (6.1)$$

în care :

$[i_K]$ este matricea coloană a curenților cu $m + 1$ linii, ultima fiind curentul de excitație real sau echivalent;

$[R]$ — matricea diagonală a rezistențelor de dimensiuni $(m + 1) \times (m + 1)$;

$[\psi_K]$ — matricea coloană a fluxurilor totale, care se consideră aici funcții de curenți din circuitele respective ; are $m + 1$ linii, ultima corespunzînd fluxului de excitație.

J — momentul de inerție total redus al arborele MPP , considerat constant ;

B — coeficientul frecării viscoase, constant ;

M_r — cuplul rezistent redus la arbore ;

M_e — cuplul electromecanic dezvoltat de motor ;

θ_m — unghiul mecanic instantaneu al rotorului.

Ultima linie din ecuația matriceală corespunde circuitului de excitație. Dacă excitația este un magnet permanent, ea se reduce la $I_M = \text{const.}$ și sistemul va conține numai $m + 1$ ecuații diferențiale. Același lucru se poate spune și pentru cazul excitației separate, alimentată de la o sursă de curent constant.

Sistemul ecuații (6.1), scris pentru cazul general, poate fi particularizat pentru sistemele de poziționare cu diferite tipuri constructive de MPP . Această particularizare se referă și la deducerea expresiei cuplului electromagnetic, pentru fiecare tip constructiv de motor, precum și la posibilitatea de a lua sau nu în considerare saturarea circuitului magnetic. Se știe că MPP , ca orice dispozitiv de conversie electromagnetic, având în componentă sa fizică un circuit magnetic, prezintă o caracteristică neliniară, dato-

rită saturării circuitului magnetic, curenților turbionari, precum și efectului histerezis. Această caracteristică neliniară are un efect important asupra performanțelor *MPP*. În stabilirea modelului matematic al *MPP* sunt foarte dificil de modelat aceste neliniarități; chiar și în cazurile cînd se obțin modele matematice foarte exacte pentru *MPP*, ele sunt dificil de utilizat practic.

6.1.3. SCHEMA BLOC DE COMANDĂ A MPP

Performanțele unui *MPP* sunt strîns legate de tipul schemei sale de comandă. Astfel, amortizarea, frecvența maximă de mers, cuplul dinamic maxim etc, precum și randamentul sau puterea disipată depind în mare măsură de schema de alimentare utilizată.

În general, comanda unui *MPP* se face printr-un circuit electronic de putere, care alimentează secvențial înfășurările motorului. Sensul de distribuție al alimentării, ca și tipul secvenței (simetrică, nesimetrică, număr de ieșiri), precum și frecvența de comutare a înfășurărilor sunt realizate prin prelucrare logică secvențială cu circuite integrate, în timp ce curentul în fazele motorului este asigurat printr-un etaj de comutație statică forțată.

Rolul circuitului comandă este de a prelua semnale standard TTL (impulsuri de comandă și nivel de sens), a le distribui secvențial într-un număr de combinații egal cu numărul fazelor *MPP*, a le amplifica și apoi de a le aplica fazelor motorului. În acest fel, schema de comandă a unui *MPP* îmbină semnale discrete standard cu mărimi electrice de putere.

Schema bloc generală este prezentată în figura 6.3 și reprezintă comanda în circuit deschis (fără reacție) a unui *MPP*.

Impulsurile de comandă pot proveni de la un generator propriu, reglabil manual, sau de la un calculator numeric de proces.

6.1.3.1. BLOCUL CONTACTOARELOR STATICHE

Semnalele de la distribuitor trebuie amplificate pentru a transmite puterea adecvată motorului. În mod uzual, sunt folosite etaje cu tranzistoare de putere cuplate direct sau tiristoare, pentru curenți mai mari. Se deosebesc contactoare statice pentru alimentare unipolară și contactoare statice pentru alimentare bipolară, de obicei patru tranzistoare de putere în punte.

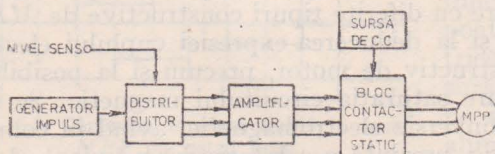
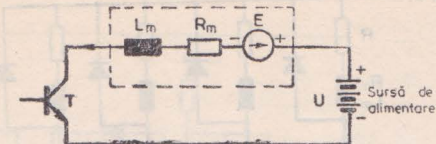


Fig. 6.3. Schema bloc de comandă și alimentare a *MPP*.

Fig. 6.4. Schema echivalentă a înfăşurării unei faze.



Înfăşurarea unui *MPP* este o sarcină rezistiv-inductivă, cu inductivitate constantă sau periodic variabilă cu unghiul de rotație. În plus, mișcarea rotorului generează o tensiune electromotoare *E*, cu sens invers față de tensiunea de alimentare. O schemă echivalentă a înfăşurării unei faze a *MPP* este reprezentată în figura 6.4.

Rezistența înfăşurării variază, datorită toleranțelor de fabricație, cu $\pm 10\%$. În plus, rezistența înfăşurării crește în timpul funcționării motorului, pentru că cele mai multe *MPP* sunt destinate a funcționa la o temperatură de ordinul a 100°C , deci practic fierbinți. Se acceptă o variație a rezistenței înfăşurării de 25% cu temperatura. Totodată, cele mai multe *MPP* sunt destinate a lucra în condiții de saturare a circuitului magnetic, mai ales cînd viteza unghiulară este scăzută, deoarece, în cazurile practice, amplitudinea impulsului de curent prin înfăşurare se modifică (crește cu scăderea vitezei de rotație). Rezultă, implicit, o variație a inductanței înfăşurării, funcție de curentul prin înfăşurare.

Circuitele de alimentare sunt de curenti mari, care utilizează tranzistoare de putere capabile să suporte vîrfuri de putere. Tranzistoarele se aleg luînd în considerare cele mai grele condiții de lucru. De asemenea, înfășurările reprezintă sarcini inductive care sunt conectate și deconectate și, deci, tranzistoarele de putere trebuie protejate contra supratensiunilor inductive tranzitorii.

Curentul prin faza motorului are expresia :

$$i(t) = \frac{U}{R_m} \left(1 - e^{-\frac{t}{T_m}} \right), \quad (6.2)$$

unde : $T_m = \frac{L_m}{R_m}$ este constanta de timp a fazei, L_m , R_m – inductivitatea proprie medie, respectiv rezistența fazei, iar U – tensiunea continuă de alimentare. Pentru ca *MPP* să răspundă la frecvențe cît mai mari, este necesar ca timpul de stabilire al curentului la valoarea $\frac{U}{R_m}$ să fie cît mai mic. Blocul contactoarelor statice trebuie să asigure și forțarea pantei curentului prin fazele motorului.

Tehnicile cunoscute de mîșorare a timpului de creștere a curentului prin faze [43] sunt :

A. Forțarea prin rezistență serie – se bazează pe mîșorarea constantei de timp T_m , prin inserarea de rezistențe cu fazele motorului; constanta de timp se reduce de la $\frac{L_m}{R_m}$ la $L_m/(R_m + R)$, iar tensiunea de alimentare crește de la $U = R_m I$ la $U_1 = (R_m + R)I$, I fiind curentul nominal

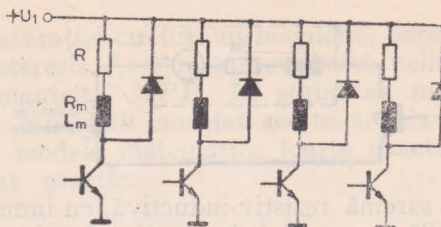


Fig. 6.5. Forțarea cu rezistență serie în cazul *MPP* cu patru faze.

al fazei (figura 6.5). Dezavantajele metodei constau în randamentul slab, datorat surplusului de putere disipată pe rezistență exterioară și accentuarea oscilațiilor în răspunsul *MPP*, precum și a fenomenului de rezonanță mecanică a motorului.

B. Forțarea prin tensiune — în care forțarea pantei curentului se face prin folosirea unei tensiuni înalte pe durata creșterii curentului în înfășurare și comutarea, apoi, la o tensiune scăzută, corespunzătoare curentului nominal. În figura 6.6 se prezintă o variantă de schemă, realizată după acest principiu, utilizată la comanda *MPP* 1,8/0,2 — Electromotor Timișoara. Caracteristicile unui astfel de motor sunt: unghi de pas $1,8^\circ$, cuplu maxim de mers $0,2 \text{ N}\cdot\text{m}$, curent nominal pe fază 1 A, patru faze. Cu schema de tipul din figura 6.6 s-a realizat frecvența maximă de avans $1,2 \text{ kHz}$, cu $0,12 \text{ N}\cdot\text{m}$ cuplu de mers [12].

În momentul aplicării impulsului de comandă, tranzistorul T_3 se deschide, iar circuitul monostabil *CDB 4121* basculează în starea nestabilă ($Q = 1$). Monostabilul comandă deschiderea tranzistorului T_2 , pe durata $\tau = R_1 C_1$ și, ca urmare, înfășurarea *MPP* este alimentată cu tensiunea înaltă U_1 . După durata τ , monostabilul revine în starea stabilă ($Q = 0$) și T_2 se blochează, iar înfășurarea rămîne alimentată de la tensiunea scăzută U_2 , pînă la sfîrșitul duratei impulsului de comandă.

Pentru un motor de putere mai mare, tip *MPP* 1,8/3 cu 4 faze și caracteristicile: unghi de pas $1,8^\circ$, cuplu maxim de mers $3N\cdot\text{m}$, curent nominal pe fază $5,3 \text{ A}$, s-a conceput o schemă de forțare în tensiune cu tiristoare [12]. Pentru fiecare dintre cele patru faze, schema conține cîte un tiristor T_P , care comută tensiunea înaltă un timp scurt. Tiristoarele principale se sting cu ajutorul unui singur tiristor de stingere și cîte un condensator C_S aferent (figura 6.7).

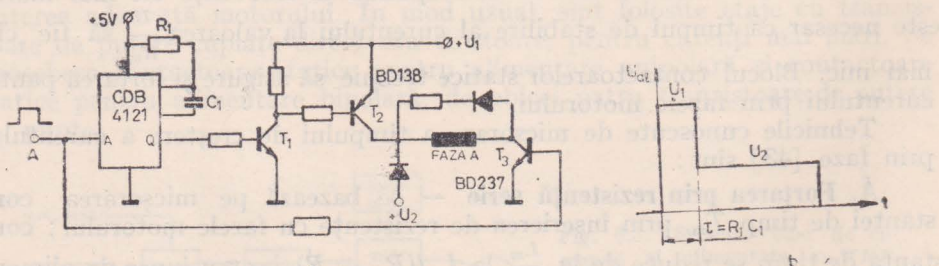


Fig. 6.6. Forțarea prin tensiune înaltă.

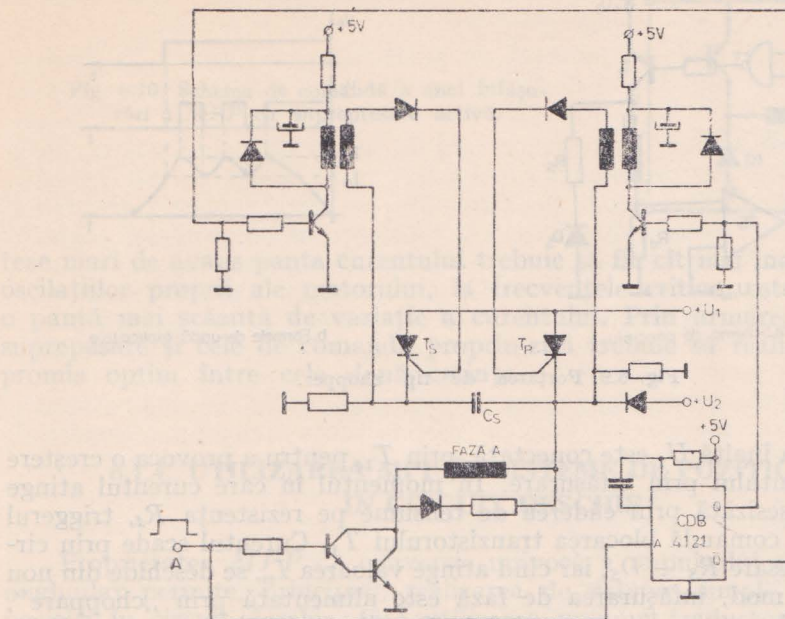


Fig. 6.7. Schema de comandă pentru o fază a unui *MPP* de curent mare, cu forțare prin tensiune.

Din exemplele prezentate se observă complexitatea schemelor de comandă implicate de utilizarea acestei metode. În plus, apare dezavantajul utilizării de elemente active (tranzistoare, tiristoare, diode) costisitoare, de curenți și tensiuni mari. Solicitarea acestor componente implică și o fiabilitate mai scăzută a schemelor.

C. Forțarea cu rezistență și condensator. — prin care panta de creștere a curentului prin fază este mărită, datorită unui curent suplimentar, de descărcare a unui condensator, prin înfășurarea motorului (figura 6.8).

Deși performanțele și randamentul sînt mai bune decît în cazul forțării cu rezistență, metoda prezintă dezavantajul unei forme oscilante a curentului prin fază și accentuarea fenomenelor oscilației ce apar în comportarea *MPP*.

D. Forțarea tip chopper — reprezintă o metodă care folosește o reacție de curent, prin care curentul de fază este silit să oscileze, cu frecvență ridicată, în jurul valorii nominale. În figura 6.9 se prezintă schema de principiu și formele de undă explicative ale metodei. O schemă de acest tip a fost utilizată pentru comanda unui motor *MPP* 1,8/3 – Elektromotor Timișoara și a permis realizarea unui cuplu de $2,4 \text{ N} \cdot \text{m}$ la o frevență de avans de 600 pași/s [1].

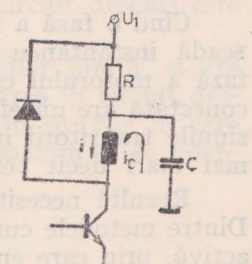
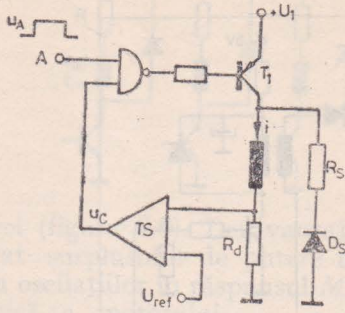
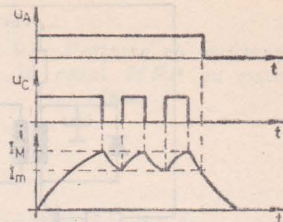


Fig. 6.8. Schema de principiu pentru forțarea prin rezistență și condensator pentru o fază a *MPP*.



a. Schema de principiu



b. Formele de undă explicative

Fig. 6.9. Forțarea de tip chopper.

Tensiunea înaltă U_1 este conectată, prin T_1 , pentru a provoca o creștere rapidă a curentului prin înfășurare. În momentul în care curentul atinge valoarea I_M , sesizată prin căderea de tensiune pe rezistența R_d , triggerul Schmitt (TS) comandă blocarea tranzistorului T_1 . Curentul scade prin circuitul de supresare $R_s - D_s$, iar cînd atinge valoarea I_m , se deschide din nou T_1 . În acest mod, înfășurarea de fază este alimentată prin „choppare”, astfel încît valoarea medie a curentului să se situeze la nivel constant. Triggerul Schmitt este realizat cu histereza $U_{pMax} - U_{pmin}$ constantă, dar valoarea tensiunilor de prag U_{pMax} și U_{pmin} se poate modifica simultan prin U_{ref} . Dacă U_{ref} se stabilește cu ajutorul unui potențiometru semireglabil, aceeași schemă de comandă se poate utiliza la mai multe tipuri de motoare, cu diferite valori ale curentului nominal prin înfășurare.

Metoda forțării tip chopper se dovedește a fi cea mai eficientă metodă de alimentare în curent constant, dar schema devine foarte complexă pentru cazul alimentării unui motor cu patru faze în secvență dublă și bipolară.

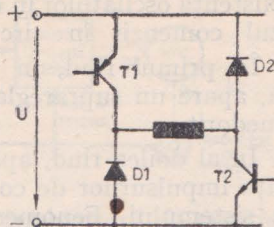
6.1.3.2. METODE DE SUPRESARE

Cînd o fază a motorului este deconectată, curentul de fază nu poate să scadă instantaneu din cauza inductivității înfășurării. Cînd următoarea fază a motorului este comandată, scăderea curentului în fază tocmai deconectată are un efect de încetinire a răspunsului motorului. În plus, tensiunile tranzistorii inductive apărute, pot atinge valori de 50–100 de ori mai mari decît tensiunea de alimentare.

Rezultă necesitatea de supresare rapidă a acestor tensiuni tranzitorii. Dintre metodele cunoscute [43], cea mai eficientă se dovedește supresarea activă, prin care energia înmagazinată în înfășurare este transmisă înapoi sursei de alimentare (figura 6.10).

Practica a dovedit că panta de variație a curentului are o influență importantă asupra vitezei maxime de avans a motorului, dar și asupra intensității de manifestare a fenomenului de rezonanță. Dacă pentru vi-

Fig. 6.10. Schema de comandă a unei infășări a MPP cu suprapresare activă.



teze mari de avans panta curentului trebuie să fie cît mai mare, atenuarea oscilațiilor proprii ale motorului, la frecvențele critice, este corelată cu o pantă mai scăzută de variație a curentului. Prin urmare, schemele de suprepasare și cele de comandă propriu-zisă trebuie să realizeze un compromis optim între cele două cerințe.

6.1.4. UTILIZAREA MPP ÎN SISTEME DE POZIȚIONARE ÎN CIRCUIT DESCHIS

Proprietatea MPP de conversie univocă a impulsului electric în pas unghiular permite, principal, realizarea de sisteme simple de reglare a poziției în circuit deschis, fără utilizarea vreunui traductor în structura lor. Pentru aceasta este însă necesară păstrarea proprietății de conversie într-un domeniu larg de condiții de lucru (viteză, cuplu).

În general, pentru un MPP dat, performanțele care se pot obține (viteză maximă, cuplu maxim, stabilitatea mișcării) depinde în mare măsură de schema de comandă. În cazul unui MPP comandat în circuit deschis, din lipsa unei bucle de reacție, nu există nici un mijloc de a sesiza dacă motorul a pierdut un impuls sau dacă viteză are un caracter oscilant. Foarte adesea, dacă frecvența impulsurilor de comandă este prea ridicată, MPP pierde total sincronismul cu impulsurile, oprindu-se pur și simplu. Frecvența impulsurilor de comandă pînă la care MPP funcționează sincron (fără pierderi de pași) scade cu creșterea sarcinii dinamice și statice.

O altă problemă legată de funcționarea MPP în circuit deschis este cea a fenomenelor oscillatorii care apar.

Dacă motorul este bine ales, pe baza caracteristicilor limită, și are asigurată o bună amortizare, el poate satisface poziționarea în circuit deschis în multe aplicații. Rezultate foarte bune se obțin în situația în care cuplul rezistent este mult mai mic (sub 1/3) decît cuplul maxim ce se poate atinge cu un motor dat.

6.1.4.1. AMORTIZAREA MPP

Este cunoscut [43] că, în cazul comenzi MPP, răspunsul la un impuls singular prezintă oscilații importante. Frecvența acestor oscilații depinde de parametrii întregului sistem electromecanic comandat.

Existența oscilațiilor în răspunsul *MPP* are cel puțin două inconveniente în cazul comenzii în circuit deschis:

a. În primul rînd, în procesul de poziționare, la oprirea în poziția impusă, apare un suprareglaj de valoare mare (pînă la 80%), ceea ce este total nedorit;

b. În al doilea rînd, apare fenomenul de rezonanță în comutație, dacă frecvența impulsurilor de comandă este egală cu frecvența proprie de oscilație a sistemului. Fenomenul de rezonanță se manifestă prin pierderea sincronismului, mișcarea rotorului devenind dezordonată, complet scăpată de sub acțiunea impulsurilor de comandă. În aplicații practice se întâlnesc situații în care rezonanța se manifestă nu numai la o singură frecvență de comandă. Valoarea frecvenței la care se manifestă rezonanța depinde de mulți factori, dintre care, nu în ultimul rînd, de valoarea curentului din înfășurare și a pantei de variație a acestuia.

Din motivele enunțate, apare necesitatea utilizării unor tehnici de amortizare a motoarelor pas cu pas, în afara îndeplinirii condiției elementare de a asigura permanent o sarcină statică la arborele motorului. Mijloacele de amortizare utilizate se împart în [43]:

1. Amortizoare mecanice externe.
2. Amortizoare electrice.
3. Amortizoare electronice.
4. Amortizare prin proiectarea *MPP*.

Fiecare dintre familiile de mijloace, indicate mai sus, aduc îmbunătățiri, dar reprezintă acțiuni asupra efectului și nu asupra cauzei fenomenului în sine.

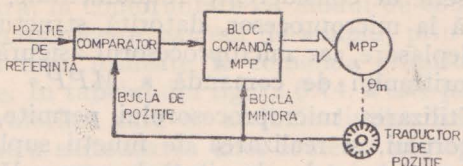
O metodă prin care se ocolește fenomenul de rezonanță este aceea în care circuitul de comandă evită generarea de impulsuri cu frecvențe de repetiție apropriate de cele de rezonanță.

6.1.5. UTILIZAREA *MPP* ÎN SISTEME DE POZIȚIONARE ÎN CIRCUIT ÎNCHIS

Caracteristica sistemelor cu *MPP* în circuit închis este că *MPP* este cuplat cu un traductor de poziție sau de deplasare, de care este legat și funcțional. Traductorul constituie, de obicei, elementul de măsurare a unghiului de rotație, de la care pleacă reacția negativă de poziție. Mărimea de referință sau poziția impusă poate fi analogică (tensiune) sau numerică (număr de impulsuri).

La acțiunile cu *MPP* este posibil ca de la traductorul de poziție să se închidă și o altă buclă, subordonată celei de reacție negativă, care are rolul de a furniza impulsurile de comandă pentru *MPP* în sincronism cu unghiul de rotație. Această buclă nu constituie o reacție negativă și nici nu este inclusă într-o buclă de reglare propriu-zisă, ci are rolul, particular, de a aplica un nou impuls de comandă, exact în momentul când pasul precedent a fost complet efectuat. Bucla este numită în literatura de specia-

Fig. 6.11. Schema bloc de utilizare a MPP în sistem cu circuit închis.



litate [43] buclă minoră, iar prin utilizarea ei, traductorul de poziție este, de fapt, generatorul impulsurilor de comandă pentru MPP.

Schema bloc pentru un sistem de poziționare cu MPP în circuit închis este prezentată în figura 6.11.

Avantajele ce se obțin prin includerea unui MPP într-un circuit de reglare închis sunt:

- viteze superioare de mers,
- stabilitate mai bună în raport cu variațiile parametrilor poziționării (în special sarcina).
- un mers mai liniștit, fără oscilații.

Toate aceste avantaje nu pot fi obținute simultan cu orice schemă de poziționare în circuit închis. În plus, complexitatea și, implicit, prețul de cost al unor astfel de sisteme este din ce în ce mai ridicat, pe măsura perfecționărilor, necesare, aduse.

Și în cazul utilizării comenzi în circuit închis, pot apărea erori în poziționare, deoarece mișcarea rotorului este controlabilă numai în unități întregi de pași, pe cind în interiorul pasului, între două poziții de echilibru vecine, mișcarea scapă de sub controlul electronic, fiind la discreția sarcinii mecanice. Cauza principală a apariției de astfel de erori este așa-numita deviație a MPP, [43] — faptul că rotorul ocupă poziții elastice în raport cu statorul. Pentru eliminarea în cît mai mare măsură a erorilor de deviație, prin controlul poziției la nivelul fracțiunii de pas, se utilizează comanda în regim de micropășire [43] a MPP, care implică însă complicarea suplimentară a schemei de comandă.

În concluzie, la vitezele de lucru și cuplurile obtenabile, MPP își găsește destul de greu justificările utilizării sale practice.

6.2. CIRCUITE DE COMANDĂ PENTRU MPP CU MICROPROCESOR

Din punct de vedere istoric, apariția și răspîndirea microprocesoarelor a coincis cu extinderea cercetărilor cu privire la utilizarea motoarelor pas cu pas. Creșterea complexității și varietății echipamentelor cu MPP a condus la probleme dificil de rezolvat, în variante electronice tradiționale, și la prețuri de cost din ce în ce mai ridicate.

La sfîrșitul anilor '70 a apărut, ca de la sine înțeleasă, utilizarea microprocesoarelor în comanda acționărilor cu MPP. Acest lucru a fost argumentat

de o serie de considerente fundamentale, ca: *MPP* permite interfațarea directă la microprocesor, datorită structurii sale de convertor discret impuls-deplasare, iar microprocesorul asigură realizarea simplă, prin program a algoritmului de comandă a *MPP*.

Utilizarea microprocesorului permite, în afara comenzi propriu-zise a motorului, și realizarea de funcții suplimentare: reglarea numerică directă, realizarea de algoritmi de comandă (comenzi de sens, funcții logice etc.), elaborarea numerică a mărimilor de referință și.a.

În aplicațiile de poziționare, *MPP* pot fi comandate cu microprocesor în circuit închis sau deschis.

6.2.1. SISTEME DE POZITIONARE ÎN CIRCUIT DESCCHIS CU MPP COMANDATE DE MICROPROCESOR

În preocupările noastre cu privire la utilizarea microprocesoarelor în acționările electrice, s-au realizat cîteva variante de circuite de comandă a *MPP* în circuit deschis [8, 11, 12].

Schema bloc a unui astfel de sistem este cea din figura 6.12.

Aplicat în comanda *MPP* în circuit deschis, microsistemu trebuie să realizeze următoarele funcții de bază:

- (F1) — Preluarea mărimilor prescrise — viteza de avans, număr de pași — din exterior (sau din memorie).
- (F2) — Sintetizarea duratei necesare a impulsurilor de comandă.
- (F3) — Distribuirea impulsurilor de comandă pe fazele *MPP*, printru-nul din porturile de ieșire ale sistemului.
- (F4) — Generarea unui număr, prescris, de impulsuri în vederea realizării pozitiei dorite în deplasare.

Acste patru funcții pot fi realizate cu un sistem în configurație minimă și cu mijloace exclusiv software. Organograma bloc a programului ce trebuie executat este prezentată în figura 6.13.

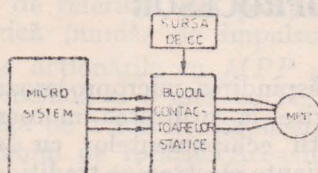


Fig. 6.12. Schema bloc pentru comanda *MPP* în circuit deschis cu microprocesor.

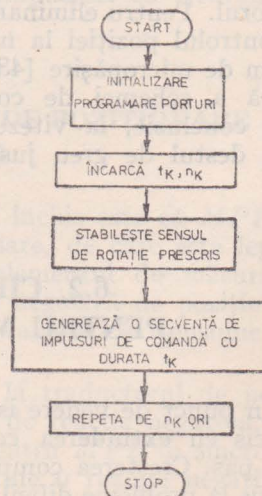


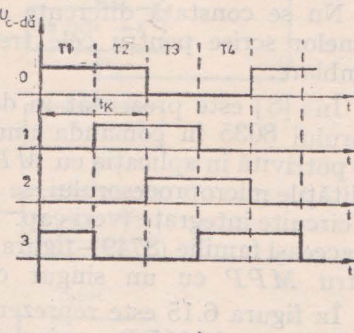
Fig. 6.13. Organograma programului de comandă pentru *MPP*.

Secvența de impulsuri necesară, în conformitate cu modul de comandă impus *MPP*, se realizează cu microprocesor extrem de simplu, prin poziționarea pe 1 sau 0 logic a unor linii, utilizate la comanda propriu-zisă, ale unuia dintre porturile de ieșire. În tabelul din figura 6.14, a este prezentată succesiunea de variație a valorilor care se atribuie liniilor de port 0÷3, dintr-un port de ieșire, pentru sintetizarea unei comenzi monopolare simetrice duble a unui *MPP* cu patru faze, adică a secvenței de impulsuri necesară, prezentată în figura 6.14, b. Cu $T_1 \div T_4$ au fost notate cele 4 intervale de timp dintr-un ciclu de comandă a motorului.

Din tabelul 6.14, a se observă că distribuirea impulsurilor de comandă, pentru care în variante tradiționale se folosesc circuite electronice de construcție dedicată-distribuitoare, în cazul utilizării microprocesorului se face prin simpla înscriere a unui număr în registrul de programare al unui port de ieșire. Numerele (codurile) corespunzătoare secvenței de comandă se păstrează în memoria sistemului și sunt apelate de programul principal, la fiecare comutare a fazelor motorului sau se sintetizează prin rotirea conținutului acumulatorului, poziționat inițial pentru starea T_1 (rotirea se efectuează fără bitul CY, cu instrucțiile de tip *RRC* sau *RLC*).

FAZA	T1	T2	T3	T4	Nr. linie PORT
1	1	1	0	0	0
2	0	1	1	0	1
3	0	0	1	1	2
4	1	0	0	1	3
VALOARE (HEXA)					
PENTRU UN PORT CU OPT LINII	09	03	06	0C	

a



b

Fig. 6.14. Secvența de stări pentru cele patru linii ale portului de ieșire prin care microsistemul comandă *MPP*.

Programele detaliate pentru comanda *MPP* realizată cu microprocesoarele 8035, 8085 și Z80 sunt prezentate mai jos [11, 8]:

8035

```
LHLD 9000H
XCHG
LXI H,9002H
MOV B,M
INR L
MOV C,M
INR L
MOV A,C
RAR
JC E1
MVI L,07
E1: PUSH D
```

8035

```
JMP E0
E0: ORL P1,#FF
MOV R2,#FA
IN A,P1
MOV R6,A
MOV R0,#00
JBO E4
MOV R0,#03
E4: DIS TCNT I
E3: MOV R1,#FF
E2: DJNZ R1,E1
DJNZ R2,E3
```

Z80

```
LD BC,(3000H)
LD DE,(3002H)
LD HL,(3004H)
LD A,E
RRA
JR C,E1
LD L,07
E1: PUSH BC
E2: PUSH HL
LD B,04
E4: LD A,(HL)
OUT (61H),A
```

E2: PUSH H	HLT: JMP HLT	PUSH DE
MVI D,04	E1: MOV R4,R0	E3: DEC DE
E4: MOV A,M	MOV R5,#04	LD A,E
OUT 21H	E9: MOV A,R4	OR A,D
PUSH B	MOVP3 A, @ A	JR NZ,E3
E3: DCX B	OUTL P2,A	POP DE
MOV A,C	MOV A,R6	INC L
ORA B	STRT T	DJNZ E4
JNZ E3	E5: JTF E6	POP HL
POP B	JMP E5	POP BC
INR L	E6: STOP TCNT	DEC BC
DCR D	INC R4	LD A,C
JNZ E4	DJNZ R5,E9	OR A,B
E5: POP H	JMP E2	JR NZ,E1
POP D		RST 08
DCX D		
MOV A,D		
ORA E		
JNZ E1		
RST 1		

Nu se constată diferențe esențiale în ceea ce privește lungimile programelor scrise pentru cele trei familii de microprocesoare, în limbaj de asamblare.

În [8] este prezentat în detaliu un exemplu de utilizare al microprocesorului 8035 în comanda unui *MPP*. Utilizarea acestui microprocesor este potrivită în aplicația cu *MPP*, pentru că, fără a utiliza la maximum posibilitățile microprocesorului, se realizează o schemă de comandă, cu numai trei circuite integrate (vezi cap. II - figura 2.5). Utilizând un alt microprocesor din aceeași familie (8749—figura 2.7, cap. II) se obține un circuit de comandă pentru *MPP* cu un singur circuit integrat.

În figura 6.15 este reprezentată organograma detaliată a unui program pentru comanda *MPP* cu microprocesorul 8035. Sistemul utilizat are structura din figura 2.5. Programul generează de un număr n_K (ce poate fi schimbat) de ori secvența de impulsuri necesară pentru comanda monopolară dublă a unui *MPP*. Cazul concret din organigramă folosește $n_K = 256000 = \text{FAFFH}$. Impulsurile de comandă se obțin pe cele patru linii $P_{24} - P_{27}$ ale portului P_2 de ieșire al microprocesorului. Viteza de avans a *MPP*, adică durata t_K a impulsurilor de comandă este preluată de microprocesor, din exterior, prin portul de intrare P_1 (pinii $P_{10} - P_{17}$). Bitul P_{10} este utilizat și ca bit de sens (b_c) al rotației impuse. Contorizarea dureatei t_K se face utilizând timerul intern (T).

Cele patru funcții de bază realizate în modul de lucru prezentat pot fi executate și cu mijloace hardware. De exemplu, funcția (F2) poate fi preluată integral de timerul sistemului, cu utilizarea sistemului de întreruperi. Funcția (F3) poate fi preluată de un distribuitor de impulsuri extern dedicat și comandat de microsistem. Funcția (F4) poate fi preluată de un al doilea timer din sistem dacă există, sau de un contor extern atașat.

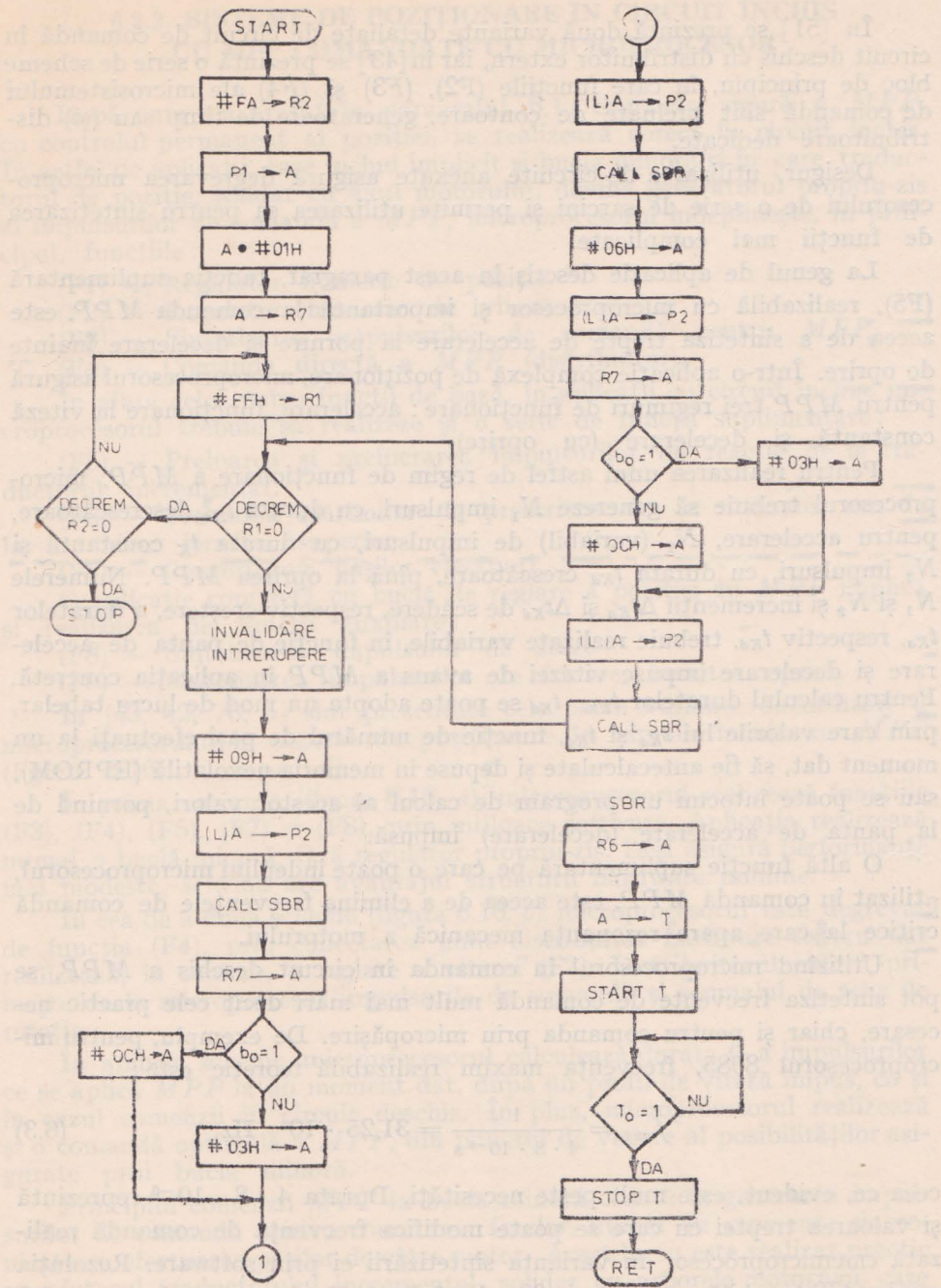


Fig. 6.15. Organigramma programului de comanda a MPP in secventa dubla monopolară.

În [51] se prezintă două variante detaliate de circuit de comandă în circuit deschis cu distribuitor extern, iar în [43] se prezintă o serie de scheme bloc de principiu, în care funcțiile (F2), (F3) și (F4) ale microsistemu lui de comandă sunt preluate de contoare, generatoare de timp sau (și) distribuitoare dedicate.

Desigur, utilizarea de circuite anexate asigură degrevarea microprocesorului de o serie de sarcini și permite utilizarea sa pentru sintetizarea de funcții mai complicate.

La genul de aplicație descris în acest paragraf, funcția suplimentară (F5), realizabilă cu microprocesor și importantă la comanda *MPP*, este aceea de a sintetiza trepte de accelerare la pornire și decelerare înainte de oprire. Într-o aplicație complexă de poziționare, microprocesorul asigură pentru *MPP* trei regimuri de funcționare: accelerare, funcționare la viteză constantă și decelerare (cu oprire).

Pentru realizarea unui astfel de regim de funcționare a *MPP*, microprocesorul trebuie să genereze N_1 impulsuri, cu durata t_{Ka} descrescătoare, pentru accelerare, N_2 (variabil) de impulsuri, cu durata t_K constantă și N_3 impulsuri, cu durata t_{Kd} crescătoare, pînă la oprirea *MPP*. Numerele N_1 și N_2 și incremenții Δt_{Ka} și Δt_{Kd} de scădere, respectiv creștere, a duratelor t_{Ka} , respectiv t_{Kd} , trebuie realizate variabile, în funcție de panta de accelerare și decelerare impuse vitezei de avans a *MPP* în aplicația concretă. Pentru calculul duratelor t_{Ka} , t_{Kd} se poate adopta un mod de lucru tabelar, prin care valorile lui t_{Ka} și t_{Kd} , funcție de numărul de pași efectuați la un moment dat, să fie antecalculate și depuse în memoria nevolatilă (EPROM), sau se poate întocmi un program de calcul al acestor valori, pornind de la panta de accelerare (decelerare) impusă.

O altă funcție suplimentară pe care o poate îndeplini microprocesorul, utilizat în comanda *MPP*, este aceea de a elimina frecvențele de comandă critice la care apare rezonanță mecanică a motorului.

Utilizând microprocesorul în comanda în circuit deschis a *MPP*, se pot sintetiza frecvențe de comandă mult mai mari decât cele practic necesare, chiar și pentru comanda prin micropășire. De exemplu, pentru microprocesorul 8085, frecvența maxim realizabilă teoretic este:

$$f_{max} = \frac{1}{4 \cdot 8 \cdot 10^{-6} s} = 31,25 \cdot 10^3 \text{ Hz.} \quad (6.3)$$

Ceea ce, evident, este mult peste necesități. Durata $4 \cdot 8 \cdot 10^{-6}$ reprezintă și valoarea treptei cu care se poate modifica frecvența de comandă realizată cu microprocesor în varianta sintetizării ei prin software. Rezoluția minimă obținabilă este, deci, $32 \cdot 10^{-6}$ (la 1 Hz frecvență de comandă) sau mai bună.

6.2.2. SISTEME DE POZITIONARE ÎN CIRCUIT ÎNCHIS CU MPP COMANDATE CU MICROPROCESOR

După cum s-a arătat în paragraful 6.1, comanda sigură a *MPP*, cu controlul permanent al poziției, se realizează corect în circuit închis. În astfel de aplicații, care includ implicit și bucla minoră și în care traductorul de poziție, solidar cu axul motorului, devine generatorul propriu-zis al impulsurilor de comandă a *MPP*, microprocesorul îndeplinește, în principal, funcțiile :

- (F1) — Regulator numeric de poziție.
- (F2) — Regulator numeric de viteză.
- (F3) — Sintetizarea impulsurilor de comandă pentru *MPP*.
- (F4) — Comanda directă a *MPP* (distribuitor).

În afara celor patru funcții de bază, în aplicații cu circuit închis, microprocesorul trebuie să realizeze și o serie de funcții suplimentare :

(F5) — Preluarea și prelucrarea impulsurilor de reacție de la traductorul incremental.

(F6) — Preluarea mărimilor de prescriere de la utilizator sau de la un nivel ierarhic superior.

(F7) — Contorizarea pașilor efectuați.

O aplicație completă cu buclă de reglare a poziției cu *MPP* implică și realizarea de funcții auxiliare :

(F8) — Sintetizarea impulsului de start.

(F9) — Sintetizarea impulsurilor de frânare, înaintea opririi.

În [43, 42, 76, 5] sunt prezentate cele patru variante de utilizare a microprocesorului în sisteme de poziționare în circuit închis cu *MPP* (figura 6.16, a, b, c, d).

În prima variantă (figura 6.16, a), microprocesorul realizează funcțiile (F3), (F4), (F5), (F7) și (F8), prin mijloace software. Aplicația realizează numai o buclă minoră, fără regulator propriu-zis. Deși asigură performanțe mai modeste, schema are avantajul structurii hardware minime.

În cea de a doua schemă (figura 6.16, b) microprocesorul este degrevat de funcția (F4), prin conectarea unui distribuitor hardware extern dar realizează, în schimb, o reglare a vitezei (F2). Distribuitorul extern primește de la microprocesor impulsurile de comandă și semnalul de sens de rotație.

În ambele scheme, microprocesorul calculează durata t_K a impulsurilor ce se aplică *MPP* la un moment dat, după un profil de viteză impus, ca și în cazul comenzii în circuit deschis. În plus, microprocesorul realizează și o comandă optimă a *MPP*, din punctul de vedere al posibilităților asigurate prin bucla minoră.

Principiul comenzii *MPP* în bucla minoră constă în generarea impulsurilor de comandă pentru comutarea fazelor, numai în momente sincronizate cu efectuarea pașilor de către motor. Acest lucru este realizat practic cu ajutorul traductorului incremental, solidar cu arborele motorului, care furnizează cîte un impuls la fiecare pas efectuat.

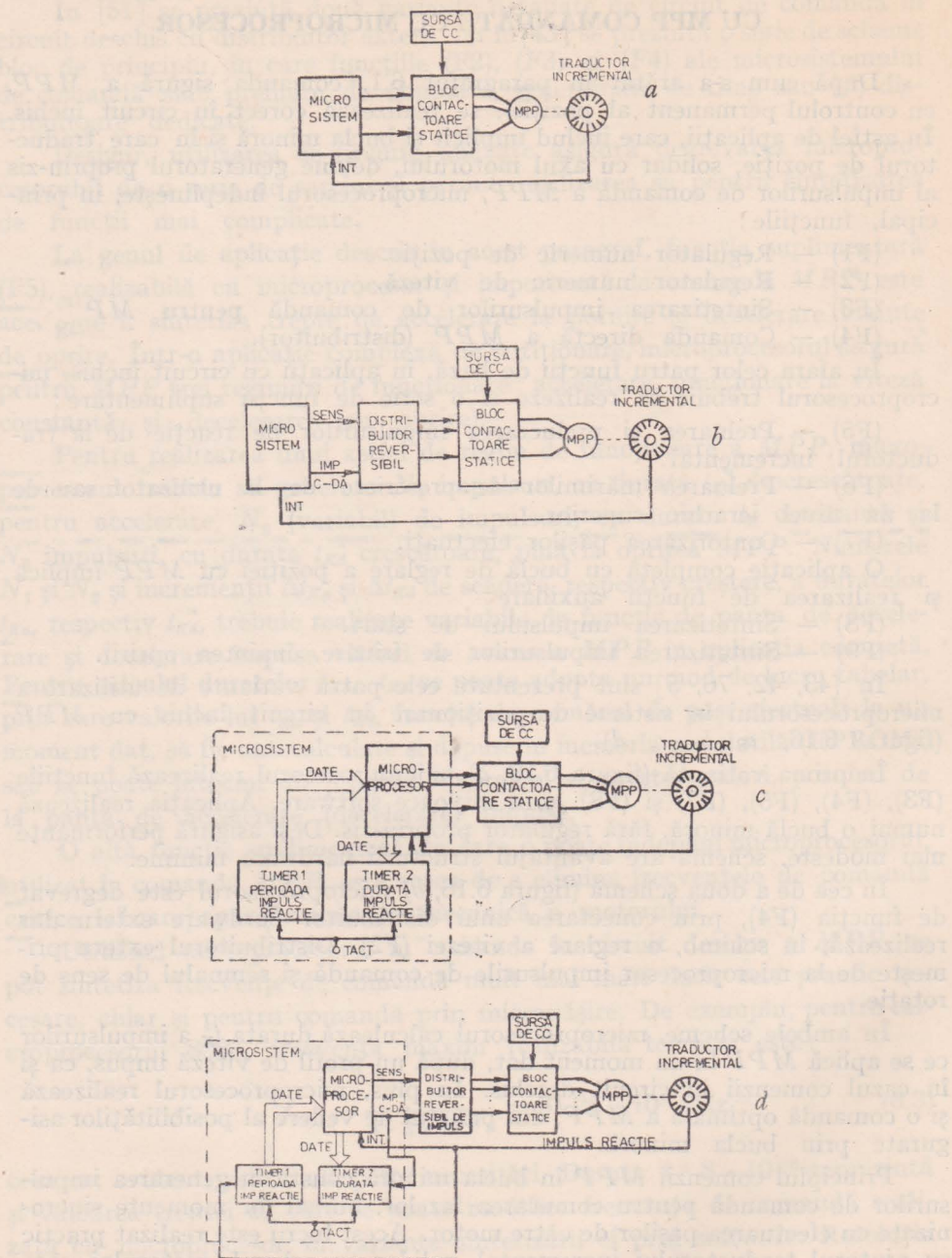


Fig. 6.16. Scheme de comandă a MPP în circuit închis cu microprocesor.

Din caracteristicile MPP se cunoaște [43] că accelerăția maximă în deplasare se obține dacă impulsurile de comandă sunt aplicate în momente optim decalate, în raport cu momentele trecerilor prin pozițiile de echilibru ale rotorului. Decalajul este optim dacă impulsul de comandă este aplicat pe timpul efectuării unui pas, de către MPP , în momentul în care cuplul este maxim.

Pentru realizarea practică a decalajului necesar, discul traductorului incremental se montează mecanic, astfel încât fantele sale să fie aliniate cu pozițiile de echilibru ale rotorului, iar senzorii fotoelectrici se montează în poziții deplasate cu un unghi α_K^{ref} , numit unghi de comutație de referință [43], întrucât comutarea fazelor MPP în regim static — la viteze joase — este realizată sincron cu impulsurile furnizate de traductor.

În acest fel, impulsurile de reacție de la traductor sunt decalate cu α_K^{ref} , în raport cu trecerile rotorului prin pozițiile de echilibru. Aceste impulsuri reprezintă tactul pentru impulsurile de comandă a MPP și, deci, și comutarea fazelor acestuia se produce la momente decalate în raport cu trecerile prin pozițiile de echilibru.

Pentru un MPP cu patru faze, unghiul optim de comutație, corespunzător cuplului maxim, în regim static — la viteze joase, este:

$$\alpha_c = \alpha_K^{opt. st.} = \alpha_K^{ref} = \frac{\pi}{4} \text{ rad.el.} \quad (6.4)$$

iar $\frac{\pi}{2}$ rad. el. este pasul electric al motorului [43].

La creșterea vitezei MPP apare necesitatea compensării timpului de creștere și scădere a curentului din faze, ceea ce impune modificarea unghiului de comutație propriu-zisă, pentru a se obține cuplu maxim:

$$\alpha_c = \alpha_K^{opt. din.} = \alpha_K^{opt. st.} - \varphi_K^{max} = \frac{\pi}{4} - \Omega_K^{med} T \cdot Z, \text{ rad.el.} \quad (6.5)$$

unde T — reprezintă o constantă de timp, având ordinul de mărime al celei corespunzătoare fazelor MPP , Ω_K^{med} — este viteza medie a MPP după K pași, iar Z , — este numărul de dinți rotorici [43].

În timpul funcționării pot apărea variații de cuplu accidentale. Ca urmare, defazajul φ_K din expresia lui α_c , notat cu φ_K^{real} , poate să se schimbe. Limitele admise pentru φ_K^{real} sunt 0 (cind $\alpha_c = \alpha_K^{ref} = \frac{\pi}{4}$) și φ_K^{max} , pentru o turăție dată a motorului.

$\varphi_K^{real} = 0$ înseamnă că impulsul de comandă este aplicat după momentul în care cuplul este maxim, pe timpul efectuării unui pas, adică se realizează un cuplu de frânare, dar în apropierea cuplului maxim, iar $\varphi_K^{real} = \varphi_K^{max}$ corespunde realizării cuplului maxim (figura 6.17).

Calculul mărimilor φ_K^{real} și φ_K^{max} este efectuat de microprocesor (F5). Înaintea sintetizării impulsului de comandă pentru MPP , microprocesorul face o comparație a lui φ_K^{real} cu valorile 0 și φ_K^{max} .

Dacă $\varphi_K^{real} > \varphi_K^{max}$, ceea ce este cauzat de un cuplu, accidental, superior celui maxim, și, deci, survine o accelerare prea mare a motorului, impulsul

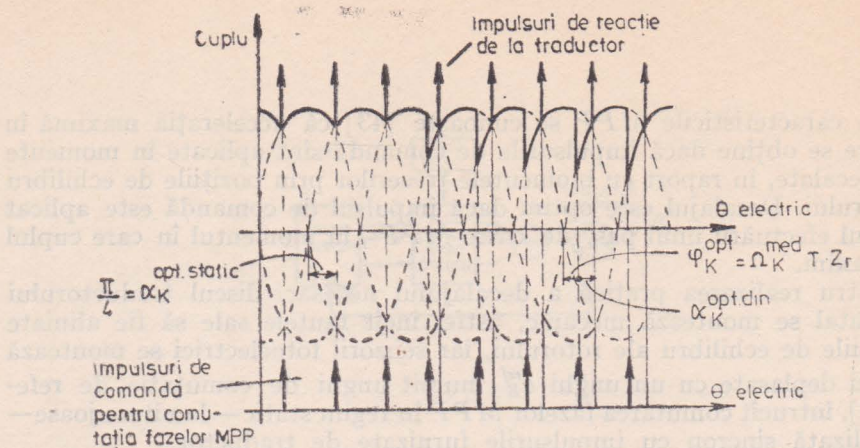


Fig. 6.17. Comanda MPP la unghiuri de comutație optimă.

sul de comandă imediat următor este suprimit, pentru a nu se ajunge la instabilitate dinamică.

$\varphi_K^{real} \leq 0$ înseamnă o frâñare nedorită a motorului. Această situație poate surveni la apariția unei puternice perturbații exterioare, pe timpul accelerării MPP sau la tendințe de pierdere a pașilor. În această situație, se generează instantaneu un impuls comandă suplimentar (se comandă efectuarea unui pas în plus).

Pe seama impulsului de comandă generat se face apoi distribuția, externă sau nu microprocesorului, a impulsurilor pe fazele MPP.

Unghiurile φ_K^{max} și φ_K^{real} sunt evaluate de către microprocesorul de comandă în unități de număr de impulsuri.

Astfel, un timer intern al microsistemuñ marchează durata constantă T . În acest interval se contorizează impulsurile de reacție de la traductor. φ_K^{max} se evaluatează prin numărul de impulsuri de reacție sosite în intervalul T . Această evaluare este corectă, întrucât la comanda optimală, numărul de impulsuri de comandă trebuie să fie egal cu cel al impulsurilor de reacție în intervalul de timp T . Avansul real la comutație φ_K^{real} se determină în aceleasi unități de măsură, prin evaluarea diferenței dintre suma impulsurilor de comandă a MPP și cea a impulsurilor de reacție [43].

Avgind în vedere considerentele de mai sus, funcția (F5) a microprocesorului pentru circuit de comandă a MPP în buclă minoră, se detaliază după cum urmează:

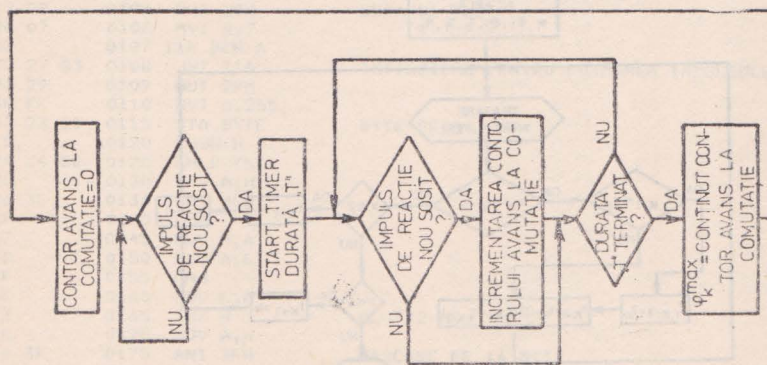
(F5A) — Calculul unghiului φ_K^{max} .

(F5B) — Limitarea superioară a lui φ_K^{real} .

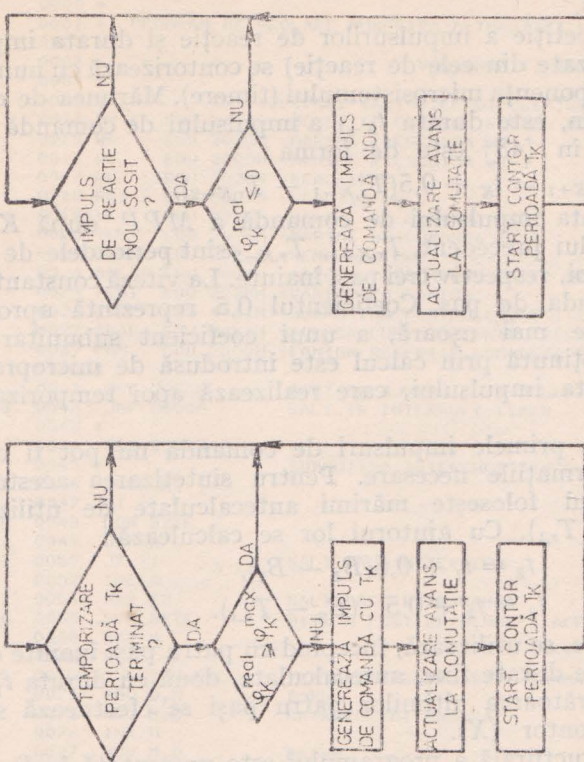
(F5C) — Limitarea inferioară a lui φ_K^{real} .

În figura 6.18 se prezintă organigramele de implementare a funcțiilor (F5A), (F5B) și (F5C) și a comenziilor care se dau în cazul neîncadrării lui φ_K^{real} în limitele admise.

În figurile 6.16, c,d, microprocesorul este utilizat într-un sistem de reglare automată a vitezei (SRA-V). Profilul de viteză din ciclul de poziționare nu este predeterminat, ci se sintetizează, în timp real, durata impulsurilor de comandă necesare la un moment dat. În acest scop, se folosește



a Determinarea lui φ_k^{\max} (F5A)



b Limitarea superioară pentru φ_{real} (F5B)

c Limitarea inferioară pentru φ_{real} (F5C)

Fig. 6.18. Organigramele subprogramelor pentru funcția (F5) implicate la comanda optimă în buclă minoră a MPP.

un algoritm de reglare numeric (*ARN*), care asigură durata minimă pentru regimul tranzitoriu și eroare nulă în regim staționar — tip *PI* cu viteză optimă de răspuns.

Perioada de repetiție a impulsurilor de reacție și durata impulsurilor de comandă (sintetizate din cele de reacție) se contorizează cu numărătoare în timp real, din compoziția microsistemului (timere). Mărimea de comandă, calculată de algoritm, este durata t_{K+1} a impulsului de comandă următor. Algoritmul utilizat în [43] este de forma:

$$t_{K+1} = t_K + 0,5(T_{r,K-1} - T_{r,K-2}), \quad (6.6)$$

unde t_{K+1} este durata impulsului de comandă a *MPP*, după K pași, t_K este durata impulsului precedent, $T_{r,K-1}$, $T_{r,K-2}$ sunt perioadele de repetiție de la traductor cu doi, respectiv trei pași înainte. La viteză constantă, $T_{r,K-1}$ devine T_0 — perioada de pas. Coeficientul 0,5 reprezintă aproximarea, pentru implementare mai ușoară, a unui coeficient subunitar pozitiv.

Valoarea t_{K+1} obținută prin calcul este introdusă de microprocesor în timerul pentru durata impulsului, care realizează apoi temporizarea propriu-zisă.

Duratele pentru primele impulsuri de comandă nu pot fi calculate, întrucât lipsesc informațiile necesare. Pentru sintetizarea acestor prime impulsuri, programul folosește mărimi antecalculate de utilizator, t_1 , B_1 , B_2 ($B_1 < B_2 < T_{r,1}$). Cu ajutorul lor se calculează:

$$t_2 = t_1 + 0,5(B_1 - B_2), \quad (6.7)$$

$$t_3 = t_2 + 0,5(B_2 - T_{r,1}). \quad (6.8)$$

Pentru decelerare, se utilizează, începând cu patru pași înainte de oprire ($N_p = 4$), impulsuri de durate fixe, antecalculate, două cu durata t_1 și două cu durata t_f . Numărătoarea ultimelor patru pași se efectuează software, cu ajutorul unui contor (X).

Organograma structurală a programului este prezentată în figura 6.19

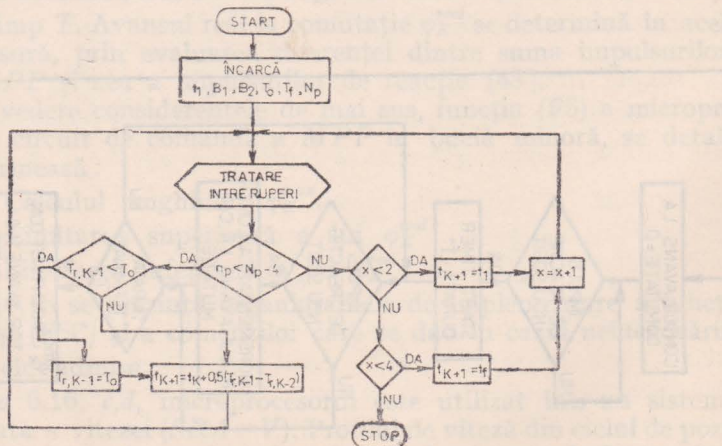


Fig. 6.19. Organograma simplificată a programului de reglare a vitezei *MPP* în circuit închis cu microprocesor.

ANEXA 1

ASMR 6

H1

```

0000      0000 *          *
0000      0001 *  PROGRAM DE REGLARE NUMERICA A TURATIEI UNUI MCC
0000      0002 *
0000      0003 *          VARIANTA TIRISTORIZATA
0000      0004 *
0000      0005 *          INITIALIZARI VARIABILE SI COEFICIENTI
0000      0014 BYTE EQU 2023H =OCTET DE CONTROL PENTRU RST 7.5
0000      0015 WK EQU 2022H =MARIME PRESCRISA WK
0000      0016 W1 EQU 200B8H =MARIME PRESCRISA WK-1
0000      0017 RK EQU 2026H =REACTIE RK
0000      0018 RK1 EQU 2027H =REACTIE RK-1
0000      0019 YK1 EQU 2028H =MARIME DE COMANDA YK
0000      0020 YK1 EQU 2024H =MARIME DE COMANDA YK-1
0000      0021 SIGN EQU 2021H =SEMN ABATERE
0000      0024 ADC0D EQU 2001H =ADRESA PRESCRIEREA DE LA DAF
0000      0025 TEST EQU 202BH =VARIABILA FANION
0000      0026 CRLF EQU 4441H =SUBRUTINA PENTRU CR,LF
0000      0027 ADAD EQU 2012H =ADRESA CURENTA PENTRU RECEPȚIE DAF
0000      0037 FAN EQU 2000H =FANION RECEPȚIE COMPLETA DAF
0000      0040 *
0000      0041 ORG 20CEH      AICI SE AJUNGE PRIN ACCEPTAREA RST 7.5
20CE C3 00 B3 0042 JMP 8300H      SALT IN INTERRUPT TIMER
0043 *
0044 ORG 8300H
0300      0045 *          SUBRUTINA INTERRUPT TIMER
8300 F5 0046 PUSH M
8301 FB 0047 EI
8302 3A 23 20 0048 LDA BYTE
8305 B7 0049 ORA A
8306 CA 21 83 0050 JZ I1      SALT DACA BYTE=ALFA
8309 3C 0052 INR A
830A C2 12 83 0054 JNZ I2      SALT DACA BYTE=GAMMA
830D 32 23 20 0055 STA BYTE      BYTE A FOSS BETA,VA FI ALFA
8310 F1 0060 POP M
8311 C9 0065 RET
8312 21 26 20 0070 I2 LXI H,RK
8315 56 0071 MOV D,M      TRATAREA PENTRU BYTE=GAMMA
8316 71 0075 MOV M,C      D=RK
8317 23 0076 INX H      RK=REZULTAT MASURA
8318 72 0077 MOV M,D
8319 E1 0088 POP H
831A E1 0089 POP H
831B FA 48 85 0090 JM R2C
831E C3 00 85 0095 JMP T
8321 3E 08 0100 I1 MVI A,B
8323 D3 29 0105 OUT 29H
8325 3E 07 0106 MVI A,7
8327 3D 0107 I1A DCR A
8328 C2 27 83 0108 JNZ I1A
8328 D3 29 0109 OUT 29H
832D 3E FF 0110 MVI A,255
832F 32 23 20 0115 STA BYTE
8332 E5 0120 PUSH H
8333 2A 24 20 0125 LHLD YK1
8336 7C 0130 MOV A,H
8337 D6 3C 0135 SUI 3CH
8339 2F 0140 CMA
833A 67 0145 MOV H,A
833B 7D 0150 MOV A,L
833C 2F 0155 CMA
833D 6F 0160 MOV L,A
833E 23 0165 INX H      HL=T/2-HL
833F 7C 0170 MOV A,H
8340 E6 3F 0175 ANI 3FH      MASCARE PE 14 BITI
8342 C6 80 0180 ADI 80H
8344 D3 2D 0185 OUT 2DH
8346 7D 0190 MOV A,L
8347 B3 2C 0195 OUT 2CH
8349 E1 0200 POP H

```

834A 3E C1	0205 MVI A,0C1H	
834C D3 28	0210 OUT 28H	START TIMER
834E F1	0215 POF M	
834F C9	0220 RET	
8350	0221 *	
8350	0223 *	SUBRUTINA MASURA
8350	0224 *	
8350	0225 ORG 2030H	IN STATIC RAM
2030 3E BC	0230 MAS MVI A,0BCH	
2032 D3 2D	0235 OUT 2DH	
2034 3E 00	0240 MVI A,0	
2036 D3 2C	0245 OUT 2CH	TIMER=5msec
2038 3E C1	0250 MVI A,0C1H	
203A 0E 00	0255 MVI C,0	
203C D3 28	0260 OUT 28H	CONTOR=0
203E DB 2A	0265 EF1 IN 2AH	START TIMER
2040 E6 08	0270 ANI B	
2042 47	0275 MOV B,A	
2043 DB 2A	0280 EF2 IN 2AH	
2045 E6 08	0285 ANI B	
2047 B8	0290 CMP R	
2048 CA 43 20	0295 JZ EF2	
204B 0C	0300 INR C	NUMARARE TRANZITII
204C C3 3E 20	0305 JMP EF1	
204F	0306 *	
204F	0308 *	SUBRUTINA DE CALCUL-ARN
204F	0309 *	
204F	0310 ORG B380H	
8380 2A 24 20	0315 ARN LHLD YK1	
8383 AF	0318 ARN1 XRA A	
8384 32 21 20	0319 STA SIGN	SIGN=0
8387 3A 26 20	0330 LDA RK	
838A 47	0335 MOV B,A	
838B 3A 22 20	0340 LDA W	
838E 90	0345 SUB B	A=W-R
838F D2 9B 83	0350 JNC C3	SALT DACA W>R
d392 2F	0355 CMA	W<R
8393 3C	0360 INR A	
8394 47	0365 MOV B,A	B=-A
8395 3E 01	0370 MVI A,1	
8397 32 21 20	0375 STA SIGN	SIGN=1
839A 28	0380 MOV A,B	A=B
839B	0384 *	
839H 57	0385 C3 MOV B,A	
839C 47	0390 MOV B,A	
839D B7	0395 ORA A	
839E 1F	0400 RAR	
839F 5F	0415 MOV E,A	
83A0 3E 00	0420 MVI A,0	
83A2 1F	0425 RAR	
83A3 4F	0430 MOV C,A	
83A4 78	0435 MOV A,B	
83A5 B3	0440 ADD E	
83A6 47	0445 MOV B,A	
83A7 7A	0450 MOV A,D	
83A8 B7	0455 ORA A	
83A9 17	0460 RAL	
83AA 5F	0465 MOV E,A	
83AB 3E 00	0470 MVI A,0	
83AD 17	0475 RAL	
83AE 57	0480 MOV D,A	
83AF 79	0485 MOV A,C	
83B0 93	0490 SUB E	
83B1 4F	0495 MOV C,A	
83B2 26	0500 MOV A,B	
83B3 9A	0505 SBB D	
83B4 47	0510 MOV B,A	
83B5 21	0515 MOV A,E	
83B6 B7	0520 ORA A	
83B7 17	0525 RAL	
83B8 54	0530 MOV E,A	
83B9 7A	0535 MOV A,D	

B3FA 17	0540	FAL		
B3FB 57	0545	MOV B,A		
B3FC 29	0550	MOV A,C		
B3FD 93	0555	SUB E		
B3FE 4F	0560	MOV C,A		
B3FF 7B	0565	MOV A,B		
B3D0 9A	0570	SEB D		
B3C1 47	0575	MOV B,A		
B3C2	0576	*	S-A EXECUTAT OPERATIA BC=378*A	
B3C2 3A 21 20	0580	LDA SIGN		
B3C5 B7	0585	ORA A		
B3C6 CA D0 B3	0590	JZ C5	SALT DACA SIGN=0	
B3C9 79	0595	MOV A,C		
B3CA 2F	0600	CMA		
B3CB 4F	0605	MOV C,A		
B3CC 7B	0610	MOV A,B		
B3CD 2F	0615	CMA		
B3CE 47	0620	MOV B,A		
B3CF 03	0625	INX R	SIGN=1 ; BC=-BC	
B3D0 09	0630	CS DAD R	HL=HL+IC	
B3D1 3E 01 *	0635	MVI A,1		
B3D3 32 21 20	0640	STA SIGN	SIGN=1	
B3D6 3A 27 20	0645	LIA RM1		
B3D9 47	0650	MOV B,A		
B3DA 3A 0B 20	0655	LIA U1		
B3DD 90	0660	SUB R	A=W-R	
B3DE B2 E9 B3	0665	JNC CB	SALT DACA W>=R	
B3E1 2F	0670	CMA	W<R	
B3E2 3C	0675	INR A		
B3E3 47	0680	MOV B,A	B=-A	
B3E4 AF	0685	XRA A		
B3E5 32 21 20	0690	STA SIGN	SIGN=0	
B3E8 7B	0695	MOV A,B	A=-B	
B3E9	0699	*		
B3E9 47	0700	CB MOV B,A		
B3EA 4F	0705	MOV C,A		
B3EB B7	0710	ORA A		
B3EC 1F	0715	RAR		
B3ED 5F	0720	MOV E,A		
B3EE 3E 00	0725	MVI A,0		
B3F0 1F	0730	RAR		
B3F1 57	0735	MOV B,A		
B3F2 7B	0740	MOV A,E		
B3F3 1F	0745	RAR		
B3F4 5F	0750	MOV E,A		
B3F5 7A	0755	MOV A,D		
B3F6 1F	0760	RAR		
B3F7 57	0765	MOV D,A		
B3F8 81	0770	ADD C		
B3F9 4F	0775	MOV C,A		
B3FA 7B	0780	MOV A,B		
B3FB BB	0785	ADC E		
B3FC 47	0790	MOV B,A		
B3FD B7	0795	ORA A		
B3FE 7B	0800	MOV A,E		
B3FF 1F	0805	RAR		
B400 5F	0810	MOV E,A		
B401 7A	0815	MOV A,D		
B402 1F	0820	RAR		
B403 81	0825	ADD C		
B404 4F	0830	MOV C,A		
B405 7B	0835	MOV A,B		
B406 BB	0840	ADC E		
B407 47	0845	MOV B,A		
B408	0846	*	S-A EXECUTAT OPERATIA BC=353*A	
B408 3A 21 20	0850	LDA SIGN		
B40B B7	0855	ORA A		
B40C CA 16 84	0860	JZ C10	SALT DACA SIGN=0	
B40F 79	0865	MOV A,C		
B410 2F	0870	CMA		
B411 4F	0875	MOV C,A		
B412 7B	0880	MOV A,B		

8413 2F	0885 CMA	
8414 47	0890 MOV R,A	
8415 03	0895 INX R	SIGN=1 ; RC=-RG
8416 09	0900 C10 DAD B	HL=HL+RC
8417 3A 2B 20	0905 LIA TEST	
841A B7	0910 ORA A	SALT DACA TEST=0
841B CA 2A 84	0915 JZ C14	TEST=1
841E 3E 71	0920 MVI A,71H	TEST DEPASIRE SUPERIOARA
8420 BC	0925 CMP H	
8421 B2 32 84	0930 JNC C15	
8424 21 20 1C	0935 LXI H,7200	CORECTIE DEPASIRE
8427 C3 32 84	0940 JMP C15	
842A 7C	0945 C14 MOV A,H	TEST DEPASIRE INFEROARA
842B B7	0950 ORA A	
842C F2 32 84	0955 JP C15	CORECTIE DEPASIRE
842F 21 00 00	0960 LXI H,0	YK=REZULTAT CORECTAT
8432 22 28 20	0965 C15 SHLD YK	
8435 C9	0970 RET	
8436	0985 *	PROGRAMUL PRINCIPAL
8436	0990 *	
8436	0995 *	
8436	1000 ORG 8480H	
8480 31 FE BF	1001 LXI H,0FFFEH	INITIALIZARE STIVA
8483 AF	1005 XRA A	
8484 32 22 20	1007 STA WK	INITIALIZARI VARIABILE
8487 32 26 20	1020 STA RK	
848A 32 C9 20	1022 STA 20CH	ADRESA LOW PENTRU RST 6.5 ESTE 00
848D 32 27 20	1025 STA RK1	
8490 32 00 20	1026 STA FAN	
8493 32 28 20	1030 STA YK	
8496 32 29 20	1031 STA YK+1	
8499 3E 01	1032 MVI A,1	PROGRAMARE PORTURI 29H S1 2AH
849B B3 28	1033 OUT 28H	
849D 3E 0'	1034 MVI A,?	ACEASTA ESTE INSIRUCTIONEA SIM
849F 30	1035 DB 30H	
84A0 3E 87	1036 MVI A,87H	ADRESA HIGH PENTRU RST 6.5 ESTE 87H
84A2 32 C6 20	1037 STA 20CAH	
84A5 C3 00 85	1042 JMP T	
84A8	1043 *	
84A8	1044 T ORG 8500H	
8500 3A 28 20	1045 LDA YK	
8503 32 24 20	1050 STA YK1	YK1-YK (LOW)
8506 3A 29 20	1055 LDA YK+1	
8509 32 25 20	1060 STA YK1+1	YK1+YK (HIGH)
850C AF	1070 XRA A	
850D 32 2B 20	1080 STA TEST	
8510 3A 22 20	1090 LDA WK	
8513 32 0B 20	1095 STA W1	W1=WK
8516 3A 00 20	1120 LDA FAN	
8519 FE 02	11220 CPI 2	
851B C2 28 85	11230 JNZ PP1	
851E 3A 01 20	11240 LDA ABCDH	
8521 32 22 20	11250 STA WK	
8524 AF	11251 XRA A	
8525 32 00 20	11252 STA FAN	
8528	11257 *	
8528 3A 25 20	11260 PP1 LDA YK1+1	
852B FE 3C	11270 CPI 3CH	
852D FA 70 85	11280 JM PP2	SALT IN REGIMUL 1 SAU 3
8530	11285 *	
8530 3E BB	11290 R2 MVI A,ODDH	REGIMUL 2
8532 32 23 20	11300 STA BYTE	BYTE=GAMMA 2
8535 3E 04	11301 MVI A,4	
8537 B3 29	11302 OUT 29H	COMANDA TH1
8539 3E 07	11303 MVI A,7	
853B 3D	11304 R2T DEC A	INTIRZIERE PENTRU FORMAREA IMPULSULUI
853C C2 3B 85	11305 JNZ R2T	
853F B3 29	11306 OUT 29H	
8541 3C	11307 INR A	
8542 32 2B 20	11308 STA TEST	TEST=1
8545 C3 30 20	11310 JMP MAS	
8548 AF	11320 R2C XRA A	

8549 32 23 20	1325 STA BYTE	BYTE=ALFA
854C 2A 24 20	1330 LHLB YK1	
854F 7C	1340 MOV A,H	
8550 D6 3C	1350 SUI 3CH	
8552 32 25 20	1360 STA YK1+1	YK1=YK1-T/2
8555 E6 3F	1376 ANI 3FH	
8557 C6 80	1380 ADI 80H	
8559 D3 2D	1390 OUT 2DH	
855B 7D	1400 MOV A,L	
855C D3 2C	1410 OUT 2CH	TIMER=YK1
855E 3E C1	1420 MVI A,0C1H	
8560 D3 28	1430 OUT 2BH	START TIMER
8562 CD 83 83	1440 CALL ARN1	
8565 76	1455 HLT	
8566 3A 23 20	1460 R2A LDA BYTE	
8569 B7	1470 DRA A	
856A C2 66 85	1480 JNZ R2A	SALT DACA BYTE<>ALFA
856D C3 00 85	1490 JMP T	SALT DACA BYTE=ALFA
8570	1495 *	
8570 FE 01	1500 PP2 CPI :	
8572 D2 91 85	1510 JNC R1	SALT IN REGIMUL 1
8575	1519 *	REGIMUL 3
8575 3E FF	1520 R3 MVI A,25	
8577 32 23 20	1530 STA BYTE	BYTE=BETA
857A 3C	1540 INR A	
857B D3 2C	1550 OUT 2CH	
857D 3E BC	1560 MVI A,0BCH	
857F D3 2D	1570 OUT 2DH	TIMER=T/2
8581 3E C1	1580 MVI A,0C1H	
8583 D3 28	1590 OUT 2BH	START TIMER
8585 CD 80 83	1600 CALL ARN	
8588 76	1610 HLT	
8589 3E 23	1620 MVI A,23H	
858B 32 23 20	1630 STA BYTE	BYTE=GAMMA 1
858E C3 30 20	1640 JMP MAS	
8591	1645 *	REGIMUL 1
8591 3E 04	1650 R1 MVI A,4	
8593 D3 29	1660 OUT 29H	AMORSARE TR
8595 3E 07	1661 MVI A,7	
8597 3D	1662 R1T DCR A	
8598 C2 97 85	1663 JNZ R1T	FORMARE IMPULSE
859B D3 29	1664 OUT 29H	
859D AF	1670 XRA A	
859E 32 23 20	1680 STA BYTE	BYTE=ALFA
85A1 3A 24 20	1690 LDA YK1	
85A4 D3 2C	1700 OUT 2CH	
85A6 3A 25 20	1710 LDA YK1+1	
85A9 E6 3F	1720 ANI 3FH	
85AB C6 80	1730 ADI 80H	
85AD D3 2D	1740 OUT 2DH	TIMER=YK1
85AF 3E C1	1750 MVI A,0C1H	
85B1 D3 28	1760 OUT 2BH	START TIMER
85B3 CD 80 83	1770 CALL ARN	
85B6 76	1780 HLT	
85B7 3A 23 20	1790 R1A LDA BYTE	
85BA B7	1800 DRA A	
85BB C2 B7 85	1810 JNZ R1A	SALT DACA BYTE<>ALFA
85BE 3E 23	1820 MVI A,23K	BYTE=ALFA
85C0 32 23 20	1830 STA BYTE	BYTE=GAMMA 1
85C3 C3 30 20	1840 JMP MAS	
85C6	1980 *	
85C6	1985 *	SUBRUTINA INTERRUPT DAF
85C6	1990 *	
85C6	2000 ORG 8700H	
8700 F5	2010 PUSH M	
8701 C5	2020 PUSH B	
8702 3A 00 70	2030 LDA 7000H	
8705 CD 36 43	2040 CALL 4336H	TRANSFORMA A (DAF) IN B (ASCII)
8708 E3	2041 XTHL	
8709 E3	2042 XTHL	
870A E3	2043 XTHL	
870B E3	2044 XTHL	

870C E3 2045 XTHL
 870D E3 2046 XTHL
 870E E3 2047 XTHL
 870F E3 2048 XTHL
 8710 CD 36 44 2050 CALL 4436H
 8713 3A 00 20 2060 LDA FAN
 8716 B7 2070 ORA A
 8717 C2 2A 87 2080 JNZ ED1
 8718 78 2090 MOV A,B
 871B CD 65 45 2100 CALL 4565H
 871E 32 01 20 2110 STA ADCOD
 8721 3E 01 2120 MVI A,1
 8723 32 00 20 2130 STA FAN
 8726 C1 2140 POP B
 8727 F1 2150 POP M
 8728 FB 2160 EI
 8729 C9 2170 RET
 872A 78 2180 ED1 MOV A,B
 872B CD 65 45 2190 CALL 4565H
 872E 47 2200 MOV B,A
 872F E5 2210 PUSH H
 8730 21 01 20 2220 LXI H,ADCOD
 8733 7E 2230 MOV A,M
 8734 07 2240 RLC
 8735 07 2250 RLC
 8736 07 2260 RLC
 8737 07 2270 RLC
 8738 B0 2280 ORA B
 8739 77 2290 MOV M,A
 873A E1 2300 POP H
 873B 3E 02 2310 MVI A,2
 873D 32 00 20 2320 STA FAN
 8740 CD 41 44 2330 CALL CRLF
 8743 C1 2340 POP B
 8744 F1 2350 POP M
 8745 FB 2360 EI
 8746 C9 2370 RET
 8747 2375 *

INTIRZIERE CERUTA DE INTERFATA CU DAF-UL
TRIMITE B (ASCII) CATRE DAF

SALT DADA FAN)=1
 FAN=0 ; A=CARACTER ASCII
 CONVERSIE A (ASCII) IN A (HEXA)
 DEPOZITARE PROVIZORIE
 FAN=1
 FAN=1 ; A=CARACTER ASCII
 CONVERSIE A (ASCII) IN A (HEXA)
 B=MULTIMUL CARACTER RECEPȚIONAT (HEXA)
 A=PRIMUL CARACTER RECEPȚIONAT (HEXA)
 FORMARE OCTET DIN CELE 2 CARACTERE
 ADCOD=VALDARE RECEPȚIONATA

FAN=2 (RECEPTIE COMPLETA)
 CAR RETURN , LINE FEED

ASSEM 6

0000 0000 *
0000 0001 * PROGRAM DE REGLARE NUMERICA A TURATIEI UNUI MCC
0000 0002 *
0000 0003 * VARIANTA TRANZISTORIZATA
0000 0004 *
0000 0005 * INITIALIZARI VARIABILE SI COEFICIENTI
0000 0006 SRK EQU 202CH =SEMN RK
0000 0007 SRK1 EQU SRK+1 =SEMN RK1
0000 0008 SW EQU SRK+2 =SEMN WK
0000 0009 SW1 EQU 200BH =SEMN W1
0000 0010 YT EQU 201EH =MARIME DE COMANDA PENTRU TIMER
0000 0011 D0 EQU 2015H =COEFICIENT d1
0000 0012 D1 EQU 2017H =COEFICIENT d0
0000 0014 BYTE EQU 2023H =OCTET DE CONTROL PENTRU RST 7.5
0000 0015 WK EQU 2022H =MARIME PRESCRISA WK
0000 0016 W1 EQU 200BH =MARIME PRESCRISA WK-1
0000 0017 RK EQU 2026H =REACTIE rk
0000 0018 RK1 EQU 2027H =REACTIE rk-1
0000 0019 YK EQU 2028H =MARIME DE COMANDA yk
0000 0020 YK1 EQU 2024H =MARIME DE COMANDA yk-1
0000 0021 SIGN EQU 2021H =SEMN ARATERE
0000 0022 KR EQU 200CH =COEFICIENT kr
0000 0023 TI EQU 200EH =COEFICIENT Ti
0000 0024 ADCOD EQU 2001H =ADRESA PRESCRIERE DE LA DAF
0000 0025 TEST EQU 2028H =VARIABILA FANION
0000 0026 CRLF EQU 4441H =SUBRUTINA PENTRU CR,LF
0000 0027 ADAD EQU 2012H =ADRESA CURENTA PENTRU RECEPȚIE DAF
0000 0028 ADIN EQU 2019H =ADRESA INITIALA PENTRU RECEPȚIE DAF
0000 0029 ADSI EQU 2014H =SEMN ADCOD
0000 0030 OU EQU 4437H =SUBRUTINA OUT DAF (ASCII)
0000 0031 MES1 EQU 00100H ADRESA MESAJ 1
0000 0032 MES2 EQU 00140H ADRESA MESAJ 2
0000 0033 MES3 EQU 00180H ADRESA MESAJ 3
0000 0034 MES4 EQU 00200H ADRESA MESAJ 4
0000 0035 HOUT EQU 456DH =SUBRUTINA OUT DAF (HEXA)
0000 0036 SCRN EQU 45ADH =SUBRUTINA PENTRU EDITAREA DE TEXTE PE DAF
0000 0037 FAN EQU 2000H =FANION RECEPȚIE COMPLETA DAF
0000 0040 *
0000 0041 ORG 20CEH AICI SE AJUNGE PRIN ACCEPTAREA RST 7.5
20CE C3 00 88 0042 JMP 8800H SALT IN INTERRUPT TIMER
20D1 0043 *
20D1 0044 ORG 8800H
8800 0045 * SUBRUTINA INTERRUPT TIMER
8800 F5 0046 PUSH M
8801 FB 0047 EI
8802 3A 23 20 0048 LDA BYTE
8805 B7 0049 ORA A
8806 CA 2D 88 0050 JZ I1 SALT DACA BYTE=ALFA
8809 3C 0052 INR A
880A C2 12 88 0054 JNZ I2 SALT DACA BYTE=GAMMA
880D 32 23 20 0055 STA BYTE BYTE A POST BETA,VA FI ALFA
8810 F1 0060 POF M
8811 C9 0065 RET
8812 F5 0069 12 PUSH M TRATAREA PENTRU BYTE=GAMMA
8813 21 26 20 0070 LXI H,RK
8816 56 0071 MOV D,M D=RK
8817 71 0075 MOV H,C RK=REZULTAT MASURA
8818 23 0076 INX H
8819 72 0077 MOV M,D RK1=D
881A 2E 2C 0078 MVI L,20CH HL=ADRESA SRK
881C 56 0079 MOV D,M D=SRK
881D DB 08 0080 IN B PRELUARE SEMN REACTIE
881F E6 01 0081 ANI 1 MASCARA
8821 77 0084 MOV M,A SRK=A
8822 F1 0085 POP M RESTAURARE FLAGURI (I2)
8823 23 0086 INX H HL=ADRESA SRK1
8824 72 0087 MOV M,D SRK1=D
8825 E1 0088 POF H IGNORARE PSW SALVAT INITIAL
8826 E1 0089 POF H IGNORARE ADRESA DE INTOARCERE IN PROGRAMUL APELANT

8827 FA 92 85	0090	JM R2C	BYTE=GAMMA J
8828 C3 00 85	0095	JMF T	BYTE=GAMMA I
8820 D3 29	0100	I1 OUT 29H	TRATAREA FENTRU BYTE-ALFA
882F 3E FF	0110	MVI A,255	
8831 32 23 20	0115	STA BYTE	BYTE=BETA
8834 E5	0120	PUSH H	
8835 2A 1E 20	0125	LHLD YT	
8838 7C	0130	MOV A,H	
8839 D6 3C	0135	SUI 3CH	
883B 2F	0140	CMA	
883C 67	0145	MOV H,A	
883D 70	0150	MOV A,I	
883E 2F	0155	CMA	
883F 6F	0160	MOV L,A	
8840 23	0165	INX H	HL=T/2+HL
8841 7C	0170	MOV A,H	
8842 E6 3F	0175	ANI 3FH	MASCARE PE 14 BITI
8844 C6 80	0180	ADI 80H	MOD DE LUCRU 2
8846 D3 20	0185	OUT 2DH	TIMER HIGH
8848 70	0190	MOV A,L	
8849 D3 20	0195	OUT 2CH	TIMER LOW
884B E1	0200	FOP H	
884C 3E C1	0205	MVI A,0C1H	
884E D3 28	0210	OUT 2BH	START TIMER
8850 F1	0215	POP M	
8851 C9	0220	RET	
8852	0221	*	
8852	0223	*	SUBRUTINA MASURA
8853	0224	*	
8852	0225	ORG 2030H	IN STATIC RAM
2030 3E BC	0230	MAS MVI A,0BCH	
2032 D3 2B	0235	OUT 2BH	
2034 3E 00	0240	MVI A,0	
2036 D3 2C	0245	OUT 2CH	TIMER=5msec
2038 3E C1	0250	MVI A,0C1H	
203A 0E 00	0255	MVI C,0	CONTOR=0
203C D3 2B	0260	OUT 2BH	START TIMER
203E DB 2A	0265	EF1 IN 2AH	
2040 E6 08	0270	ANI B	
2042 47	0275	MOV B,A	
2043 DB 2A	0280	EF2 IN 2AH	
2045 E6 08	0285	ANI B	
2047 BB	0290	CMP B	
2048 CA 43 20	0295	JZ EF2	
2048 0C	0300	INR C	NUMARARE TRANZITII
204C C3 42 20	0305	JMP EF2-1	
204F	0306	*	
204F	0308	*	SUBRUTINA DE CALCUL-ARN
204F	0309	*	
204F	0310	ORG 8880H	
8880 2A 24 20	0315	ARN LHLD YN1	
8883 AF	0318	ARN1 XRA A	
8884 32 21 20	0319	STA SIGN	SIGN=0
8887 3A 2C 20	0320	LDA SRN	
888A 47	0321	MOV B,A	
888B 3A 2E 20	0322	LDA SW	
888E A8	0323	XRA B	
888F C2 B3 88	0324	JNZ A2	SALT FENTRU SEMNE DIFERITE
8892 B0	0325	URR B	SEMNE IDENTICE
8893 3A 26 20	0330	LDA RN	
8896 47	0335	MOV B,A	
8897 3A 22 20	0340	LDA WN	
889A C2 AD 88	0341	JNZ A3	SALT DACA W>0 SI R<0
889D 90	0345	SUB B	W>0 SI R>0 ; A=W-R
889E B2 D4 88	0350	A4 JNC C3	SALT DACA W=R
88A1 2F	0351	CMA	
88A2 3C	0352	INR A	
88A3 47	0353	MOV B,A	
88A4 3E 01	0354	MVI A,1	
88A6 32 21 20	0355	STA SIGN	SIGN=1
88A9 78	0356	MOV A,B	
88AA C3 D4 88	0357	JMP C3	

88AD 4F	0358 A3 MOV C,A	
88AE 78	0359 MOV A,B	
88AF 91	0360 SUB C	A=R-W
88B0 C3 9E 88	0361 JMP A4	
88B3 A8	0362 A2 XRA B	
88B4 3A 26 20	0363 LDA RK	
88B7 47	0364 MOV B,A	
88B8 3A 22 20	0365 LDA WK	
88B9 C2 C7 88	0366 JNZ AS	SALT DACA W<0 SI R>=0
88BE 80	0367 ADD B	W>=0 SI R<0 ; A=W+R
88BF D2 D4 88	0368 JNC C3	
88C2 3E FF	0369 MVI A,255	CORECTIE DEPASIRE
88C4 C3 D4 88	0370 JMP C3	
88C7 80	0371 A5 ADD B	A=W+R
88C8 47	0372 MOV B,A	
88C9 3E 01	0374 MVI A,1	
88CB 32 21 20	0375 STA SIGN	SIGN=1
88CE 78	0376 MOV A,B	
88CF D2 D4 88	0378 JNC C3	
88D2 3E FF	0380 MVI A,255	CORECTIE DEPASIRE
88D4 EB	0390 C3 XCHG	
88D5 2A 15 20	0400 LHLD D0	
88D8 CD 70 87	0410 CALL INO	INMULTIRE CU d0
88DB AF	0635 XRA A	
88DC 32 20 20	0640 STA SIGN	SIGN=0
88DF 3A 2D 20	0641 LDA SRK1	
88E2 47	0642 MOV B,A	
88E3 3A 0B 20	0643 LDA SW1	
88E6 A8	0644 XRA B	
88E7 C2 0B 89	0645 JNZ A6	SALT PENTRU SEMNE REFERITE SEMNE IDENTICE
88EA B0	0646 ORA B	
88EB 3A 27 20	0647 LDA RK1	
88EE 47	0648 MOV B,A	
88EF 3A 0B 20	0649 LDA W1	
88F2 CA 05 89	0650 JZ A7	SALT DACA W>=0 SI R>=0
88F5 90	0651 SUB B	W<0 SI R<0 ; A=W-R
88F6 D2 2C 89	0652 AB JNC CB	SALT DACA W>=R
88F9 2F	0653 CMA	
88FA 3C	0654 INR A	
88FB 47	0655 MOV B,A	
88FC 3E 01	0660 MVI A,1	
88FE 32 21 20	0661 STA SIGN	N=1
8901 78	0662 MOV A,B	
8902 C3 2C 89	0663 JMP CB	
8905 4F	0664 A7 MOV C,A	
8906 78	0665 MOV A,B	
8907 91	0666 SUB C	A=R-W
8908 C3 F6 88	0667 JMP AB	
8908 A8	0668 A6 XRA B	
890C 3A 27 20	0669 LDA RK1	
890F 47	0670 MOV B,A	
8910 3A 0B 20	0675 LDA W1	
8913 CA 1F 89	0676 JZ A9	SALT DACA W>=0 SI R<0
8916 80	0677 ADD B	A=W+R
8917 D2 2C 89	0678 JNC CB	
891A 3E FF	0679 MVI A,255	CORECTIE DEPASIRE
891C C3 2C 89	0680 JMP CB	
891F 80	0685 A9 ADD B	A=W+R
8920 47	0686 MOV B,A	
8921 3E 01	0687 MVI A,1	
8923 32 21 20	0688 STA SIGN	SIGN=i
8926 78	0689 MOV A,B	
8927 D2 2C 89	0690 JNC CB	
892A 3E FF	0695 MVI A,255	CORECTIE DEPASIRE
892C EB	0700 CB XCHG	
892D 2A 17 20	0710 LHLD D1	
8930 CD 70 87	0720 CALL INO	INMULTIRE CU d1
8933 C9	0970 RET	REZULTATUL NECORECTAT SE AFLA IN HL
8934	0985 *	
8934	0990 *	
8934	0995 *	
8934	1000 ORG 84AOH	PROGRAMUL PRINCIPAL

84A0 31 FF RF	1001	LXI M,0BFFEH	INITIALIZARE STIVA
84A3 AF	1005	XRA A	
84A4 H3 0A	1006	DUT 10	PROGRAMARE PORT B
84A6 32 22 20	1007	STA WK	INITIALIZARI VARIABILE
84A9 32 1E 20	1011	STA YT	
84AC 32 1F 20	1012	STA YT+1	
84AF 32 2E 20	1013	STA SU	
84B2 32 28 20	1014	STA TEST	
84B5 32 2C 20	1016	STA SRK	
84B8 32 2B 20	1017	STA SRK1	
84BB 32 26 20	1020	STA RK	
84BE 32 14 20	1021	STA ADST	
84C1 32 C9 20	1022	STA 20C9H	ADRESA LOW PENTRU RST 4,5 ESTE 60
84C4 32 27 20	1025	STA RN1	
84C7 32 00 20	1026	STA FAN	
84CA 32 28 20	1030	STA YK	
84CD 32 29 20	1031	STA YK+1	
84D0 3E 01	1032	MVI A,1	
84D2 03 28	1033	DUT 28H	PROGRAMARE FORTURI 28H SI 2AH
84D4 3E 09	1034	MVI A,9	
84D6 30	1035	DB 30H	ACEASTA ESTE INSTRUCTIUNEA "SIM"
84D7 3E 87	1036	MVI A,87H	
84D9 32 CA 20	1037	STA 20CAH	ADRESA HIGH PENTRU RST 4,5 ESTE 87H
84DC 21 19 20	1038	LXI H,ADAB	
84EF 22 12 20	1039	SHLD ADAB	
84E2 C3 00 85	1042	JMP T	
84E5	1043 *		
84E5	1044	T ORG 8500H	
8500 3A 28 20	1045	LDA YK	
8503 32 24 20	1050	STA YK1	YK1=YK (LOW)
8506 3A 29 20	1055	LDA YK+1	
8509 32 25 20	1060	STA YK1+1	YK1+YK (HIGH)
850C 3A 22 20	1090	LDA WK	
850F 4F	1092	MOV C,A	C=WK
8510 32 08 20	1095	STA W1	W1=WK
8513 3A 2E 20	1100	LDA SU	
8516 32 08 20	1105	STA SW1	SW1=SW
8519 3A 00 20	1110	LDA FAN	
851C B7	1111	ORA A	
851D CA 70 85	1112	JZ PPI	SALT PENTRU FAN=0
8520 3A 01 20	1115	LDA ADCDF	
8523 57	1120	MOV D,A	D=WDAF
8524 3A 14 20	1125	LDA ADST	
8527 47	1130	MOV B,A	B=SDAF
8528 3A 2E 20	1135	LDA SU	A=SW
852B AB	1140	XRA B	
852C 79	1145	MOV A,C	A=WK
852D C2 5D 85	1150	JNZ T1	SALT PENTRU SEMNE DIFERITE
8530 BA	1155	CMP D	SEMNE IDENTICE
8531 DA 43 85	1160	JC T2	SALT PENTRU WDAF>WK
8534 D6 14	1165	SUI 20	WDAF<=WK ; A=WK+20
8536 DA 4F 85	1170	JC T3	SALT PENTRU A<0 (DEPASIRE INFERIOARA)
8539 32 22 20	1175	STA WK	WK=A
853C BA	1180	CMP D	
853D B2 70 85	1182	JNC PPI	SALT DACA WDAF<=A (PRELUAREA NU S-A TERMINAT)
8540 C3 4F 85	1185	JMP T3	SALT DACA WDAF>A
8543 C6 14	1190	T3 MOV A,B	WDAF>WK ; A=WK+20
8445 DA 4F 85	1195	JC T3	SALT IN CAZ DE DEPASIRE
8548 32 22 20	1210	STA WK	WK=A
854B BA	1220	CMP D	
854C DA 70 85	1225	JC PPI	SALT DACA WDAF>A (PRELUAREA NU S-A TERMINAT)
854F 7A	1230	T3 MOV A,B	FINAL PRELUCRARE
8550 32 22 20	1232	STA WK	WK=WDAF
8553 AF	1233	XRA A	
8554 32 00 20	1234	STA FAN	FAN=0 (RECEPTIE COMPLETA)
8557 32 14 20	1236	STA ADST	ADST=0
855A C3 70 85	1238	JMP PPI	SEMNE DIFERITE ; A=WK-20
855D D6 14	1240	T1 SUI 20	WK=A
855F 32 22 20	1244	STA WK	SALT DACA A<0 (PRELUAREA NU S-A TERMINAT)
8562 D0 70 85	1245	JNC PPI	
8565 2F	1246	OMA	
8566 3C	1247	INR A	

8567 4F	1248	MOV C,A	
8568 78	1249	MOV A,B	
8569 32 2E 20	1250	STA SW	SW=SDAF
856C 79	1252	MOV A,C	
856D C3 4B 85	1255	JMP T3-4	SALT IN RAMURA CU SEMNE IDENTICE
8570	1257	*	
8570 3A 25 20	1260	PP1 LDA YK1+1	
8573 B7	1262	ORA A	
8574 F2 78 85	1264	JP #+1	
8577 2F	1266	CMA	
8578 FE 3C	1270	CPI 3CH	
857A FA EB 85	1280	JM PP2	SALT IN REGIMUL 1 SAU 3
857D	1285	*	
857D 3E DD	1290	R2 MVI A,ODDH	REGIMUL 2
857F 32 23 20	1300	STA BYTE	BYTE=GAMMA 2
8582 3A 2B 20	1301	LDA TEST	
8585 B7	1302	ORA A	
858A 3E 04	1303	MVI A,4	
8588 CA 8D 85	1304	JZ R2T	SALT DACA TEST=0 ; A=4
858B C6 04	1305	ADI 4	TEST=1 ; A=8
858E D3 29	1306	R2T OUT 29H	COMANDA TRANZISTOARE
858F C3 30 20	1310	JMP MAS	
8592 AF	1320	R2C XRA A	
8593 32 23 20	1325	STA BYTE	BYTE=ALFA
8596 2A 24 20	1330	LHLD YK1	
8599 84	1340	ADD H	A=YK1 (HIGH)
859A E5	1342	PUSH H	
859B F2 AA 85	1345	JP R2B	SALT DACA YK1>=0
859E C6 3C	1350	ADI 3CH	YK1<0
85A0 2F	1360	CMA	
85A1 67	1362	MOV H,A	
85A2 7D	1363	MOV A,L	
85A3 2F	1364	CMA	
85A4 6F	1365	MOV L,A	
85A5 23	1366	INX H	HL!=YK1!-T/2
85A6 7C	1367	MOV A,H	
85A7 C3 AD 85	1368	JMP R2E	
85A8 D6 3C	1369	R2B SUI 3CH	
85AC 67	1370	MOV H,A	HL=YK1-T/2
85AD 22 1E 20	1372	R2E SHLD YT	YT=HL
85B0 E6 3F	1376	ANI 3FH	
85B2 C6 80	1380	ADI 80H	
85B4 D3 2B	1390	OUT 2DH	
85B6 7D	1400	MOV A,L	
85B7 D3 2C	1410	OUT 2CH	TIMER=HL
85B9 3E C1	1420	MVI A,0C1H	
85B9 D3 28	1430	OUT 28H	START TIMER
85BD E1	1435	POP H	
85BE CD 83 88	1440	CALL ARN1	
85C1 3A 2B 20	1441	LDA TEST	
85C4 B7	1442	ORA A	
85C5 C2 D4 85	1443	JNZ R2P	SALT DACA YK1<0
85C8 3E 77	1444	MVI A,77H	YK1>0
85CA BC	1445	CMP H	TEST DEPASIRE SUPERIOARA
85CB D2 DD 85	1446	JNC R2D	
85CE 21 F0 77	1447	LXI H,77FH	CORECTIE DEPASIRE
85D1 C3 DD 85	1448	JMP R2D	
85D4 3E 87	1449	R2P MVI A,87H	TEST DEPASIRE INFERIOARA
85D6 BC	1450	CMP H	
85D7 DA DD 85	1451	JC R2D	CORECTIE DEPASIRE
85DA 21 10 88	1452	LXI H,8B10H	YK=REZULTAT CALCUL (ARN) , CORECTAT
85DD 22 28 20	1453	R2D SHLD YK	
85E0 76	1455	HLT	
85E1 3A 23 20	1460	R2A LDA BYTE	
85E4 B7	1470	ORA A	SALT DACA BYTE<>ALFA
85E5 C2 E1 85	1480	JNZ R2A	SALT DACA BYTE=ALFA
85EB C3 00 85	1490	JMP T	
85EB	1495	*	
85ED B7	1500	PP2 ORA A	
85EC C2 1C 86	1501	JNZ R1	
85EF 3A 24 20	1505	LDA YK1	
85F2 B7	1510	ORA A	

85F3 C2 1C 86	1515 JNZ R1		REGIMUL 3	BYTE=BETA	
85F6	1519 *				
85F6 3E FF	1520 R3 MVI A,255				
85FB 32 23 20	1530 STA BYTE				
85FB 3C	1540 INR A				
85FD D3 2C	1550 OUT 2CH				
85FE 3E BC	1560 MVI A,0BCH				
8600 D3 2D	1570 OUT 2DH		TIMER=T/2		
8602 3E C1	1580 MVI A,0C1H				
8604 D3 28	1590 OUT 28H				
8606 CD 80 88	1600 CALL ARN		START TIMER		
8609 7C	1601 MOV A,H				
860A 07	1602 RLC				
860B E6 01	1603 ANI 1				
860D 32 2B 20	1604 STA TEST		ACTUALIZARE VARIABILA "TEST"		
8610 22 28 20	1605 SHLD YK		YN=REZULTAT CALCUL (ARN) , CORECTAT		
8613 76	1610 HLT				
8614 3E 23	1620 MVI A,23H				
8616 32 23 20	1630 STA BYTE		BYTE=GAMMA 1		
8619 C3 30 20	1640 JMP MAS				
861C	1645 *		REGIMUL 1		
861C 3A 2B 20	1650 R1 LDA TEST				
861F B2	1652 ORA A				
8620 3E 04	1654 MVI A,4				
8622 CA 27 B6	1656 JZ R1T		SALT DACA TEST=0 ; A=4		
8625 C6 04	1658 ADI 4		TEST=1 ; A=8		
8627 D3 29	1660 R1T QUT 29H		COMANDA TRANZISTOARE		
8629 2A 24 20	1665 LHLD YK1				
862C AF	1670 XRA A				
862D 32 23 20	1680 STA BYTE		BYTE=ALFA		
8631 B4	1681 ADD H		A=YK1 (HIGH)		
8631 E5	1682 PUSH H				
8632 F2 3B 86	1683 JP R1B		SALT DACA YK1)=0		
8635 2F	1684 CMA				
8636 67	1685 MOV H,A				
8637 7D	1686 MOV A,L				
8638 2F	1687 CMA				
8639 6F	1688 MOV L,A				
863A 23	1689 INX H		HL=IYK1		
863B 22 1E 20	1690 R1B SHLD YT				
863E 7D	1695 MOV A,L				
863F D3 2C	1700 OUT 2CH				
8641 7C	1710 MOV A,H				
8642 E6 3F	1720 ANI 3FH				
8644 C6 80	1730 ADI 80H				
8646 D3 2D	1740 OUT 2DH		TIMER=HL		
8648 3E C1	1750 MVI A,0C1H				
864A D3 28	1760 OUT 28H		START TIMER		
864C E1	1765 POP H				
864D CD 83 88	1770 CALL ARN1				
8650 7C	1771 MOV A,H				
8651 07	1772 RLC				
8652 E6 01	1773 ANI 1				
8654 32 2B 20	1774 STA TEST		ACTUALIZARE VARIABILA "TEST"		
8657 22 28 20	1775 SHLD YK		YN=REZULTAT CALCUL (ARN) , CORECTAT		
865A 76	1780 HLT				
865B 3A 23 20	1790 R1A LDA BYTE				
865E B7	1800 ORA A				
865F C2 5B 86	1810 JNZ R1A		SALT DACA BYTE(>)ALFA		
8662 3E 23	1820 MVI A,23H		BYTE=ALFA		
8664 32 23 20	1830 STA BYTE		BYTE=GAMMA 1		
8667 C3 30 20	1840 JMP MAS				
866A	1980 *				
866A	1985 *		SUBRUTINA INTERRUPT DAF		
866A	1990 *				
866A	2000 ORG 8700H				
8700 F5	2010 PUSH M				
8701 C5	2020 PUSH B				
8702 E5	2022 PUSH H				
8703 2A 12 20	2025 LHLD ADAD		HL=ADRESA ADRESEI CURENTE		
8706 3A 00 70	2030 LDA 7000H				
8709 CD 36 43	2040 CALL 4336H		TRANSFORMA A (DAF) IN B (ASCII)		

870C 0E 19 2041 MVI C,25
 870E 0D 2042 BCR C
 870F C2 0E 87 2043 JNZ *-4
 8712 78 2050 MOV A,B
 8713 FE 2D 2060 CPI "-"
 8715 C2 23 87 2070 JNZ ED2
 8718 CD 37 44 2080 CALL OU
 871B 3E 01 2090 MVI A,1
 871D 32 14 20 2100 STA ABSI
 8720 C3 30 87 2110 JMP ED3
 8723 FE 0D 2120 ED2 CPI 13
 8725 CA 35 87 2130 JZ ED1
 8728 CD 37 44 2140 CALL OU
 872B 70 2150 MOV M,B
 872C 23 2160 INX H
 872D 22 12 20 2170 SHLD ADAD
 8730 E1 2180 ED3 POP H
 8731 C1 2190 POP B
 8732 F1 2200 POP M
 8733 FB 2210 EI
 8734 C9 2220 RET
 8735 2 25 *
 8735 3E 3D 2230 ED1 MVI A,"-"
 8737 CD 37 44 2240 CALL OU
 873A 36 00 2250 MVI M,0
 873C 3A 14 20 2251 LDA ABSI
 873F B7 2252 ORA A
 8740 CA 48 87 2253 JZ ED4
 8743 3E 2D 2254 MVI A,"-"
 8745 CD 37 44 2255 CALL OU
 8748 01 19 20 2260 ED4 LXI R,ADIN
 874B 21 19 20 2270 LXI H,ADIN
 874E 22 12 20 2280 SHLD ADAD
 8751 DS 2290 PUSH D
 8752 CD 34 45 2300 CALL 4534H
 8755 2301 *
 8755 2302 *
 8755 2303 *
 8755 ES 2310 PUSH H
 8756 70 2320 MOV A,L
 8757 CB 6D 45 2330 CALL HOUT
 875A F1 2340 POF H
 875B F1 2350 POF D
 875C 3E 48 2360 MVI A,"H"
 875E CD 37 44 2370 CALL OU
 8761 CD 41 44 2380 CALL CRLF
 8764 7D 2390 MOV A,L
 8765 32 01 20 2400 STX AR0CD
 8768 3E 01 2410 MVI A,1
 876A 32 00 20 2420 STA FAN
 876D C3 30 87 2430 JMP ED3
 8770 2450 *
 8770 47 2500 INO MOV B,A
 8771 EB 2510 XCHG
 8772 3A 21 20 2520 LDA SIGN
 8775 B7 2530 ORA A
 8776 CA 80 87 2540 JZ INM
 8779 7A 2550 MOV A,D
 877A 2F 2560 CMA
 877B 52 2570 MOV D,A
 877C 7B 2580 MOV A,E
 877D 2F 2590 CMA
 877E 5F 2600 MOV E,A
 877F 13 2610 INX D
 8780 2612 *
 8780 0E 08 2620 INH MVI C,B
 8782 78 2630 IN2 MOV A,B
 8793 1F 2640 RAR
 8784 47 2650 MOV B,A
 8795 B2 89 87 2660 JNC IN3
 8788 19 2670 DAD D
 8789 EB 2680 IN3 XCHG

INTIRZIERE CERUTA DE INTERFAZA CU DAF-UL
 A=CARACTER ASCII RECEPȚIONAT
 SALT DACA NU E "MINUS"
 TRIMITE ECOU CATRE DAF
 ABSI=1
 SALT DACA E "RETURN"
 ECOU CATRE DAF
 INSCRIERE IN SIRUL DE CARACTERE
 ADAD=ADAD+1
 RESTAURARE REGISTRE - FINAL SUBROUTINA

TRIMITE LA DAF "="
 SFIRSI SIR DE CARACTERE RECEPȚIONATE
 SALT DACA ABSI=0
 DACA NU
 TRIMITE LA DAF "--"
 ADAD=ADRESA INITIALA
 TRANSFORMA CIFRELE ZECIMALE (COD ASCII) INCEPIND DE LA
 ADRESA BC IN HEXA (HL). REVENIREA DIN SUBROUTINA SE FACE
 LA PRIMUL ZERO (00) INTILNIT. SUBROUTINA AFECTEAZĂ TOATE
 REGISTRELE.

TRIMITE A LA DAF (FORMAT HEXA)
 TRIMITE LA DAF "H"
 CAR RETURN , LINE FEED
 ABCD=VALOAREA RECEPȚIONATĂ
 FAN=1
 SUBROUTINA DE ÎNMULTIRE PE 16 BITI
 DE=-DE
 SUBROUTINA INM EXECUTA OPERATIA HL=HL+B*DE

B7RA 29 2490 DAD H
 B7BB EB 2700 XCHG
 B7BC 00 2710 BCR C
 B7BD 02 02 87 2740 JNZ IN2
 B790 C9 2750 RET
 B791 2760 *
 B791 5980 *
 B791 5990 *
 B791 6000 ORG OC100H
 C100 21 00 DO 6001 LXI H,MES1
 C103 0E 0A 6010 MVI C,10
 C105 CD AD 45 6020 SJ CALL SCRN
 C108 6021 *
 C108 CD 41 44 6030 CALL CRLF
 C10B 23 6040 INX H
 C10C 0B 6050 BCR C
 C10D C2 05 C1 6060 JNZ SI
 C110 6065 *
 C110 21 A0 D1 6070 LXI H,MES2
 C113 CD A3 C1 6080 CALL S0
 C116 21 B0 D1 6099 LXI H,MES3
 C119 CD A3 C1 6100 CALL S0
 C11C 01 A0 D1 6110 LXI B,MES2
 C11F CD 34 45 6120 CALL 4534H
 C122 22 00 20 6130 SHLD KR
 C125 01 B0 D1 6140 LXI B,MES3
 C128 CD 34 45 6150 CALL 4534H
 C12B 22 0E 20 6160 SHLD TI
 C12E 6190 *
 C12E 06 7B 6200 MVI B,123
 C130 2A 0C 20 6210 LHLD KR
 C133 EB 6215 XCHG
 C134 21 00 00 6220 LXI H,0
 C137 CD 80 87 6230 CALL INM
 C13A 11 04 00 6240 LXI D,4
 C13D CD 93 C1 6250 CALL IMP
 C140 60 6252 MOV H,B
 C141 69 6254 MOV L,C
 C142 22 0C 20 6260 SHLD KR
 C145 EB 6270 XCHG
 C146 21 00 00 6280 LXI H,0
 C149 06 05 6290 MVI B,5
 C14B CD 80 87 6300 CALL INM
 C14E EB 6310 XCHG
 C14F 2A 0E 20 6320 LHLD TI
 C152 EB 6330 XCHG
 C153 CD 93 C1 6340 CALL IMP
 C156 2A 0C 20 6350 LHLD KR
 C159 09 6360 DAD B
 C15A 22 15 20 6370 SHLD DO
 C15D 7B 6380 MOV A,B
 C15E 2F 6390 CMA
 C15F 47 6400 MOV B,A
 C160 79 6510 MOV A,C
 C161 2F 6520 CMA
 C162 4F 6530 MOV C,A
 C163 03 6540 INX B
 C164 09 6550 DAD B
 C165 09 6560 DAD B
 C166 22 17 20 6570 SHLD D1 d1=(b)-(d)
 C169 6571 *
 C169 0E 04 6572 MVI C,4
 C16B 21 00 D2 6575 LXI H,MES4
 C16E CD AD 45 6580 SJ CALL SCRN
 C171 CD 41 44 6590 CALL CRLF
 C174 23 6600 INX H
 C175 0D 6604 BCR C
 C176 C2 6E C1 6606 JNZ SJ
 C179 CD AD 45 6610 CALL SCRN
 C17C EB 6620 XCHG
 C17D 2A 15 20 6630 LHLD DO HL=d0
 C180 CD B9 C1 6640 CALL S3

DIALOGUL OFF-LINE CU OPERATORUL UMAN

C1B3 23 6650 INX H
 C194 CD AD 45 6660 CALL SCRN
 C1B7 EB 6670 XCHG
 C1B8 2A 17 20 6680 LHLP D1
 C1B8 CD R9 C1 6690 CALL S3
 C1B8 23 6700 INX H
 C1BF CD AD 45 6710 CALL SCRN
 C192 C9 6730 RET REVENIRE IN SISTEMUL DE OPERARE
 C193 6740 *
 C193 01 00 00 8000 IMP LXI H,0 SURRUTINA EXECUTA IMPARTIREA BC=HL/ZIE
 C196 7B 8010 MOV A,E
 C192 2F 8020 LMA
 C198 5F 8030 MOV E,A
 C199 7A 8040 MOV A,D
 C19A 2F 8050 CMA
 C19B 57 8060 MOV D,A
 C19C 13 8070 INX D
 C19D 19 8080 IMI DAD D
 C19E 10 8090 RNC
 C19F 03 8100 INX B
 C1A0 C3 9D C1 8110 JMP IM1
 C1A3 8120 *
 C1A3 CD 29 44 8120 50 CALL 4429H ASTEAPTA SOSIREA UNUT CARACTER DE LA DAF, IL TRANSFORMA
 C1A6 8171 * IN R (ASCII)
 C1A6 70 8180 MOV M,B
 C1A7 7B 8190 MOV A,R
 C1A8 CD 32 44 8200 CALL DU ECOU CATRE DAF
 C1A9 7B 8210 MOV A,B
 C1AC FF 0D 8220 CPI 13
 C1AE 23 8230 INX H
 C1AF 62 63 C1 8240 JNZ SO SALT DACA NU E "RETURN"
 C1B2 2B 8250 DCX H SFIRSTII SIR DE CARACTERE RECEPITIE
 C1B3 36 00 8260 MOV M,0
 C1B5 CD 41 44 8265 CALL CRLF
 C1B8 C9 8270 RET SURRUTINA TRIMITE LA DAF HL, IN FORMAT HEXA SI ZECIMAL
 C1B9 EB 8340 S3 XCHG
 C1BA E5 8345 PUSH H
 C1B9 7A 8350 MOV A,D
 C1BC CD 6D 45 8360 CALL HOUT
 C1BF 7B 8370 MOV A,E
 C160 CD 6D 45 8380 CALL HOUT
 C1C3 E1 8390 POP H
 C1C4 23 8400 INX H
 C1C5 CD AD 45 8410 CALL SCRN
 C1C8 23 8415 INX H
 C1C9 E5 8420 PUSH H
 C1CA 21 00 00 8430 LXI H,0
 C1CD 7A 8435 S4 MOV A,D
 C1CE B3 8440 ORA E
 C1CF CA DF C1 8450 JZ S2
 C1D2 1B 8460 DCX D
 C1D3 7D 8470 MOV A,L
 C1D4 3C 8480 INR A
 C1D5 27 8490 DAA
 C1D6 6F 8495 MOV L,A
 C1D7 7C 8500 MOV A,N
 C1DB CE 00 8510 ACI 0
 C1DA 27 8520 DAA
 C1DB 67 8525 MOV H,A
 C1DC C3 CD C1 8530 JMP S4
 C1DF 7C 8540 S2 MOV A,H
 C1E0 5D 8545 MOV E,L
 C1E1 CD 6D 45 8550 CALL HOUT
 C1E4 7B 8560 MOV A,E
 C1E5 CD 6D 45 8570 CALL HOUT
 C1E8 E1 8580 POP H
 C1E9 CD AD 45 8590 CALL SCRN
 C1EC CD 41 44 8600 CALL CRLF
 C1EF C9 8610 RET

ANEXA 2

```

0000    0001 *
0000    0002 *
0000    0003 *
0000    0005 *
0000    0008 *      Program de reglare numerica a vitezel si pozitiei
0000          unui MCC
0000    0009 *      Definire coeficienti si variabile
0000
0000    0010 ABAB EQU 2016H adresa curenta pentru receptie DAF
0000    0020 D0 EQU 2018H coefficient D0
0000    0030 R1 EQU D0+1 coefficient D1
0000    0040 D2 EQU D0+2 coefficient D2
0000    0050 D3 EQU D0+4 coefficient D3
0000    0060 D4 EQU D0+6 coefficient D4
0000    0070 YK EQU D0+8 marime de comanda y(k)
0000    0080 YKI EQU D0+10 marime de comanda y(k-1)
0000    0090 YS EQU D0+12 semn YK
0000    0100 YSI EQU D0+13 semn YKI
0000    0110 YT EQU D0+14 marime de comanda pentru TIMER
0000    0120 WK EQU D0+16 marime prescrisa w(k)
0000    0130 WI EQU D0+18 marime prescrisa w(k-1)
0000    0140 RK EQU D0+20 reactie r(k)
0000    0150 RK1 EQU D0+22 reactie r(k-1)
0000    0160 RK2 EQU D0+24 reactie r(k-2)
0000    0180 BYTE EQU D0+28 octet control pentru RST 7.5
0000    0190 FAN EQU D0+29 fanion receptie completa DAF
0000    0200 ABIN EQU D0+30 adresa initiala pentru receptie DAF
0000    0210 HOUT EQU 456DH subrutina OUT DAF (hexa)
0000    0220 OU EQU 4437H subrutina OUT DAF (ASCII)
0000    0230 *
0000    0290 *      Subrutina INTERRUPT TIMER
0000    0295 *
0000    0300 ORG 20CEH
20CE C3 B0 86 0310 JMP II      salt in RAM-ul dinamic
20E1    0315 *
20E1    0320 LT ORG B6B0H
B6B0 FB 0330 EI
B6B1 3A 34 20 0340 LDA BYTE
B6B4 B7 0350 ORA A
B6B5 C0 0360 RNZ
B6B6 D3 29 0365 OUT 29H
B6B8 7C 0380 MOV A,H
B6B9 D6 3C 0390 SUI 3CH
B6B8 2F 0400 CMA
B6B0 67 0410 MOV H,A
B6B0 7D 0420 MOV A,L
B6B6 2F 0430 CMA
B6BF 6F 0440 MOV L,A
B6C0 23 0450 INX H      HL=T/2-HL
B6C1 7C 0460 MOV A,H
B6C2 E6 3F 0470 ANI 3FH
B6C4 C6 80 0480 ABI B0H
B6C6 D3 2D 0490 OUT 2DH
B6C8 7D 0500 MOV A,L
B6C9 D3 2D 0510 OUT 2CH
B6CB 3E C1 0520 MVI A,0C1H
B6CD 32 34 20 0530 STA BYTE
B6D0 D3 28 0540 OUT 2BH
B6D2 76 0550 HLT
E 03 C9 0560 RET
06D4 0570 *
06D4 0580 *
06D4 0590 *
06D4 0600 ORG B600H
0600 31 00 00 0610 LXI M,0
0603 AF 0620 XRA A
0604 32 C9 20 0630 STA 20C9H
0607 21 00 20 0640 LXI H,2020H
060A 06 20 0650 MVI B,32
060C 77 0660 MOV M,A
0600 05 0670 BCR B

```

return daca byte()=0 , continua pentru byte=1
blocare tranzistoare

mascare pe 14 biti
mod de lucru 2
TIMER high

HL=T/2-HL

start TIMER

se asteapta in HLT o cerere de intrerupere de la TIMER

byte=0C1H

initializare stiva

adresa low pentru RST 6.5 este 00

Programul principal

860E 23 0675 INX H
 860F C2 0C 86 0680 JNZ *-6 initializari variabile
 8612 D3 02 0690 OUT 2 programare port 0
 8614 D3 03 0700 OUT 3 programare port 1
 8616 3E 02 0710 MVI A,2
 8618 D3 0A 0720 OUT 10 programare port B
 861A D3 08 0725 OUT 8 CLEAR numarator
 861C AF 0730 XRA A
 861D D3 08 0740 OUT 8
 861F 3E 87 0750 MVI A,87H
 8621 32 D4 20 0760 STA 20CAH adresa high pentru RST 6.5 este 87H
 8624 21 36 20 0770 LXI H,ADIN
 8627 22 16 20 0780 SHLD ADAB
 862A 3E 09 0790 MVI A,9
 862C 30 0800 DB 30H aceasta este instructiunea SIM
 862D C3 26 88 0805 JMP T
 8630 0806 *
 8630 0810 TT ORG 2050H in RAM-ul static
 2050 3E 09 0811 MVI A,9 sint validate RST 6.5 , RST 7.5
 2052 30 0812 DB 30H aceasta este instructiunea SIM
 2053 2A 20 20 0813 LHLD YK
 2056 22 22 20 0814 SHLD YK1 yk1=yk
 2059 3A 24 20 0816 LDA YS
 205C 32 25 20 0818 STA YS1 ys1=ys
 205F 0830 * prelucrare pozitie curenta de la numarator
 205F DB 00 0840 CP1 IN 0
 2061 6F 0845 MOV L,A
 2062 BB 01 0850 CP2 IN 1
 2064 67 * 0855 MOV H,A
 2065 BB 01 0860 IN 1
 2067 BC 0863 CMP H
 2068 CA 6E 20 0866 JZ CP3
 206B BB 01 0870 IN 1
 206D 67 0875 MOV H,A
 206E BB 00 0880 CP3 IN 0
 2070 BB 0885 CMP L
 2071 C2 5F 20 0890 JNZ CP1
 2074 22 20 20 0892 SHLD YK
 2077 C3 00 89 0895 K JMP PPI
 207A 0899 *
 207A 0900 PPI ORU 8900H
 8906 3A 25 20 0905 LDA YS1
 8903 B7 0910 DRA A
 8904 2A 22 20 0920 LHLD YK1
 8907 EB 0930 XLHG DL=yk1
 8908 06 04 0940 MVI B,4
 890A CA 12 89 0950 JZ PPI salt daca vst1=0 : B=4
 890D 06 08 0960 MVI R,B vst1=255 ; B=R
 890F CD AB 20 0970 CALL AIN DE=DE
 8912 7A 0980 PPI MOV A,D
 8913 FE 3C 0990 CPT 3CH
 8915 FA 2F 89 1000 JM PPI salt in regimul 1
 8918 1005 * Regimul 2
 8918 D6 3C 1010 SUI 3CH
 891A 67 1020 MOV H,A
 891B 6B 1030 MOV L,E
 891C 22 24 20 1040 SHLD YT yt=yk1=172
 891F 7B 1050 MOV A,B
 8920 D3 29 1060 OUT 29H comando tranzistor de etapa de calcul
 8922 CD 43 87 1070 CALL SBR1 etapa de calcul
 8925 3A 26 20 1080 LHLD YT
 8928 76 1085 HLT
 8929 CD 08 88 1090 CALL SBR2 etapa de comando
 892C C3 26 88 1100 JMP T
 8931 1105 * Regimul 1
 893F FE 00 1110 PPI CPT 0
 8931 C2 3A 89 1120 JNZ PPI
 8934 7B 1130 MOV A,E
 8935 B7 1135 DRA A
 8936 C2 3A 89 1140 JNZ PPI
 8939 1C 1150 ENP E daca vst1=0 , atunci DE=1
 893A EB 1160 PPI XCIG

893B 78	1180	MOV A,B	
893C D3 49	1190	OUT 29H	comanda tranzistorare
893E CD 08 88	1200	SBR2	etapa de comanda
8941 3E 09	1206	MVI A,9	sint validate RST 6.5 ; RST 7.5
8943 30	1208	DB 30H	aceasta este instructiunea SIM
8944 CD 43 87	1210	CALL SBR1	etapa de calcul
8947 76	1215	HLT	
8948 C3 26 88	1220	JMP T	
894B	1240 *		
894B	1242 *		
894B	1244 *		
894B	1250	ORG B700H	
8700 F5	1260	PUSH M	
8701 C5	1270	PUSH B	
8702 E5	1280	PUSH H	
8703 2A 16 20	1290	LHLD ADAD	HL=adresa curenta
8703 3A 00 70	1300	LIA 7000H	A=caracter emis de DAF
8709 CD 36 43	1310	CALL 4336H	conversie A (DAF) - B (ASCII)
870C 78	1320	MOV A,B	
870D FE 0D	1330	CPI 13	
870F CA 34 87	1340	JZ ED1	
8712 FE 18	1350	CPI 24	
8714 C2 1D 87	1360	JNZ ED2	
8717 CD 37 44	1370	CALL OU	
871A C3 2F 87	1380	JMP ED3	
871D FE 30	1390	ED2 CPI 30H	
871F DA 2F 87	1400	JC ED3	
8722 FE 40	1410	CPI 40H	
8724 D2 2F 87	1420	JNC ED3	
8727 CD 37 44	1430	CALL OU	
872A 70	1440	MOV M,B	
872B 23	1450	INX H	
872C 22 16 20	1460	SHLD ADAD	
872F E1	1470	ED3 POP H	
8730 C1	1480	POP B	
8731 F1	1490	POP M	
8732 FB	1500	EI	
8733 C9	1510	RET	
8734 3E 3D	1520	ED1 MVI A,?=	
8736 CD 37 44	1530	CALL OU	
8739 3E 00	1540	MVI M,0	
873B 3E 01	1690	MVI A,1	
873D 32 35 20	1700	STA FAN	
8740 C3 2F 87	1710	JMP ED3	
8743	1790 *		
8743	1795 *		Subrutina SBR1 (etapa de calcul)
8743	1798 *		
8743 3E BC	1800	SBR1 MVI A,0BCH	
8745 D3 2D	1810	OUT 2DH	
8747 AF	1820	XRA A	
8748 D3 2C	1830	OUT 2CH	TIMER=5mscc
874A 3E C1	1840	MVI A,0C1H	
874C D3 28	1850	OUT 28H	start TIMER
874E 3E 01	1860	MVI A,1	
8750 32 34 20	1870	STA BYTE	
8753	1875		byte=1
8753 2A 28 20	1880	ARL LHLD WR	
8756 EB	1890	XCHG	DE=wk
8757 2A 22 20	1900	LHLD YK1	HL=yk1
875A 3A 25 20	1910	LDA Y\$1	
875D 4F	1920	MOV C,A	C=y\$1
875E 3A 18 20	1930	LDA D0	
8761 47	1940	MOV B,A	B=D0
8762 AF	1950	XRA A	A=0
8763 CD 81 20	1960	CALL I24	CHL=CHL+B*ADE
8766 EB	1970	XCHG	
8767 2A 2A 20	1980	LHLD W1	
876A EB	1990	XCHG	DE=w1
876B 3A 19 20	2000	LDA D1	
876E 47	2010	MOV B,A	B=D1
876F CD 7A 20	2020	CALL I2M	CHL=CHL-B*ADE
8772 EB	2030	XCHG	

8723 2A 2C 20 2040 LHLD RK
 8776 EB 2050 XCHG DE=rk
 8777 3A 1B 20 2060 LDA D2+1 A=D2 (high)
 877A B7 2070 ORA A
 877B CA 82 87 2080 JZ AR2 salt data A=0
 877E 47 2110 AR1 MOV B,A
 877F CD 9D 20 2120 CALL A2M CHL=CHL-256*B*DE
 8782 3A 1A 20 2130 AR2 LDA D2
 8785 47 2140 MOV B,A B=D2 (low)
 8786 EB 2142 XCHG
 8787 2A 2C 20 2144 LHLD RK
 878A EB 2146 XCHG DE=rk
 878B CD 2A 20 2150 CALL I2M CHL=CHL-B*ADE
 878E EB 2160 XCHG
 878F 2A 2E 20 2170 LHLD RK1
 8792 EB 2180 XCHG DE=rk1
 8793 3A 1P 20 2190 LDA D3+1 A=D3 (high)
 8796 B7 2200 ORA A
 8797 CA 9E 87 2210 JZ AR3 salt data A=0
 879A 47 2220 MOV B,A
 879B CD A0 20 2230 CALL A24 CHL=CHL+256*B*DE
 879E 3A 1C 20 2240 AR3 LDA D3
 87A1 47 2250 MOV B,A B=D3 (low)
 87A2 AF 2260 XRA A A=0
 87A3 CD 81 20 2270 CALL I24 CHL=CHL+B*ADE
 87A6 EB 2280 XCHG
 87A7 2A 30 20 2290 LHLD RK2
 87AA EB 2300 XCHG DE=rk2
 87AB 3A 1F 20 2310 LDA D4+1 A=D4 (high)
 87AE B7 2320 ORA A
 87AF CA 86 87 2330 JZ AR5 salt data A=0
 87B2 47 2360 AR4 MOV B,A
 87B3 CD 9D 20 2370 CALL A2M CHL=CHL-256*B*DE
 87B6 3A 1E 20 2380 AR5 LDA D4
 87B9 47 2390 MOV B,A B=D4 (low)
 87BA EB 2392 XCHG
 87BB 2A 30 20 2394 LHLD RK2
 87BE EB 2396 XCHG DE=rk2
 87BF CD 2A 20 2400 CALL I2M CHL=CHL-B*ADE
 87C2 2401 * in CHL se afila rezultatul necorectat
 87C2 15 2405 PUSH H
 87C3 2A 2B 20 2410 LHLD WR
 87C6 22 2A 20 2420 SHLD W1 w1=wk
 87C9 2A 2E 20 2420 LHLD RK1
 87D1 22 30 20 2480 SHLD RK2 rk2=rkt
 87D6 2A 2C 20 2490 LHLD RK
 87D2 22 2E 20 2500 SHLD RK1 rk1=rk
 87D5 E1 2505 POP H
 87D6 29 2510 MOV A,L
 87D7 B2 2520 ORA A
 H7D8 FA EF 87 2530 JM AR6 salt data C10
 H7D9 C2 E4 B7 2540 JNZ AR7-3 salt data C1G
 H7D9 3E 77 2550 MVI A,77H C=0
 B/E0 BC 2560 CMP H
 B/E1 B2 F7 87 2570 INC AR7 salt data H=77H, A=MV A,B=0
 B/E4 21 F0 77 2580 LXI H,77FOH corectie deosebie superioara
 B/E7 22 20 20 2590 AR7 SHLD YR yh=HL 3-10H
 B/F4 AF 2600 XRA A
 B/2B 32 24 20 2610 STA YS ys=0
 B/EE C9 2620 RET
 B/EF 3C 2630 AR6 INK A
 B/F0 C2 F9 87 2640 JN2 AR8-3 salt data C1255
 B/F3 3F 47 2650 MVI A,8AH
 B/F5 BC 2660 CMP H
 B/F6 DA 1C 87 2670 JL AR8 salt data H=8AH
 G/F9 21 10 88 2680 EXI H,8BH
 G/FU 22 20 20 2690 AR8 SHLD YR yh=8H
 B/FF 3E FF 2700 MVI A,05H ys=05H
 B/01 32 14 20 2710 STA TS ys=05H
 B/04 3E 0B 2714 MVI A,11 este validate RST 7,5
 B/05 99 2715 RR SOL este este instrucitie SIM
 B/07 C9 2720 RET

0808 2725 *
 0808 2790 *
 0808 2795 * Subrutina SBR2 (etapa de comanda)
 0808 7C 2800 SBR2 MOV A,H
 0809 E6 3F 2810 ANI 3FH masca pe 14 biti
 080B C6 80 2820 ADI 80H mod de lucru 2
 080D D3 2D 2830 OUT 2DH TIMER high
 080F 7D 2840 MOV A,L
 0810 D3 2C 2850 OUT 2CH TIMER low
 0812 AF 2860 XRA A
 0813 32 34 20 2870 STA BYTE
 0816 3E 0B 2874 MVI A,11 este validata RST 7.5
 0818 30 2875 DB 30H aceasta este instrucția SIM
 0819 3E C1 2880 MVI A,0C1H
 081B D3 28 2890 OUT 28H start TIMER
 081D 76 2900 HLT
 081E C9 2910 RET
 081F 2980 *
 081F 2990 * Subrutina de înmulțire pe 24 biti
 081F 2995 * in RAM-ul static
 081F 2999 ORG K+3 DE=-DE
 207A CD AB 20 3000 I2M CALL AIN
 207D 3E 00 3005 MVI A,0
 207F CE FF 3010 ACI 255
 2081 3015 *
 2081 E5 3020 I24 PUSH H
 2082 2E 08 3030 MVI L,B
 2084 E3 3040 I22 XTHL
 2085 F5 3050 PUSH M
 2086 7B 3060 MOV A,B
 2087 1F 3070 RAR
 2088 47 3080 MOV B,A
 2089 D2 91 20 3090 JNC I23
 208C F1 3100 POP M
 208D 19 3110 DAD D
 208E F5 3120 PUSH M
 208F 89 3130 ADC C
 2090 4F 3140 MOV C,A
 2091 F1 3150 I23 POF M
 2092 EB 3160 XCHG
 2093 29 3170 DAD H
 2094 8F 3180 ADC A
 2095 FB 3190 XCHG
 2096 E3 3200 XTHL
 2097 2D 3210 DCR L
 2098 C2 84 20 3220 JNZ I22
 2098 E1 3230 POP H
 209C C9 3240 RET CHL=CHL+B*AH
 209D 3280 *
 209D 3290 * Subrutina de înmulțire, prin adunare repetată, pe 24 biti
 209D 3295 *
 209D CD AB 20 3300 A2M CALL AIN DE=-DE
 20A0 3305 *
 20A0 7C 3310 A24 MOV A,H
 20A1 B3 3320 ADD E H=H+E
 20A2 67 3330 MOV H,A
 20A3 79 3340 MOV A,C
 20A4 8A 3350 ADC D C=C+B*CY
 20A5 4F 3360 MOV C,A
 20A6 3365 *
 20A6 05 3370 DCR B
 20A7 C2 A0 20 3380 JNZ A24 repeta de B ori
 20A8 C9 3390 RET CHL=CHL+256*B*DE
 20AB 3392 *
 20AB 3395 * Subrutina pentru complementarea DE, cu posibilitate de
 20AB 3396 * complementare pe 24 biti
 20AB 3399 *
 20AB 7A 3400 AIN MOV A,D
 20AC 2F 3410 CMA
 20AD 57 3420 MOV D,A
 20AE 7B 3430 MOV A,E
 20AF 2F 3440 CMA

20B0	5F	3450	MOV E,A
20B1	B7	3452	ORA A
20B2	1C	3455	INR E
20B3	C0	3460	RNZ
20B4	14	3465	INR D
20B5	C0	3470	RNZ
20B6	37	3475	STC
20B7	C9	3480	RET
20B8		3490	*
20B8		3492	*
20B8		3495	*
20B8		3496	T ORG SBR2+30
8826	3A 35 20	3500	LDA FAN
8829	B7	3510	ORA A
882A	CA 50 20	3520	JZ TT
882D	AF	3530	XRA A
882E	32 35 20	3540	STA FAN
8831	01 36 20	3550	LXI B,ADIN
8834	21 36 20	3560	LXI H,ADIN
8837	22 16 20	3570	SHLD ADAD
883A	CD 34 45	3580	CALL 4534H
883D	E5	3590	PUSH H
883E	22 28 20	3600	SHLD WK
8841	7C	3610	MOV A,H
8842	CD 6D 45	3620	CALL HOUT
8845	E1	3630	POP H
8846	7D	3640	MOV A,L
8847	CD 6D 45	3650	CALL HOUT
884A	3E 48	3660	MVI A,'H'
884C	CD 37 44	3670	CALL OU
884F	CD 41 44	3680	CALL 4441H ..
8852	C3 50 20	3690	JMP TT
8855		3695	*

CY=0

CY=0

CY=1

Preluarea prescrierii de la DAF

salt daca fan=0

fan=0

conversie (zecimal ASCII) - (hexa)

wk=w(DAF)

ecou wk (high)

ecou wk (low)

ecou caracter 'H'

CR,LF

BIBLIOGRAFIE

1. Andreiciuc, D., Bogdanov, I., Popescu, V., *Circuite electronice pentru acționarea cu motare pas cu pas a unui robot industrial*, Simpozionul „Robotizarea în industrie”, Timișoara, 29 nov. — 2 dec. 1984, vol. IV, pp. 1—4.
2. Andreiciuc, D., Bogdanov, I., Popescu, V., *Invertor trifazat cu tensiune de ieșire sintetică comandat cu microprocesorul 8085*, Simpozionul „Aplicații ale electronicii industriale”, Craiova, 17—18 noiembrie, 1983, pp. 27—33.
3. Athani, V.V., Deshpande, S.M., *Microprocessor control of a three — phase inverter in induction motor speed control system*, IEEE Transactions on Industrial Electronics and Control Instrumentation, vol. IE-21—27, No. 4, nov. 1980, pp. 291—298.
4. Babuția, I., Dragomir, T.L., Mureșan, I., Proștean, O., *Conducerea automată a proceselor*, Editura Facla, Timișoara, 1985.
5. Boado, S., *Commande en boucle formée d'un moteur pas à pas à l'aide d'un microprocesseur*, Comptes redus des journées d'électronique et de microtechnique, 19—21 octobre, 1976, EPE Lausanne, pp. 165—176.
6. Bodea, M., Vătășescu, A., Tănase, G., Neagu, S., Năstase, A., Gheorghiu, V., Marinescu, N., *Circuite integrate lineare. Manual de utilizare*, Vol. IV, Editura Tehnică, București, 1985.
7. Boldea, I., *Conducerea după cimp a mașinilor electrice*, Curs intensiv, Institutul Politehnic „Traian Vuia” Timișoara, Catedra de electrotehnica și mașini electrice, Timișoara, 1987.
8. Bogdanov, I., Bătrînu, M., *ACTIONARE CU MOTOR PAS CU PAS COMANDATĂ PRIN MICROCALCULATORUL ÎNTR-UN SINGUR CIRCUIT INTEGRAT 8035, CNEE' 84*, Craiova, 20—21 sept. 1984, vol. 7, pp. 25—30.
9. Bogdanov, I., Popescu, V., Andreiciuc, D., *Comanda prin microprocesor a unui chopper de putere utilizat în acționarea cu motoare de curent continuu*, Simpozionul „Aplicații ale electronicii industriale”, Craiova, 17—18 nov. 1983, pp. 6—14.
10. Bogdanov, I., Precup, A., *Asupra implementării software a algoritmului de conducere a unui sistem de reglare a vitezei unui motor de curent continuu, realizat cu microprocesorul 8085*, Al IV-lea Simpozion național de teoria sistemelor, Craiova, dec. 1986, pp. 391—397.
11. Bogdanov, I., Precup, A., *Three microprocessor families in several electrical drives control*, The 5th NCED, Iași, may 16—17, 1986, pp. C7—C15.
12. Bogdanov, I., Tănase, M.E., Andreiciuc, D., *Instalație electrică pentru acționarea cu motoare pas cu pas a unui robot industrial*, Simpozionul „Aplicații ale electronicii industriale”, Craiova, 17—18 nov. 1983, pp. 14—20.
13. Buja, G., Fiorini, P., *Microcomputer control of PWM Inverters*, IEEE Transactions on Industrial Electronics, vol. IE—29, No. 3, August 1982, pp. 212—216.
14. Călin, S., Dumitrasche, I., *Regulatoare automate*, Editura Didactică și Pedagogică, București 1985.
15. Căpătină, O., Cornea-Hășegan, M., Pușca, M., *Proiectarea cu microprocesoare*, Editura Dacia, Cluj-Napoca, 1983.

16. Coita, V., *Aparat pentru testarea circuitelor integrate tip βAA 145*, Certificat de inovator nr. 937, 04.06. 1987, MIET-IAEM Timișoara.
17. Coita, V., *Comandă numerică pentru un inverter trifazat în punte*, Certificat de inovator nr. 938, 04. 06. 1987, MIET-IAEM Timișoara.
18. Cruțu, G., *Microprogrammed, microprogramable automation*, The 5th NCED, Iași, may 16–17, 1986, pp. C23–C28.
19. Dancă, I., *Microprocesoare. Arhitectură internă, aplicații*, Editura, **Dacia**, Cluj-Napoca, 1979.
20. Dewan, S.B., Dunford, W. G., *A microprocessor-based controller for a three-phase controlled rectifier bridge*, IEEE Transactions on Industry Applications, vol. IA-19, No. 4, Ian./feb. 1983, pp. 113–119.
21. Dewan, S.B., Mirbod, A., *Microprocessor-based optimum control for four quadrant chopper*, IEEE Transactions on Industry Applications, vol. IA-17, No. 1, 1981, pp. 34–40.
22. Dewan, S.B., Strouhane, A., *Power semiconductor circuits*, Wiley Interscience Publication, New York, Toronto, Brisbane, 1975.
23. Dordea, T., *Mașini electrice*, Editura Didactică și Pedagogică, București, 1977.
24. Dragomir, T.L., *Regulatoare automate*, Curs, Litografia IPTV, Timișoara, 1986.
25. Dragomir, T.L., Bogdanov, I., Precup, A., *Digital control system of speed and position in a DC motor electric drive*, The Sixth National Conference on Electrical Drives, Timișoara, may 13–14 1988, Proceedings, pp. 2.47–2.52.
26. Dragomir, T.L., Bogdanov, I., Precup, A., Mihăescu, M., Szabo, M., *Sistem de reglare a vitezei unei axe a unui robot, realizat cu microprocesorul 8085*, Al IV-lea Simpozion Național de Teoria sistemelor, Craiova, dec. 1986, pp. 385–391.
27. Flöter, W., Ripperger, N., *Die TRANSVEKTOR—Regelung für den feld orientierten Betrieb einer Asynchronmaschine*, Siemens-Zeitschrift, vol. 45, No. 10, 1971, p. 761–764.
28. Fransua, A., Măgureanu, R., *Mașini și acționări electrice. Elemente de execuție*, Editura Tehnică, București, 1986.
29. Guțulescu, C., *Instalație electronică pentru modificarea turării unui motor asincron cu metoda $U/f = ct$* , Proiect de diplomă, IPTV Timișoara, 1985.
30. Houpis, C.H., Lamont, G.B., *Digital control systems, theory hardware, software*, McGraw-Hill, International Student Edition, 1985.
31. Ionescu, F., Păcuraru, E., *Mutatoare*, Institutul Politehnic București, Fac. Electrotehnică, Catedra de măsuri și aparate electronice, 1983.
32. Ionescu, T., *Sisteme și echipamente pentru conducerea proceselor*, Editura Didactică și Pedagogică, București, 1982.
33. Iosif, N., Luca, D. M., Udrea-Spenea, M., Popa, E., Boulescu, G., Primejdje, G., *Tiptoare și module de putere. Catalog*, Editura Tehnică, București, 1984.
34. Jurca, I., *Sisteme de operare*, Curs, partea I–II, Litografia IPTV, Timișoara, 1984.
35. Kaimoto, M., Hashii, M., Yanase, T., Nakano, T., *Performance improvement of current source inverter-fed induction motor drives* IEEE Transaction on Industry Applications, vol. IA–18, No. 6, nov./dec. 1982, pp. 703–710.
36. Kelemen, A., *Acționări electrice* Editura Didactică și Pedagogică, București, 1979.
37. Kelemen, A., Imecs, M., *Electronică de putere*, Editura Didactică și Pedagogică, București, 1980.
38. Kelemen, A., Imecs, M., *Incremental position control system with asynchronous motor*, The Fifth National Conference on Electrical Drives, Iași, may 16–17, 1986, pp. B. 17–B. 19.
39. Kelemen, A., Imecs, M., *Mutatoare*, Editura Didactică și Pedagogică, București, 1978.
40. Kelemen, A., Imecs, M., *Sisteme de reglare cu orientare după cimp ale mașinilor de curent alternativ*, Institutul Politehnic Cluj-Napoca, 1987.
41. Kelemen A., Imecs, M., Matlac, I., Titz, G., *Mutatoare. Aplicații*, Editura Didactică și Pedagogică, București, 1980.
42. Kelemen, A., Rădulescu, M. M., *Closed-loop and microprocessor stepping motor control*, 3-rd International Symposium on Control Systems and Computer Science, Bucarest, 14–16 June, 1979, vol. 2, pp. 593–608.
43. Kuo, B.C., Kelemen, A., Crivii, M., Trifa, V., *Sisteme de comandă și reglare incrementală a poziției*, Editura Tehnică, București, 1981.

44. Kümmel, F., *Elektrische Antriebstechnik*, Springer Verlag, Berlin, 1971.
45. Lungu, M., s.a., *Echipamente modulare cu semiconductoare de putere*, Vol. 1, MICMUE-CIETA, București, 1970.
46. Lupu, C., Stănescu, S., *Microprocesoare. Circuite-Proiectare*, Editura Militară, București, 1986.
47. Lupu, C., Tepelea, V., Purice, E., *Microprocesoare. Aplicații*, Editura Militară, București, 1982.
48. Mihăescu, M., *Regulator numeric de turărie cu microprocesor*, Proiect de diplomă, IPTV, Timișoara, 1984.
49. Mirbod, A., El-Amawy, A., *A general-purpose microprocessor-based control circuit for a three-phase controlled rectifier bridge*, IEEE Transactions on Industrial Electronics, vol. IE-33, No. 3, aug. 1986, pp. 310–316.
50. Mureșan, T., *Conducerea robotilor industriali*, Note de curs, IPTV, Timișoara, 1986.
51. Mureșan, T., Strugaru, C., Stoinescu, R., *Microprocesorul 8080 în aplicații*, Editura Facla, Timișoara, 1981.
52. Olivier, G., Stefanovic, V., April, G.E., *Microprocessor controller for a thyristor converter with an improved power factor*, IEEE Transactions on Industrial Electronics and Control Instrumentation, vol. I, IECI-28, No. 3, aug. 1981, pp. 188–194.
53. Ohmae, T., Matsuda, T., Kamiyama, K., Tachikawa, M., *A microprocessor-controlled high-accuracy wide-range speed regulator for motor drives*, IEEE Transactions on Industrial Electronics, vol. IE-29, No. 3, aug. 1982, pp. 207–211.
54. Osborne, A., *An introduction to microcomputers*, Vol. 0–1, Basic Concepts, Berkeley, California, 1976.
55. Osborne, A., *An introduction to microcomputers*, Vol. 2, Some real microprocessors, Berkeley, California, 1979.
56. Osborne, A., *An introduction to microcomputers*, Vol. 3, Support Devices, Berkeley, California, 1979.
57. Peñalver, C.M., Peire, J., Martinez, P.M., *Microprocessor control of DC/AC static converters*, IEEE Transactions on Industrial Electronics, vol. IE-32, No. 3, aug. 1985, pp. 186–191.
58. Pfeiffer, I., *Tehnici de modulare în lățime de plus a inverteoarelor cu tranzistoare sau tiristoare pentru controlul după cimp al motoarelor asincrone*, Referat nr. 2 pentru doctorat, IPTV, Timișoara, 1988.
59. Pfeiffer, I., *Sisteme de control după cimp a mașinilor asincrone alimentate prin inverteoare cu tranzistoare de putere sau tiristoare*, Referat nr. 1 pentru doctorat, IPTV, Timișoara, 1987.
60. Plant, J. B., Jorna, S. J., Chan, J. T., *Microprocessor control of position or speed of an SCR DC motor drive*, IEEE Transactions on Industrial Electronics and Control Instrumentation, vol. IECI-27, No. 3, aug. 1980, pp. 228–234.
61. Ponner, I., *Electronică industrială*, Editura Didactică și Pedagogică, București, 1972.
62. Popescu, V., *Electronică industrială*, Curs, vol. 1–2, Litografia IPTV, Timișoara, 1983–1984.
63. Popescu, V., Andreiciuc, D., Bogdanov, I., *Electronică industrială. Indrumător de lucrări de laborator*, Litografia IPTV, Timișoara 1985.
64. Popescu, V., Andreiciuc, D., Bogdanov, I., *Redresor cu tiristoare comandat prin microprocesor*, Simpozionul „Aplicații ale electronicii industriale”, Craiova, 17–18 nov. 1983, pp. 24–27.
65. Popescu, V., Balaci, I., *Electronică industrială. Indrumător de lucrări de laborator*, Litografia IPTV, Timișoara, 1980.
66. Popescu, V., Bogdanov, I., Andreiciuc, D., *D.C. motor speed adjusting with microprocessor*, Buletinul științific și tehnic al IPTV, Timișoara, Tom 29, Electrotehnica, 1984, pp. 73–76.
67. Precup, A., *Sistem de reglare a vitezei și poziției într-o acționare cu motor de curent continuu comandată cu microprocesor*, Proiect de diplomă, IPTV, Timișoara, 1986.
68. Ramamoorthy, M., *An introduction to thyristors and their applications*, The Mac Millan Press Limited, 1978.
69. Sen, P. Ch., *Thyristor DC Drives*. Library of Congress Cataloguing in Publication Date, Wiley Interscience Publication, USA, Canada, 1981.
70. Seraciu, E., *Acționări electrice*, Curs, partea I–II, Litografia IPTV, Timișoara, 1980.

71. Seraciu, E., Popovici, D., *Tehnica acționărilor electrice*, Editura Tehnică, București, 1985.
72. Simon, W., *Conducerea numerică a mașinilor unelte* (Traducere din 1. germană), Editura Tehnică, București, 1967.
73. Szabo, M., *Sistem de reglare automată a vitezei și poziției pentru mișcarea pe o axă a unui robot industrial realizat cu microprocesorul 8085*, Proiect de diplomă, IPTV, Timișoara, 1985.
74. Toacșe, Gh., *Introducere în microprocesoare*, Editura Științifică și Enciclopedică, București, 1985.
75. Trif, N. I., *Contribuții la acționările electrice de curent continuu comandate cu microsisteme – cu aplicații la roboți*, Teză de doctorat, 1987.
76. Wells, B.H., *Microprocessor control of stepping motor*. Proceedings, Fifth Annual Symposium on Incremental Motors Control Systems and Devices, University of Illinois, SUA, 1972, pp. 150–230.
77. Weihrich, G., *Drehzahlregelung von Gleichstromantrieben unter Verwendung eines Zustands- und Störgrößenbeobachter*, Teil, I, *Regelungstechnik*, 26 (1978), H11, pp. 349–354.
78. Zaks, R., *Introduction to microprocessors*. Sybex Inc., Berkeley, California, 1978.
79. Zaks, R., *Programming microprocessors*. Sybex Inc., Berkeley, California, 1978.
80. *** Conferința Națională de Electrotehnica și Electroenergetică, Craiova, 20–21 sept. 1984.
81. *** 4 th European Conference on Electrotechnics Eurocon'80, Stuttgart, Germany, 24–28 march, 1980.
82. *** Proceedings, International Conference on Electrical Machines, Budapest, Hungary, 5–9 sept. 1982.
83. *** Proceedings. The Fifth National Conference on Electrical Drives, Iași 16–17 may, 1986.
84. *** Proceedings. The Sixth National Conference on Electrical Drives, Timișoara, may 13–14, 1988.
85. *** SDK–85, System design kit. User's manual, Intel. Corporation, 1978.
86. *** Simpozionul „Aplicații ale electronicii industriale”, Craiova, 17–18, nov. 1983.
87. *** 3 rd 1 FAC Symposium, Lausanne, Switzerland, 12–14 sept. 1983.

C U P R I N S

Cap. I. Introducere	5
Cap. II. Sisteme cu micropresesoare utilizate în comanda acționărilor electrice	7
2.1. Arhitectura standard a unui sistem cu microprocesor utilizat în comanda circuitelor de acționare electrică	7
2.2. Sistem de comandă cu microprocesorul 8035	12
2.3. Sistem de dezvoltare cu microprocesorul 8085	15
2.4. Sistem de comandă cu microprocesorul Z80	17
Cap. III. Utilizarea micropresesoarelor în comanda acționărilor cu motoare de curent continuu	19
3.1. Probleme specifice cu privire la acționările cu mașini de curent continuu	19
3.2. Sisteme de acționare cu motoare de curent continuu alimentate de la redresoare comandate	22
3.2.1. Implementarea pe microsisteme a circuitelor de comandă pentru redresoare comandate	26
3.2.2. Redresor monofazat în punte semicomandată cu microprocesor	26
3.2.3. Redresor trifazat în punte complet comandată cu microprocesor	32
3.3. Sisteme de acționare cu motoare de curent continuu alimentate prin variatoare de tensiune continuă	37
3.3.1. Circuite de comandă pentru chopper realizate cu microprocesor	41
3.3.2. Chopper cu stingere forțată comandat cu microprocesor	41
3.3.3. Chopper cu tranzistoare comandat cu microprocesor	48
Cap. IV. Sistem de reglare numerică a vitezei și poziției într-o acționare cu motor de curent continuu comandată cu microprocesor	51
4.1. Structura sistemelor de reglare utilizate	51
4.1.1. Tipuri de structuri ale sistemelor de reglare automată a vitezei și poziției	51
4.1.2. Schemele bloc funcționale ale sistemelor de reglare automată proiectate	53
4.1.3. Procesul reglat	54
4.1.3.1. Modelul matematic operațional al <i>MCC</i>	54
4.1.3.2. Modelul matematic al elementului de execuție	55
4.1.3.3. Modelul matematic al traductorului <i>TIRO</i> și al numărătorului	56
4.1.4. Echipamentul de comandă numerică (<i>ECN</i>)	59

4.2. Proiectarea algoritmilor de reglare numerică	59
4.2.1. Proiectarea algoritmică a unui sistem convențional de reglare automată numerică	59
4.2.2. Discretizarea modelelor matematice ale elementelor de transfer continue	63
4.2.3. Proiectarea algoritmică a <i>SRA</i> în cascadă	64
4.2.4. Proiectarea concretă a <i>SRA-V</i>	65
4.2.5. Proiectarea <i>SRA-VP</i>	68
4.3. Implementarea algoritmului de reglare numerică a vitezei	70
4.3.1. Forma discretă finală pentru <i>ARN-VP</i>	70
4.3.2. Sarcinile <i>ECN</i> . Structura <i>ARN-VP</i>	71
4.3.3. Principalele subprograme constitutive ale <i>ARN-VP</i>	72
4.3.3.1. Subrutina de tratare a întreruperilor generate de timer	72
4.3.3.2. Subrutina <i>MĂSURĂ</i>	75
4.3.3.3. Subrutina <i>ARN</i> . Calculul mărimii de comandă	76
4.3.3.4. Dialogul on-line cu operatorul uman — subrutina <i>INTERRUPT-DAF</i>	80
4.3.3.5. Dialogul off-line cu operatorul uman	81
4.3.3.6. Considerații asupra timpului mort total al buclei de reglare	82
4.3.3.7. Experimentarea <i>SRA-V</i>	82
4.4. Implementarea algoritmului de reglare numerică a vitezei și poziției	86
4.4.1. Forma discretă finală pentru <i>ARN-VP</i>	86
4.4.2. Funcțiile îndeplinite de microsistem. Structura programului <i>ARN-VP</i>	88
4.4.3. Principalele subprograme ale <i>ARN-VP</i>	90
4.4.3.1. Subrutina de tratare a întreruperilor de la timer	90
4.4.3.2. Subrutina <i>SBR-2</i> pentru generarea intervalului de conducție al chopperului	90
4.4.3.3. Preluarea poziției curente de la numărător	91
4.4.3.4. Subrutina <i>SBR-1</i> — calculul mărimii de comandă	91
4.4.3.5. Dialogul on-line cu operatorul uman. Subrutina <i>INTERRUPT-DAF</i>	95
4.4.3.6. Experimentarea <i>SRA-VP</i>	95
4.5. Controlul curentului din înfășurarea rotorică a motorului	97
Cap. V. Utilizarea mieroprocesoarelor în comanda acționărilor cu motoare asinerone	98
5.1. Probleme specifice cu privire la acționările cu mașina asincronă	98
5.2. Sistemul de reglare a vitezei motoarelor asincrone prin con-	98

vertoare de frecvență indirecte — cu circuit intermediar de curent continuu	103
5.3. Invertorare	104
5.3.1. Invertor trifazat cu tensiune de ieșire sintetică, cu circuit de stingere comun pentru toate tiristoarele	104
5.3.2. Invertor în punte trifazată cu comutație complementară și tensiune de ieșire sintetică	106
5.4. Implementarea pe microsisteme a circuitelor de comandă pentru invertoare	107
5.4.1. Invertor trifazat cu tensiune de ieșire sintetică și circuit de stingere comun, comandat cu microprocesor	107
5.5. Modificarea turației unui motor asincron prin metoda $U/f = \text{constant}$, cu comanda realizată de microprocesor	112
5.5.1. Implementarea software a comenziilor în sistemul pentru modificarea turației unui motor asincron	114
5.6. Reglarea turației motoarelor asincrone pe baza principiului orientării după cîmp	119
5.6.1. Principiul reglajului „orientare după cîmp”	119
5.6.2. Sisteme de reglare a turației motoarelor asincrone, pe baza principiului orientării după cîmp	121
5.6.3. Sistem de reglare pentru motor asincron comandat cu microprocesorul 8080	125
Cap. VI. Utilizarea microprocesarelor în comanda acționărilor cu motoare pas cu pas	130
6.1. Probleme specifice cu privire la motorul pas cu pas	130
6.1.1. Modalități de comandă a fazelor <i>MPP</i>	131
6.1.2. Modelul matematic în coordonate reale al <i>MPP</i>	132
6.1.3. Schema bloc de comandă a <i>MPP</i>	134
6.1.3.1. Blocul contactoarelor statice	134
6.1.3.2. Metode de supresare	138
6.1.4. Utilizarea <i>MPP</i> în sisteme de poziționare în circuit deschis	139
6.1.4.1. Amortizarea <i>MPP</i>	139
6.1.5. Utilizarea <i>MPP</i> în sisteme de poziționare în circuit închis	140
6.2. Circuite de comandă pentru <i>MPP</i> cu microprocesor	141
6.2.1. Sisteme de poziționare în circuit deschis cu <i>MPP</i> comandate cu microprocesor	142
6.2.2. Sisteme de poziționare în circuit închis cu <i>MPP</i> comandate cu microprocesor	147
Anexa 1. Program de reglare numerică a turației unui motor de curent continuu	153
Anexa 2. Program de reglare numerică a vitezei și poziției unui motor de curent continuu	168
Bibliografie	174

EDITURA FACLA

ISBN 973-36-0030-X

Lei 20,50